1983年日本海中部地震

ģ.;

秋田市新屋松美町地震被害調查報告書

昭和60年3月

秋 田 市



本書は、1983年5月26日に発生した「日本海中部沖地震」において発生した災害の中で、特に局部的な範囲で、集中的に被害を受けた箇所について、その被害原因を科学的に究明調査した結果をとりまとめたものであります。

このような調査は他に類例がないものでありますので、今後の防災行政に役 だてていただければ非常に幸いとぞんじます。

なお、お手数でも同封の受領書をご返送くださるようお願いいたします。

秋田市

日本海中部地震による新屋松美町周辺の被害状況



写真-1 3号道路の沈下

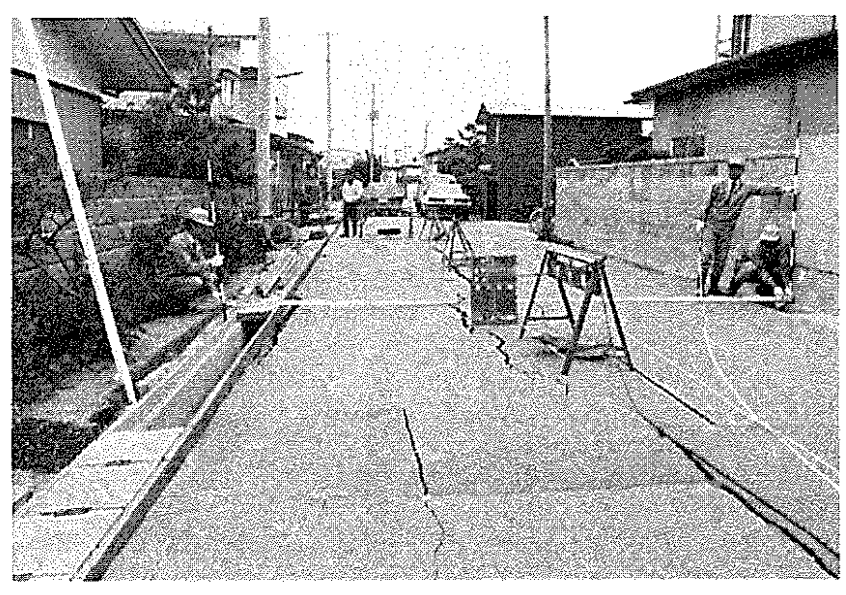


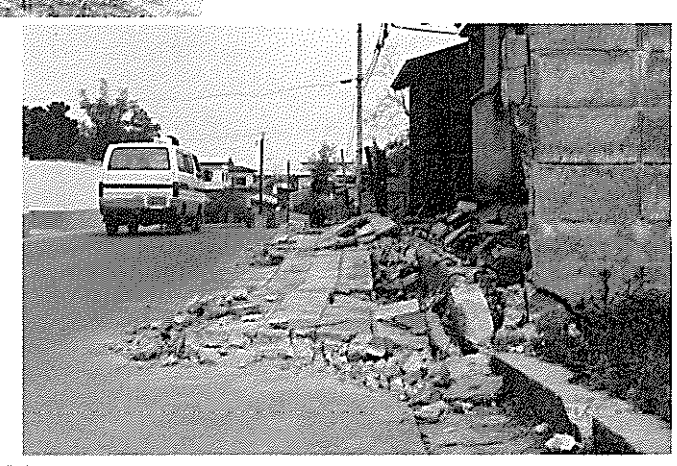
写真-2 20号道路の継**断**亀裂



写真-3 倉庫内部の噴砂



写真=4 地盤沈下に伴う車庫及びフェンスの被害



写真= 5 13号道路沿いのブロッ塀の倒壊

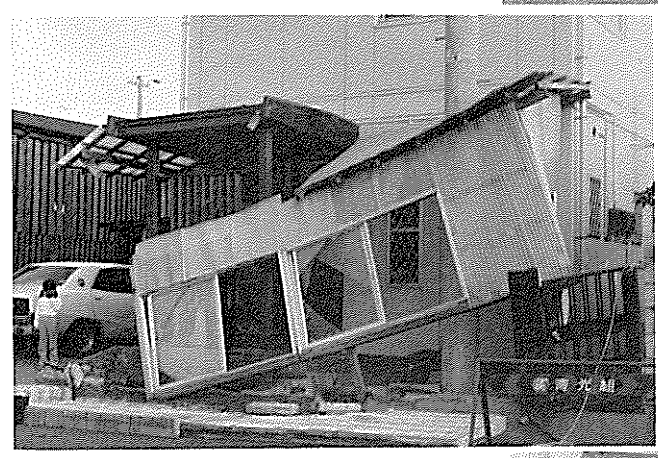


写真-6 ブロック塀の倒壊及び、建物の被害



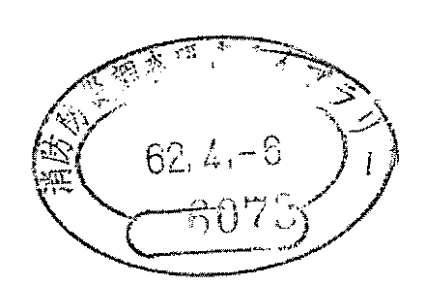
写真-7 門柱の傾斜及び車庫の被害

発刊のことば

1983年5月26日正午に発生した日本海中部地震により、秋田県内に於いては死者83人, 負傷者265人, 家屋の全半壊3764戸, その他道路, 鉄道,港湾等,交通施設から水道,ガス,電気など生活に直接関連する施設まで広範囲にわたり大きな被害をこうむったものであり、被害はおもに秋田市から県北部にかけての沿岸部一帯に集中しているのが特徴的である。

このうち秋田市に於いても3人の尊い人命の犠牲をはじめ家屋の全半壊,公共施設等に多くの被害を受けたものでありますが,この中でも特に被害が集中した,新屋松美町の被災者の会より今回の災害は単なる天災ではなく被災地を取りまく上・下水道,ガス,電話ケーブル,工業用水等の地下埋設物,ならびに隣接沼地埋立による人為的要因が大きいとした被災者の会の疑問に答えるため,秋田大学,早稲田大学理工学研究所に調査を委託し,科学的に調査研究された結果を取りまとめたものであり。本調査報告書が今後の地震対策の参考として関係各位のお役に立てば幸いと存ずるものである。

昭和60年3月 秋田市役所建設部



目 次

				PAGE
第	1	章	ま え が き	1
第	2	章	調査目的および報告書の構成・・・・・・・・・・・・・・・・・・・・・・・・・・・・・・・・・・・・	2
第	3	章	委員会の構成および活動概要	3
第	4	章	調査過程の概要および結論	6
第	5	章	調 査 内 容	16
	5.	1	地形測量及び旧地形図の収集	16
	5.	2	地震被災状況調査	20
	5.	3	埋設管などの施工状況に関する調査	32
	5.	4	機械ボーリング及びサウンディング調査	51
	5.	5	地下水位観測	59
	5.	6	弾性波速度測定および常時微動測定	61
	5.	7	室内土質試験	79
第	6	章	検 討 結 果	94
	6.	1	地層構成および生成過程	94
	6.	2	地下水位の変遷	105
	6.	3	液状化およびすべり安定性	109
	6.	4	被災の直接的な原因	122
	6.	5	被災に与えた埋設工事および溜池埋立による宅地造成工事の影響 …	126
第	7	章	あ と が き	142
			<u> </u>	143

別冊資料 (その1) 本文に対する資料編 目 次

- (A) 地震被害状況調查関係資料
 - 1. 地形図
 - 2. 古地図
 - 3. 被害調査アンケート
- (B) 埋設管などの施工状況に関する調査資料
 - 1. 地下埋設管及び道路構造
 - 2. 埋戻し土の透水係数の推定
 - 3. 地下水面の推定
- (C) サウンディング方法及び結果に関する資料
 - 1. 調査・試験の各項目毎の概要
 - 2. 土質柱状図
 - 3. スウェーデン式サウンディング
 - (1) 埋戻し土R-1~R-4
 - (2) $S 1 \sim S 26$
- (D) 地下水位観測方法及び結果に関する資料
 - 1. 地下水位観測結果一覧表
 - 2. 地下水位経時変化図
 - 3. 過去5年間の降水量経時変化図
- (E) 弾性波速度測定,常時微動測定方法及び結果に関する資料
 - 1. PS探查(屈折法)
 - 2. PS検層
 - 3. 走時曲線
 - 4. PS探查記録波形
 - 5. PS 検層解析図
 - 6. 常時微動の測定方法
 - 7. 常時微動使用機器
 - 8. 常時微動の解析手法

- 9. パワースペクトル及び記録波形
- 10. 周波数応答関数 (スペクトル比)
- (F) 室内土質試験方法及び結果に関する資料
 - 1. 室内土質試験の概要
 - 2. 土質試験結果図表

土質試験結果一覧表

振動三軸試験供試体試験結果一覧表

土粒子の比重試験

土の含水量試験

土の粒度試験結果

土の液性限界・塑性限界試験

塑性図による分類

土の一軸圧縮試験

三軸圧縮試験(CD)(初期状態 圧密過程)

三軸圧縮試験(CD)(軸圧縮過程)

三軸圧縮試験(CD)(側圧一最大主応力差)

R ~Nℓ関係

振動三軸試験(軸ヒズミ,間隙水圧曲線)

- (G) 液状化解析に関する資料
 - 1. 液状化検討
 - 2. F_Lと地下水位の関係
 - 3. 液状化と地盤・家屋被害との関係
 - 4. 過剰間隙水圧の推定
 - 5. 液状化検討計算リスト
- (H) 安定解析に関する資料
 - 1. 計算条件の設定
 - 2. 計算結果

参考文献

<巻末添付図>

図A・2・1 二十六番字割山見取絵図面 (明治二十二年一月二十三日調査) 図A・2・2 二十六番字割山地引画図 (明治二十二年一月二十三日調査)

図A・2・3 二十七番字下川原見取絵図面 (明治二十二年一月二十三日調査)

図A・2・4 二十七番字下川原地引画図 (明治二十二年一月二十三日調査)

第 1 章 まえがき

昭和58年5月26日に発生した日本海中部地震の、秋田市における被害の度合は、 県内では特に大きいものではなかったが、若干の区域には著しい被害が集中した。 新屋松美町・新屋松美ケ丘東町の問題の地域もその一つであるが、そこでの被災範 囲は特定の狭い地区に限られていた。そのため、地区住民の間で単なる自然現象と いうよりは、人工的な要因が加わって被害を大きくした可能性が問題にされた。そ してその要因としては、地区周辺で行われた各種埋設管工事と溜池の埋立による宅 地造成工事の影響が想定された。

これらの工事が、被害に与えた影響を究明するようにとの被災住民の要請に応え て、秋田市では7名の専門委員から成る「新屋松美町地震被害調査委員会」(委員 長 加納 博)を構成して、科学的な調査にあたった。

委員会が実質的な調査活動を開始したのは10月以降である。以後約6ヶ月にわたって、当面可能な限りの各種の調査を行い、ことに一応の結論を得た。本報告書はその調査結果をまとめたものである。

第 2 章 調査目的および報告書の構成

本調査は、日本海中部地震で被災した新屋松美町および新屋松美ケ丘東町における,地震被害とその原因を科学的に究明することを目的として行われた。その際,特に次の点に留意した。

- (1) 下水道管等の地下埋設工事の影響
- (2) 溜池埋立による宅地造成工事の影響
- (3) その他関連した地域特性等

このために、まず、被害の実態や地理・地質状況についての調査を行い、それらをもとに、被災原因の検討および上記の工事が被害に与えた影響についての解明を 行った。

具体的な調査項目、調査方法については、委員会の席上で検討して実施したが、 この種の調査では確立された方法はないため、必要に応じて調査内容を途中で修正 補足していった。この経過とその他の委員会活動状況については、第3章で述べ、 第4章では調査過程の概要および結論を述べる。

実際に行われた調査の内容は第5章で、また被災原因等の検討結果については第6章で述べる。更に調査資料の詳細や検討過程の資料は別冊資料としてまとめられている。(秋田市保管)

第 3 章 委員会の構成および活動概要

(1) 委員会の構成

このたびの地震に際して、秋田市新屋松美町2番地の一角を中心として起きた地盤液状化による被害については、発生以来各方面から注目される所となり、科学的な原因究明が要望されていた。この問題について、秋田市においては、被災者の会(佐藤重雄会長、藤原 繁副会長)から市議会議長に出された陳情書(昭和58年9月2日)を受けて、専門家グループによる調査委員会を設けて対処することとなった。その結果、下記の7名(内、秋田大学5名、早稲田大学2名)の委員が、12月26日、秋田市長高田景次から正式に委嘱された。

(五十音順)

氏	名	専門分野	所属・職
	博 長)	応用地質学	秋田大学名誉教授
狐崎	長 琅	応用地球物理学	同 鉱山学部助教授
古藤田	喜久雄	建築基礎工学	早稲田大学理工学研究所教授
柴 田	豊 吉	地質学	秋田大学鉱山学部助教授
清 水	浩志郎	道路工学	同 教授
野 越	三 雄	地球物理学	同 教育学部教授
若 松	加寿江	建築基礎工学	早稲田大学理工学研究所研究員

(2) 委員会の活動概要

(2. 1) 準備段階

委員会の正式な発足は12月26日であるが、それまでの段階として次のような準備作業が地元委員(仮)を中心として進められた。10月15日、市から調査を依頼された加納ほか6名(全員)の初の打合せ会が、秋田市建設部(部長 大高昭五、次長 佐々木昭一・栗田博喜)の斡旋によって秋田市役所内で開かれ、委員会の性格・目的・役割等基本的問題について意見が交換された。その結果、10月19日、委員会内規(案)を成文化して市に提出した。調査作業は委員会の指導助言の下で、適切な地質コンサルタント業者に委託して行わせることとし、基礎地盤コンサルタ

ンツ (株) (以下, K社と略称) [担当者: 安田 進・瀬戸山秀俊・中田嘉久・梅内勝彦] が, 最終的に選ばれた。委託を受けたK社からは, 11月4日, 具体的な調査および解析計画案が出され, 11月10日には作業工程表が提示された。これらに従って, 11月15日から各種現場作業が開始された。厳冬の積雪期にかかりながら, これらの作業は12月26日までに当初予定のすべてを一応終了したが, この間に行われた主な作業内容は次のようである。

- 1) 地形測量 (1/500 および 1/1000 図)
- 2) 地質調査ボーリングおよび標準貫入試験 (4孔,各10m)
- 3) スウェーデン式サウンディング試験 (20点,各10m)
- 4) 地下水位測定(56点)
- 5) PS探查(8測線)
- 6) PS 検層 (4孔) 〔ただし, 秋田大学が実施, K社協力〕
- 7) 常時微動測定(20点,内4点で地表・地中同時観測)
- 8)被災状況の現地調査(アンケートおよび聞き込み)
- 9)室内土質試験
- 10) 液状化解析

(2. 2) 活動の経過

各種の調査および解析結果を総合検討し、報告書を作成するための本委員会を、12月26日以来4回(第1回 12月26日,第2回 2月6日,第3回 3月10日,第4回 3月23日)にわたって開催し、その都度提出されたK社による作業の中間報告書および委員からの意見書が慎重かつ活発に審議された。また、各委員会の前後には地元委員を中心としてしばしば実質的な作業委員会(10数回)を開いて資料の整理等にあたった。さらに随時現地や関係方面に出向いて調査・資料収集に努めた。その間の活動を通じて新たに提起された諸問題に対応して、次のような調査および解析が実施された。

- ① I, Jブロックを中心とする地下水位測定の追加(10点)(1月15日-1月 25日)
- ② K地区を中心とするサウンディング試験の追加(6点)
- ③ 道路の施工状況-特に埋戻し土の調査(1月24日)

- ④ 下水道工事における埋残し矢板の延長と、矢板上下の水位差の確認(3月16日)
- ⑤ 溜池埋立造成工事前の自由地下水面の推定計算
- ⑥ すべり面の安定解析
- ① すべり運動に伴う下水道管の変形状況の確認調査 (2月14日)
- ③ 被災地区の明治初期に遡る古地形に関する資料収集と土地状況変遷史の調査
- ⑨ 地盤液状化による建物被害の判定基準としての"非液状化層厚"の検討
- ⑩ 埋設工事が周辺家屋に及ぼした被害の再確認 (3月16日)

以上の調査資料を総合検討し、4月14日、問われた被災原因についての最終結論 を秋田市長に答申し、本報告書を提出した。

第 4 章 調査過程の概要および結論

(1) 調査過程の概要

本調査は、日本海中部地震で家屋が被害を受けた秋田市新屋松美町および新屋松 美ケ丘東町について、周囲の埋設工事や溜池埋立工事の影響も含めて被害原因について調べたものである。一般に、この種の災害には、多くの要素が関与しており、 その解明には、精細な微視的考察と共に、大局的な巨視的観点を保持する必要がある。従って、主たる検討目標は、次の諸項目におかれた。

- ® 地理・地質的地域特性と地震被害との関連
- ② 埋設及び埋立工事と地震被害との関連

この目的を達成するため、まず下記のような現地調査や資料収集を行った。

- ① 地震被災状況に関する聞きてみ調査
- ② 地盤調査 (ボーリング, サウンディング, 地下水位測定など)
- ③ 地盤の動的特性調査(常時微動測定,PS検層・探査,室内液状化試験)
- ④ 地理・地質的背景に関する資料収集
- ⑤ 埋設および埋立時における施工および被害状況に関する聞きてみ調査 これらの結果をもとに、地層構成および生成過程の把握、地下水位分布の検討、 地盤の液状化解析、のり面安定解析などを行って、被害箇所・無被害箇所について

被害および無被害の理由を考察してみた。

この際,近年の宅地化以後の諸工事が地震被害に与えた影響と共に,それ以前の 人工的条件や自然条件の被害との関わりについても,注意を払った。

被害の要因は、地盤の液状化である。そこで、これに直接関与する地盤側条件としては、土の粒度や緩さと地下水位とが検討の中心となった。

- ○の近年の諸工事と地震被害との関連においては、特に次の諸項目が検討された。
- ② 下水道管等の地下埋設工事が地盤の緩みと地震被害に及ぼす影響
- ⑤ 下水道管等の地下埋設工事が地下水位の上昇と地震被害に及ぼす影響
- © 溜池埋立による造成工事が地下水位の上昇と地震被害に及ぼす影響

(2) 被害の実態とその評価

日本海中部地震の秋田市における震度は気象庁によりVと発表された。市内居住域の震度は平均的にはVのやや弱い方とみられ、孤立分散的被害は広く認められるものの、集中的な著しい被害は比較的小範囲の若干の区域に限定されている。

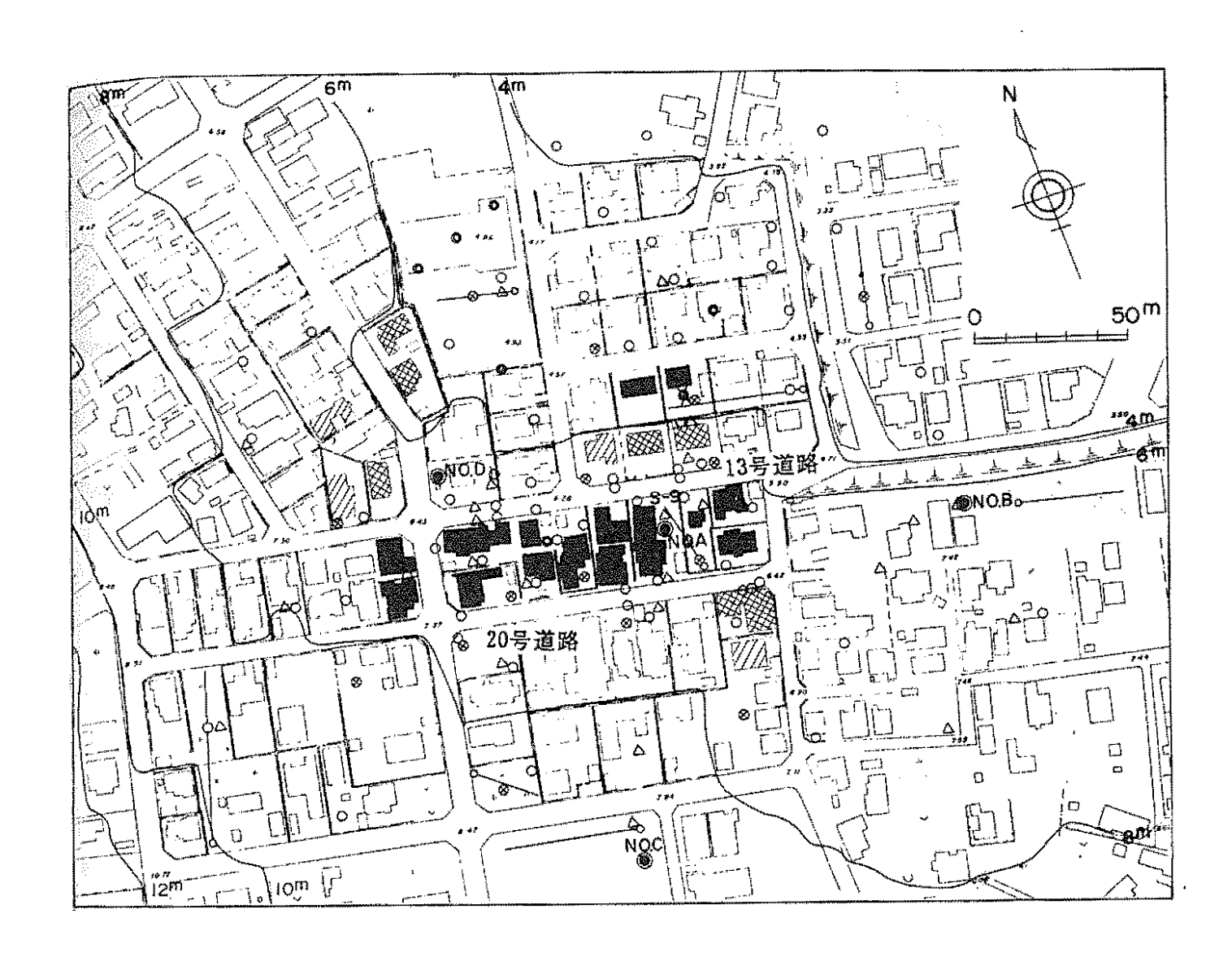
新屋松美町・新屋松美ヶ丘東町の問題の地域もその一つである。図 $4\cdot 1$ (b)にその被害状況を示す。家屋被害は、 F_1 、 F_2 ブロックとその周辺領域とに発生した。

調査結果によると、 F_1 、 F_2 、 H_1 ブロック等では地盤が緩いうえに地下水位も高い。このことと、被災状況・液状化解析結果等をあわせて考えてみると、家屋に不同沈下等の大きな被害を与えた主な原因は、地盤の液状化にあると判断された。さらに、 F_2 ブロックから H_1 ブロックにかけては液状化に起因したすべりが発生し、被害が強められたと考えられる。また、被災・無被災箇所における液状化解析結果をもとにして考えると、地表面下の液状化しない土層の厚さ(非液状化層厚)がある厚さ以上存在していたと推定される箇所では、その下層が液状化していても、地表付近の地盤および家屋は被害を受けていないと結論された。その限界となる厚さは、地震時に発生した地表最大加速度の仮定値によって異なるが、区域内で一率に200 gal、150 gal の加速度を想定してみると、それぞれ $1.5\,\mathrm{m}$ 、 $2.5\,\mathrm{m}$ 程度と考えられた。ただしこの値はいくつかの仮定値にもとづいて出されており、誤差はいくらかあると考えられる。

ちなみに、運輸省秋田港工事事務所における、日本海中部地震での地表最大加速 度実測値は、EW 205 gal, NS190 galであった。

(3) 地理・地質的地域特性と地震被害との関連

本地域は、地震被害の著しかった新屋元町と同様、日本海岸に沿う砂丘帯と沖積平野との境界部に位置する。明治 30 年旧陸軍省が射撃場をつくるにあたって、東西に延びる土塁を砂を盛って建設したが、その上部が昭和 30 年代に削られ、宅地化されたのが、 F_1 、 F_2 、 K_1 ブロック等である。その北側の一帯(G、 H_1 、 H_2 、I、I ブロック等)は昭和 52 年に溜池の埋立により宅地化された所である。土塁建設以前の明治 20 年代には、当時の古地図により、 F_1 、 F_2 ブロックの大部分は、上記のGからI までのブロックにかけて広がる一帯の溜池の上にあったことがわか



全域家屋

半墩家屋

一部破壞家屋

◎ :ボーリング・標準費入試験・PS検層・ 常時微動測定地点

O :既存ボーリング地点

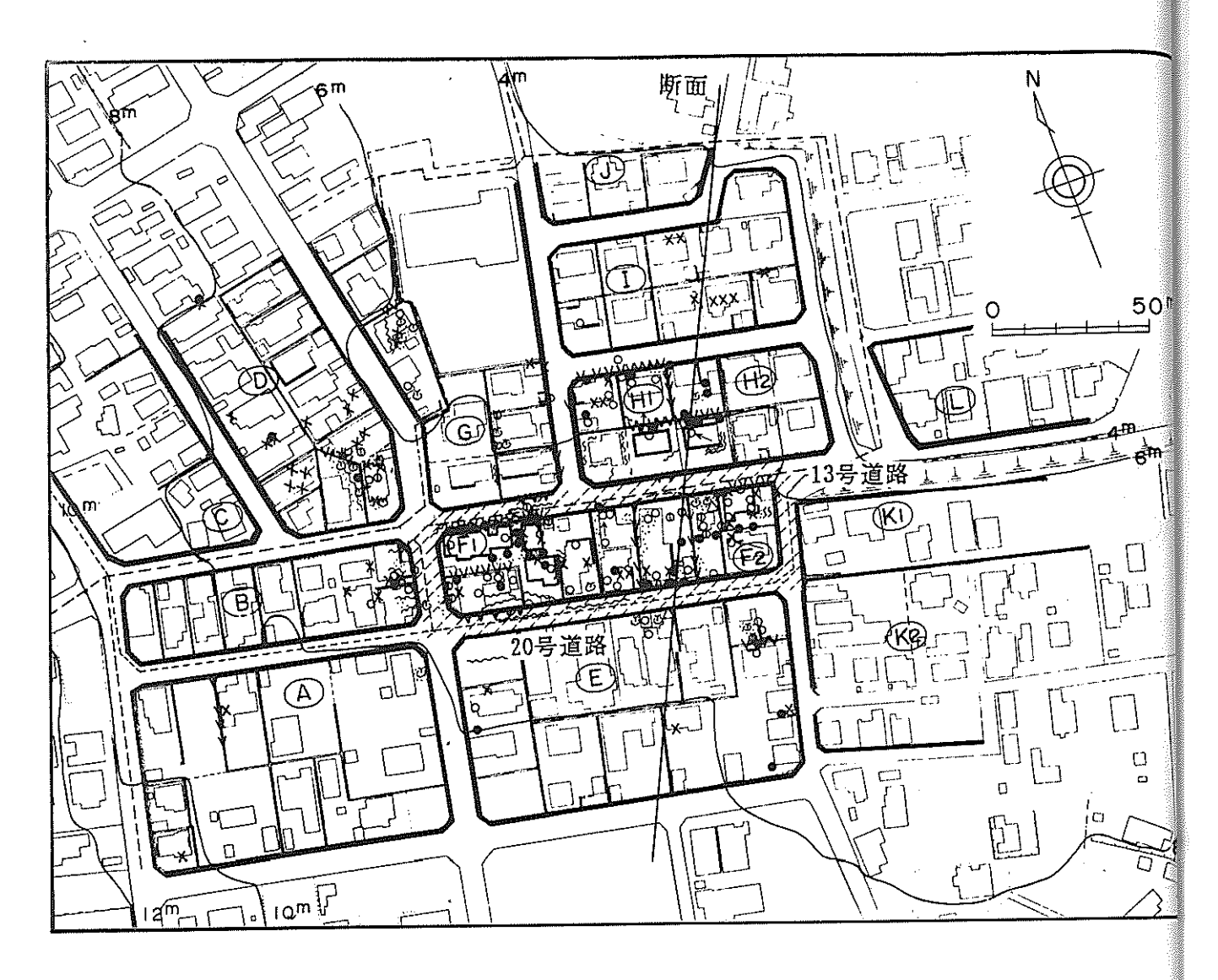
△ :スウェーデン式サウンディング実施地点

〇 :地下水位観測地点

⊗ :當時微動測定地点

• : P S 探衣実施位流

図4・1(a) 本調査内容及び秋田市役所調査にもとづく被害分布の図



等高線の数値は標高を示す

--- : 下水道管理埋設位置 ,

-----: 工業用水管 (**/** 1200 mm) 埋設位置

------: 矢板埋残し区間 (26 m)

・下水道管は昭和56年11月~57年 3月にかけて施工

・工業用水管は昭和44年2月~44 年3月にかけて施工

・溜池埋立はG, H₁, H₂, I, J ブロックで昭和52年7月~53年3月にかけて施工

O :家屋の傾斜・沈下

🗙 :家屋の亀裂

V : 塀の龟袋・傾斜・破壊

~~~ : 道路及び敷地内の龟裂

原图: 哦 砂

① : 町 水

● :地盤沈下

0 :地盤隆起

: 家屋布基礎の亀裂・破壊

|| [27] :道路の被害

←→ :傾斜・移動の方向

(A) :地区割りをしたブロック名(例)

図4・1(b) 本調査による被害分布図

る。また、空中写真判別によれば、更にその以前は、この辺りも旧雄物川の河道であったとみられる。旧河道はLブロックの方向から西流して $F_2$ 、 $F_1$  の各ブロックの北側をかすめて、G のあたりで北向きに流れを転じていた模様である。 $F_1$  、 $F_2$  ブロック付近は南東一南一西のほぼ三方から、地表水・地下水が流入する集水地形となっており、地下水位が高まりやすい状況にある。またこの区域は全般的に、人工あるいは自然のごく緩い砂層から構成されている。これらのことが、この区域の地盤液状化の背景をなすものとして注目される。

## (4) 下水道管等の地下埋設工事が地盤の緩みと地震被害に及ぼした影響

このことに関しては、特に13号道路に下水道管を埋設する際に、両側の家屋や 地盤に被害が生じたことについて、まず言及しなければならない。この被害に関与 する可能性をもつ要因を、工事過程の順に列記し、更にその個々についての検討結 果をのべる。

- ② 矢板打設時の振動やそれによる地盤沈下
- 掘削工事中の矢板のはらみ出し
- © 掘削の際の水の汲み出しによる地盤沈下
- ① 矢板引抜時の地盤沈下

これらのうち®については工事状況から判断して無視してよいと考えられる。 また、水の汲み出し量が比較的少なかったことから考え、©はあまり大きなもので はなかったと考えられる。

②, ②, ②が地盤の緩みに及ぼす効果を, ①土木工学的な経験や解析による評価と②現場試験的評価の2面から考察した。

①の面からは、②の効果はやや広く及び得るが、むしろ地盤を締め固めるように働くものと考える方が自然である。②もまた締固める方向に作用する。④の効果は条件により、緩ませるようにも、また逆に締め固めるように作用することもあり得るが、その影響範囲はその工事の近傍に限られる。

②の面の調査としては、標準貫入試験とスウェーデン式サウンディングにより、 地盤の緩さの場所による変化を相互に比較する方法をとった。 $F_1$  ,  $F_2$  ブロックで はほぼ一様に、表層  $2 \sim 4$  mほどN 値が5 以下の非常に緩い砂層から構成されてお り、道路(13号および20号)からの遠近による差は認められなかった。

 $F_1$ ,  $F_2$  ブロックにおける緩さが特異なものなのか,他のブロックにおける地盤の締まり具合と比較してみたところ,東隣の $K_1$  ブロックでもほぼ同様な緩さの 地盤が存在していた。ここは, $F_1$ ,  $F_2$  ブロックから続く土塁跡に相当するため,土塁を造るために盛った土が緩かったと考えられる。同様に緩い割にはこの $K_1$  ブロックでは地震による地盤変状も家屋の被害も生じなかったが,これは,地下水位が,2.6 m程度と深く,その下層では,液状化した可能性はあるものの,表層にこれだけの非液状化層厚が存在したために被害を与えなかったのではないか,と考えられる。

したがって埋設管のごく近くでは@により地盤を緩めている可能性はあるものの、 $F_1$  ,  $F_2$  ブロック全体としては、地盤がもともと緩い状態にあったのではないかと判断される。ただし、これらの判断は地震後の地盤調査結果にもとづいたものであり、地震前後で緩さが変化していないということを前提としている。

 $F_1$  ,  $F_2$  ブロックの地震被害は,そこでの全般的液状化とそれによるすべりに起因すると考えられるから,このような工事の影響が地震被害の大局を左右する程のものとは考え難い。

## (5) 下水道管等の地下埋設工事により地下水位を上げたことの影響

下水道工事により地下水位を上げた可能性としては, $F_1$ ブロック北側の 13 号道路に埋残しにされている矢板によるものが,最も大きいと予想された。そこで,その付近の地下水位を比較したところ,埋残しにされている矢板の上,下流側で約50~60 cm の水位差が認められた。上流側とは,矢板の南側である。一般にこの種の障壁によっては,上流側の水位の上昇と下流側の下降とがほぼ同程度生じ得るから,工事前の地下水位面からの,矢板を埋残しにしたことによる地下水位の上昇は図4・2(b)に示すように,この半分程度と考えられる。結局,矢板埋残しによって $F_1$ ブロック内の地下水位は 25~ 30 cm 程度上昇した可能性があると判断される。

同じ 13 号道路で $F_2$  ブロックの北側に相当する,矢板引抜区間では,埋設管を挟んで上,下流側の地下水位差が,約  $20 \sim 50$  cm であった。この水位差は埋設管が流れをくい止めているためか,あるいは管周辺に水みちができて逆に透水性が良くなったためか区別はつきにくかったが,その値は矢板埋残し区間より小さかった。ま

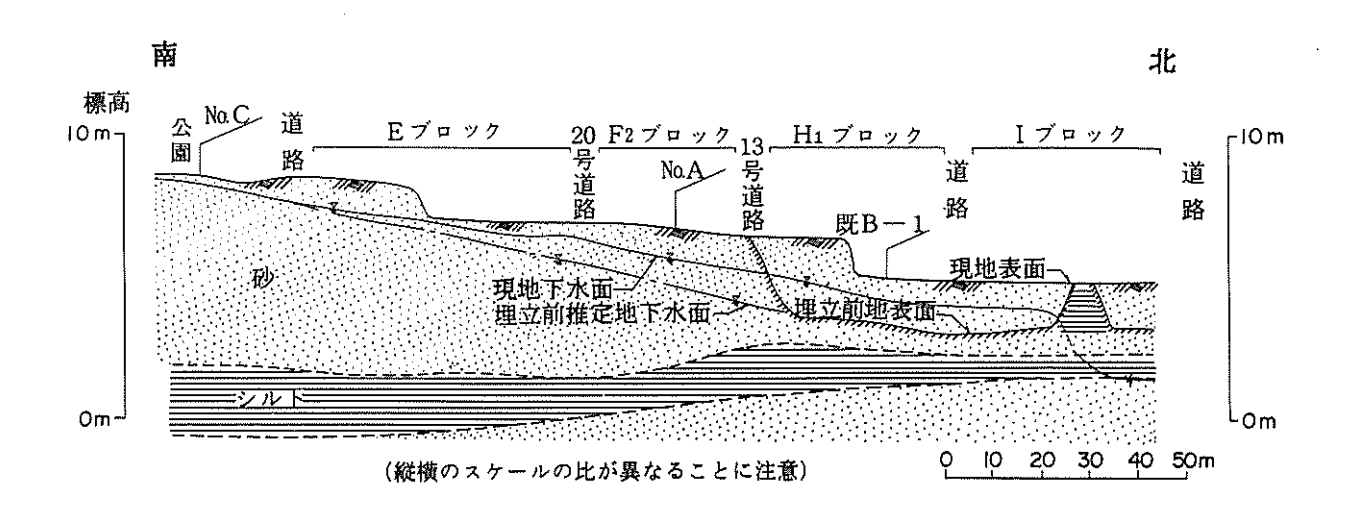


図4 · 2(a) やや模式化されたほぼ南北の断面図 (図4 · 1(b)の断面線による)

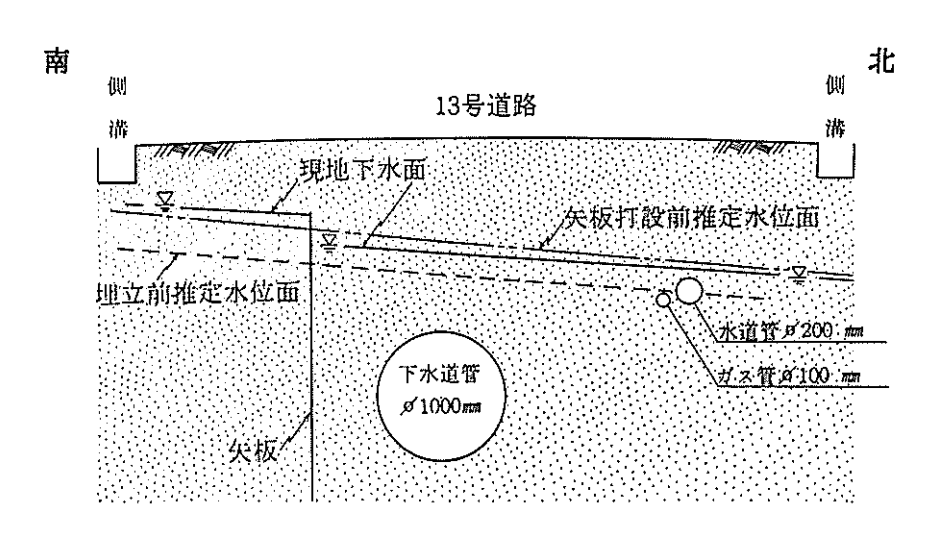


図4・2(b) 矢板埋残し区間での地下水位の変動の概念図

た, 20 号道路の工業用水管等を挟んだ上,下流側でも, 13 号道路の矢板引抜区間 と同程度の水位差があった。したがって,埋設工事による水位上昇は13 号道路の 矢板埋残し区間が最も大きかったと考えられる。

矢板埋残し区間での 25 ~ 30 cm の水位上昇が液状化に与えた影響をみるため、それだけ現在の地下水位を下げた状態での液状化解析をF<sub>1</sub> ブロックについて行ってみたが、地下水位以下の層(地表面下0.6m 程度以下)ではやはり液状化する可能性があったと判断された。したがって、地下埋設工事のみが、地震による地盤、家屋の被害に与えた影響は少ないと考えられる。

#### (6) 溜池埋立による宅地造成工事が地下水位を上げたことの影響

溜池埋立による宅地造成工事が与えた影響として、 $F_1$  、 $F_2$  ブロックの地下水位を上げて、液状化やすべりによる被害を受け易くした可能性が考えられた。

 $F_2$  ,  $H_1$  ブロックを通る断面(図 $4\cdot2$ (a)参照)についてみると,13号道路より,少し南のS-9 およびMA 地点で,現在の地下水位は地表面下約1 m となっている。仮りに, $H_1$  ブロック付近の溜池が埋立てられなかった場合の地下水位面を推定してみると,この付近で地表面下 $1.5\sim2.0$  m位となった。造成工事が行われる前に, $F_2$  ブロック内でその程度地下水位が低かったという住民の話もあり,造成工事により $F_2$  ブロックの地下水位を $0.5\sim1.0$  m位上昇させた可能性はあると考えられる。

これだけの水位変動があった場合に、被害にあたえた影響を調べるため、次に、地下水位が上記の値だけ下がっていたと仮定し、液状化解析を行ってみた。その際、地表最大加速度値を、秋田港湾における日本海中部地震の実測値とほぼ同様に、200 gal と仮定した場合と、 150 gal と仮定した場合の 2 例について、検討した。その結果、S-9、No A 地点では、 200 gal の場合は地下水位以下の層で、 150 gal の加速度の場合は地表面下  $2.0 \sim 2.5$  m より下層で液状化を生じていた可能性はあると計算された。従って、非液状化層厚はそれぞれ  $1.5 \sim 2.0$  m,  $2.0 \sim 2.5$  m というととになる。この値は(2)で述べたように、液状化により地表付近の地盤や家屋が被害を受けるか否かの限界値あたりに相当している。

なお、Fiブロックについても、同様に溜池埋立による地下水上昇はあったものと

考えられるが、Gブロックでの埋立て層厚はHIブロックのそれより薄く、被害に与えた影響はF2ブロックよりも少なかったと考えられる。

#### (7) 被害要因の総括

地震による地盤の液状化被害に及ぼす地盤条件は、①砂地盤であること、②締まり方が緩いこと、③地下水位が高いことである。図4·1 の区域全体の表層は①の条件を充たしているが、場所により土質に若干の差はある。このことが液状化の難易に部分的には寄与している。

とりわけ問題となるのは、②と③である。 更に厳密にいうなら、②と③の総合によって推定される非液状化層厚が被害の可能性を評価するための主要な足場として、ここでは用いられた。

さて調査の結果,図 $4\cdot1$  に示された区域全体が緩い地盤であることが,明らかになった。被害が特に集中した $F_1$  , $F_2$  ブロックは, $K_1$  ブロックを除くその周辺よりも,さらに緩い傾向にある。

ここの地盤表層は、明治年代に溜池と田地との埋立・盛土によって造成された旧陸軍の土塁の名残りである。土塁建設当時の施工状況からも、その土塁は既に緩い状態にあったと推定される。宅地化後の道路の諸工事の影響については、13号道路のごく近傍を緩めた可能性は依然として残るが、地震後の地盤調査によっては、緩めたとも強めたとも判定できなかった。しかし、 $F_1$ ,  $F_2$ ブロック全体の緩みに関与している可能性は低いと思われる。

地下水位については、もともと全般的にこれが高まりやすい地形的状況にある。 $F_1$ ,  $F_2$  ブロックの近年の宅地化以後についていえば、その北側にあった溜池を昭和 52 年に埋立てたことが、このブロックの水位の上昇に、 $0.5 \sim 1.0$  m程度寄与したと推測される。道路における埋設工事による地下水位への影響としては、13号道路の $F_1$  ブロック付近における矢板の埋残しがもっとも大きく寄与しているが、これのみによる水位の上昇は $F_1$  ブロックの近接部で最大となり、それは $0.25 \sim 0.3$  m程度である。

13 号道路の下水道管や 20 号道路の工業用水管の埋設等による地下水位への影響は、地下水流をせき止める方向に働いているか、管路に沿う排水性を高める方向に

働いているのか, 双方の可能性が追求されたが, いずれとも断定できなかった。いずれにせよ, これによる水位変化は矢板の埋残しによるものよりは小さい。

 $F_1$  , $F_2$  ブロックの宅地化以後,現在までの地下水位の変化については,その後の溜池の埋立と埋設工事とが全体として影響している。 $F_1$  ブロックでは $F_2$  ブロックよりも溜池の埋立による水位上昇はやや少なかったと推定されるが,矢板の埋残しの影響も含めると, $F_2$  ブロックと同程度とみられる。

 $F_1$ ,  $F_2$ ブロックにおけるこのような各種工事にともなう水位上昇がなかったとしたら、今回の地震でこれらのブロックに液状化被害が生じなかったかどうかは、非液状化層厚からみて、限界的な状況にあり、いずれとも判断し難かった。仮に被害があったとした時、被害程度が軽減されたか否かについて被害機構を踏まえて検討したが、このことに関しては、地盤に固有な不均質性、繰り返し実験のできない地震という現象、現状の関連学問の到達段階等から、解析におけるある程度の誤差は避けられず、遺憾ながら明確な結論は出し得なかった。

更に、地震現象は、その源、伝播経路、それを受ける側の立地条件により、複雑に変化するもので、仮りに震度が同じでも被害の生じ方は、条件により多様に変化するものであることも注意しなければならない。

## 第 5 章 調 査 内 容

#### 5・1 地形測量及び旧地形図の収集

#### (1) 目的

地理的環境、地盤造成の実状、それらの変遷などを明らかにする。

本地域は、新興住宅地であり、時代の移り変わりとともに地形が大きく変貌を見せているため、13号市道を中心に約200m四方の詳細な地形測量と旧地形図の収集を実施し、調査・究明のための基礎資料とした。

#### (2) 方法

地形測量は、平板測量と水準測量を実施し、S=1:500の平面図を作成した。 なお、もう少し広範囲な地域については、秋田市役所所有の秋田都市計画図(S=1:2500 昭和54年12月測図)と重ね合わせS=1:1000の平面図を作成した。

旧地形図の収集については、建設省国土地理院発行の地形図(S = 1:50000)、秋田市役所所有の秋田都市計画図(S = 1:3000またはS = 1:2500)、及び秋田地方法務局登記所、新屋支所資料の絵図面を収集した。

## (3) 結果

地形測量結果は、今回の現地調査位置・内容を図示し、調査位置平面図(S = 1:1000)として、図 5・1・1 に示した。

収集した旧地形図は、図 5・1・2 群、図 5・1・3 群に変更年次毎の地形図を示し、図 5・1・4 に地形の変遷図としてまとめた。なお、絵図面は別冊資料その 1(A) に一括掲載した。

これらをもとにした地形の変還に関する検討結果は、第6章6・1で後述する。



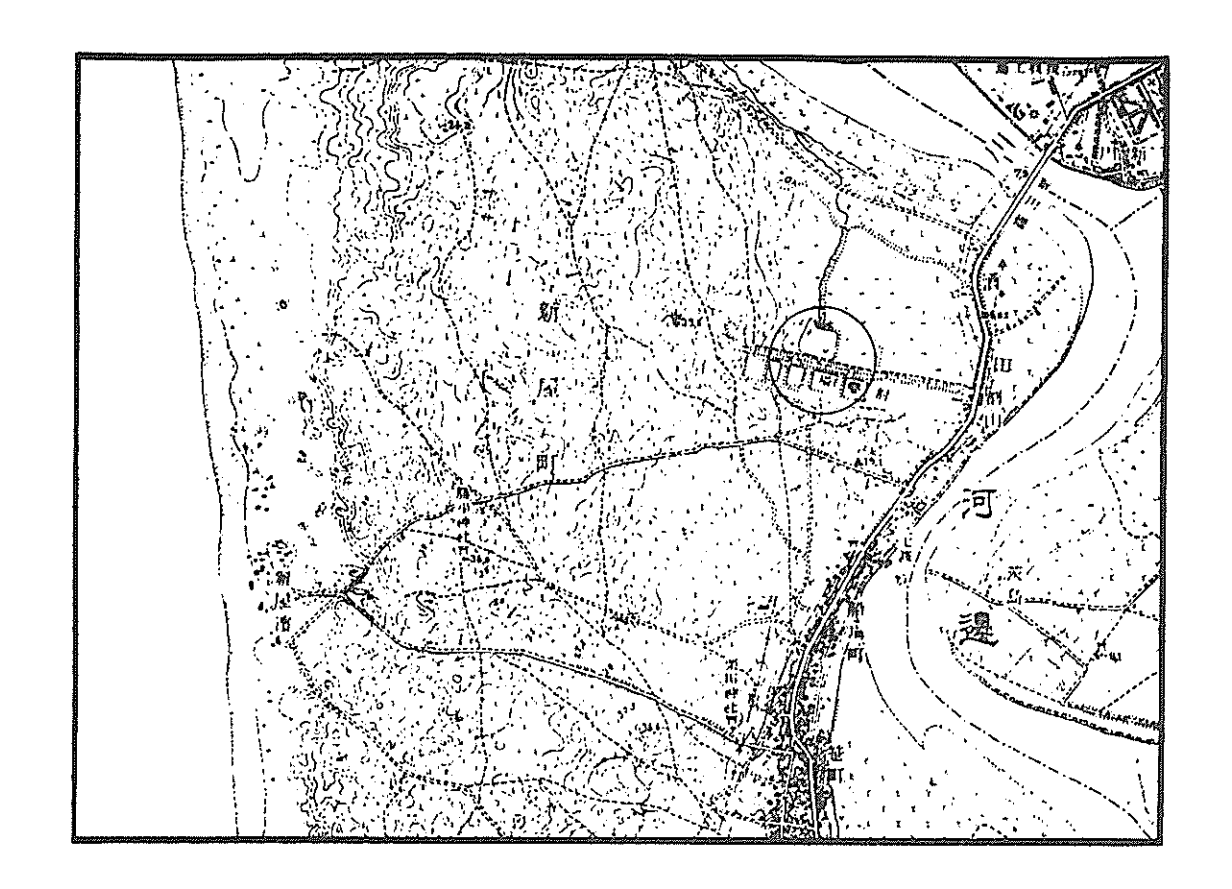


図5・1・2(a) 大正1年測図,同2年3月30日発行

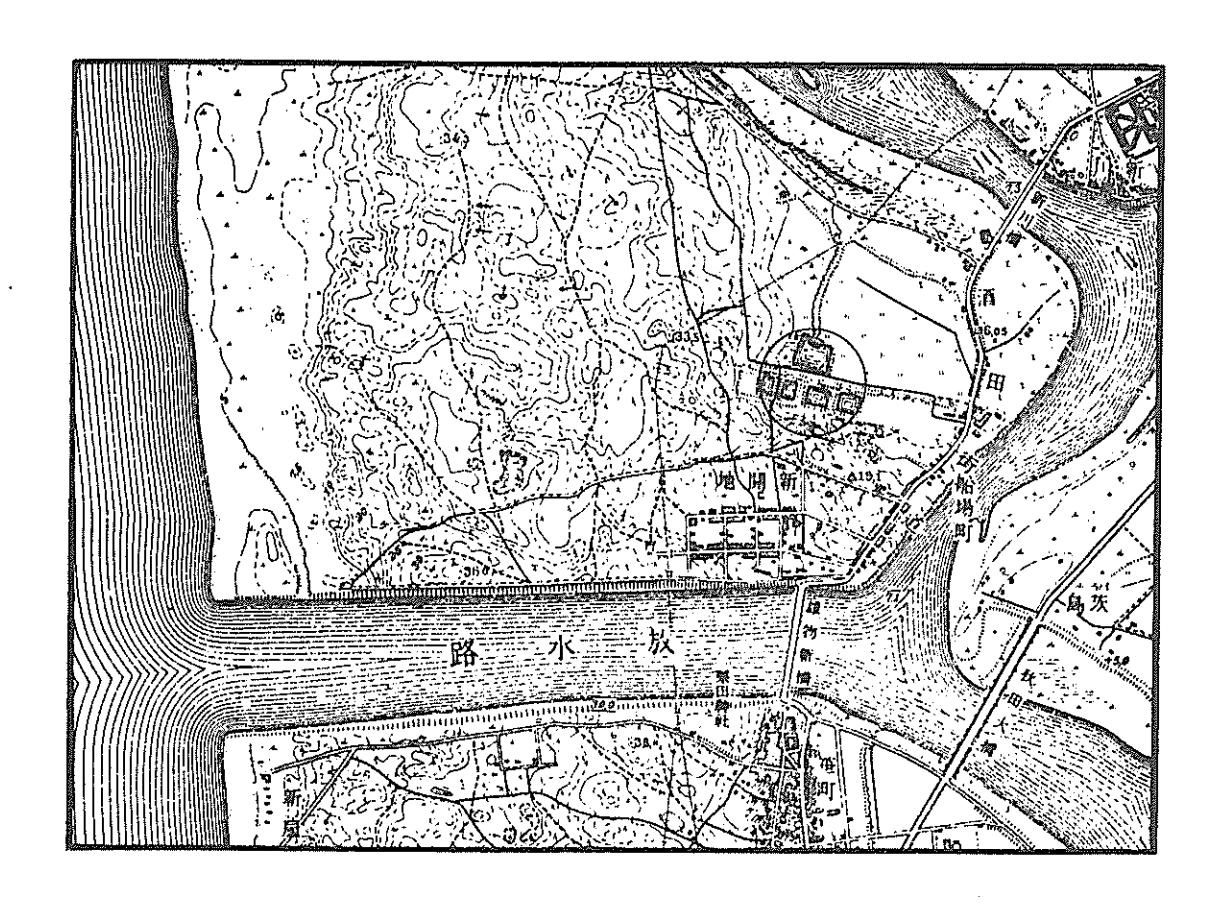


図5·1·2(c) 大正1年測図, 昭和13年修正測図, 同27年資料修正



図5·1·2(b) 大正1年測図,昭和2年4月30日発行

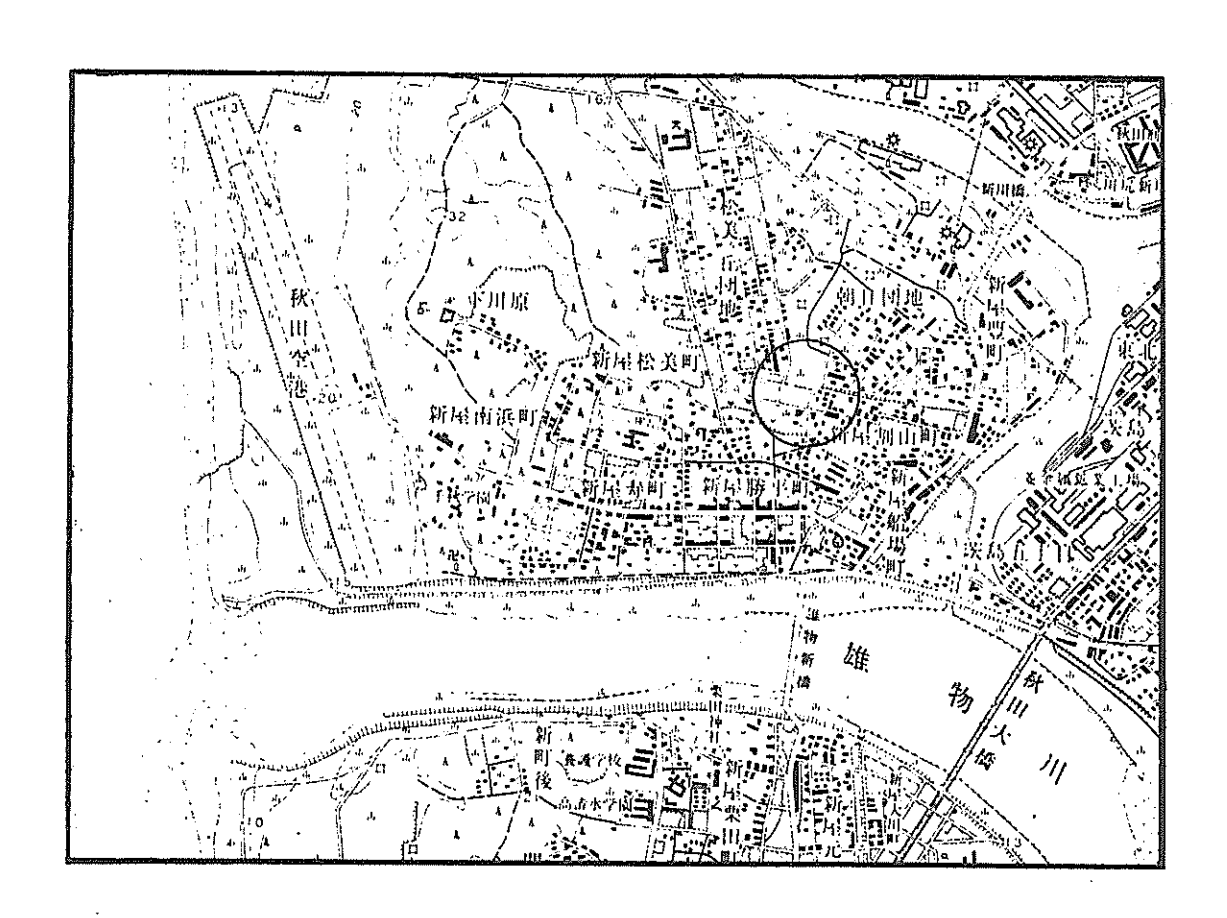


図5・1・2(d) 大正元年測量,昭和46年改測,昭和49年2月28日発行

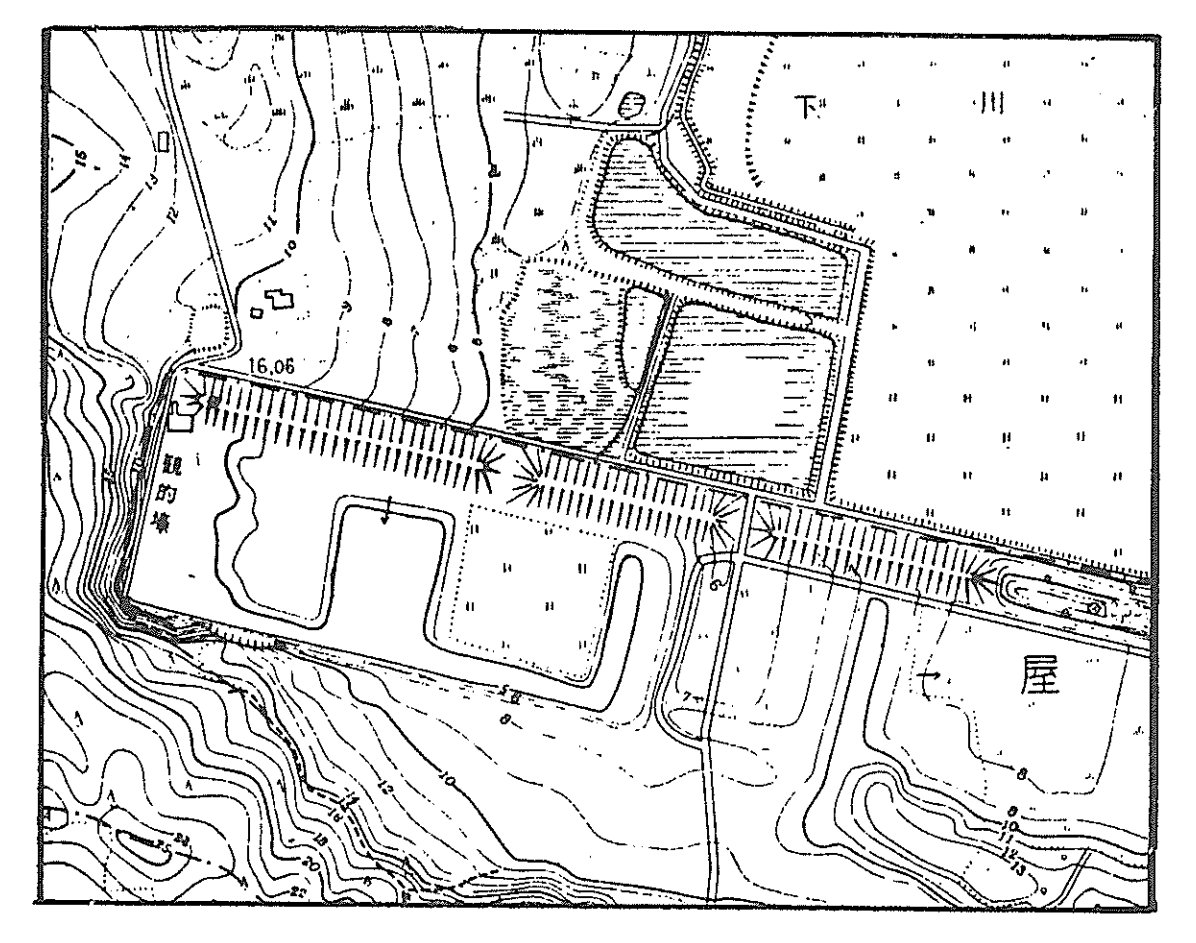


図5 · 1 · 3(a) 昭和27年12月測図(S=1:3000)

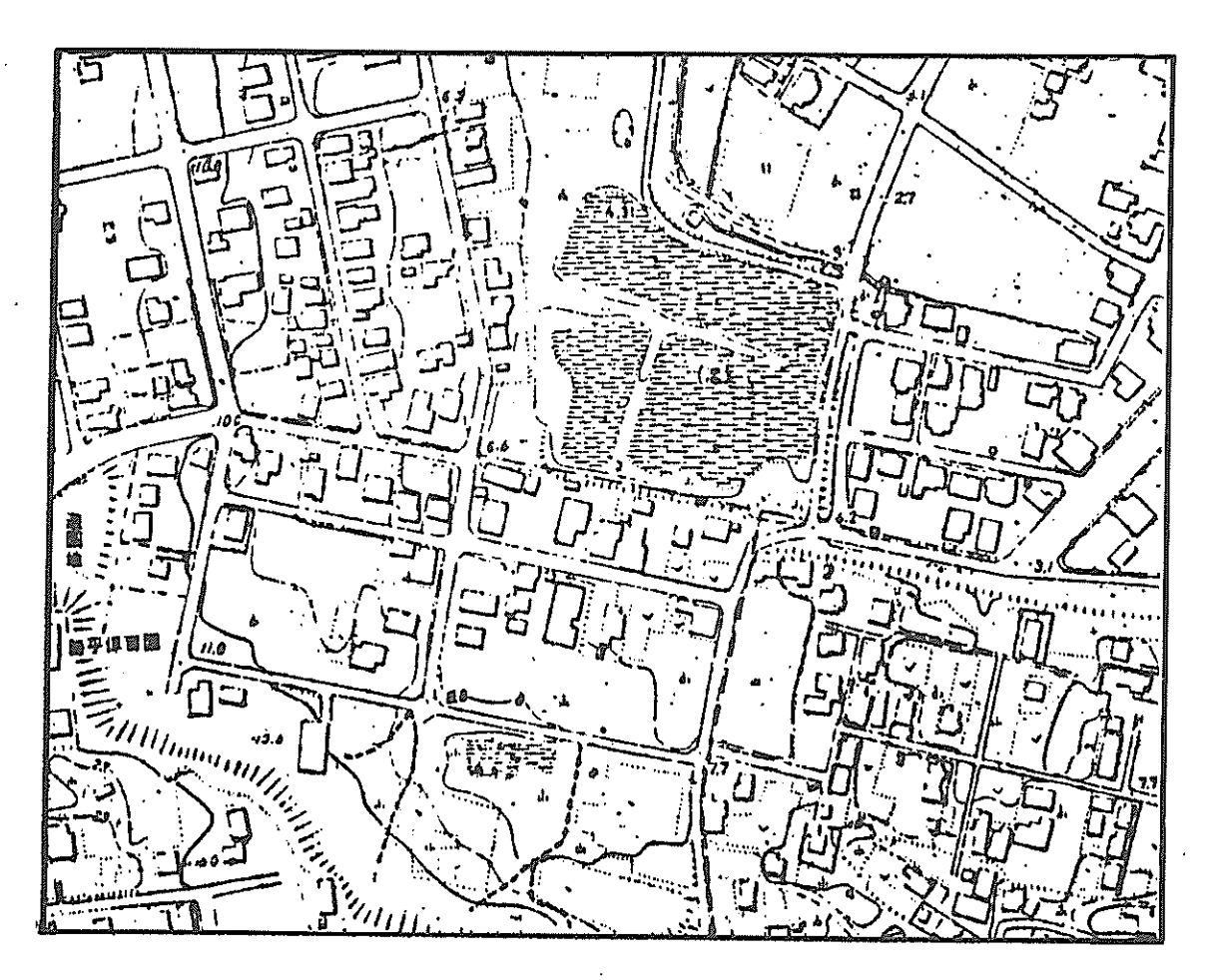


図5・1・3(c) 昭和48年5月撮影,9月測図 (S=1:2500を1:3000に縮小)

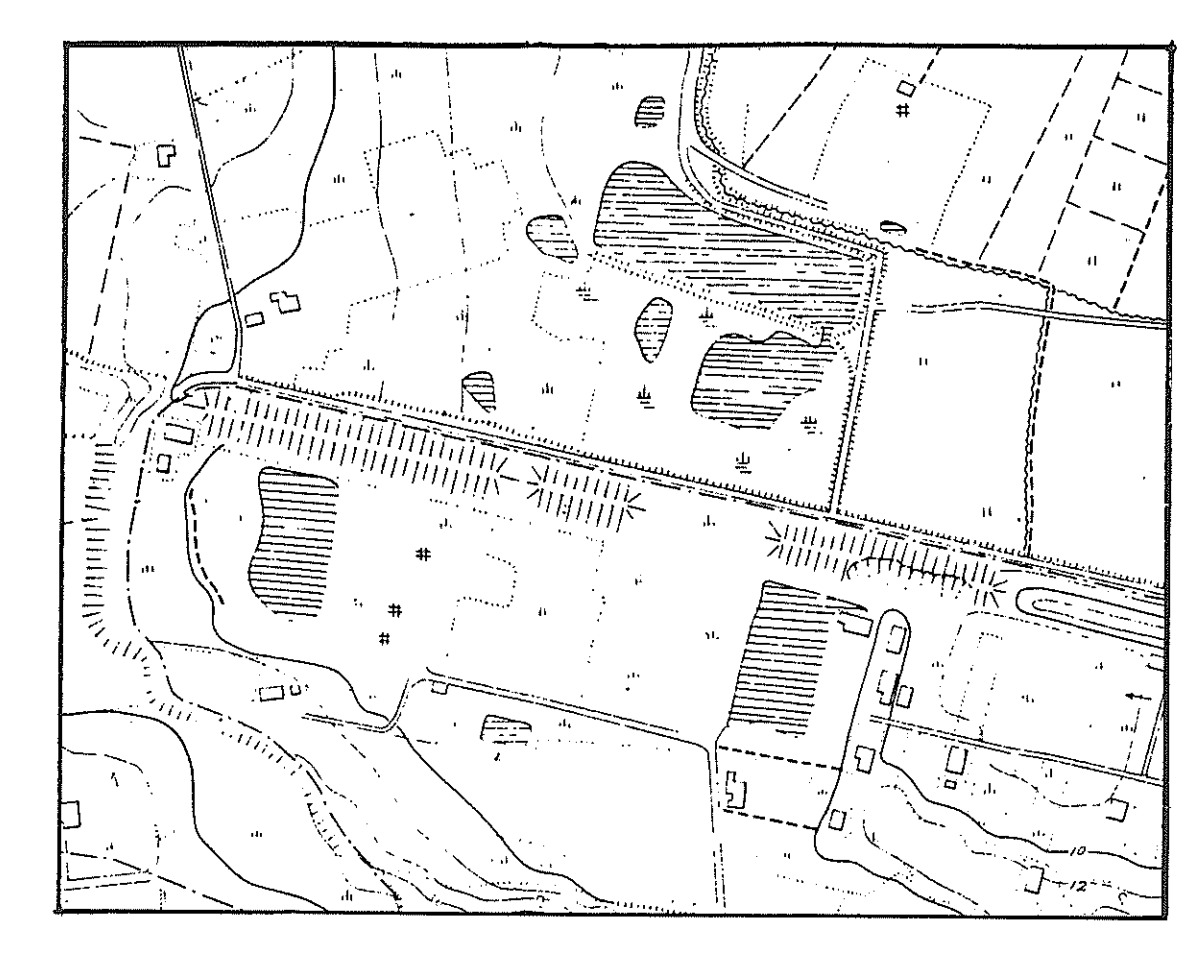


図5・1・3(b) 昭和38年測図(S=1:3000)

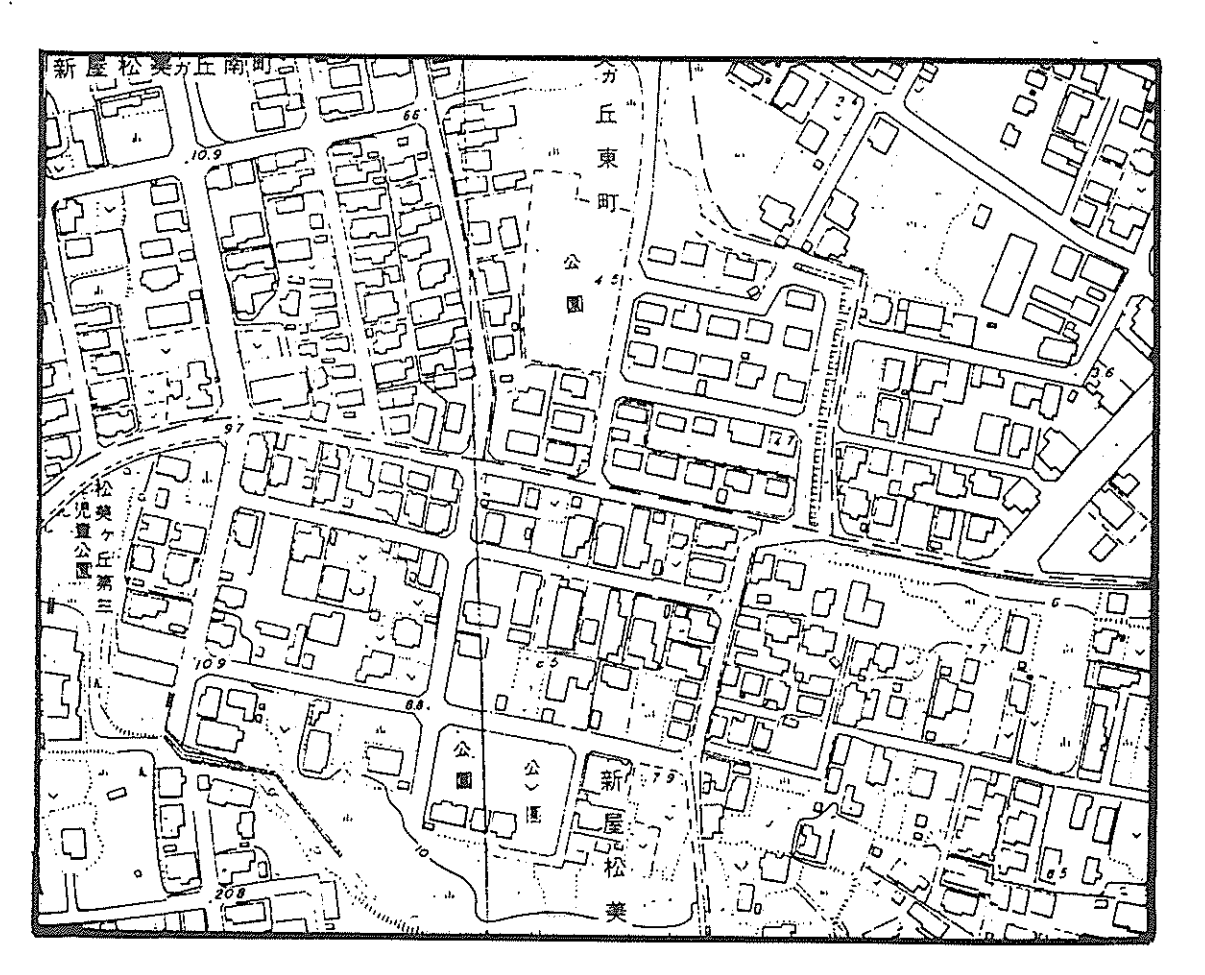


図5・1・3(d) 昭和54年6月撮影,12月現地調査 (S=1:2500を1:3000に縮小) り 100 m

#### 5 • 2 地震被災状況調査

#### (1) 目的

今回の地震やそれ以前の下水道等の周辺工事の際の本地域における家屋・地中埋設物、地盤等の被害をアンケート調査により把握し、地震被害の原因究明のための資料とする。

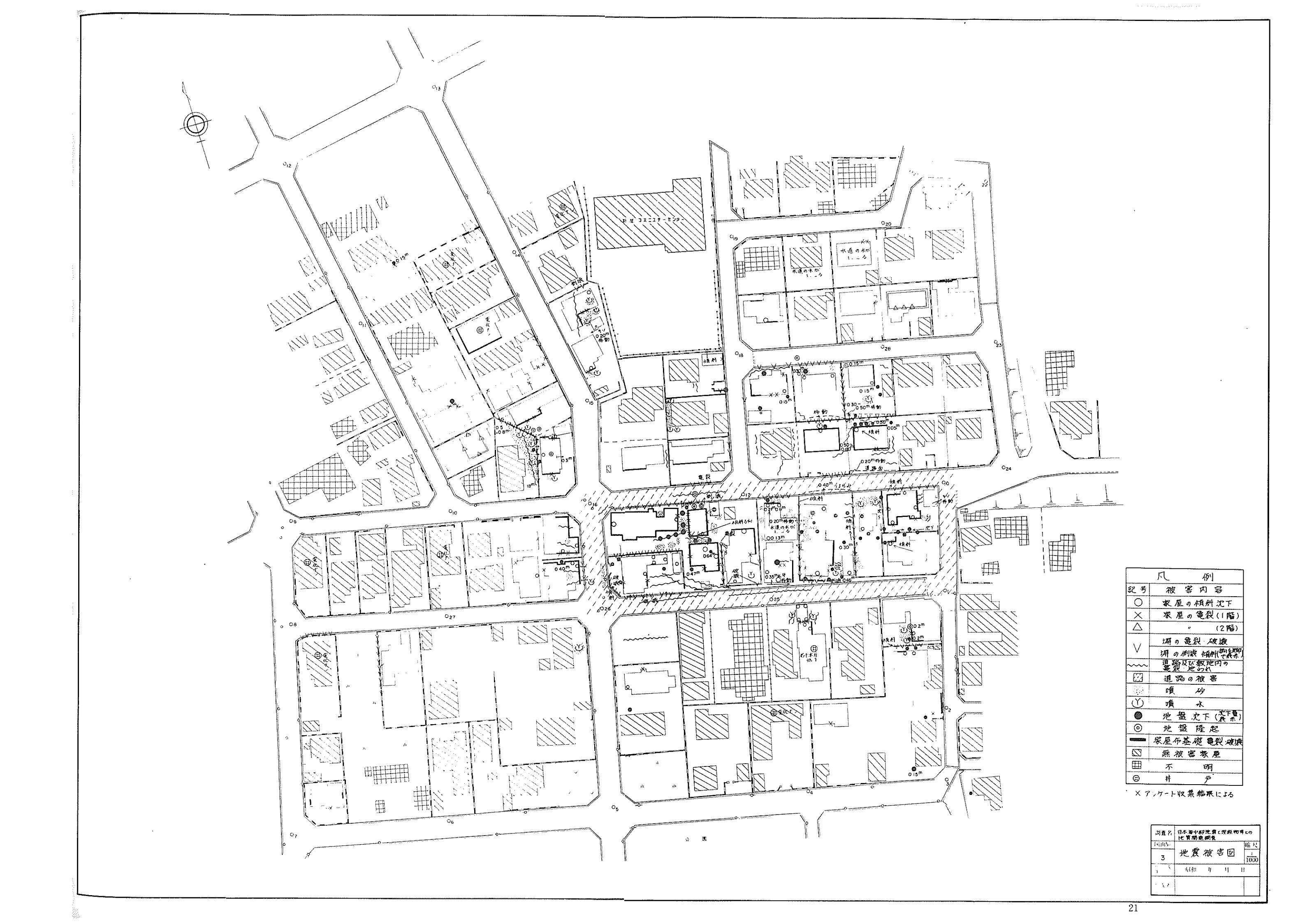
#### (2) 方法

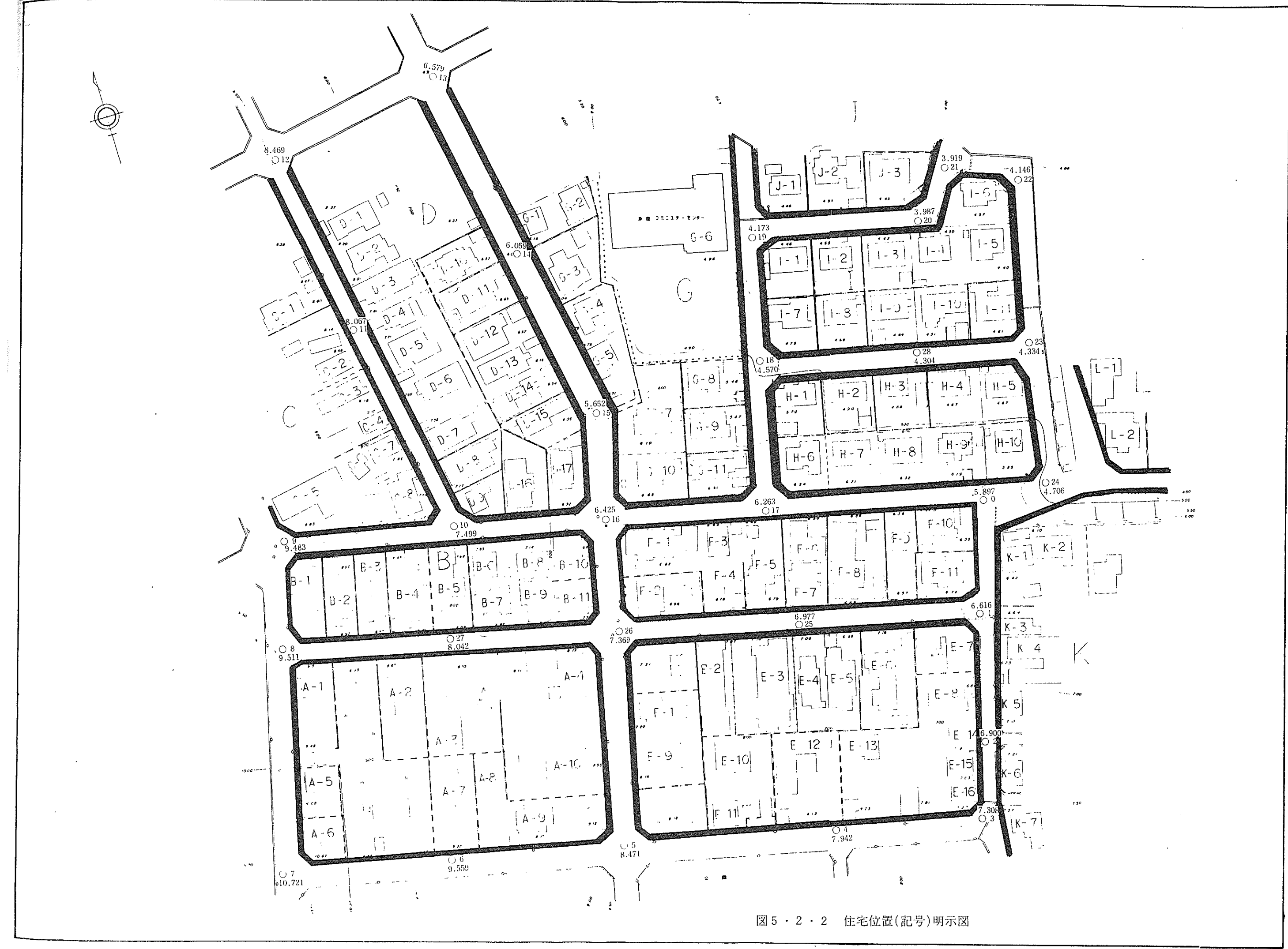
図 5・1・1調査位置平面図(S = 1:1000)の範囲の 113 世帯に、別冊資料その 1 (A)に示した被害調査用紙を配布し、アンケート記入後郵送にて回収した。期限までに未回収のものや、一部詳細確認の必要のある世帯へは面接調査を実施した。アンケートの質問内容は、以下のものである。

- ① 家屋の建築状況 (建築した年、盛土及び布基礎の鉄筋の有無)
- ② 家屋の被害状況 (傾斜・沈下, 布基礎の破壊, 壁の亀裂等の程度)
- ③ 地盤の被害状況(噴砂・噴水,地われ,沈下・隆起等)
- ④ 付近の構造物の被害状況 (ブロック塀, 道路等)
- ⑤ 地震時の振動状況(ゆれ方、継続時間、ゆれた方向等)
- ⑥ 下水道工事等の施工中の変状
- の 周辺工事等により、地下水の変化で気づいた事項

#### (3) 結果

被害調査用紙を113世帯に配布し、107世帯から回答をいただいた。この回答結果のうち、家屋及び地盤被害の状況については、図5・2・1地震被害図に整理している。また、各回答項目については以下に示したように、ヒストグラムで整理した。以降に示される家屋名は、図5・2・2に示した記号で記述するものとする。





## a 家屋の建築状況

建築年代、盛土厚及び布基礎に鉄筋が入っているかどうかにつきヒストグラムで 整理した。これが、図 5・2・3~図 5・2・5である。

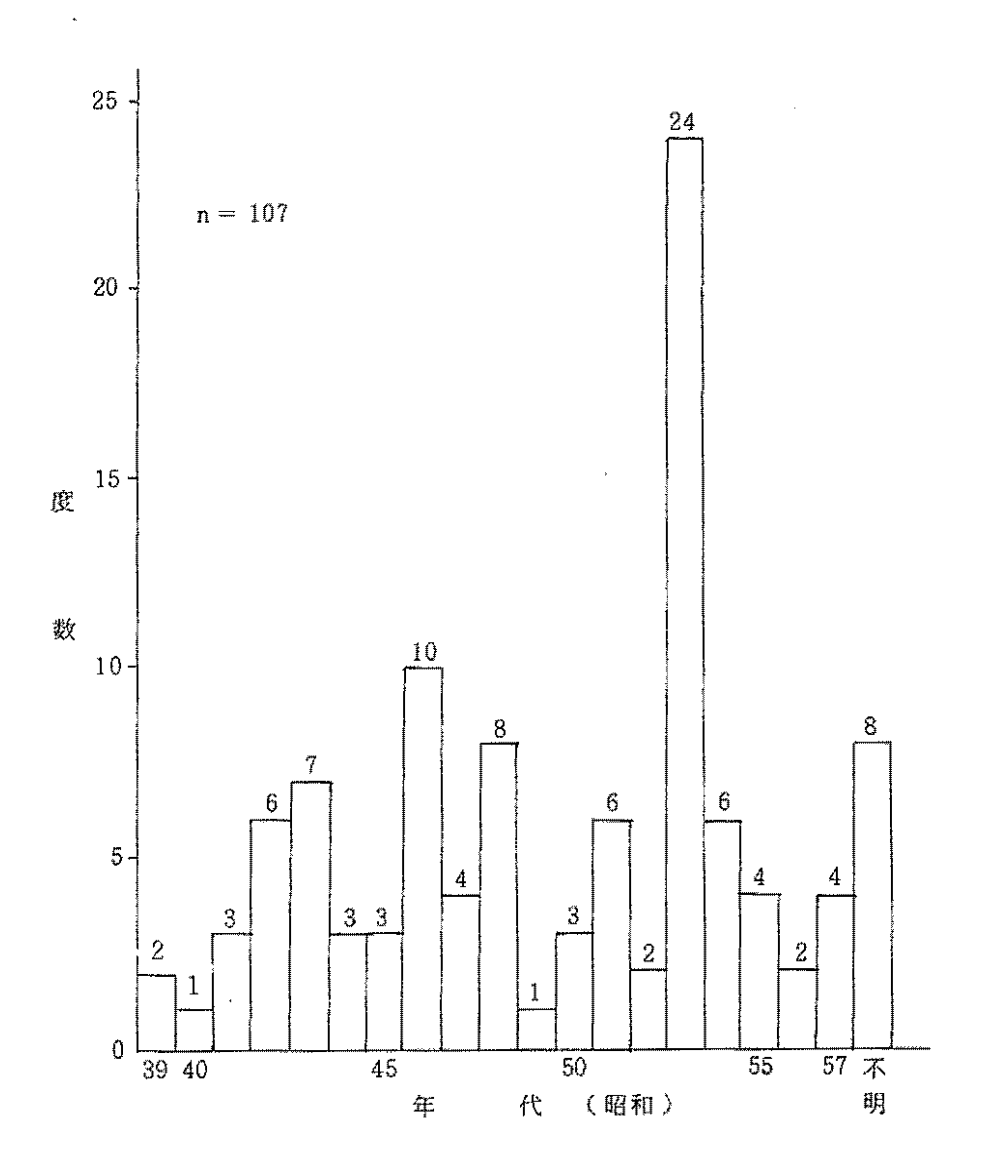
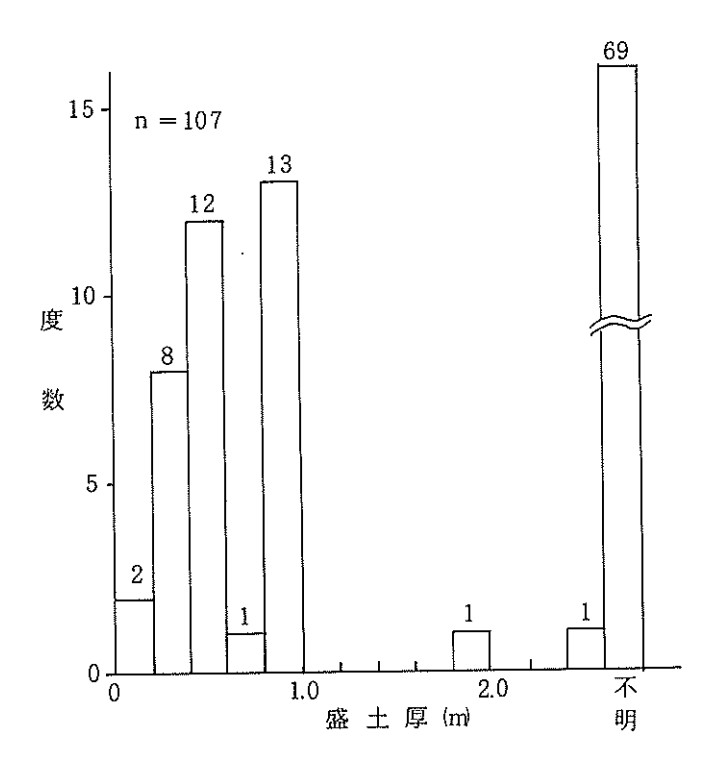


図5・2・3 建築年代のヒストグラム



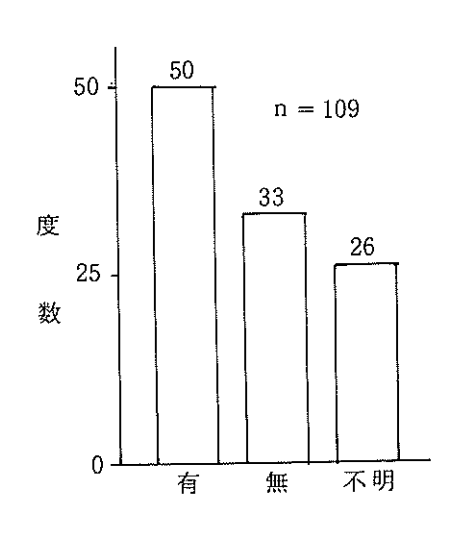


図5・2・4 盛土厚のヒストグラム

図5・2・5 鉄筋の有無ヒストグラム

回答していただいた範囲では、盛土厚 1.0 m 以下が大半を占めている。また、家屋の布基礎に鉄筋が入っているかどうかについては、図 5・2・5 のように 50世帯で鉄筋が入っていた。

建築年代をみると、昭和53年 秋田県住宅供給公社の造成地に建築された家屋が回答の2割程度を占めている。

# b 家屋の被害状況

家屋の被害状況及び次項 cの地盤の被害内容・位置については,図5・2・1 地震被害図として示している。

なお,秋田市役所調査及び本調査による被害分布図を,図5・2・7に示した。 家屋の被害は,45世帯(回答数107世帯)であった。

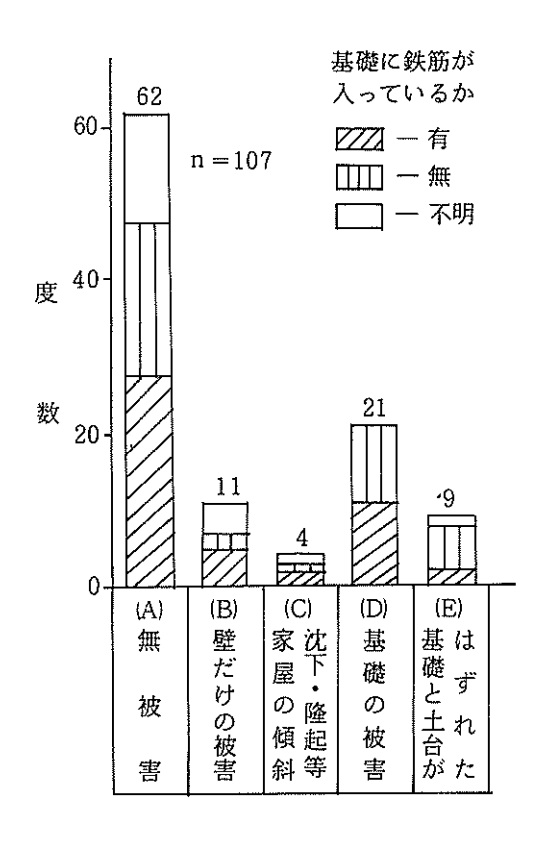
# (a) 布基礎の被害状況

|     | √ 小さなひびわれ                                                 | 1 3 世帯                                              |
|-----|-----------------------------------------------------------|-----------------------------------------------------|
|     | 大きなひびわれ ――――                                              | 5世帯                                                 |
|     | 段差が出来た                                                    | 4 世帯                                                |
|     | 破 壊                                                       | 1世帯                                                 |
|     | ブロック状                                                     | 1 世帯                                                |
|     | 大きなひびわれ,ブロック状                                             | 1世帯                                                 |
|     | 大きなひびわれ、段差が出来た ———                                        | 3 世帯                                                |
|     | 小さなひびわれ、段差が出来た                                            | 2 世帯                                                |
|     | 土台と基礎がはずれた家屋                                              | 9 世帯                                                |
|     | <ul><li>基礎に鉄筋が入っている家屋</li><li>(6世帯は鉄筋無し、1世帯は不明)</li></ul> | 2 世帯                                                |
|     | ボルトで締められている家屋<br>(2世帯は不明)                                 | 7世帯                                                 |
|     | •                                                         |                                                     |
| (ъ) | 壁に亀裂・破損が生じた家屋 31世                                         | 带                                                   |
| (ъ) | ſ                                                         | 帯 7 世帯                                              |
| (b) | (                                                         | 7世帯                                                 |
| (b) | ■ 基礎に鉄筋が入っている家屋 ———                                       | 7世帯                                                 |
| (b) | 基礎に鉄筋が入っている家屋 ————<br>/ 人っていない家屋 ———                      | 7世帯17世帯                                             |
| (b) | 基礎に鉄筋が入っている家屋          パ       入っていない家屋         不       明 | 7世帯 17世帯 7世帯                                        |
| (b) | 基礎に鉄筋が入っている家屋                                             | 7世帯 17世帯 7世帯                                        |
| (b) | 基礎に鉄筋が入っている家屋                                             | 7世帯 17世帯 7世帯 18世帯                                   |
| (b) | 基礎に鉄筋が入っている家屋                                             | 7世帯<br>17世帯<br>7世帯<br>18世帯<br>8世帯                   |
| (b) | 基礎に鉄筋が入っている家屋                                             | 7世帯7世帯7世帯 18世帯帯 帯帯帯 帯帯帯 帯帯帯 帯帯帯 帯帯帯 帯帯帯 帯帯 帯帯 帯帯 帯帯 |

# (c) 家具の転倒状況

家具が転倒したという回答は、11世帯であった。このうち、基礎に鉄筋が入っている家屋は、5世帯であった。

家屋の被害状況ヒストグラムを、図5・2・6に示した。



〔各項目の区分〕

- (A) 住宅に被害がない場合(車庫や敷地内の 地盤に被害があった世帯含む)。
- (B) 基礎に全く被害がなく、壁のみに亀裂が あった世帯。
- (C) 基礎に全く被害がなく、家屋の傾斜・沈 下及び降起があった世帯。
- (D) 土台は、はずれなかったが基礎の被害を 生じた世帯。
- (E) 基礎に亀裂や破壊が生じたうえ、基礎と 土台がはずれた世帯。

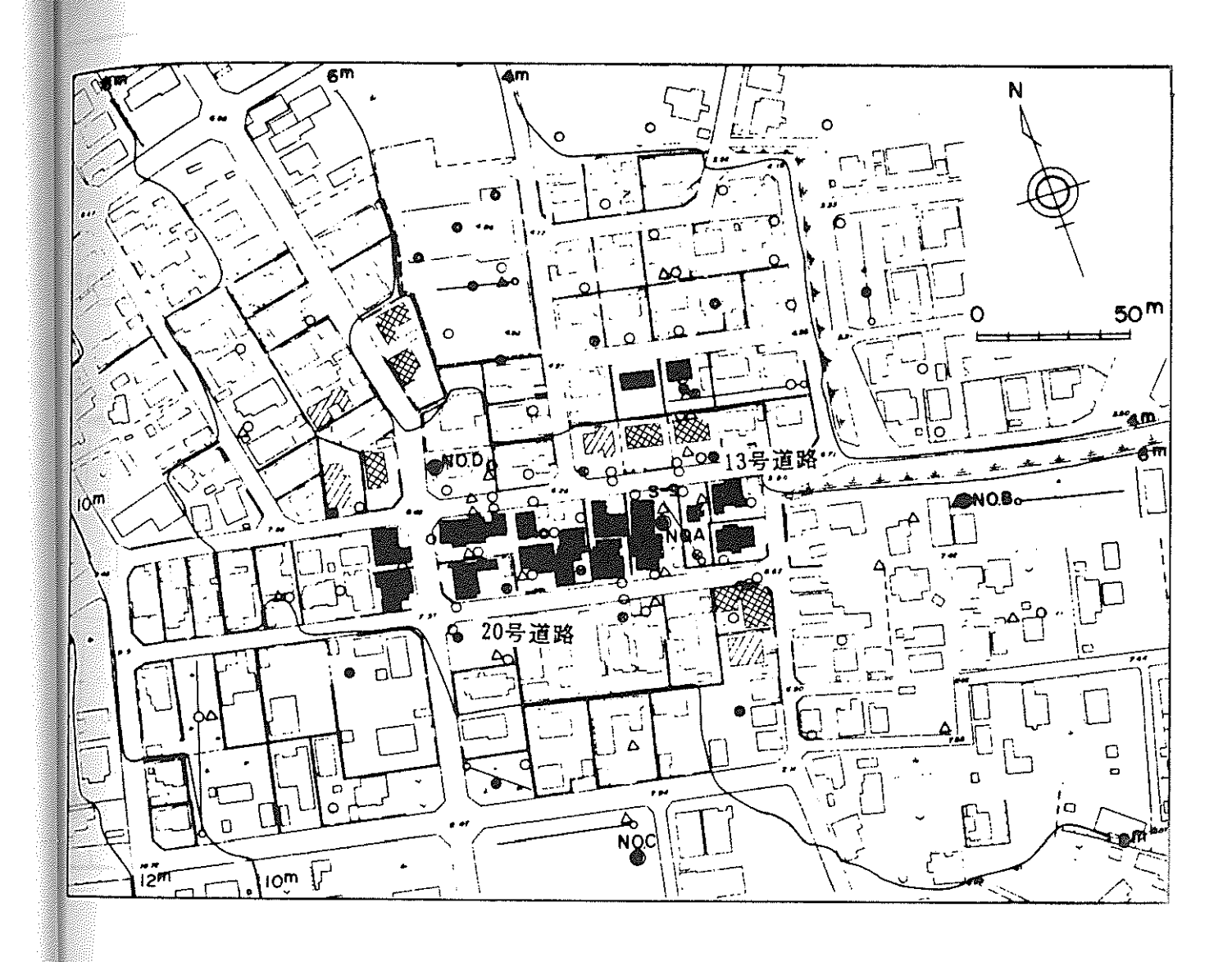
9世帯全て壁の亀裂,家屋の傾斜・沈下が生じている。

図 5 • 2 • 6 家屋の被害状況 ヒストグラム

# c 地盤の被害状況

住宅の被害は 45 世帯であったが、このうち噴砂・噴水が生じた戸数は 19 戸であった。

この他, 地震被害図に図示されていない事項について示す。



全壤家屋

半坡家屋

一部破壞家屋

: ボーリング・標準貫入試験・PS検層・常時微動測定地点

:既存ボーリング地点

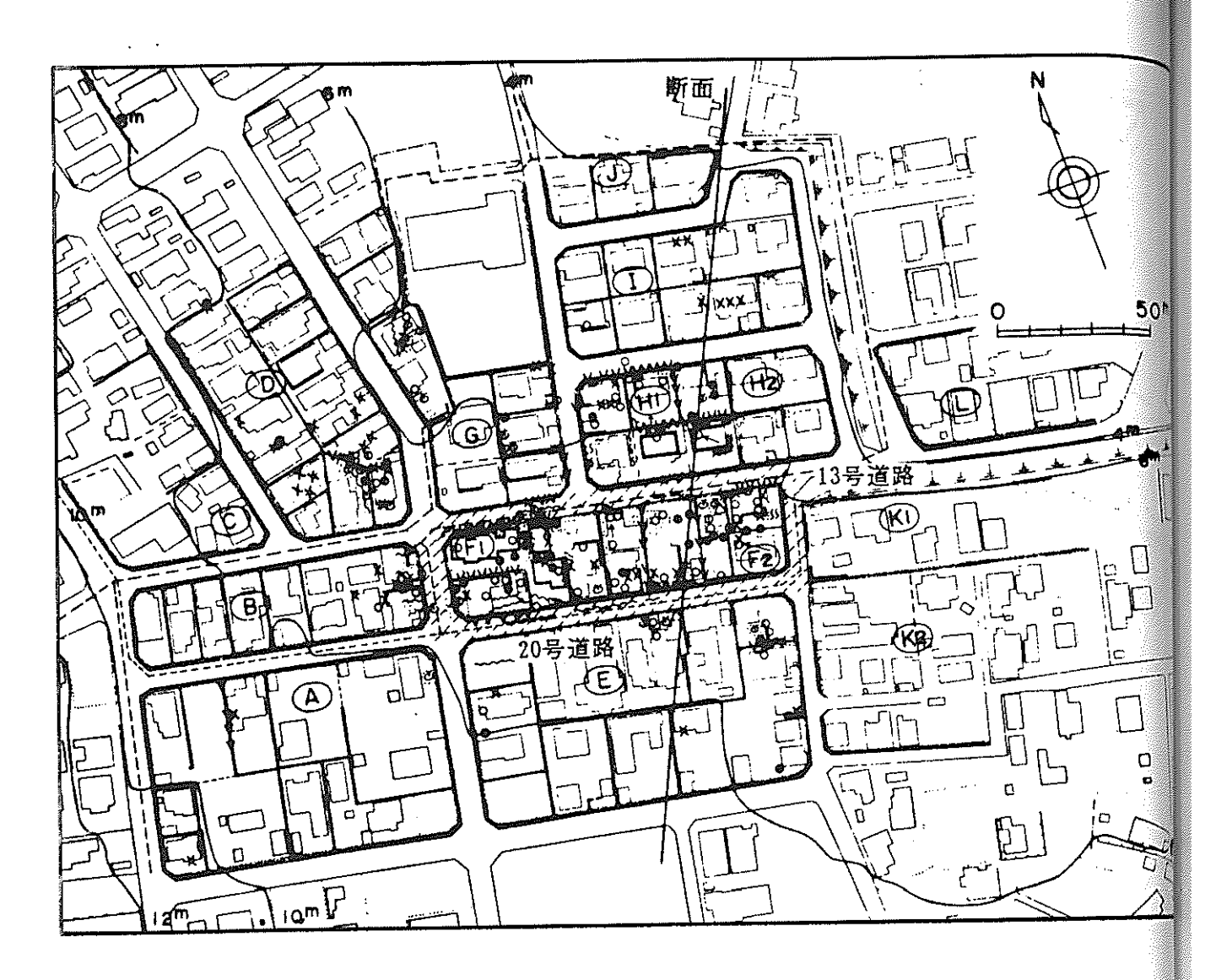
:スウェーデン式サウンディング実施地点

0 :地下水位観測地点

:常時微動測定地点

:PS探查実施位置

図5・2・7(a) 本調査内容及び秋田市役所調査にもとづく被害分布の図



### 等高線の数値は標高を示す

--- : 下水道管埋設位置

-----: : 工業用水管 ( ø 1200 mm) 埋設位置

----- : 矢板埋残し区間 (26 m)

・下水道管は昭和56年11月〜57年 3月にかけて施工

・工業用水管は昭和44年2月~44 年3月にかけて施工

・溜池埋立はG, H<sub>1</sub>, H<sub>2</sub>, I, J ブロックで昭和52年7月~53年3月にかけて施工

O :家屋の傾斜・沈下

× :家屋の亀裂

V :塀の色裂・傾斜・破壊

--- : 道路及び敷地内の龟裂

三 :唯 砂

① :噴水

● : 地盤沈下

O :地盤隆起

:家屋布基礎の亀裂・破壊

[2] :道路の被害

←一 : 傾斜・移動の方向

(A) :地区割りをしたブロック名(例)

図5・2・7(b) 本調査による被害分布図

### (a) 地中埋設物の浮上りや沈下

便槽・浄化槽の浮上り 4世帯

水道管の切断・浮上り 5世帯 (浮上りは1世帯)

ガス管の切断 2 世帯

下水道管の切断 2世帯

### (b) 地震後の井戸水の状況

回答をいただいたのは(E-5)宅だけであった。(E-5)宅の井戸水は濁りはなかったが、若干水圧が低下したそうである。

### (c) 上水道の状況

水道水が地震後濁ったという回答が〔G-5〕・〔I-2〕・〔I-3〕宅の3世帯からあった。

### (d) 電柱の被害

電柱が下がったという回答が〔B-10〕宅及び〔F-5〕宅の2世帯からあった。

なお、 [F-5] 宅北側の電柱はトランスが乗った電柱である。

#### d 地震時の振動状況

家を留守にしたり、よくわからないという人が多く回答数は少ないが、地震時の ゆれ方の周期、継続時間及び主にゆれた方向についてヒストグラムに整理した。 ゆれ方については、ガタガタと感じた人が多かったようである。

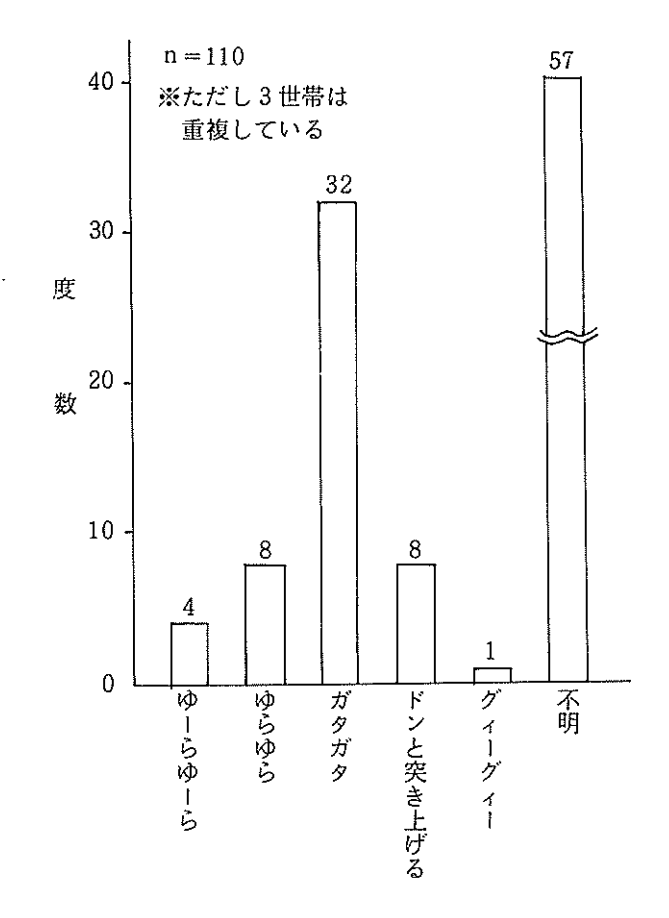


図 5・2・8 ゆれ方のヒストグラム

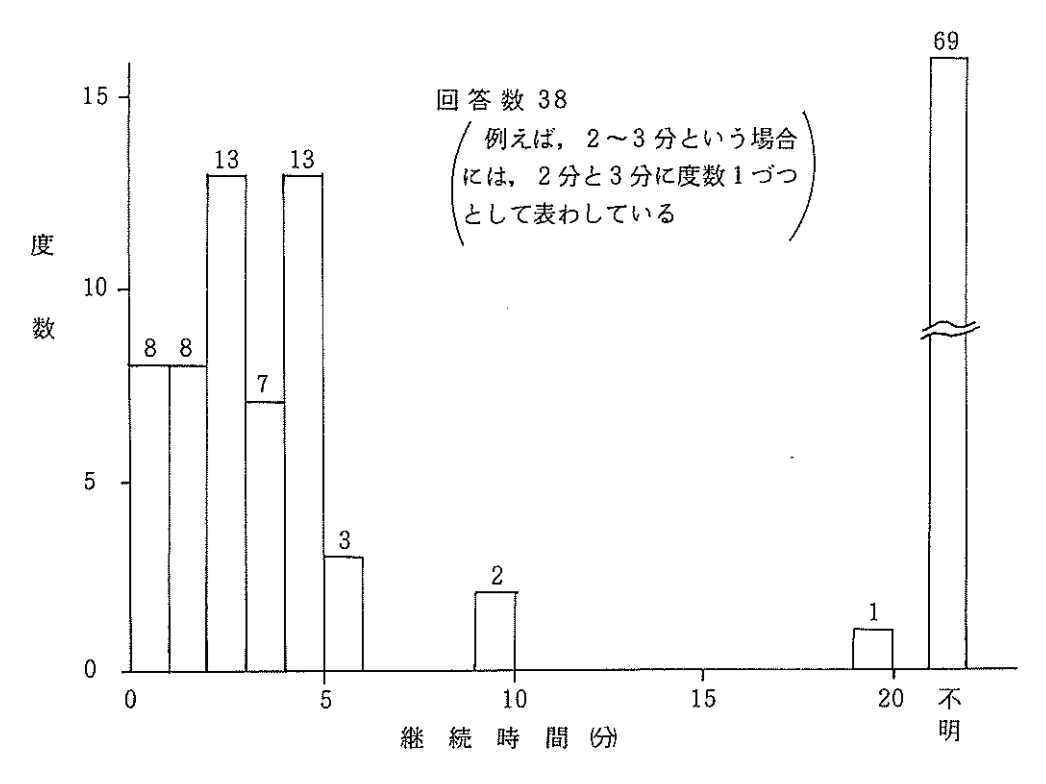


図5・2・9 継続時間のヒストグラム

継続時間は5分以下が回答 数の大半を占めている。

主にゆれた方向としては、 南北方向と感じた人が多いようである。

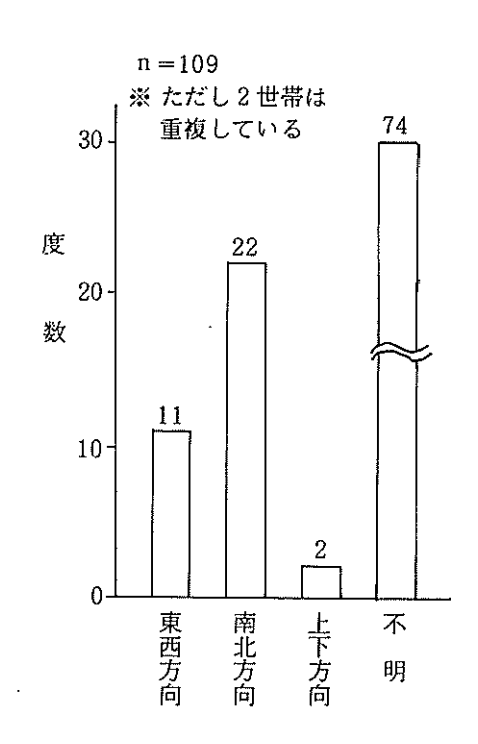


図5・2・10 ゆれた方向のヒストグラム

### e 周辺工事等による変化について

### (a) 下水道工事

下水道工事による変状と思われている回答は以下の通りである。

 階段が壁から1~2 cm離れた。
 1世帯

 玄関とコンクリートの叩きの境に 5 m程度
 1世帯

 のすきまができた。
 10世帯

 壁の亀裂
 11世帯

 地われ・沈下
 14世帯

 基礎の亀裂
 1世帯

 ブロック塀の亀裂
 4世帯

 地下水位上昇(工事中水が出てきたのも含む)
 3世帯

 地下水位下降
 2世帯

/ 井戸水が濁り,量が少なくなって使えなくなる。 〈 擁壁からしみ出していた水がとまったのも含む。/ なお聞き込みによると, 矢板打設時の振動はかなり大きかったようである。

(b) 工業用水工事

 家屋の壁の亀裂
 1世帯

 風呂のタイルのひびわれ
 1世帯

 地下水位上昇
 1世帯

(c) 県住宅供給公社の宅地造成工事

(d) 何の工事か不明だが地下水位上昇 3世帯なお、図5・2・11 に周辺工事等による変状状況図を示した。

### 5・3 埋設管などの施工状況に関する調査

(1) 目的

本地域では、下水道管や工業用水管等の地下埋設工事が何度か実施されており、これらの工事等の影響が直接地震被害の原因と考えられるかを究明するために、施工状況等に関する情報を収集し地震被害の原因究明の資料とする。

(2) 方 法

下水道管や工業用水管等の地下埋設管の構造や施工状況資料及び地震被害状況等以下の4項目について調査した。

a 地下埋設管構造

各関係機関に聞き込み調査を実施し、地下埋設管の埋設位置・深度及び構造管の 資料を入手した。

(a) 下水道管 (秋田市下水道課)

(b) 上水道管 (秋田市水道局)

(c) 工業用水管 (秋田県企業局工務課)

(d) ガス管 (東部ガス)

(e) 電話線 (秋田電報電話局)

(f) 排水暗渠 (秋田県住宅供給公社)

b 施工状況

下水道管及び電話線について, 関係機関に聞き込み調査を実施し施工状況及び埋 戻し材料について確認した。また,下水道管埋設工事の担当者にその時の状況を確 認した。

### 下水道管の地震被害調査

本地域中心部を東西に伸びる13号道路に埋設されている下水道管の地震被害状 況は, 秋田市下水道建設課により調査された。

調査方法は対象区間 115.1m の両端の管中心を見通せる位置(マンホール内)に トランシットを据えつけ,管継手部分(概ね8m毎)で水平方向南端から管中心まで の距離 Yn を巻尺で測定し、図 5・3・1(a) に示す 0.5 - Yn (m) を水平方向の変位 **量とした。鉛直方向については,下流側マンホールの位置に管路全長を見通せる高** さにレベルを据えつけ(マンホール内),図 5・3・1(b) のように計算より求めた ある位置 Zn での X<sub>1</sub> から、水準測量による X<sub>2</sub> を引いた値を鉛直方向の変位量とし た。

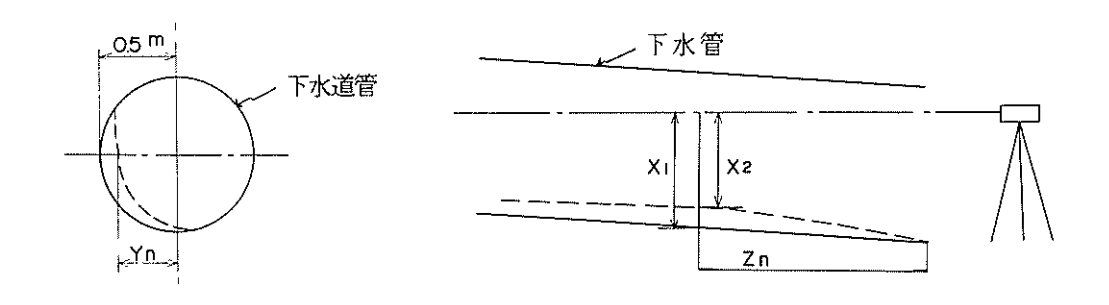


図 5・3・1(a) 水平方向測定概略図 図 5・3・1(b) 鉛直方向測定概略図

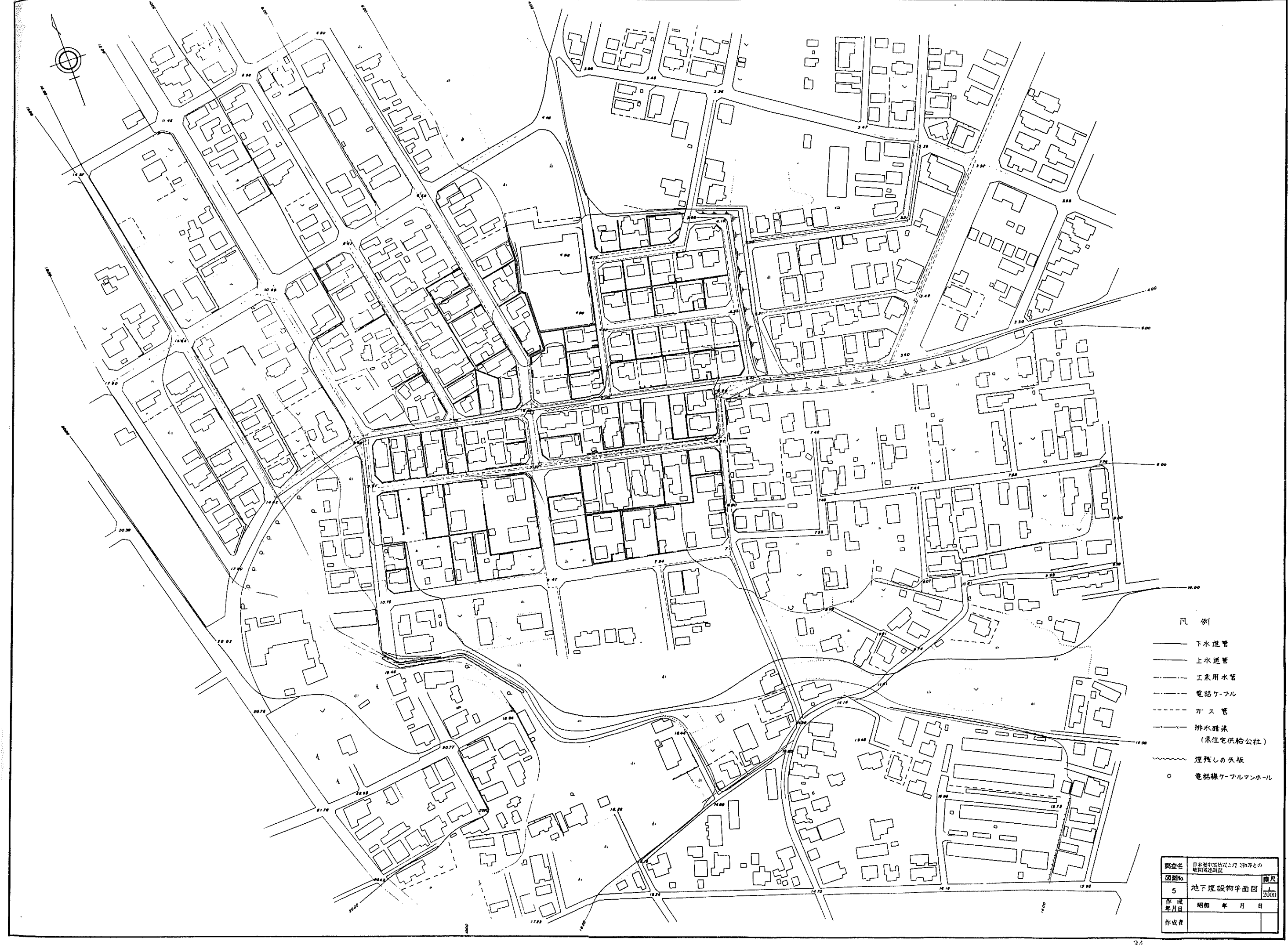
### 埋戻し土の材料調査

13 号及び20 号道路で2ケ所ずつ(計4ケ所)について、オーガーボーリングに より埋戻し材料の確認(地下水位観測併用) と,スウェーデン式サウンディングによ り締まり具合を調査した。また13号道路の埋残し矢板区間を掘削し、矢板長さ及 び矢板前後での地下水位を測定した。

#### (3) 調査結果

### a 地下埋設管構造

地下埋設管の位置は図5・3・2地下埋設物平面図に示した。 なお深度や管径等については、別冊資料その1(B)に一括掲載した。



#### b 施工状况

#### (a) 下水道管埋設工事

秋田市下水道建設課の当時の担当者に施工状況及び、工事による周辺の被害に ついて確認した。その結果を要約すると次の通りである。

振削士は埋戻し材料として品質が悪いと判断された。従って,山の切り込み材料を使用した。材料試験は実施してないが,レキの混っている粒子の粗い砂であった。

締固めについては、土木工事共通仕様書(秋田県土木部)に則って実施しているはずである。締固めは小型のランマーで行った。

下水道工事の工程は、1.矢板打設工、2.掘削工、3.管布設工、4.埋戻し工、5. 矢板引抜工、6.舗装工に区分すると、1.と5.の時点及び5.の終了後に被害が生じた。

1.の時点の被害は打設に伴なう振動による被害で 15 m位まで及んだ。その時の被害内容は浴槽のタイルがはげたり、壁に亀裂が入ったりするものであった。 5.の時点の被害は、下水道管周辺 3 ~ 5 mの範囲に発生したもので、ブロック塀や土間コンクリートに亀裂が生じた。なお被害の程度は、1.の場合よりも5.の場合の方が大きかった。

矢板打設工法は、サイレントパイラー工法(矢板圧入工法の一種)である。従って、挿入時の被害は少ない。クレーンの振動や矢板を固定する時の振動が被害原因と考えられる。

埋戻し工で締固めを行っても, 矢板引抜き後周辺の土圧や水圧に よって図5・3・3のように押しよ せてくる。 これが地表面の沈下 を促がして周辺家屋に被害を与え たと考えられるが,この範囲は下 水道管のごく周辺であった。

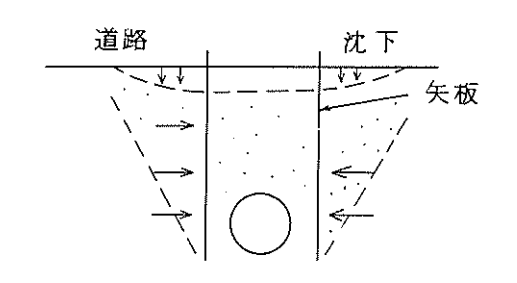


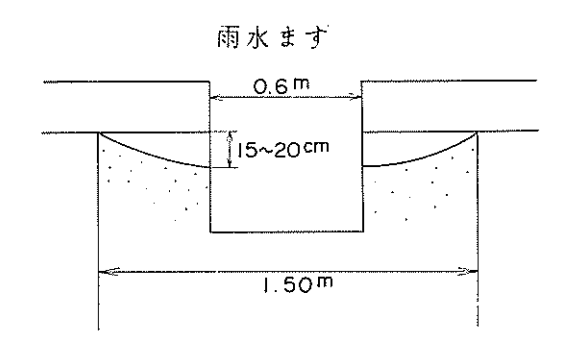
図 5 • 3 • 3 地盤流動変形模式図

地下水の汲み上げ量ははっきりしないが、2インチのポンプ (標準吐出水量 0.32 ㎡/min)を用い、釜場方式で排水した。矢板で締め切った範囲の水を下げる

のに約1時間かかった。その後,空気を吸う状態になるので断続的にスイッチを 入れた。

下水道工事の付帯工事として, 雨水ますの建設工事を行った。

掘削面が自立せずに地下水面から崩れてきた。その範囲は図 5・3・4 のようである。なお、側溝下部について空隙の有無を3 ケ所チェックしたが異常は認められなかった。



### [施工業者一斎光組からの話]

土取場は秋田市桂根の砂を購入 図 5・3・4 雨水ます周囲の崩壊状況 して使用した。下水道管の基礎は

購入した砂である。(下水道管の材質が強化プラスチック複合管であるため傷つ けない配慮から)

矢板圧入に使用したと思われる機械

(梯技研製作所 KGK-100-H (圧入力・引抜き力 100t)

サイレントパイラー SMP工法

振動 38~45dB

(測定範囲 10~30m)

騒音 48~55dB

# (b) 電話ケーブル埋設工事

〔電々公社秋田電気通信部からの話〕

設計書や施工関係の資料は3年間保管である。それ以上経過すると処分するので一切資料は残っていない。

仕様書については改正のたびに仕様書を差し換えているので, 当時の仕様がど うなっているか不明である。

### [施工業者一東北通信建設㈱からの話]

管周辺の間隙を突き棒で突いて締固めた。上はランマーで締固めた。 材料は掘削土をそのまま使用した。なお、管の下には砕石を敷いていない。

#### (c) 工業用水管埋設工事

調査したが、記録が残っていなかった。

### c 下水道管の地震時被害

13 号道路中央部に埋設されている下水道管の地震被害結果は図 5・3・5 地震被害調査結果図として示した。

その結果を見ると、 $F_2$ 、 $H_1$ ブロックあたりで新屋松美町から松美ケ丘東町に向かって(南から北に向かって)、最大 36.6 cm 水平移動している。鉛直方向については最大隆起量 8.8 cm、最大沈下量 5.6 cm と、水平移動量に比べ小さいが下水道管が波打つように変形していたことが判明した。

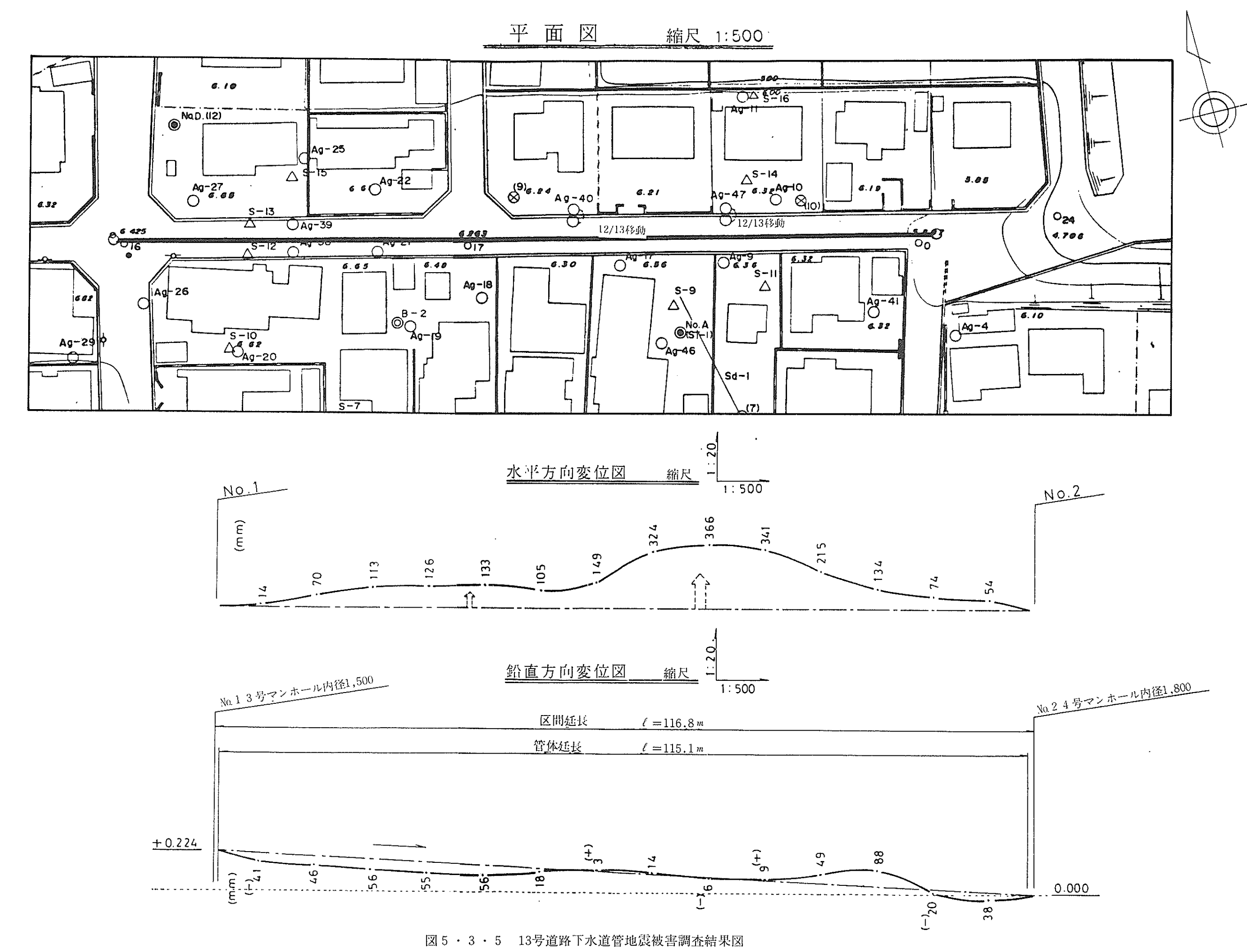
以上の結果から、この付近では松美町から北方の松美ケ丘東町に向かって、下水 道管の埋設深度までスベリ破壊が生じたことが推察できる。

#### d 埋戻し土の材料調査

アスファルト舗装をコアカッター ( ø 100%) で切り抜き、オーガーボーリング を実施して、埋戻し土の試料採取と地下水位を確認した。

調査位置は図5・3・6調査位置図に示した。調査結果は表5・3・1及び模式断面図として図5・3・7~図5・3・10に示した。

なお、採取した試料は粒度試験を実施した。粒度試験結果は別冊資料その1(F)に、ボーリング孔で採取された試料の粒度試験結果とともに一括掲載した。この結果はf. 埋戻し土の透水性の検討で用いている。



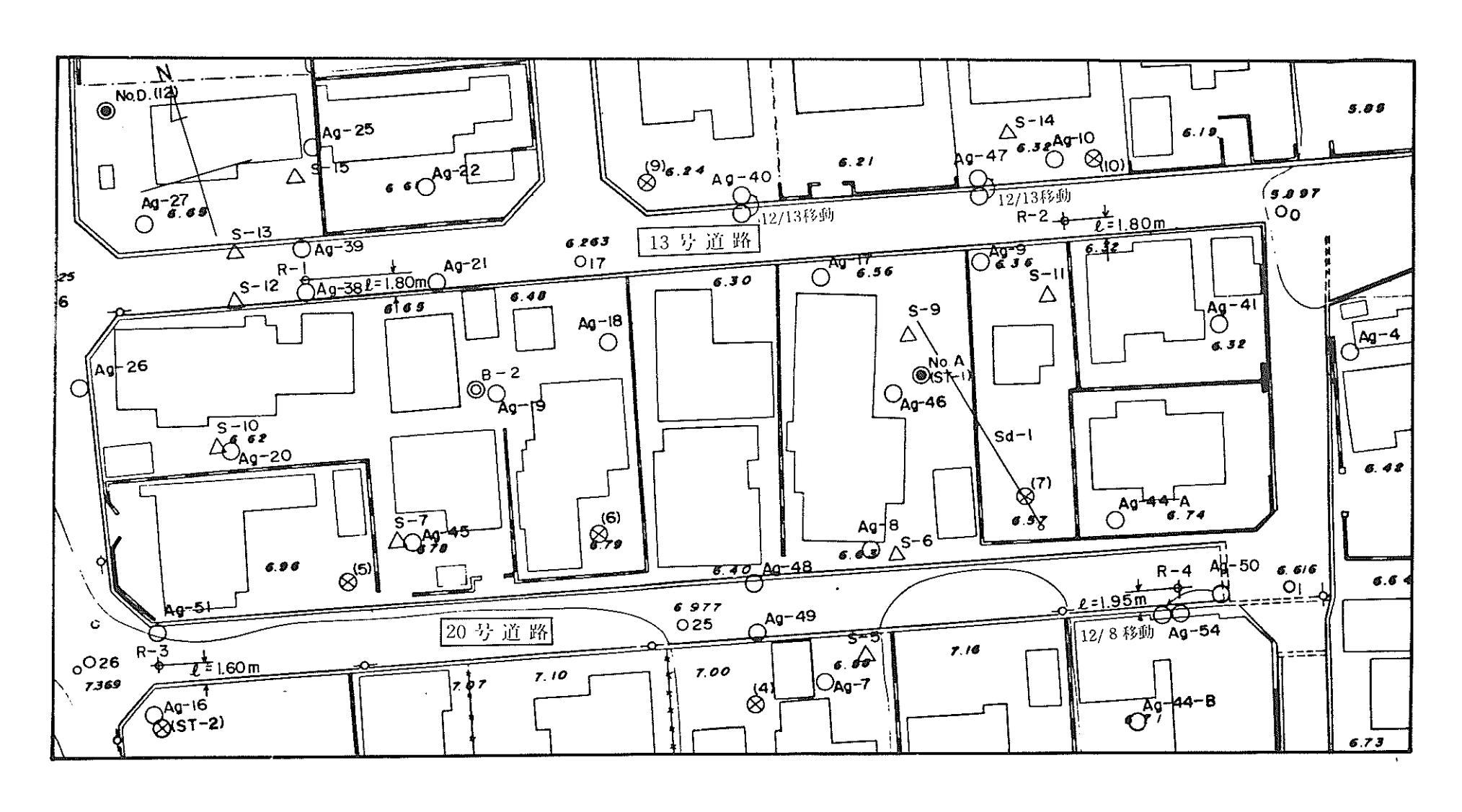


図5・3・6 調査位置図(S=1:500)

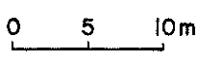
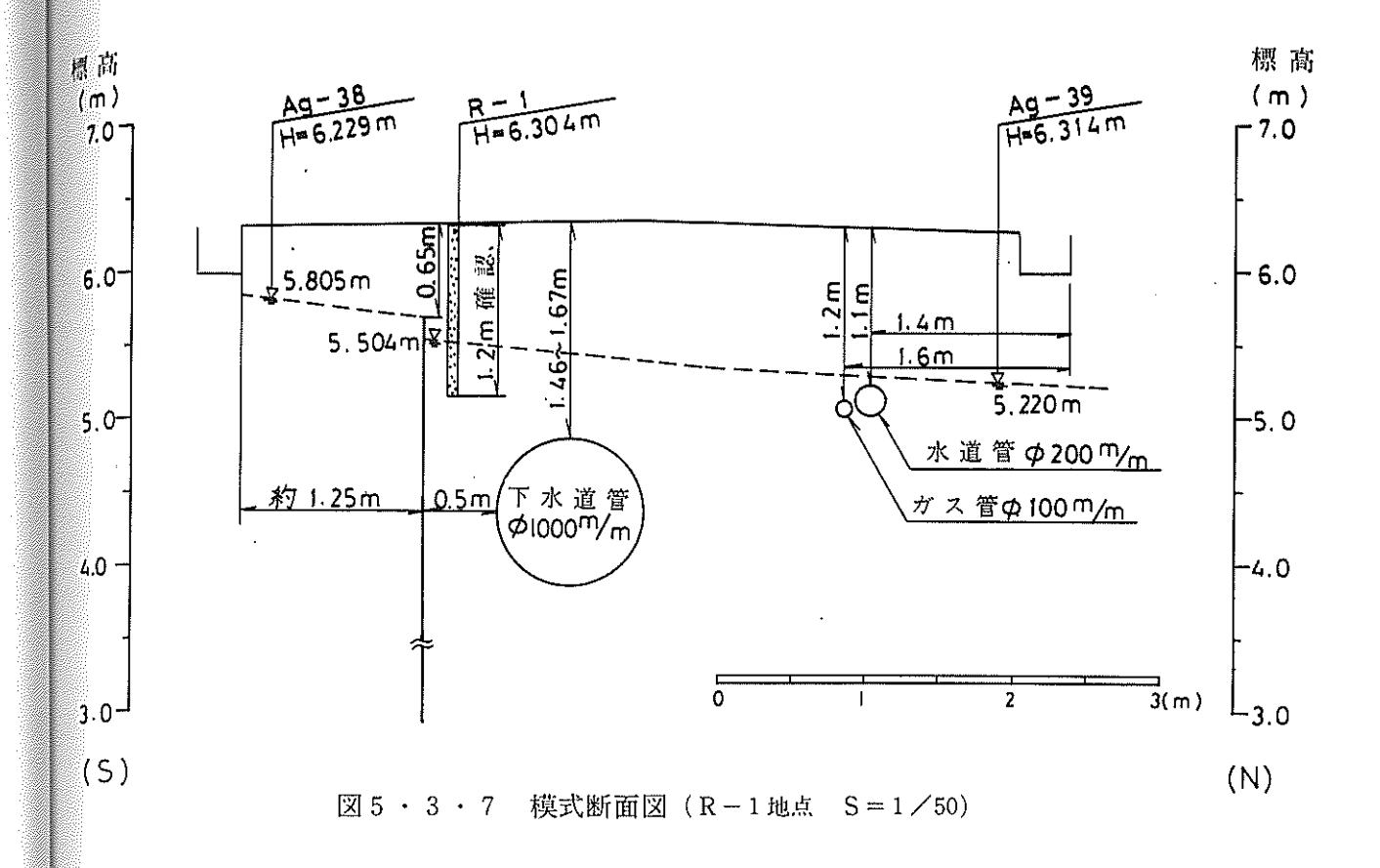
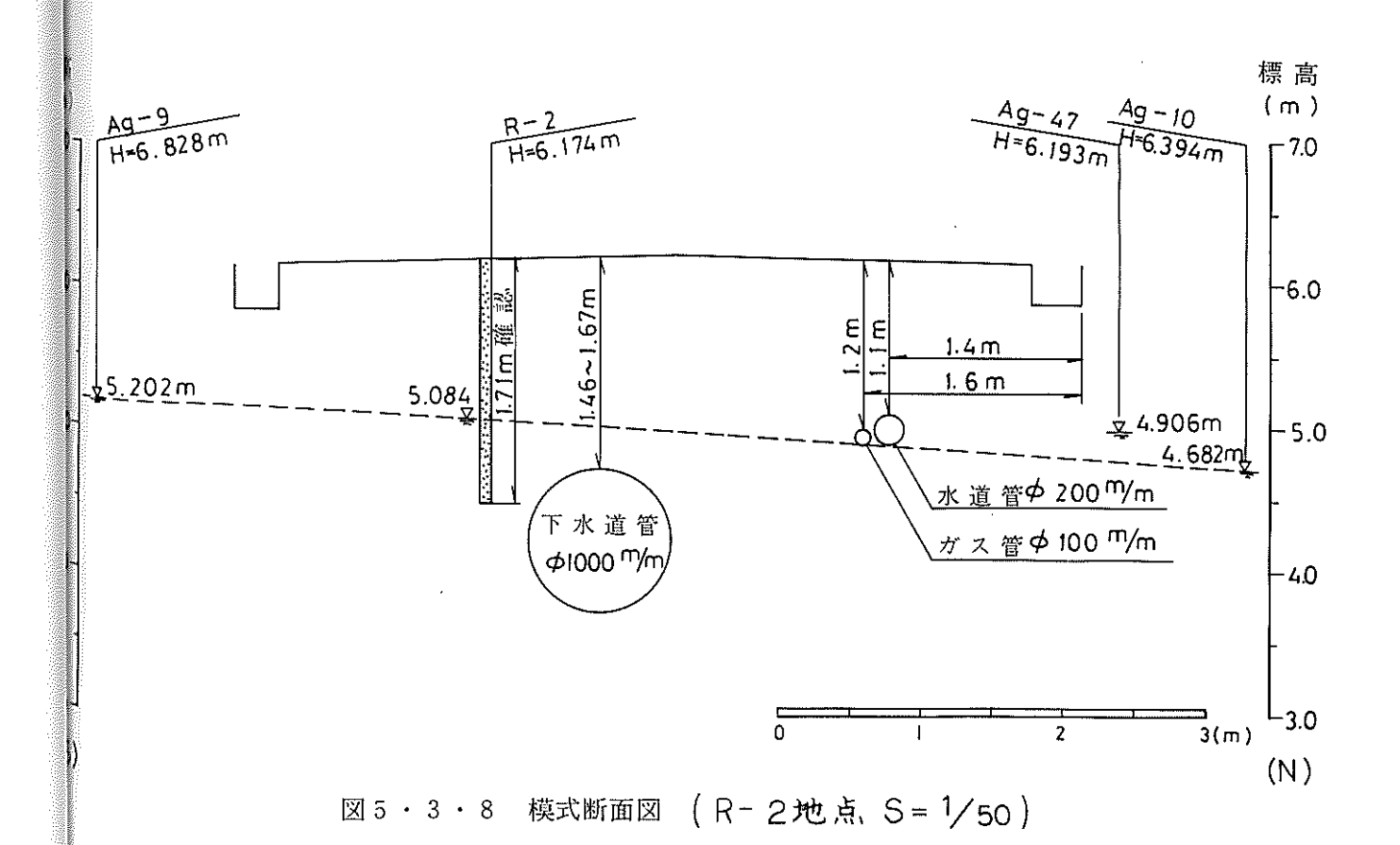


表5・3・1 調査結果一覧表 (昭和59年1月24日実施)

|    | 項目    | 掘削深度   | 標高       | 地下 7    | k 位 (m)  | 土質                            |          |              | 近 接     | 地          | 下 水        | 位     | (m)        |            |              |       |       |       |       |
|----|-------|--------|----------|---------|----------|-------------------------------|----------|--------------|---------|------------|------------|-------|------------|------------|--------------|-------|-------|-------|-------|
| 地点 | ä     | (m)    | (m)      | 深度      | 標高       |                               |          | 位置           | 地点No.   | パイプ<br>標 高 | パイプ<br>立上高 | 地盤高   | 水 位<br>深 度 | 水 位<br>標 高 | 地盤面か<br>らの深度 |       |       |       |       |
| 13 |       | 1.00   | 6 2 0 4  |         | 5. 5 0 4 | 0.04 mまでアスファルト<br>0.35 mまで砕石  | 南側       | Ag-38        | 6.889   | 0.590      | 6, 299     | 1.084 | 5.805      | 0.494      |              |       |       |       |       |
| 号  | R – 1 | 1. 2 0 | 6.304    | 0.80    | 5. 5 0 4 | 0.72 m まで褐色の細砂                | 北側       | Ag-39        | 6.704   | 0.570      | 6.134      | 1.484 | 5.220      | 0.914      |              |       |       |       |       |
| 道  |       |        |          | 1. 0 9  |          | 0.04 mまでアスファルト<br>0.45 mまで砕石  | 南側       | Ag- 9        | 7.018   | 0.190      | 6.828      | 1.816 | 5.202      | 1.626      |              |       |       |       |       |
|    | R - 2 | 1.71   | 6. 1 7 4 |         | 1. 0 9   | 1                             | 5. 0 8 4 | 5. 0 8 4     | 以下褐色の細砂 | DITHE COME | 1          | 北側    | Ag-10      | 6. 944     | 0, 550       | 6.394 | 2.262 | 4.682 | 1.712 |
| 路  |       |        |          |         |          |                               |          |              | AD 06)  | Ag-47      | 6.640      | 0.440 | 6.193      | 1.680      | 4.960        | 1.240 |       |       |       |
| 20 | R - 3 | 2, 38  | 7. 384   | 1. 1 7  | 6. 2 1 4 | 0.05 mまでアスファルト<br>0.25 mまで砕石  | 南側       | Ag-16        | 7.685   | 0.395      | 7.290      | 1.162 | 6.523      | 0.767      |              |       |       |       |       |
| 号  | к-5   | 2. 30  | 7. 304   | 1. 1. 1 | 0.214    | 0.55 mまでレキ混り細砂<br>以下褐色の細砂     | 北側       | Ag-51        | 7.765   | 0.460      | 7,305      | 1.518 | 6.247      | 1.058      |              |       |       |       |       |
| 道  |       |        |          |         |          | 0.04 mまでアスファルト<br>以下褐色のレキ混り粗砂 | 南側       | Ag-50        | 6.818   | 0.080      | 6.736      | 0.710 | 6.108      | 0.630      |              |       |       |       |       |
|    | R - 4 | 1. 3 5 | 6. 7 8 7 | 0.93    | 5.857    |                               | 113 00   | Ag-54        | 7.317   | 0.600      | 6.717      | 1.059 | 6,258      | 0,459      |              |       |       |       |       |
| 路  |       |        |          |         |          |                               | 北側       | Ag - 44<br>A | 7.249   | 0.400      | 6.849      | 1.555 | 5.694      | 1.155      |              |       |       |       |       |





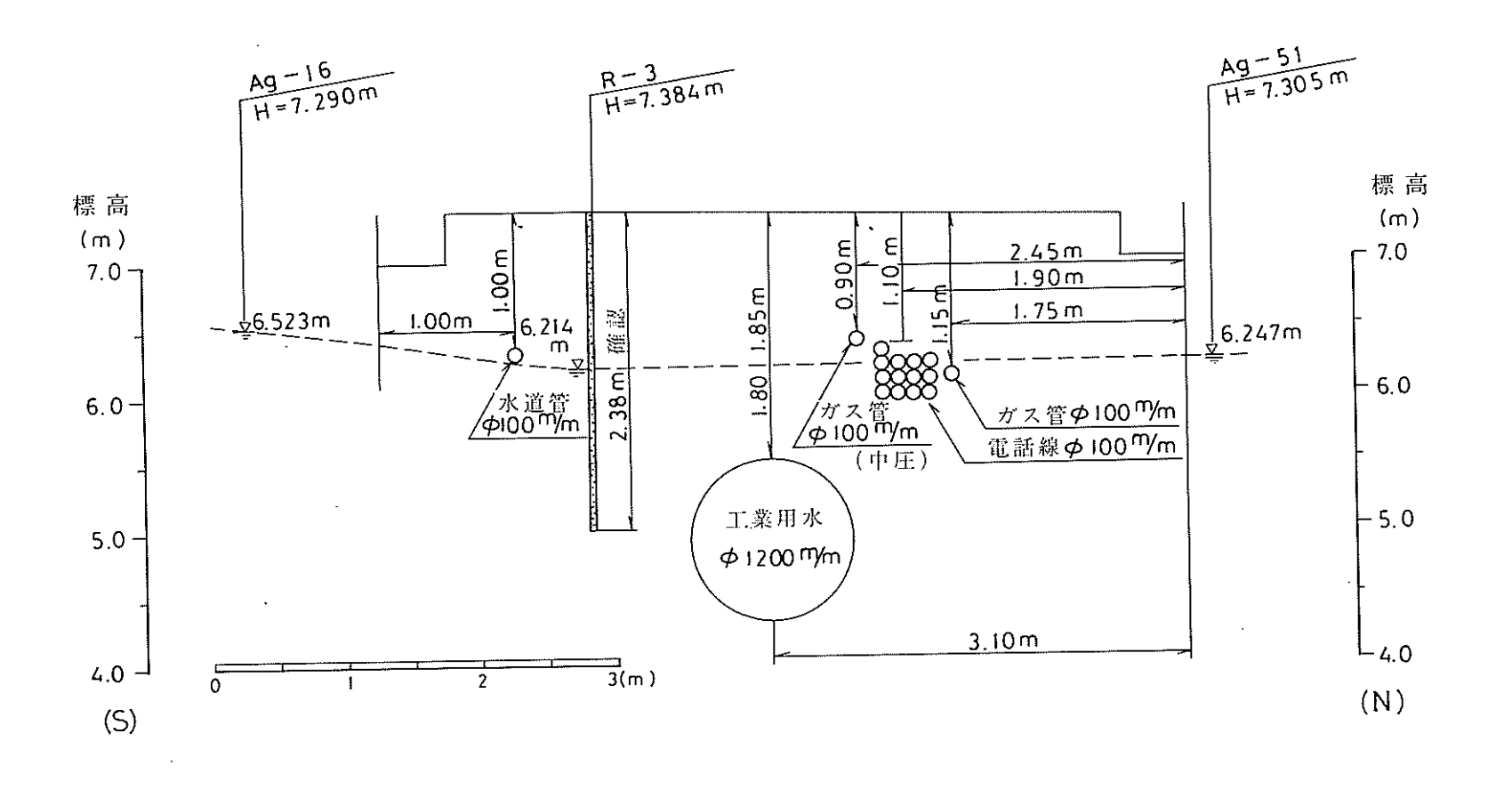


図5・3・9 模式断面図 (R-3地点 S=1/50)

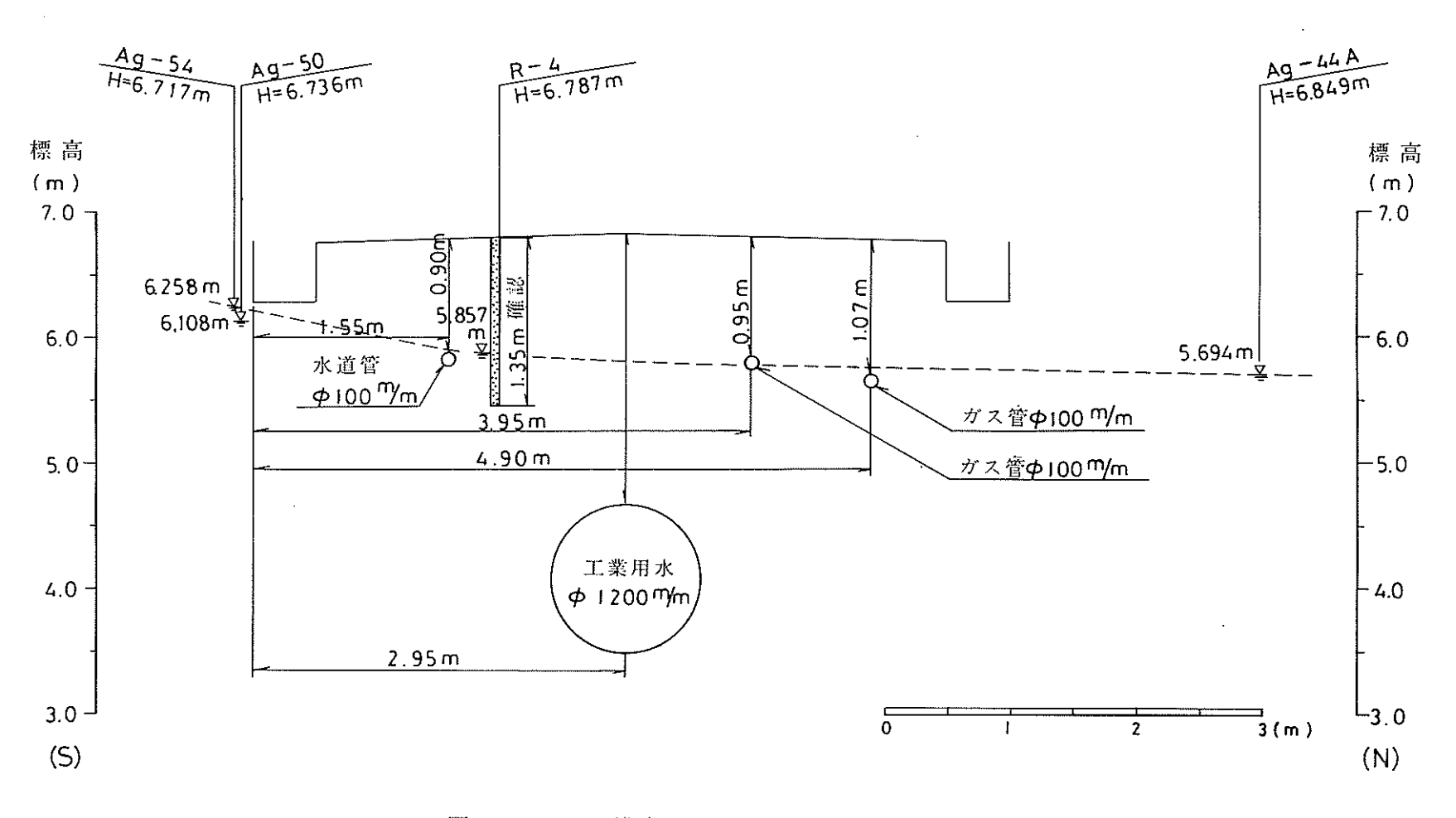


図5・3・10 模式断面図 (R-4地点 S=1/50)

### e 埋残しにされている矢板区間の調査結果

秋田市下水道建設課により 13 号道路に打設されたままの矢板の位置確認が 3 月 16 日に行われた。地下水位まで掘削されたため、矢板前後での地下水位を測定した。図 5・3・11 に掘削位置を示す。

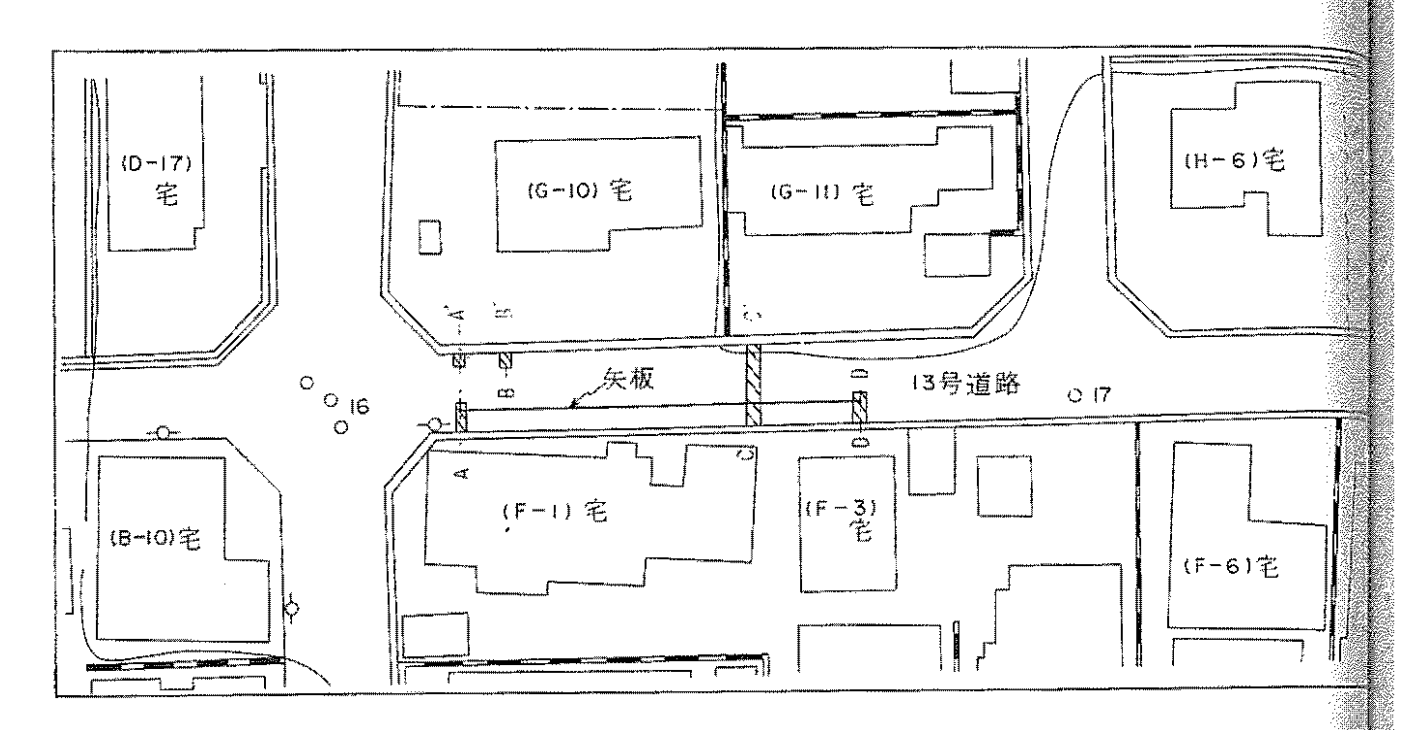


図 5 · 3 · 11 掘削位置平面図 (S=1/500)

掘削は4断面行われた。詳細については図5・3・12に図示した。 調査結果としては,

- ① 埋残しにされている矢板の延長は約26.1 mであった。
- ② 矢板の埋残されている西端 A-A'間での水位は図  $5\cdot 3\cdot 13$  に示したように、 両者ともGL-0.4m程度の水深であった。
- ③ 矢板を挟む C C'間では水位差は 45.0 cm程度であった。

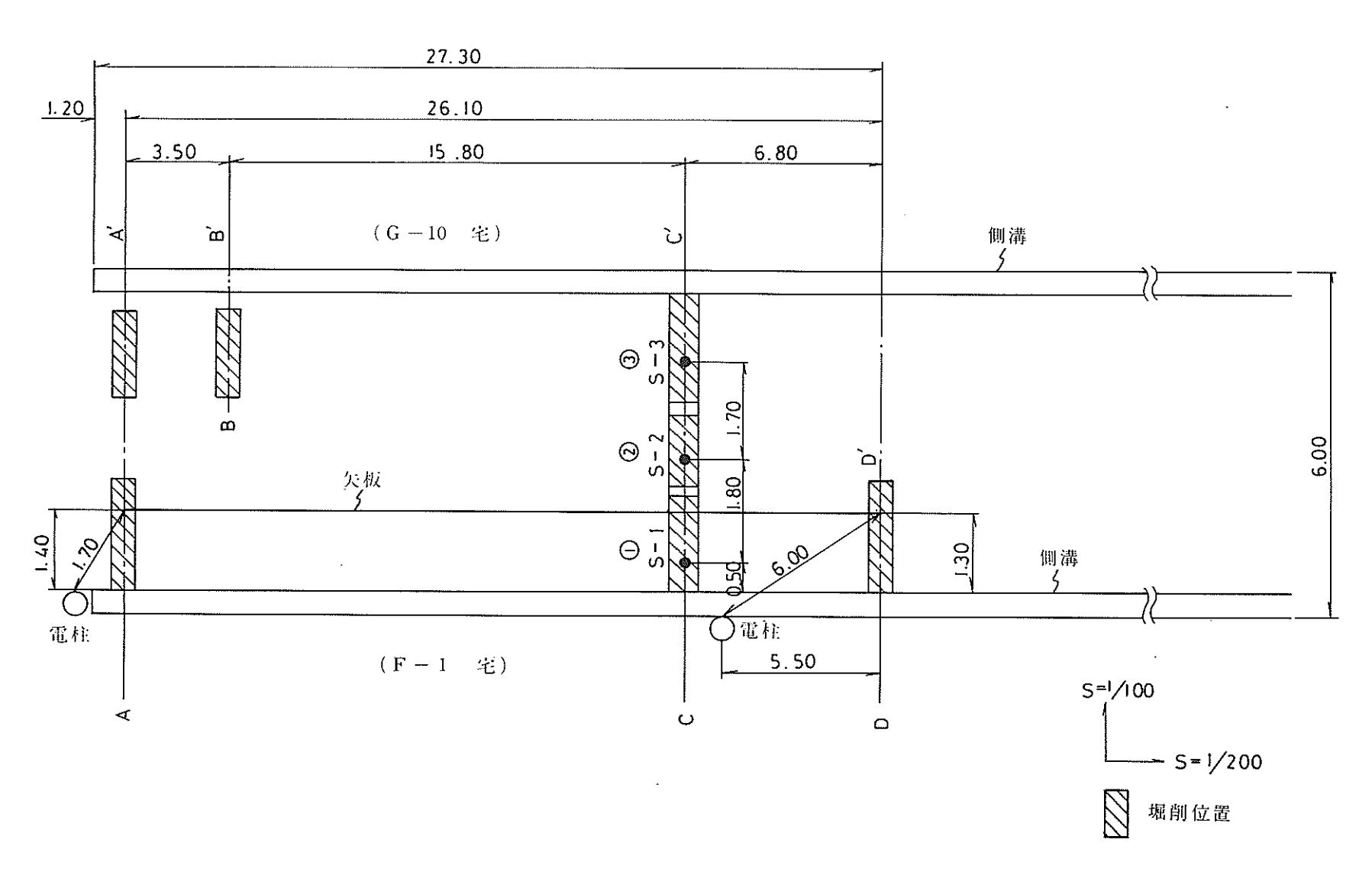


図5・3・12 掘削位置平面図(詳細図,単位m)

次に各断面での地下水位状況を縮尺 50 分の1 で模式図として示す。

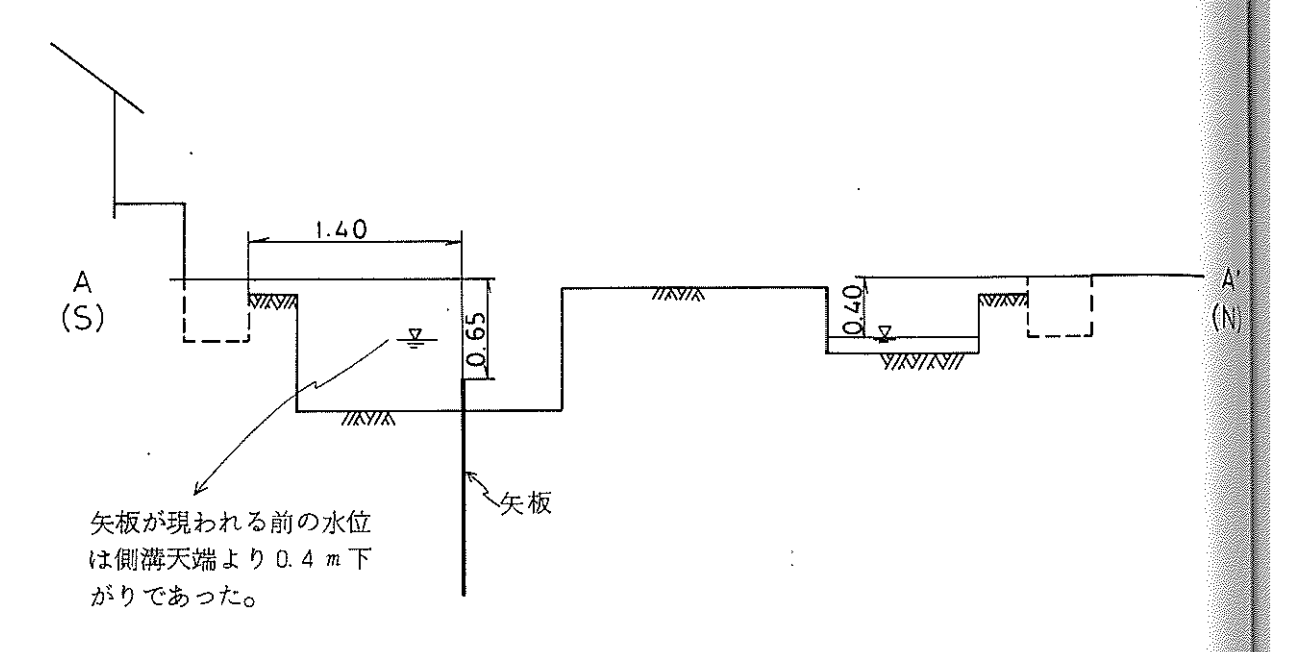


図5・3・13 A - A' 断面

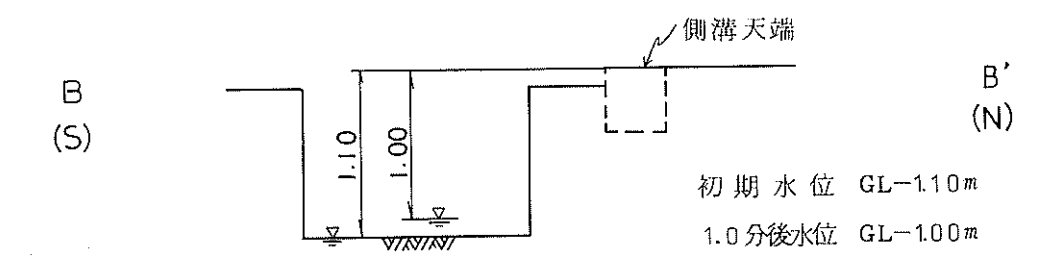
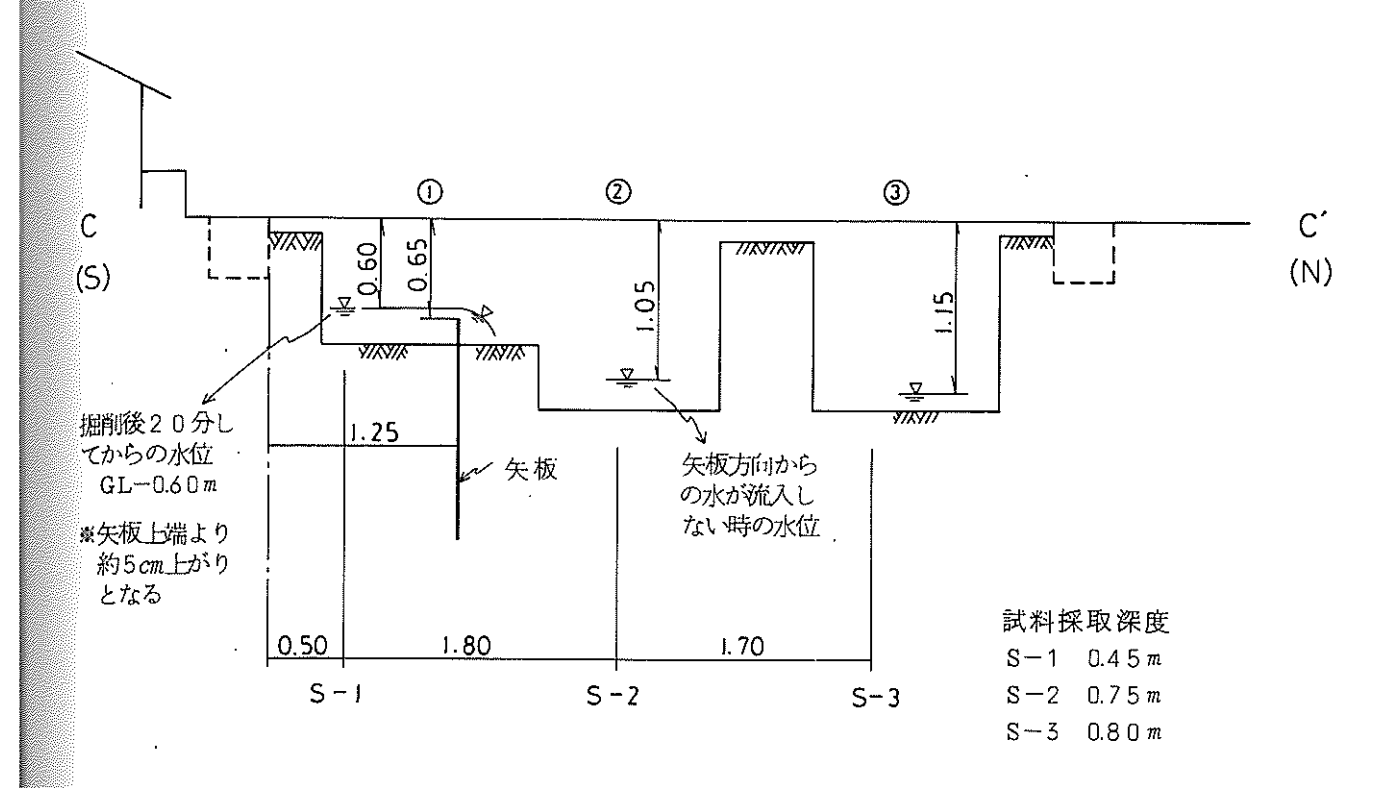


図5・3・14 B - B' 断面



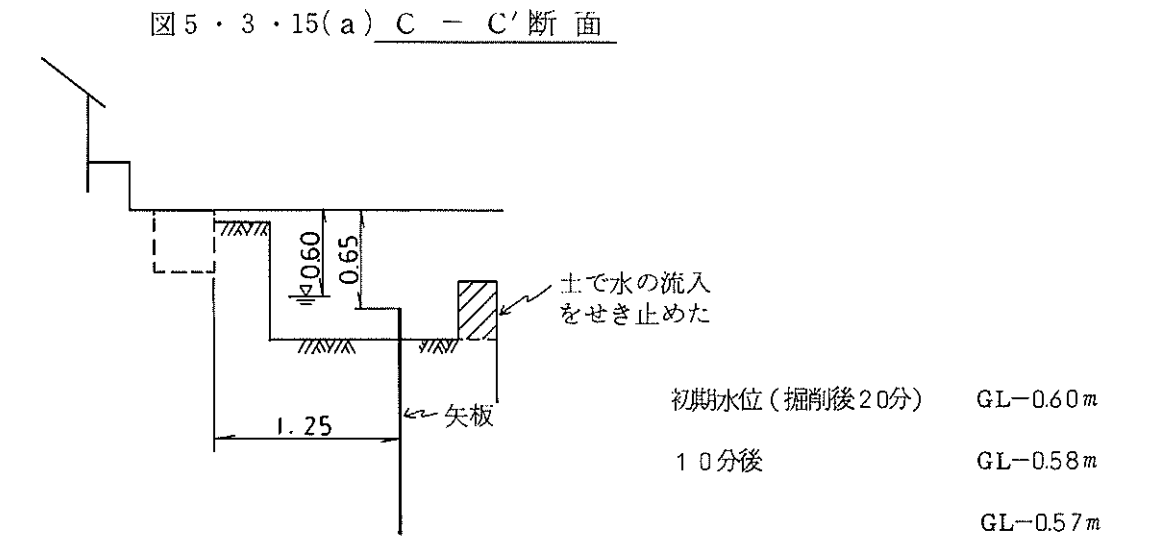


図5・3・15(b) ① 断 面

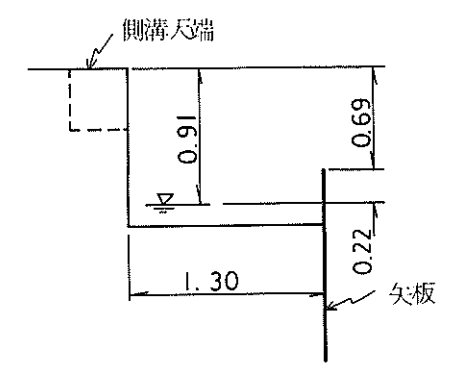


図 5 · 3 · 16(a) D - D'断面

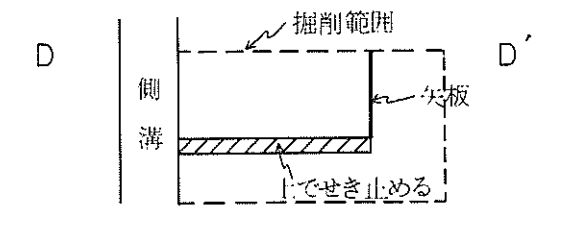


図5・3・16(b) 平面図

初期水位 GL-0.91 m

10分後 GL-0.67 m

20分後 GL-0.64 m

なお、C-C′断面での地下水面を想定すると図 5・3・17 のようになる。 ただし道路面の標高は推定である。

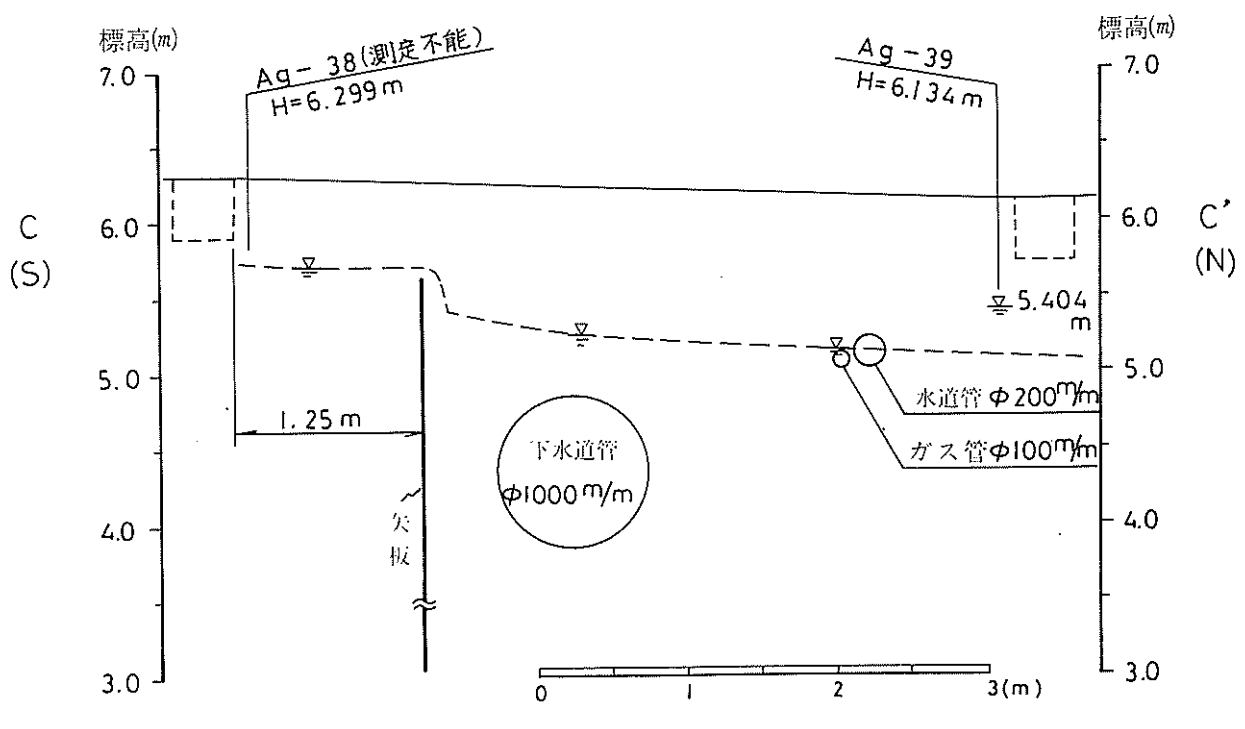


図 5 · 3 · 17 C - C′断面模式図 (S = 1/50)

# f 埋戻し土の透水性

埋戻し土の粒度試験結果を表 5・3・2 粒度試験結果一覧表及び図 5・3・18粒径加 積曲線総合図に示した。

表 5 • 3 • 2 . 粒径試験結果一覧表

| ※ 地点    | 項目    | 試料採取<br>深度<br>(m) | 最大粒径   | 60%粒<br>径 Deo<br>뻬 | 30%粒<br>径 D30<br>伽 | 10%粒<br>径 D <sub>10</sub> | 均等係数<br>Uc | 曲率係数<br>Uc′ | 50%粒径<br>Dso<br>伽 | 細粒分含<br>有率 F. C<br>(%) |
|---------|-------|-------------------|--------|--------------------|--------------------|---------------------------|------------|-------------|-------------------|------------------------|
| 13<br>号 | R-1   | 1.0 ~ 1.2         | 9.52   | 0.368              | 0.284              | 0,189                     | 1.94       | 1.15        | 0.325             | 2,8                    |
| 号道路     | R-2   | 1.5 ~ 1.7         | 4.76   | 0.326              | 0.230              | 0.150                     | 2.17       | 1.08        | 0. 280            | . 2.3                  |
| 20 景    | R – 3 | 1.5 ~ 1.7         | 9.52   | 0.359              | 0.275              | 0.169                     | 2.13       | 1.25        | 0.315             | 5. 0                   |
| 号道路     | R-4   | 1.1 ~ 1.3         | 1 9. 1 | 0.573              | 0.327              | 0,176                     | 3, 26      | 1.06        | 0.450             | 6.2                    |

※ 各地点の詳細位置は図5・3・6に示している。

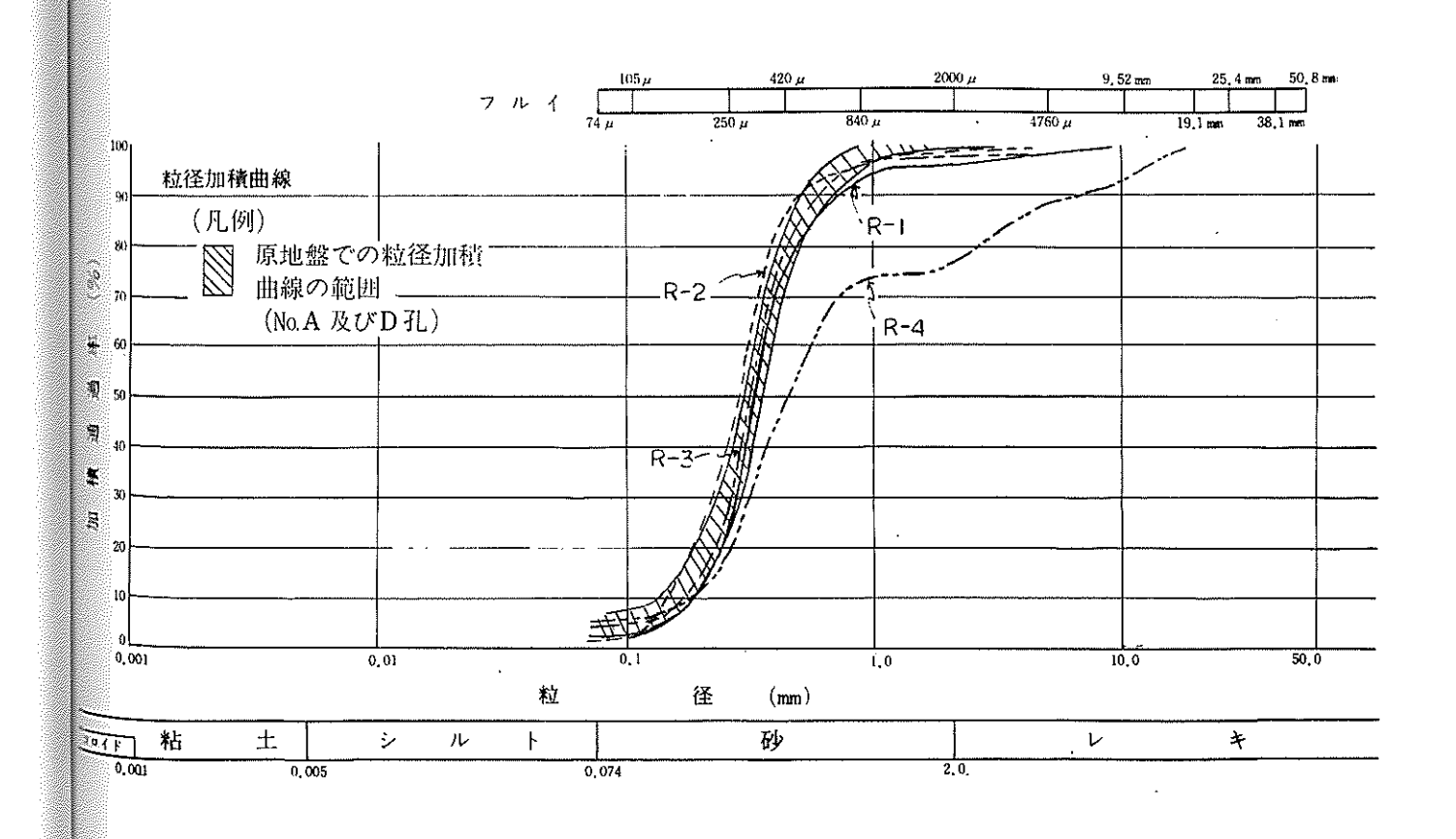


図 5・3・18 粒径加積曲線総合図

これらの結果から判断すると、R-4を除く3試料とも細粒分含有率が $2\sim5$  %と少なく、均等係数3以下で粒度分布が極めて悪い(粒径が揃っている)、透水性良好な埋戻し材料と思われる。またR-4にしても細粒分は6.2 %と他に比べ若干多いが、均等係数も3.26 と小さく、他の地点と大差ないようである。しかし、図5  $\cdot 3 \cdot 17$  からわかるようにボーリング $\Lambda A$  及び $\Lambda A$  及び $\Lambda A$  の原地盤の粒度と大差なく、特に埋戻し土だけが透水性良好というわけではないようである。

透水係数は土の粒径及び間隙比から推定した。その結果を以下に述べる。なお詳細は別冊資料その1(B)に示した。

- (a) Creager (クレーガー) による $D_{20}$  と透水係数関係 より推定 透水係数は、R-2 で $6.6\times10^{-3}$  cm/secであり、他の3 地点は $1.5\times10^{-2}$  cm/sec 前後を示し、排水良好な材料と思われる。
- (b) Slichter (スレクター)の方法より推定
   埋戻し土の密度を 1.7~ 2.1 t/m² に変えて求めた透水係数は密度が大きくなると、小さくなる傾向にあるものの 9×10<sup>-3</sup>~ 3×10<sup>2</sup> cm/sec 程度となった。
- (c) Taylor (テーラー)の透水係数と間隙比の関係より推定ボーリングNo.A (2.25~3.00 m)の最大・最小密度試験結果と,想定したN値より間隙比を推定して, Taylor の提案 K = 1330 e³/(1 + e )より透水係数を求めた。その結果,想定N値約8以下の埋戻し土の透水係数は概ね2.7×10⁻²~

ボーリングNa A の表層 4 m 程度(N 値 2 ~ 3) の透水係数を推定すると  $5 \times 10^{-2}$  cm/sec 前後となり、それぞれの土について見ると透水性良好と言える。

g スウェーデン式サウンディング結果
. スウェーデン式サウンディング結果は別冊資料その 1(C)に図表として示した。
各調査位置での結果の概略は以下のとおりであった。 .

(a) R-1地点

5.1×10<sup>-2</sup> cm/sec 程度となった。

測定地点に礫が含まれていると、スクリューポイントが礫に与える影響で一概には判断できないが、中間には  $Nsw~50\sim60$  程度の締りの層が 0.8~m~程度あるものの、あとは Nsw~500 以上(GL-1.7~m でカラ回り)となり密な締りをしている。

#### (b) R-2地点

GL-3.0 mまでNsw 60以下と緩い締りをしている。3.0 m以深ではNsw 100以上と締まっている。

#### (c) R-3地点

GL-1.0 m までは Nsw 250 ~ 400 と締っている (礫の影響見られる)が、それ以深 4.0 m までは概ね Nsw 40 以下と 4 地点で一番緩い締りを呈している。

# (d) R-4地点

GL-  $(1.5 \sim 3.25)$  m に Nsw  $26 \sim 71$  程度の緩い層があり、その上下はNsw 100 以上となっている。

以上,R-3地点以外の3地点では,それ程緩い埋戻し地盤とは言えないようである。

#### 5・4 機械ボーリング及びサウンディング調査

#### (1) 目 的

機械ボーリング(標準貫入試験併用)及びスウェーデン式サウンディング試験を実施することにより、調査地域全域の地盤の成層状態及び土の硬軟・締りの程度を判定する。また、土質試験に必要な試料採取を目的としている。

### (2) 方 法

. 機械ボーリングは、ハンドフィード型機械を使用し、JISA1219 に準じて 1 m毎に標準貫入試験及び、ボーリングNo A・C・Dの 3 地点で表層 5.0 m以浅の不撹乱試料を採取した。

スウェーデン式サウンディング試験は、予定深度 10m までJISA 1221-1976 に準じ、計 26 ケ所実施している。

なお,詳細については、別冊資料その1(C)1.調査・試験の各項目毎の概要に示した。

# (3) 結 果

調査位置は、図 $5 \cdot 1 \cdot 1$  に調査位置平面図として示した。結果は、別冊資料その1 (C) 2. 土質柱状図及び、3. スウェーデン式サウンディングに示した。なお、それらをまとめて図 $5 \cdot 4 \cdot 1 \sim 2$   $5 \cdot 4 \cdot 5$  に土質想定断面図を示した。

スウェーデン式サウンディング結果とN値の相関をとってみると、図 5・4・6 に示

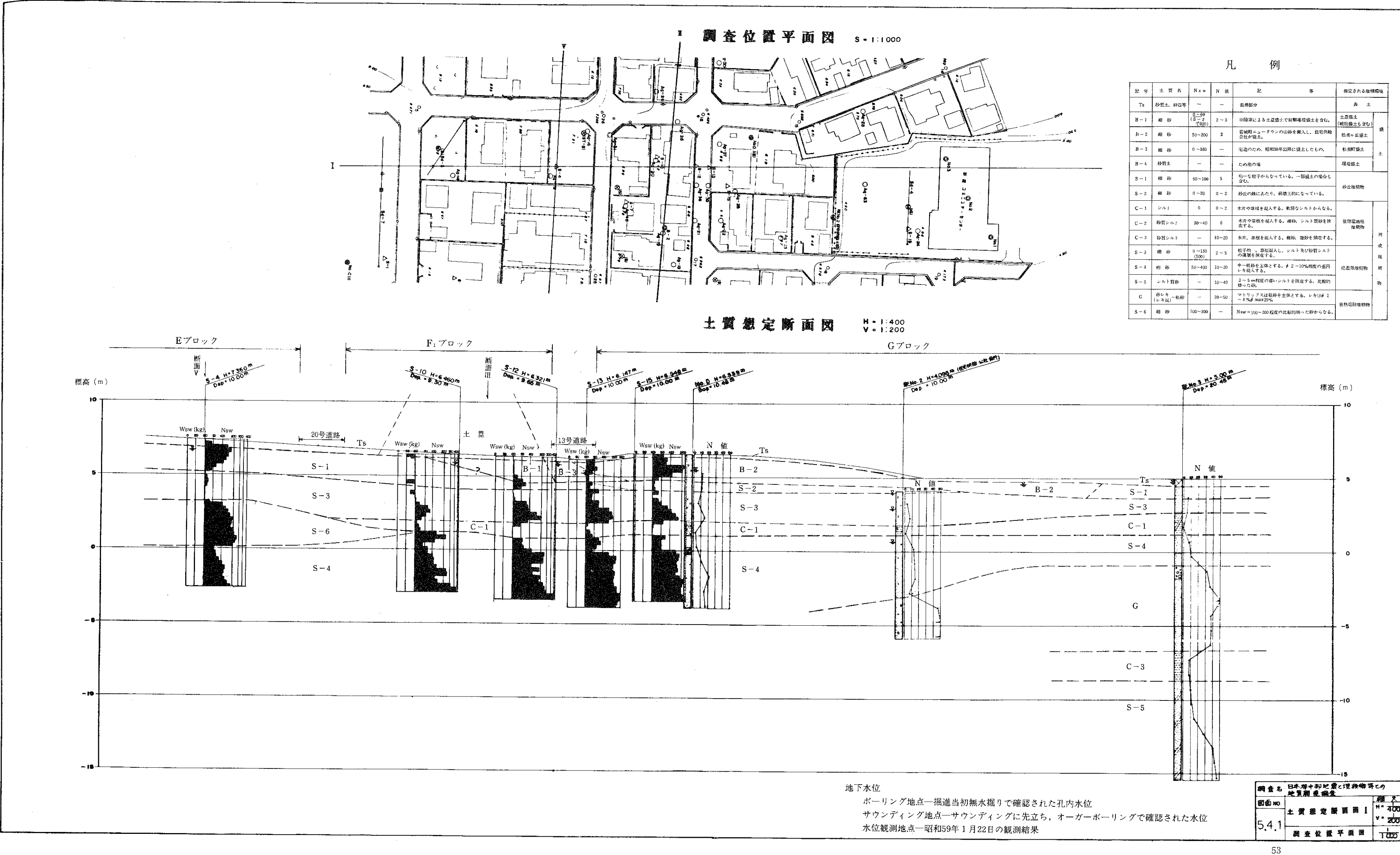
すような,次の関係式が得られた。

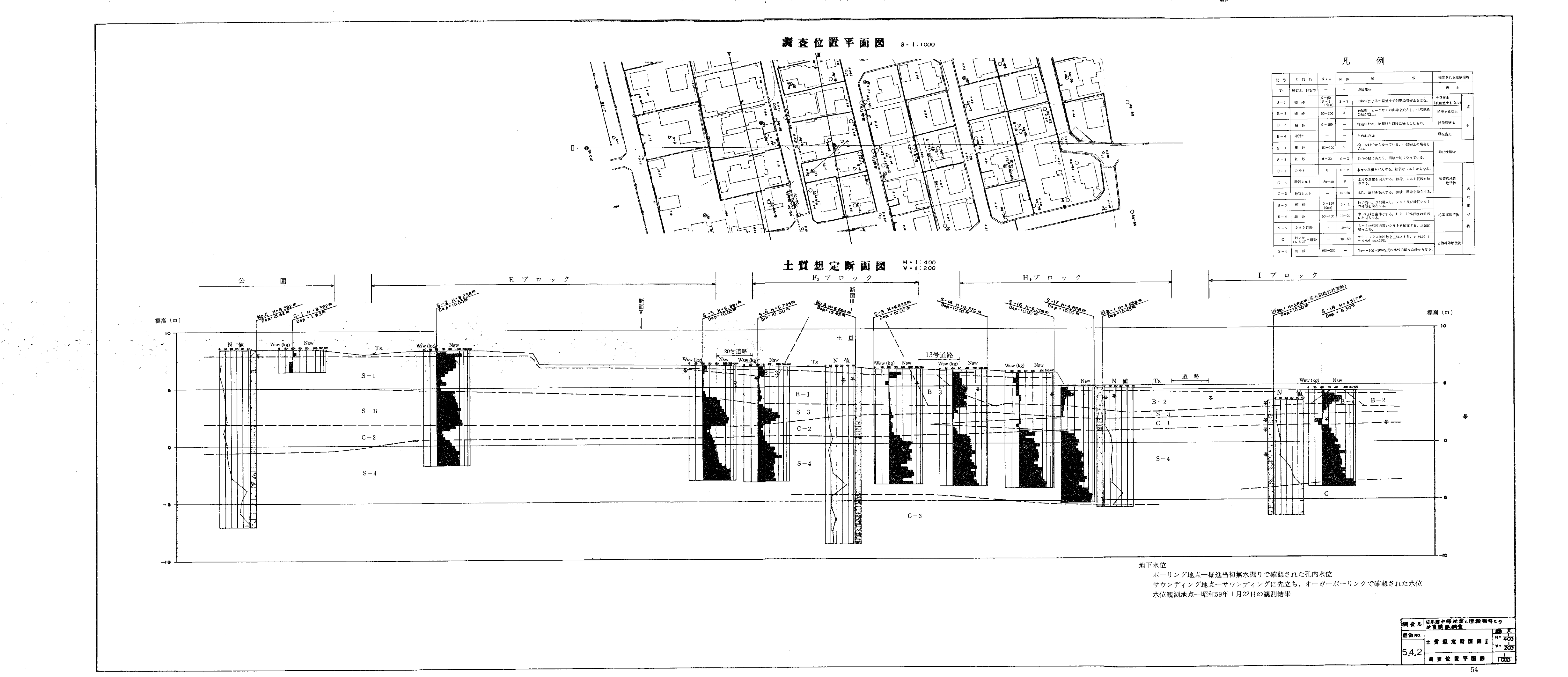
 $N = 0.02 \text{ Wsw} \qquad \cdots \qquad (5 \cdot 4 \cdot 1)$ 

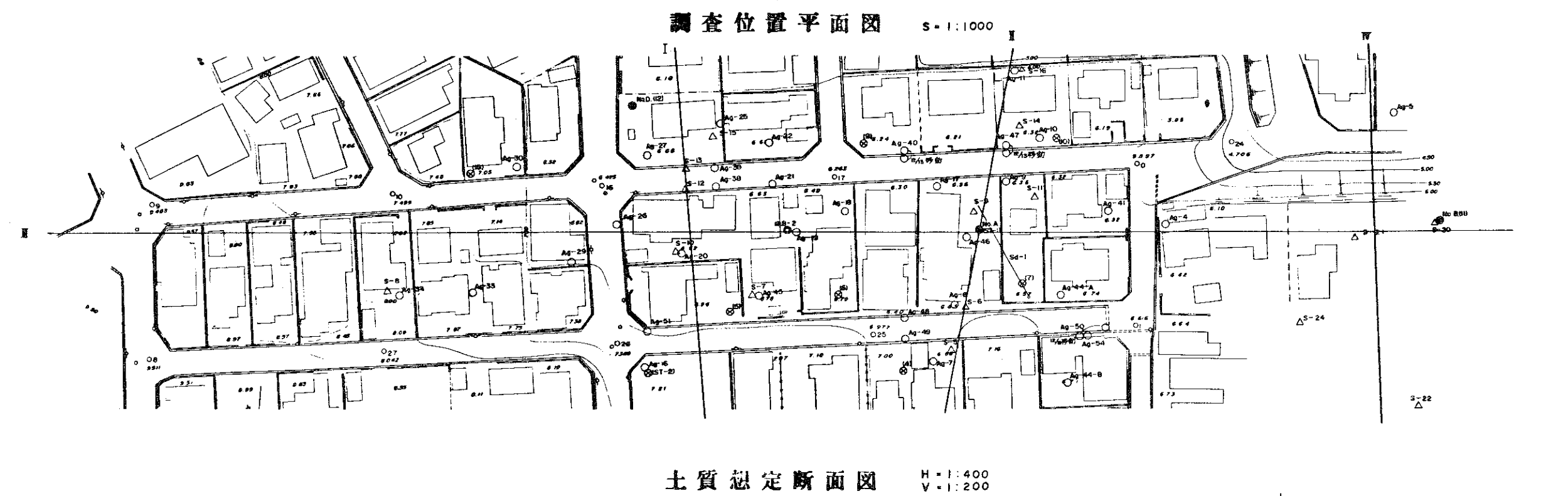
 $N = 0.073 \text{ Nsw} + 2.0 \cdots (5 \cdot 4 \cdot 2)$ 

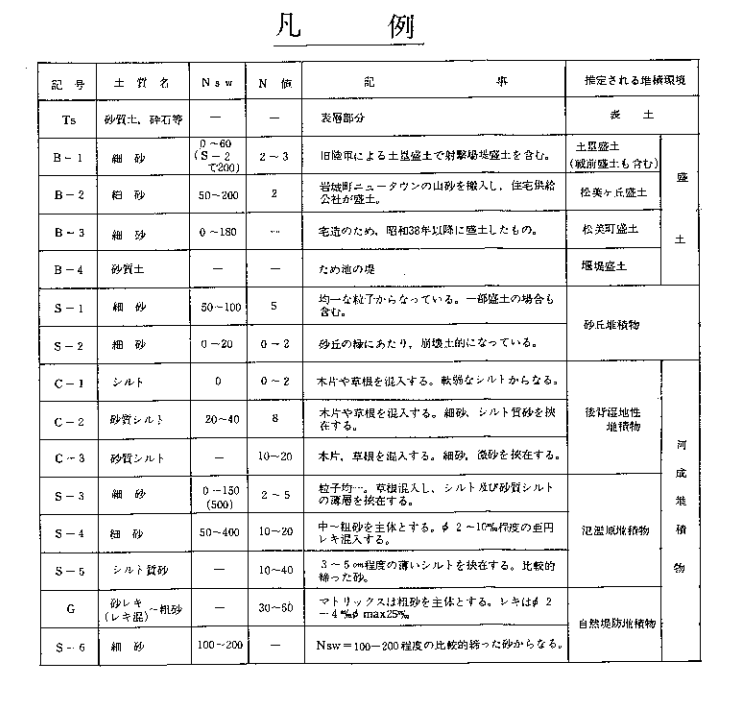
(この式には、粘性土の値も含まれているが、データが少なく、ほとんどが砂質土である。)

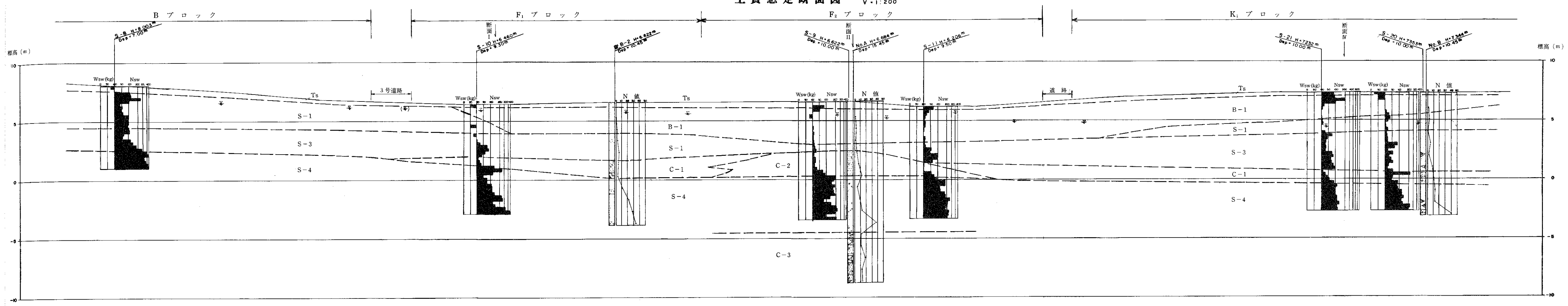
なお、この式は最小2乗法により求めているが、図中の(×)印については、ゴミや礫等の影響でN値やNswが特異値を示しているため、計算より削除している。











### 地下水位

ボーリング地点一堀進当初無水堀りで確認された孔内水位 サウンディング地点―サウンディングに先立ち、オーガーボーリングで確認された水位 水位観測地点―昭和59年1月22日の観測結果

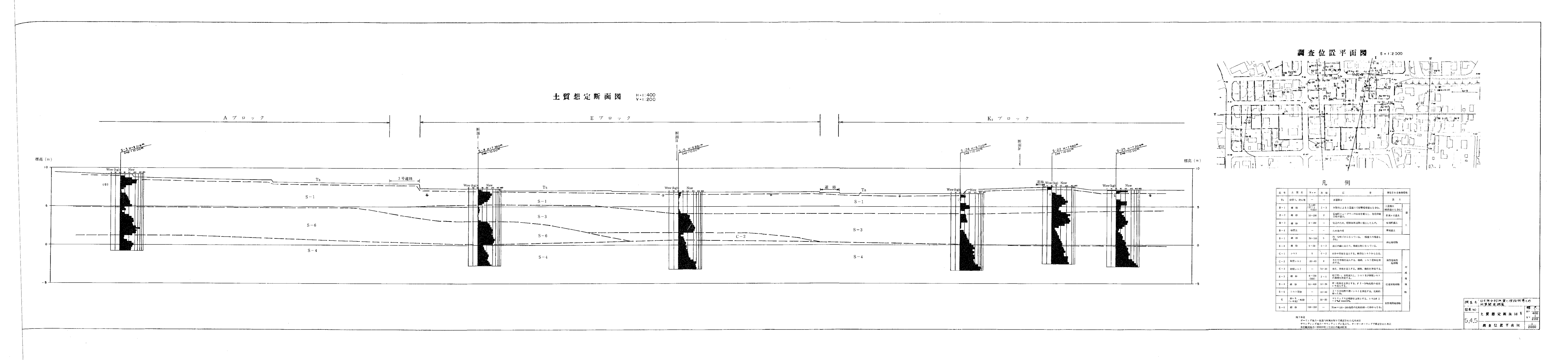


S - 3

S-4

| 机坝地 | 推定される堆積           | 44                 | 紀                            | N file | Nsw                             | 主 資 名            | 紀号    |
|-----|-------------------|--------------------|------------------------------|--------|---------------------------------|------------------|-------|
|     | 表 ±               |                    | 表層部分                         | -      | -                               | 砂質土, 砕石等         | Ts    |
|     | 土塁盛土<br>(報前盛土も含む) | 土で射撃場堤盛土を含む。       | 旧陸軍による主張盛士                   | 2 ~ 3  | 0 <u>~60</u><br>(S - 2<br>(200) | 細 砂              | B – 1 |
|     | 松美ヶ丘盛土            | の山砂を搬入し、住宅供給       | 岩城町ニュータウンの<br>公社が盛土。         | 2      | 50~200                          | 細砂               | B - 2 |
|     | 松美町盛土             | F以降に盛土したもの。<br>    | 宅造のため、昭和38年                  | -      | 0 180                           | 細砂               | B - 3 |
|     | <b>堰</b> 堤盛土      |                    | ため他の堤                        | _      |                                 | 砂質土              | B - 4 |
|     | 砂丘堆積物             | ている。一部盛土の場合も       | 均一な粒子からなって<br>含む。            | 5      | 50~100                          | 105 BJ           | S - 1 |
|     | RYTE-HERRING      | 崩壊土的になっている。        | 砂丘の縁にあたり、崩                   | 0 ~ 2  | 0 ~20                           | 細砂               | S – 2 |
|     |                   | 。、軟弱なシルトからなる。      | 木片や草根を混入する。                  | 0 ~ 2  | 0                               | シルト              | C – 1 |
|     | 後许湿地性<br>堆積物      | る。細砂、シルト質砂を挟       | 木片や草根を混入する<br>在する。           | 8      | 20~40                           | 砂質シルト            | C – 2 |
|     |                   | 5。相砂、微砂を挟在する。      | 木片、草根を混入する。                  | 10~20  | -                               | 砂賀シルト            | C - 3 |
| j   |                   | 、シルト及び砂質シルト        | 粒子均一。草根混入し<br>の薄層を挟在する。      | 2 ~ 5  | 0 ~150<br>(500)                 | 細砂               | S – 3 |
| ;   | 氾濫原堆積物            | 5。 🕫 2 - 10 監程度の垂円 | 中一組砂を主体とする。<br>レキ混入する。       | 10-20  | 50-400                          | 相砂               | S – 4 |
| 4   | -                 | レルトを挟在する。 比較的      | 3 ~ 5 em程度の篠いシ<br>器った砂。      | 10~40  | _                               | シルト質砂            | S - 5 |
|     | 自然堤防ル勝物           | と主体とする。レキは4 2      | マトリックスは祖砂を<br>~ 4 弘章 max 25% | 30~50  | _                               | 砂レキ<br>{レキ混} ~粗砂 | G     |
|     |                   | の比較的結った砂からなる。      | Nsw=100~200程度の               | _      | 100~200                         | 細砂               | S - 6 |
| _   |                   |                    |                              |        |                                 |                  |       |

地下永位 ボーリング地点一環進出初無水振りで確認された孔内水位 サウンディング地点一サウンディングに完立ち、オーガーボーリングで確認された水位 水位製測地点一昭和58年1月22日の製測档果



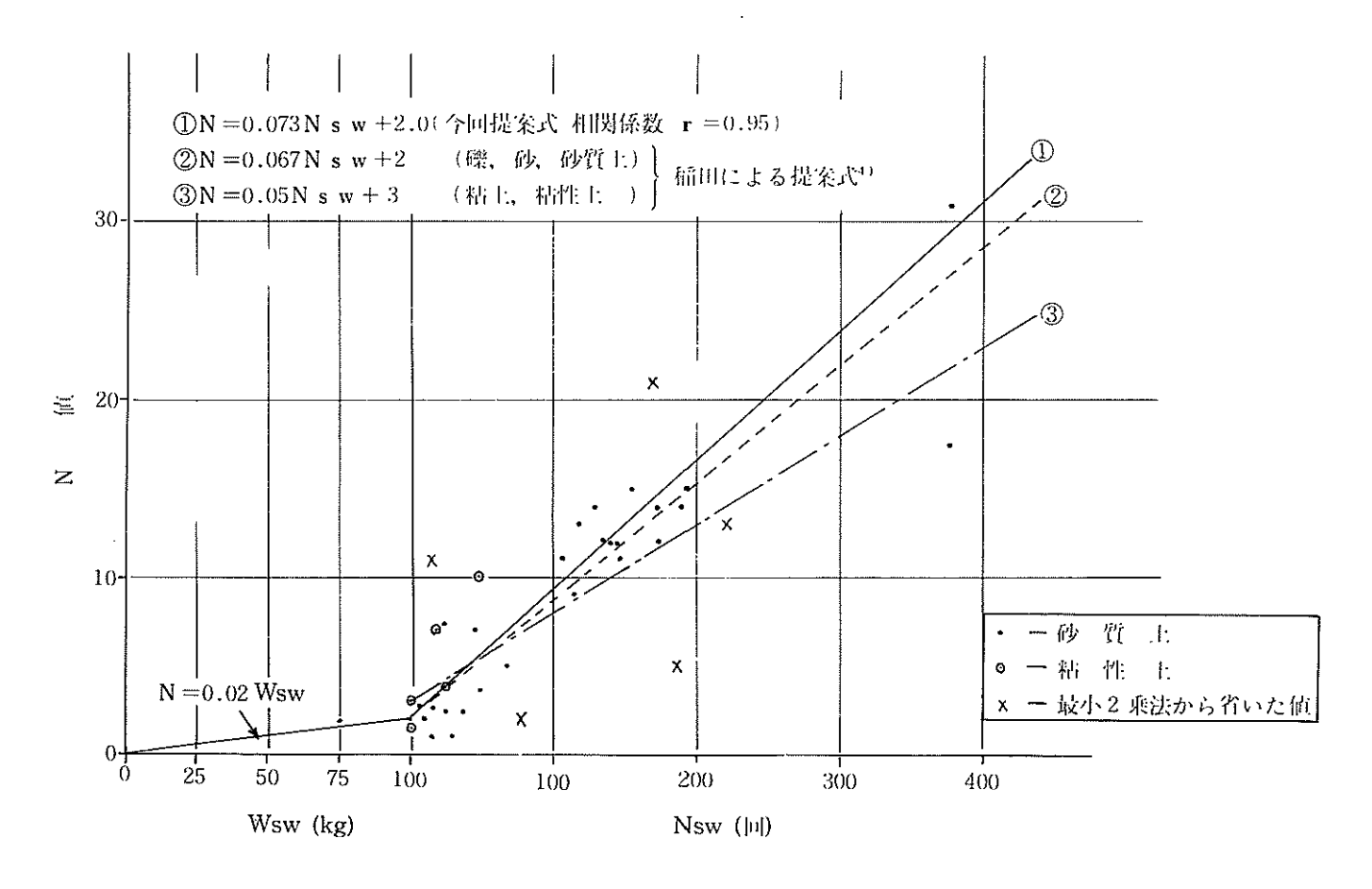


図5・4・6 スウェーデン式サウンディング結果とN値の相関

## 5。5 地下水位観測

#### (1) 目 的

地震被害と地下水位は密接な関係があると思われる。そこで本地域に計 66 ケ所地下水位観測孔を設置し、平面的な地下水位分布を把握し、地震被害の原因究明のための資料とした。

### (2) 方 法

地下水位観測孔は、地下水位までオーガーボーリングにより削孔し、下端に穴をあけたキャップをつけた鉄パイプ (\* 48.6%) を打ち込んでんで設置した。また、雨・水等の影響がないように上端にもキャップをつけた。

なお、観測は昭和58年12月3日~12月18日、昭和59年1月15日~1月25日 に、原則として3日毎(午前中)実施した。

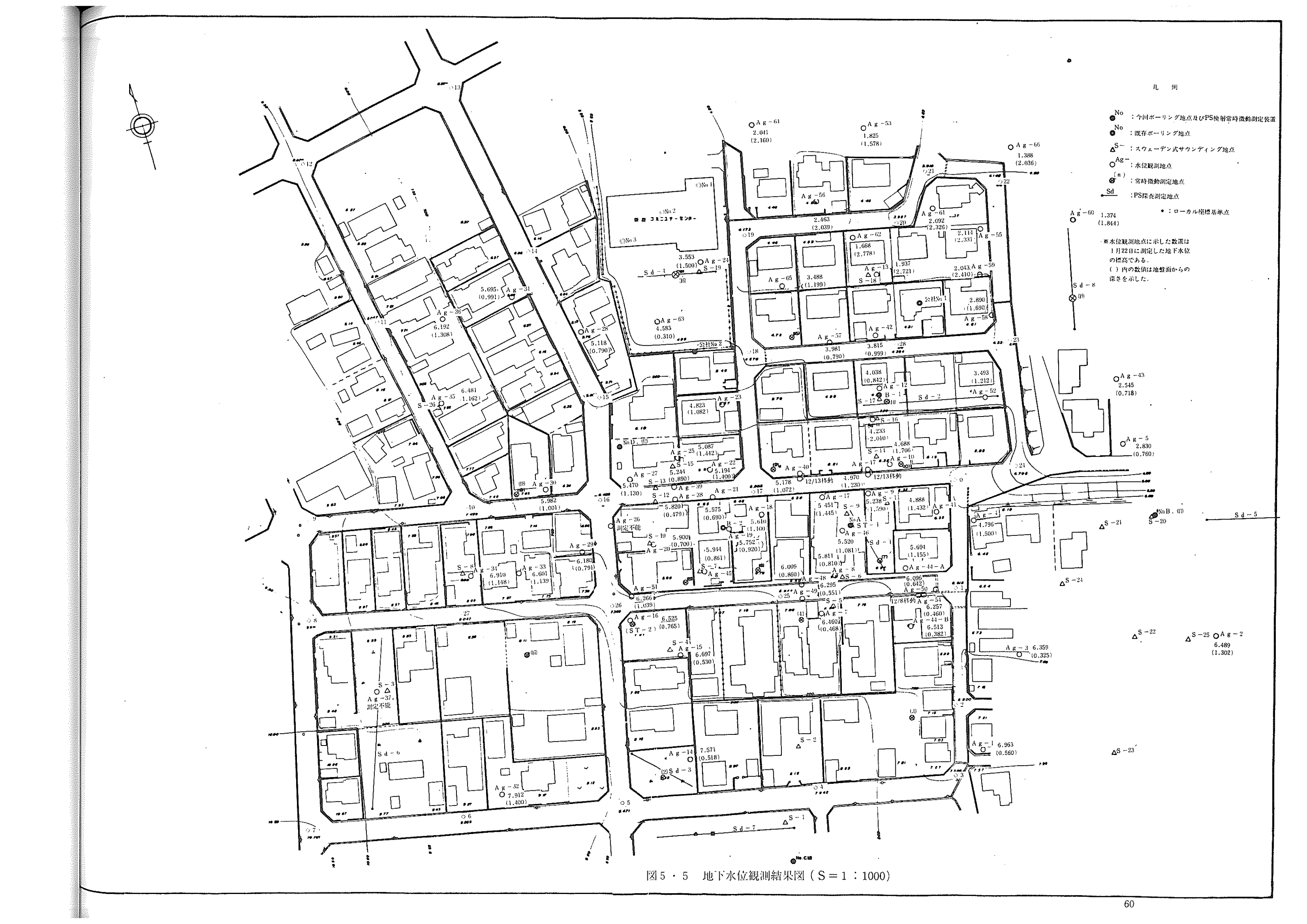
### (3) 結果

結果は、別冊資料その1(D)に、地下水位観測結果一覧表、地下水位経時変化図及び、過去5年間の降水量グラフを示した。

ただし、地下水位経時変化図に記載している降水量のとり方は、観測前日の12時から当日の12時までを日降水量として整理している。

各地点の昭和59年1月22日の地下水位を、標高及び深度で示した。各土質想定断面図にも、ボーリング地点では当初無水掘りで確認された孔内水位、サウンディング地点ではサウンディングに先立ちオーガーボーリング孔で確認した水位及び、地下水位観測孔では1月22日の確認水位を図示している。

ここでは、地下水位観測結果図を図5・5に示した。



### 5・6 弾性波速度測定および常時微動測定 1

被災地区とその周辺の地盤の動的特性を比較するため、弾性波速度測定と常時微動測定を行った。これらの測定は荒天の積雪期にかかり困難を極めた。雪はより良い測線位置の選定を難しくし、風はノイズを高めた。

# (1) 弹性波速度測定

弾性波は最も基本的にはP波とS波からなる。

その速度、特にS波速度(Vs)は地盤の地震動特性を規定する要素として一般に 重視されている。さらにVsは液状化の要因の一つである地盤の緩さの指標にもなり うるものと期待される。

地層の性質をボーリング孔中で直接的に測定することを検層とよんでいる。直接測定という点で検層は一般に信頼度が高いといえるが、ボーリング孔のある所でしかデータが得られない。これを補なってより広い領域の情報を得させてくれるのが地表での屈折法探査である。

P波とS波の双方について行われたのでPS探査と略称することにする。 (方法,解析法,記録,走時曲線など詳細は別冊資料その1(E)に収録されている。)

測定を行った測線、ボーリング孔等は畑、空地、公園および庭等に設定されており、 Sd-8測線以外では地盤造成、盛土あるいは歩行等による締固めが原因と思われる 表面高速度層が認められる。この表面高速度層の影響でPS探査記録の質が悪くなっ ている。

このような所では,近くの検層データを参照して走時曲線の欠落を仮定値で補なった。走時解析には一様傾斜構造における通常の解析法を用いた。

次に、PS検層について述べよう。漂遊型S波検層方式ではゾンデの構造上極く浅い深度の測定はできない。そこで同検層機の振源と受振部とを分離しダウンホール方式の測定(振源は地表近くの地中に定置、受振器は孔中移動)も実施した。

砂はごく緩く,塩ビパイプでケーシングされたため,この影響もあって記録は良好 とはいえない。

本 秋田大学(狐崎)の調査に基礎地盤コンサルタンツ(株)が協力し、データの全面的借用を 得た。

可能な範囲でやや異なった方式で、重複して測定した。その個々のデータは、資料編中に収録されている。重複区間ごとに速度を単純平均したものを、ここでは最終結果として示した。Vsの測定区間の 0.5 m きざみは測定上の極限的なもので、やや平滑化して判読した方が良い。

PS探査測線および検層実施孔の位置を図  $5 \cdot 6 \cdot 1$  に示す。またS波とP波の屈折 法探査結果を図  $5 \cdot 6 \cdot 2$ (a), (b)にそれぞれ示す。PS検層結果は,図  $5 \cdot 6 \cdot 3$  に示さ れている。

これらの測定結果に関し, 注意すべき事項を次に列記する。

- a S波速度(Vs)分布
  - ① まず大略標高 0 m程度以深では、ほぼ一様に Vs は 200 m/s 前後になっている。 これは、土質想定断面図のS-4層にほぼ相当する。
  - ② これより浅い層の Vs の分布は、それぞれの造成等の歴史を反映し場所により 若干異なるが、多少の漸移性を保って、100 m/s 前後まで低下する。液状化の可 能性が高いのはこの層である。
  - ③ Vs の深さ方向への変化の漸移性や中間低速度層の存在は、屈折法探査ではその原理的な性格上十分ひき出せない。土層の緩さとの関連で浅部の 100 m/s 前後の速度を区分することは、探査における表面高速層の存在、検層におけるケーシングの存在等による精度の不足のため困難である。
  - ④ 十分深いところまでの速度分布データは得られていないが、①の事実から対象 区域内では、速度の著しい側方変化はないとみなせよう。また第四紀基底面高度 にもほぼ海抜 - 50 m程度(図 6・1・6 参照)で著しい変化はない。

このことから、S-4層に下方から入射する地震波の特性は、この区域内ではほぼ一定であるとみなせよう。これより浅い層(表層)については、その厚さや速度分布が場所により変化することから、地表地震動の特性にも影響し得るが、このことを詳細に評価することは困難であり、液状化評価の際は地表地震動を当\*)対象区域内では第一近似的に一定と仮定した。

<sup>\*</sup> 仮定の修正として考慮されるべき事項は、次章 6 · 4 節において被災原因の総合評価をする際に述べられている。

### b P波速度(Vp)

① 一般には、この種の末固結層におけるVpは、地下水面下では水の音波速度 (1500 m/s)に近い値を示すもので、大幅な変化がないのが普通である。

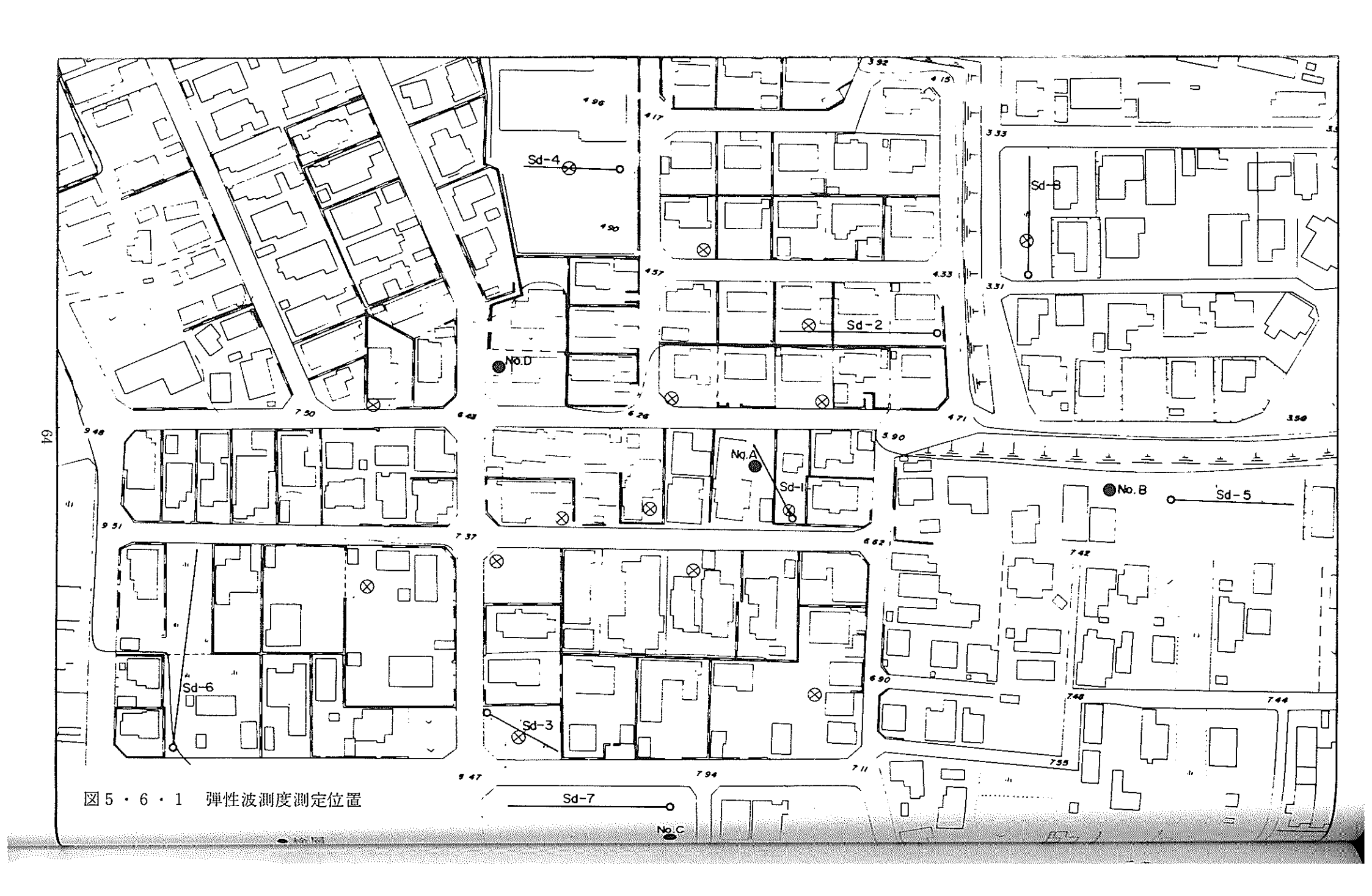
実測結果は予想に反し、明かに地下水面下深度 5m 以内では  $260m/s \sim 750m$  /s 0 Vp がほとんどの測線で認められた。大体海抜  $2 \sim 5m$  以下では 1000m/s 台の速度を示す。この屈折波は減衰が非常に大きく、測定精度は十分でないので 1300m/s 程度以上は正常とみなしてもなお、Sd-2m のように明かに 1000m/s 程度と非常に Vp の低い所もある。

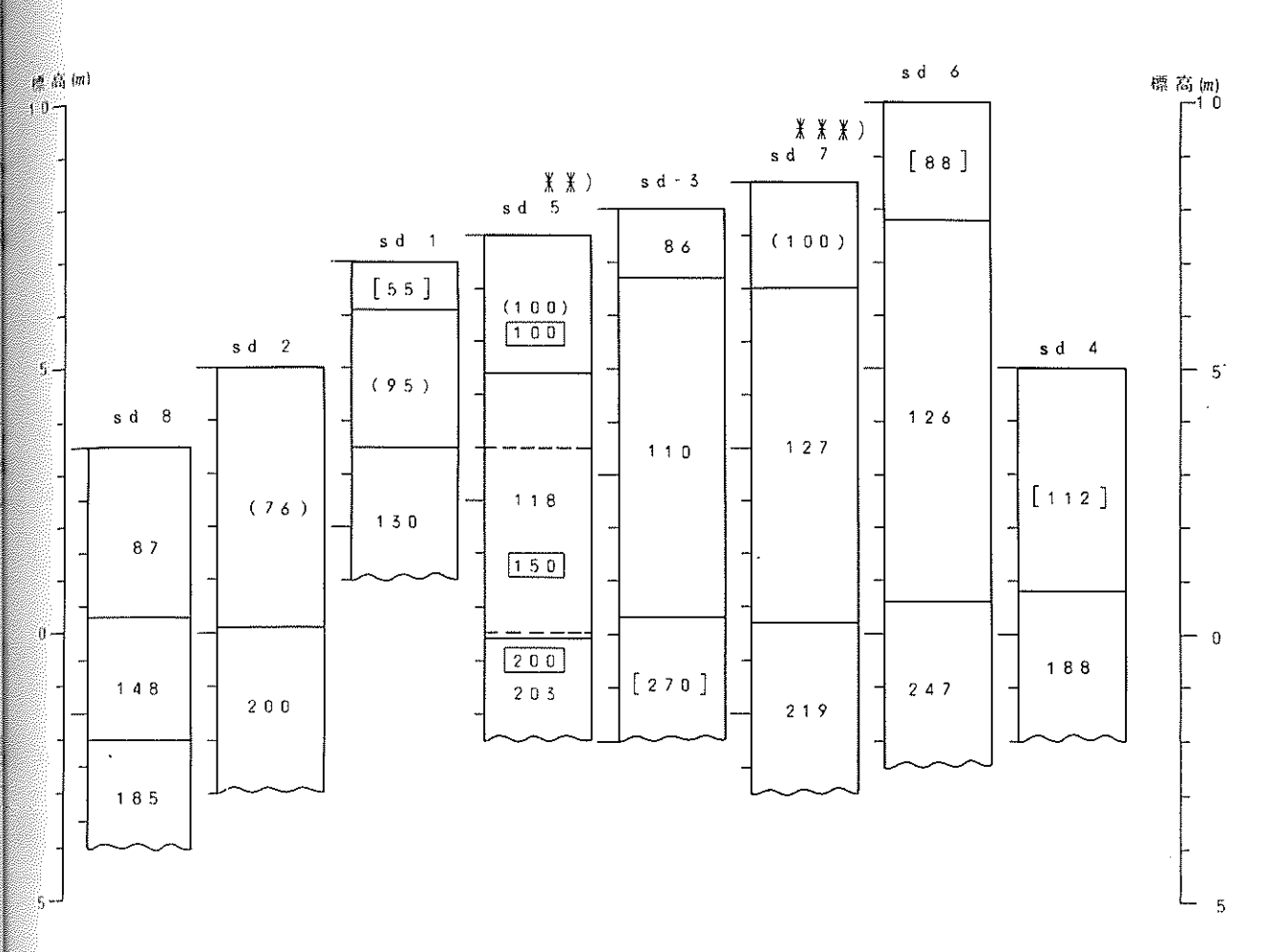
② このような低速の Vp は、土層(ほとんどは砂)が完全に地下水で飽和されず、気泡がわずか含まれているとすることで説明できる。もともと油田地帯でもあり、メタンガスのようなものが含まれているのか、今後検討を要する。このような低速 Vp は、著しい液状化によって注目された新屋元町においても、狐崎により観測されている。

不飽和砂層では液状化抵抗が増大することが知られているが、土層の飽和度を Vp から定量的に評価することが難しいことと、この低 Vp が地震以後の現象で あるのかどうか不明であるため、後の液状化評価において、この現象は無視され ている。

東北地域災害科学研究報告 20 巻 P P. 11-15。

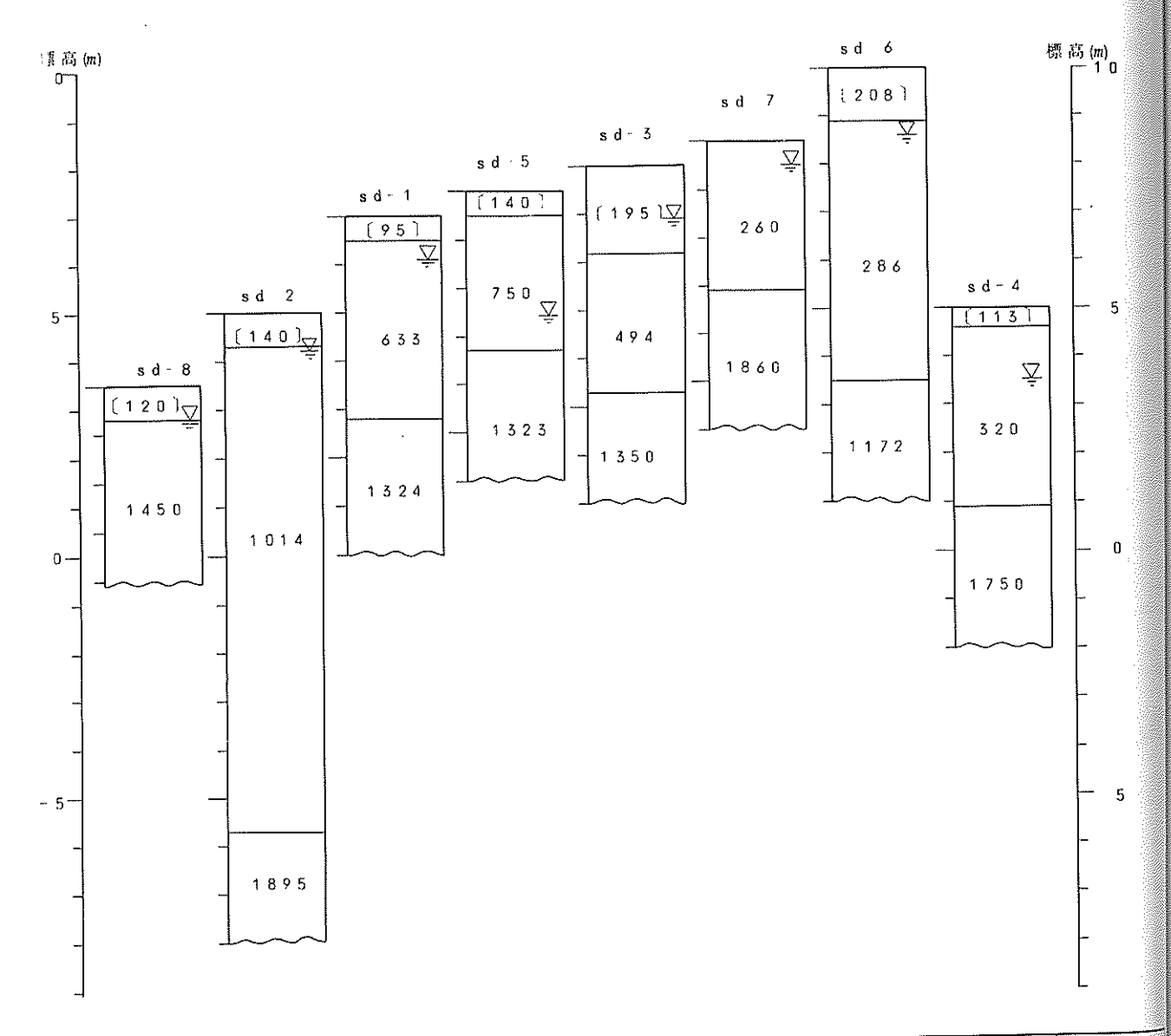
<sup>\*\*</sup> 狐崎長琅(1984)地震による地盤液状化評価のためのS波探査。





|   | 測線名    | sd 8                 | sd 2 | s d ¹  | sd 5 | sd 3 | sd 7         | sd-6 | s d 4                                   |
|---|--------|----------------------|------|--------|------|------|--------------|------|-----------------------------------------|
|   | 測線長(m) | 5 3                  | 4 4  | 2 1. 5 | 3 3  | 2 1  | 3 3          | 5 5  | 2 7. 5                                  |
|   | 測線状況   | ζi Hự                | 贬    | 畑と庭    | 空 地  | 草地   | 公 園          | 草地~庭 | 公 園                                     |
|   | ブセック名  | <b>し</b> プロックの<br>北方 | Н 2  | _ F 2  | K ı  | E    | E ブロック<br>南方 | A    | I ブロックの<br>西方                           |
| L | その他    |                      |      | A孔付近   | B孔付近 |      | C孔付近         |      | *************************************** |

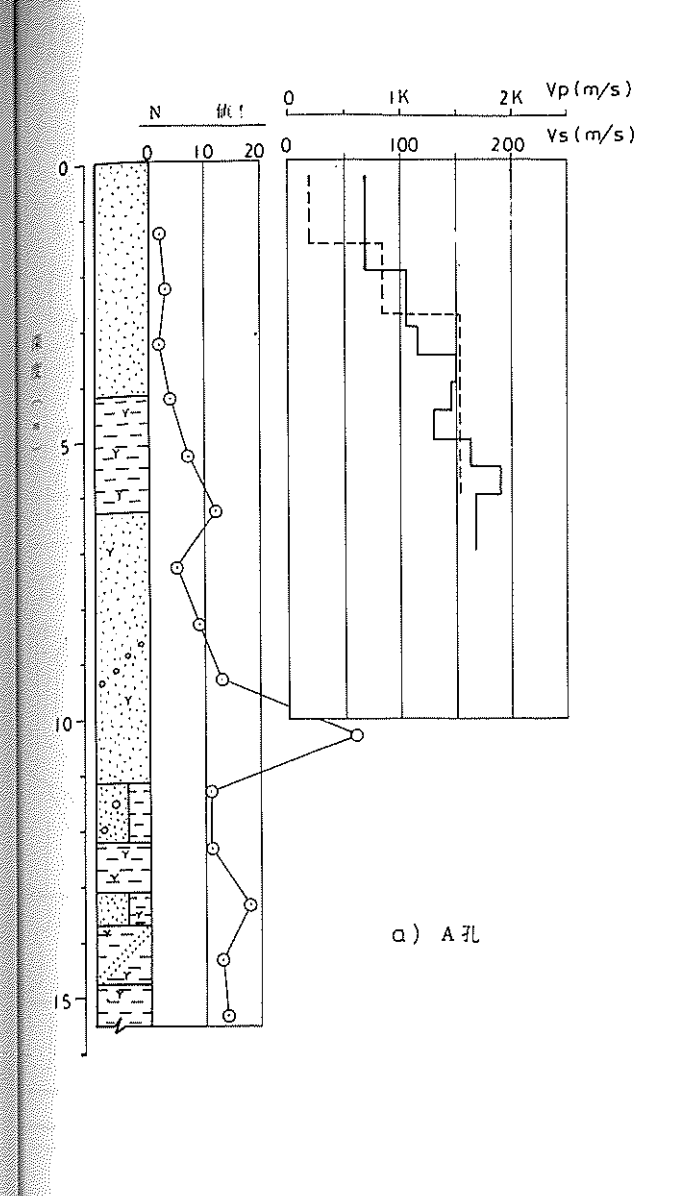
- 業) ほぼ位置的に近い測線を鱗接させて配列した
- 業業業) sd-5と同様にボーリングはCの検網結果から数種のモデルについて走時計算を行った。 しかし、実測走時を近似するようなモデルは見いだされていない、 表面高速層の影響でデータの質が悪いことから検層結果の方が妥当であろう ただし、表中には関セニアン・ディブルる。



| 測線名    | sd 8      | s d · 2 | sd 1   | s d - 5 | sd 3  | sd 7          | sd 6 | s d - 4 |
|--------|-----------|---------|--------|---------|-------|---------------|------|---------|
| 測線長(m) | 3 3       | 4 4     | 2 1. 5 | 3 3     | 2 1   | 3 3           | 5.5  | 2 7.    |
| 測線 状況  | 草地        | 庭       | 畑と庭    | 空 地     | 草 地 , | 公 園<br>E ブロック | 草地~庭 | 公丁プロッ   |
| ブロック名  | レブロックの 北方 | H 2     | F 2    | K s     | E     | 南方            | A    | 西方      |
| その他    |           |         | A孔付近   | B孔付近    |       | C孔付近          |      |         |

〔 〕 精度劣る

□ 12/4(測定期間中)の水位

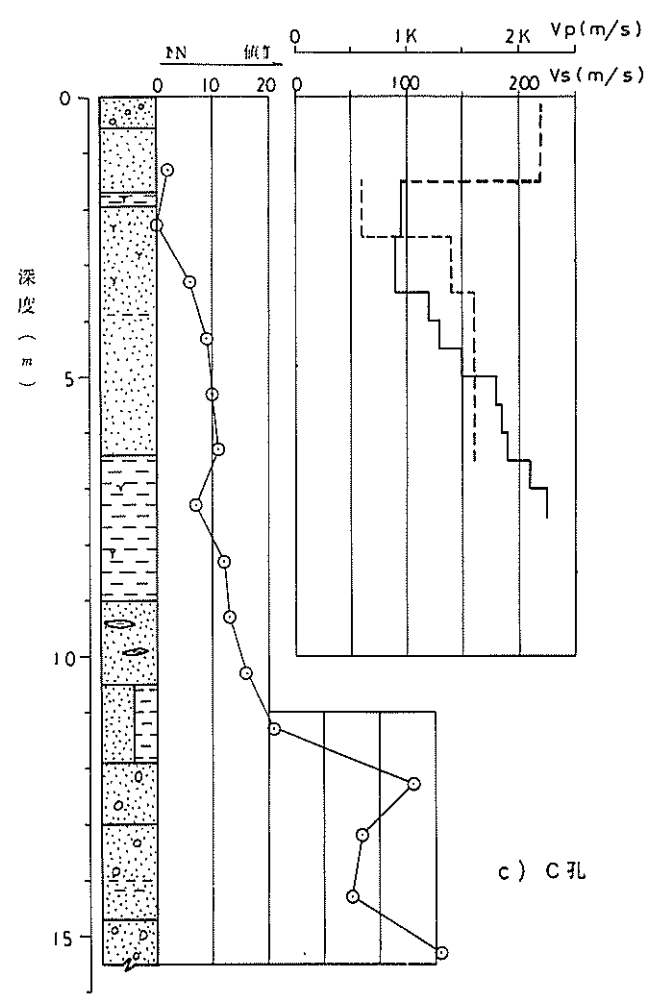


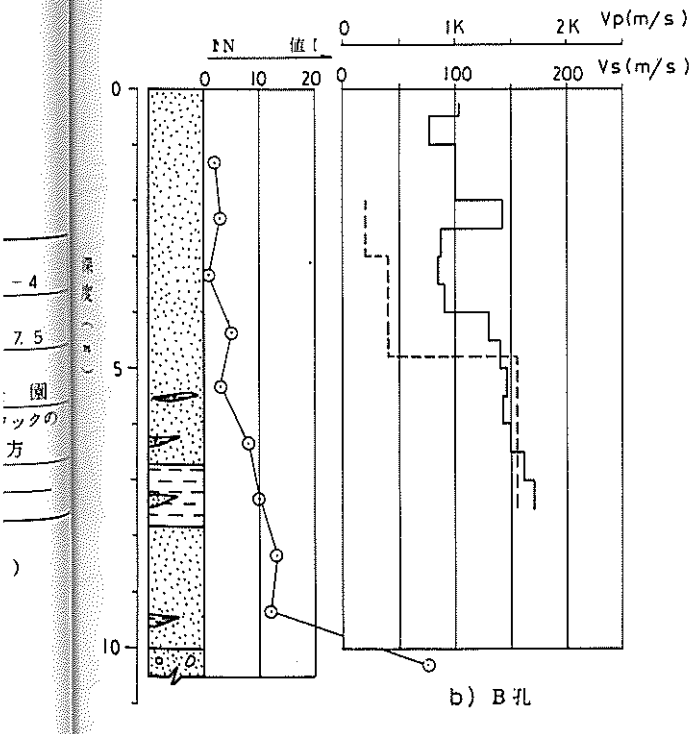
0

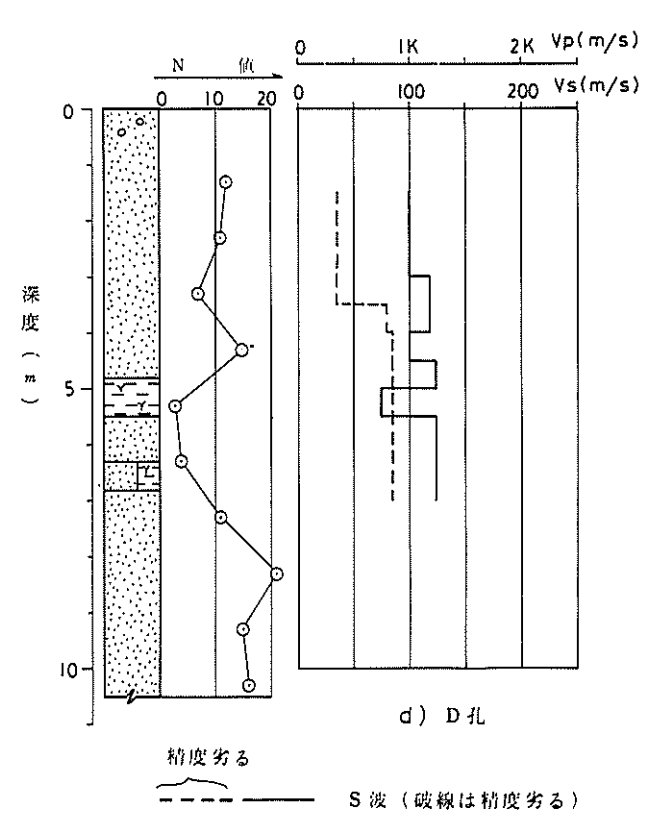
Ö

5

· 園 ・ックの







P波

図5・6・3 PS検層結果

(各々漂遊型・ダウンホール式の結果の平均))

### (2) 常時微動測定

常時微動の卓越振動数は、その地盤における地震動の卓越振動数を近似できると考えられ、地盤の振動特性を知る有効な調査方法とされている。

今回の調査では、地表の基準点での常時微動観測と同時に地表面での移動観測およびボーリング孔を利用した地表、地中同時観測を実施した(図 5・6・4)。

常時微動の測定,解析方法は別冊資料その1(E)に示す通りで,常時微動の振巾スペクトルおよびスペクトル比に着目して以下の結果を得た。

### a 平均振巾分布

調査地域の常時微動の平均振巾を基準点 (st-2) の平均振巾で正規化して平均振巾の分布図 (図 5・6・5) を作成した。

この平均振巾は 1 分間のデータの実効値を平均振巾としており、N-S 成分および E-W 成分で異方性が顕著である。

これは、家屋の振動、生活振動の影響を受けているためと思われる。平均振巾分 ・ 布からは地区ごとの差をみいだすことができなかった。

b スペクトル分布 …… パワーコンター

常時微動の波形をフーリエ分析して図5・6・6に示すスペクトルを得た。

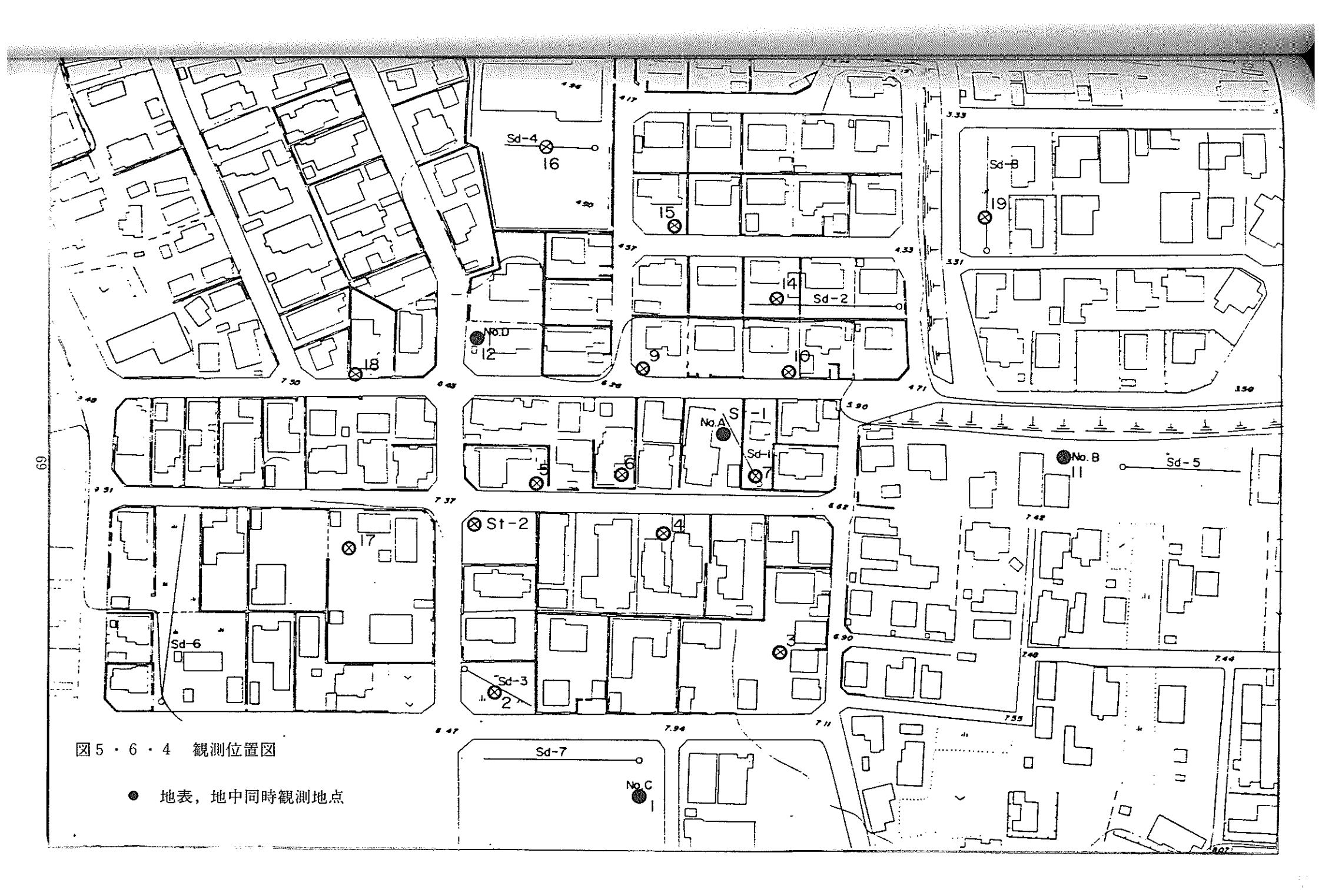
このスペクトルをみると、主要な卓越するスペクトルのピークは約5 Hz 以下となっており、測点の位置による卓越振動数の変化は認められないがピークの大きさには若干の差が認められる。

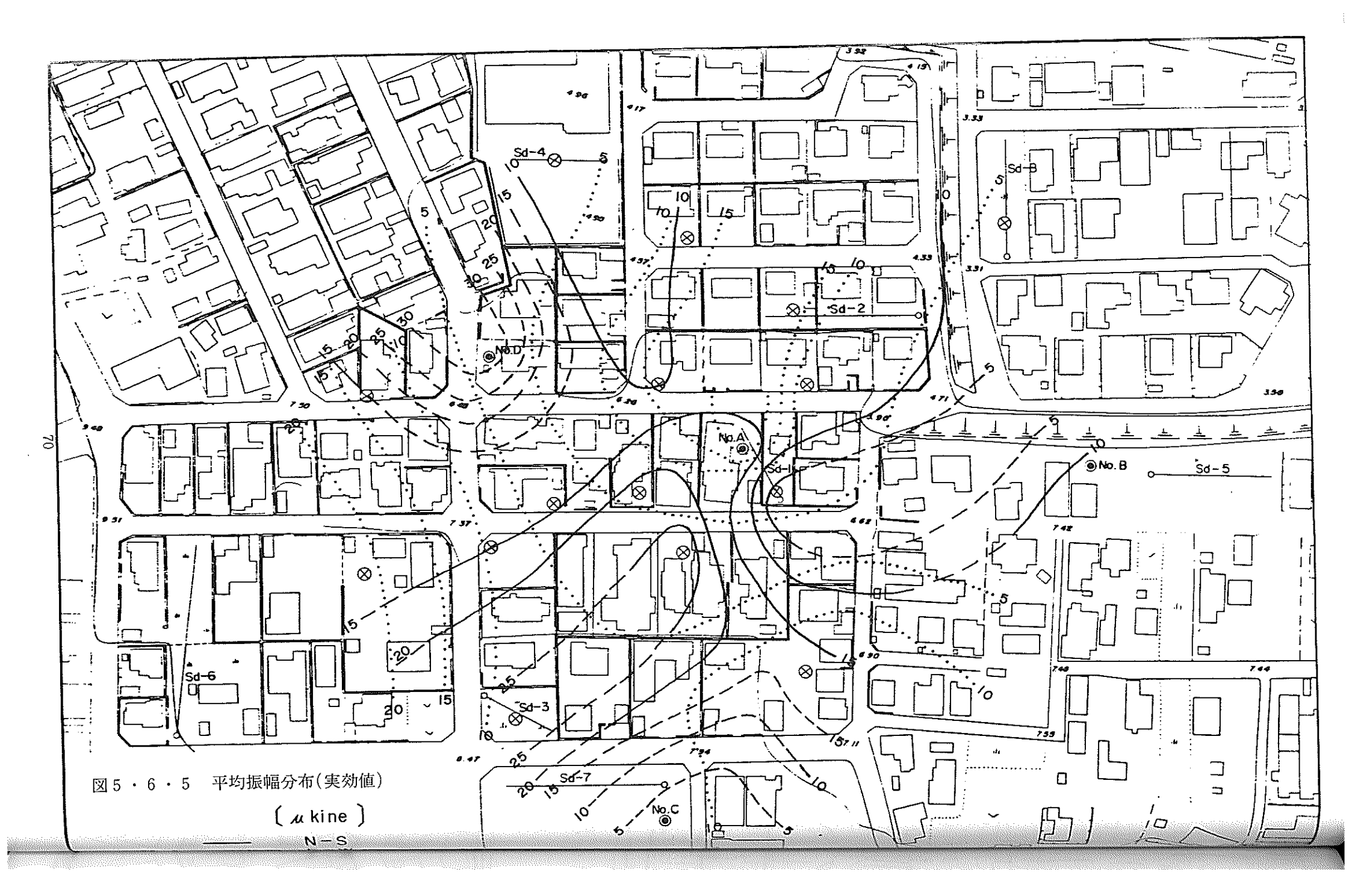
このパワースペクトルのピークの大きさに着目して、 $0.5~\rm{Hz}$  ごとの周波数帯域の \*) ピークの大きさの分布(パワーコンター)を作成した。図 $5\cdot6\cdot7$  に $4.5\sim5~\rm{Hz}$  のパワーコンターを示した。

このパワーコンターは、スペクトルが常時微動波形を時間領域から振動数領域へ

\* 弾性波速度測定結果から調査地の表層約5m程度には Vs ≒ 100m /秒の低速度層が認められている。

この層厚H(m)と Vs (m/sec)から 4分の 1 波長則による卓越振動数を概算すると  $f = \frac{Vs}{4 \; H} \;$  から  $f = 5 \; Hz \;$  程度が推定され、幅をみて  $4 \sim 5 \; Hz \;$  の帯域に着目している。





変換したのであるから当然の結果ではあるが平均振巾分布と同様N-S,E-W成分で異方性が認められる。

しかし、調査地北東部でパワーが大きくなる傾向が認められる。

c スペクトル比コンター

次に地表のスペクトルと地中のスペクトルとの比の分布を調べた。このスペクトル比は、全ての測点に地中のデータが無い為、ボーリングMC孔の地中データ(GL - 10 m) を基準として計算している(地表データはSt - 2 で正規化)。

このスペクトル比もパワーコンターと同様の理由で  $4 \sim 5$  Hz に着目し,図  $5 \cdot 6 \cdot 8 \sim 20$   $5 \cdot 6 \cdot 9$  に示した。

これらスペクトル比のコンターによれば、上記 a. b. で述べたような異方性の影 \*) 響が軽減され、北東部で大きいスペクトル比を示す傾向が顕著である。このことは、この調査地域では、北東側へ低速度層が厚くなるか、または同じ層厚でもさらに低 \*\*) 速度層になっていることを示すものと思われる。

### (3) まとめ

単性波速度測定および常時微動測定の結果,本地域は全体としてかなりの低速度  $(Vs \div 100 \, m/ \psi)$  層で覆われており,常時微動のスペクトル比の結果では北東側 での大きいスペクトル比が認められ,Vs および層厚から推定される振動数(4~5 Hz)が表層で増幅されるようである。

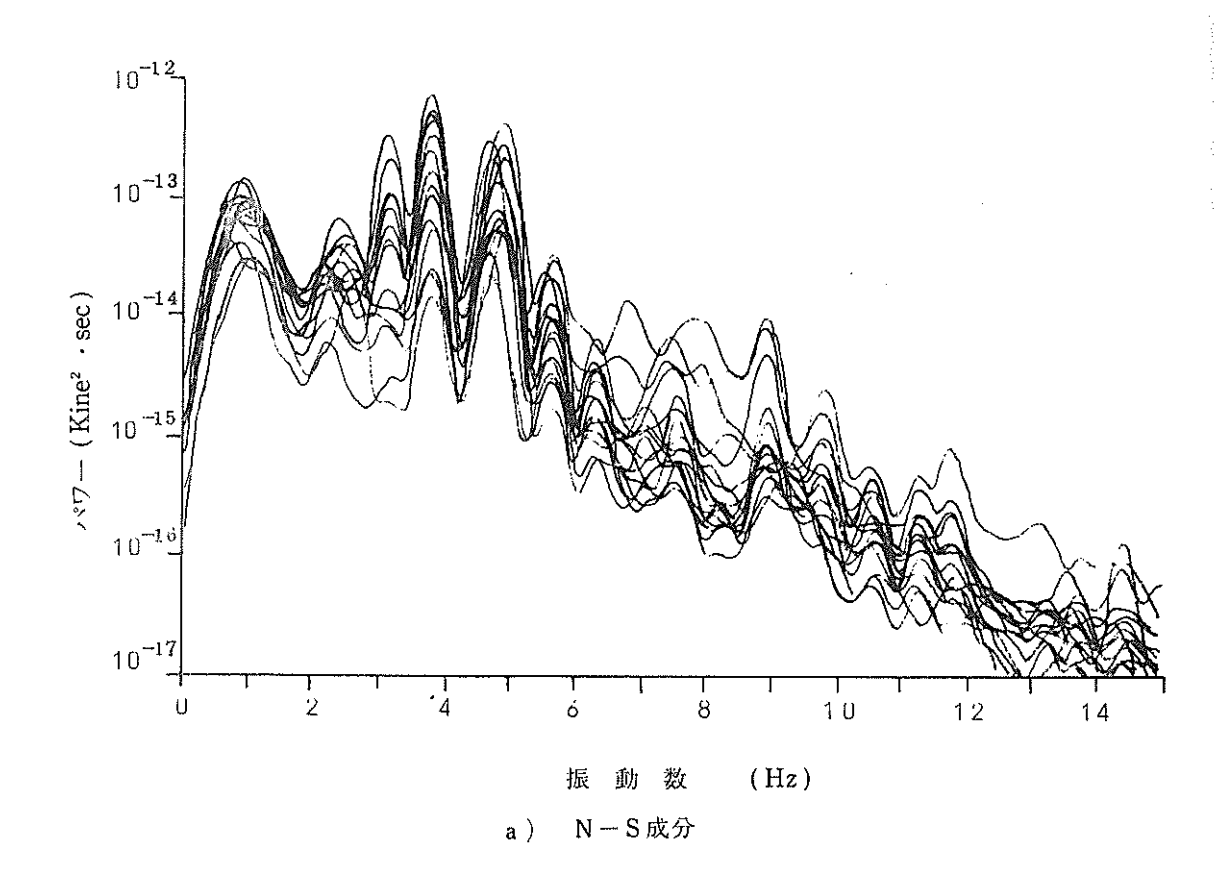
なお,この  $4\sim5~\mathrm{Hz}$  は微小ヒズミレベル( $r<10^6$ )での卓越振動数で あり,地 震時にはセン断弾性定数Gが,たとえば

 $G \le 0.3G_0$   $G_0: r = 10^{-6}$  でのセン断弾性定数

程度が見込まれ、卓越振動数が約1/2になることおよび液状化によるGの低下も加わり、卓越振動数がさらに低下したと思われる。このことが、アンケートによる

<sup>\*)</sup> 地表およびG L - 10.0 mの波形が特定の方向性を持っているとすればその比を求めると,方向性が軽減される方向に作用すると思われる。

<sup>\*\*</sup>) Vs と層厚Hの比(H/Vs)が一定値ならば卓越振動数が変わらないことまた,H/Vs が 大きくなると増幅率も大きくなることが重複反射計算等の例から経験的に推測される。



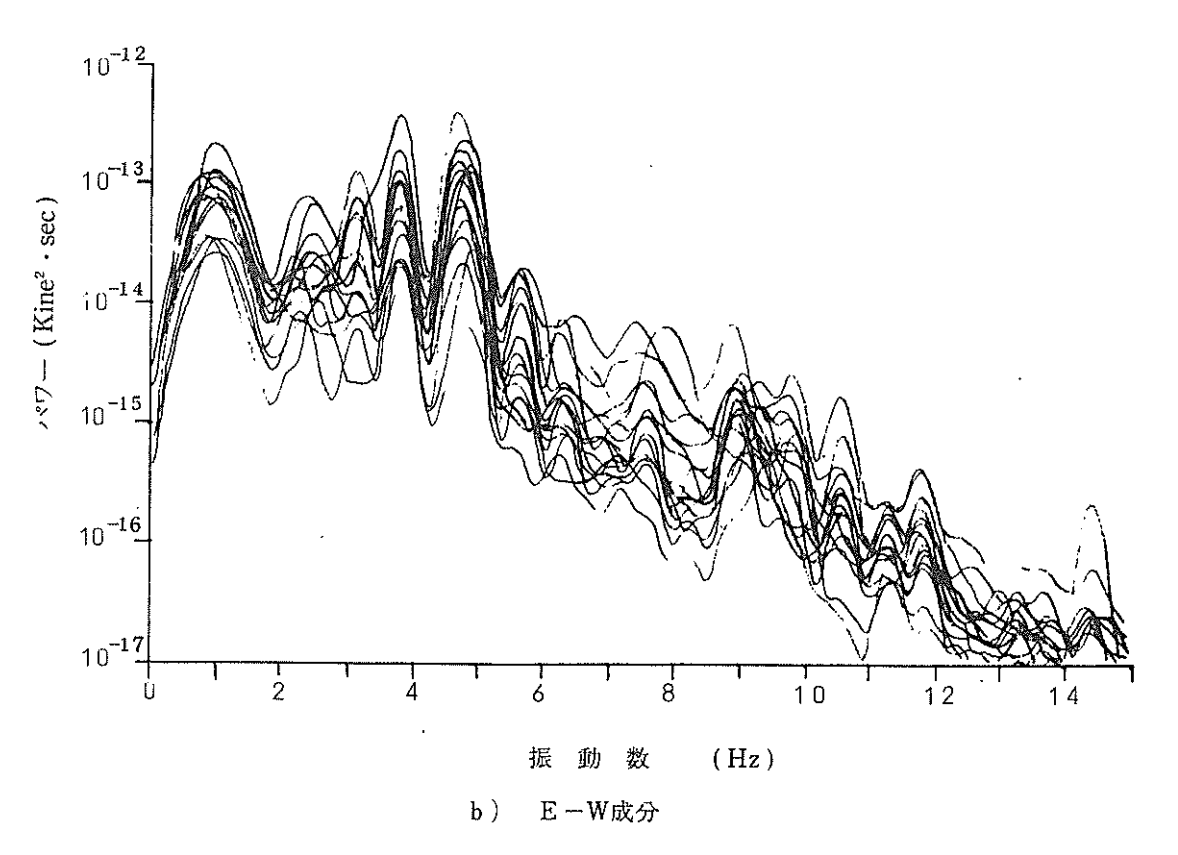
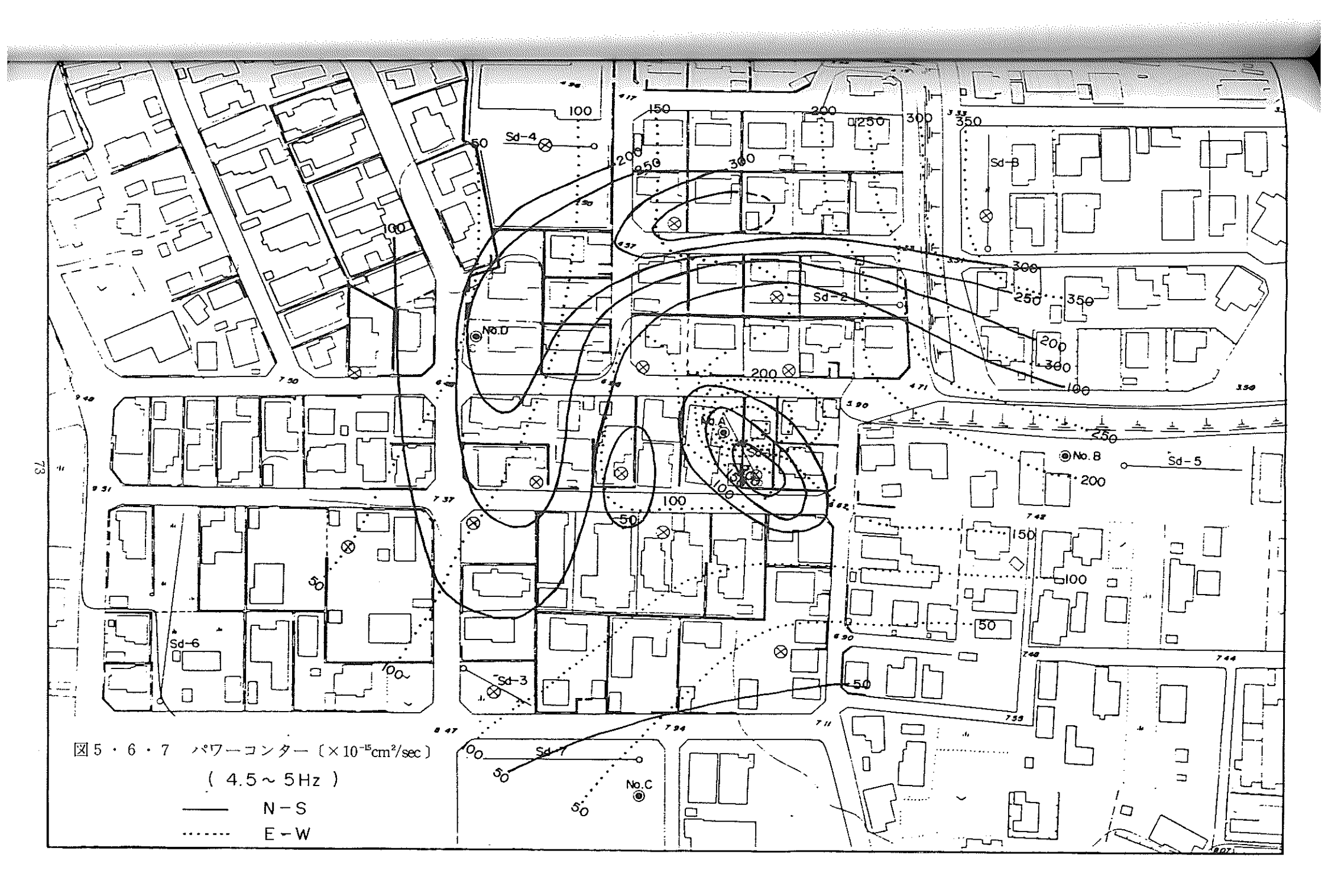
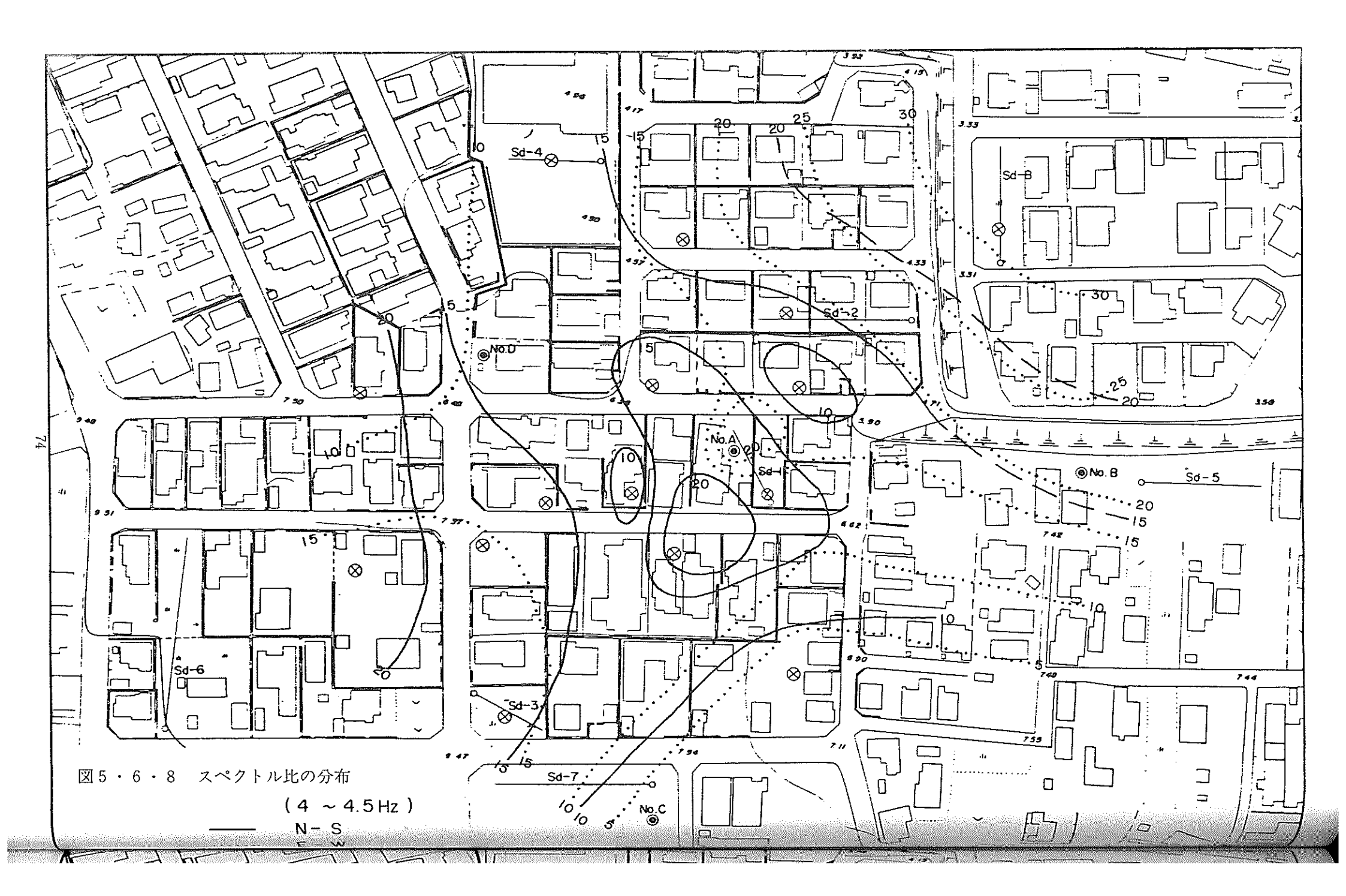
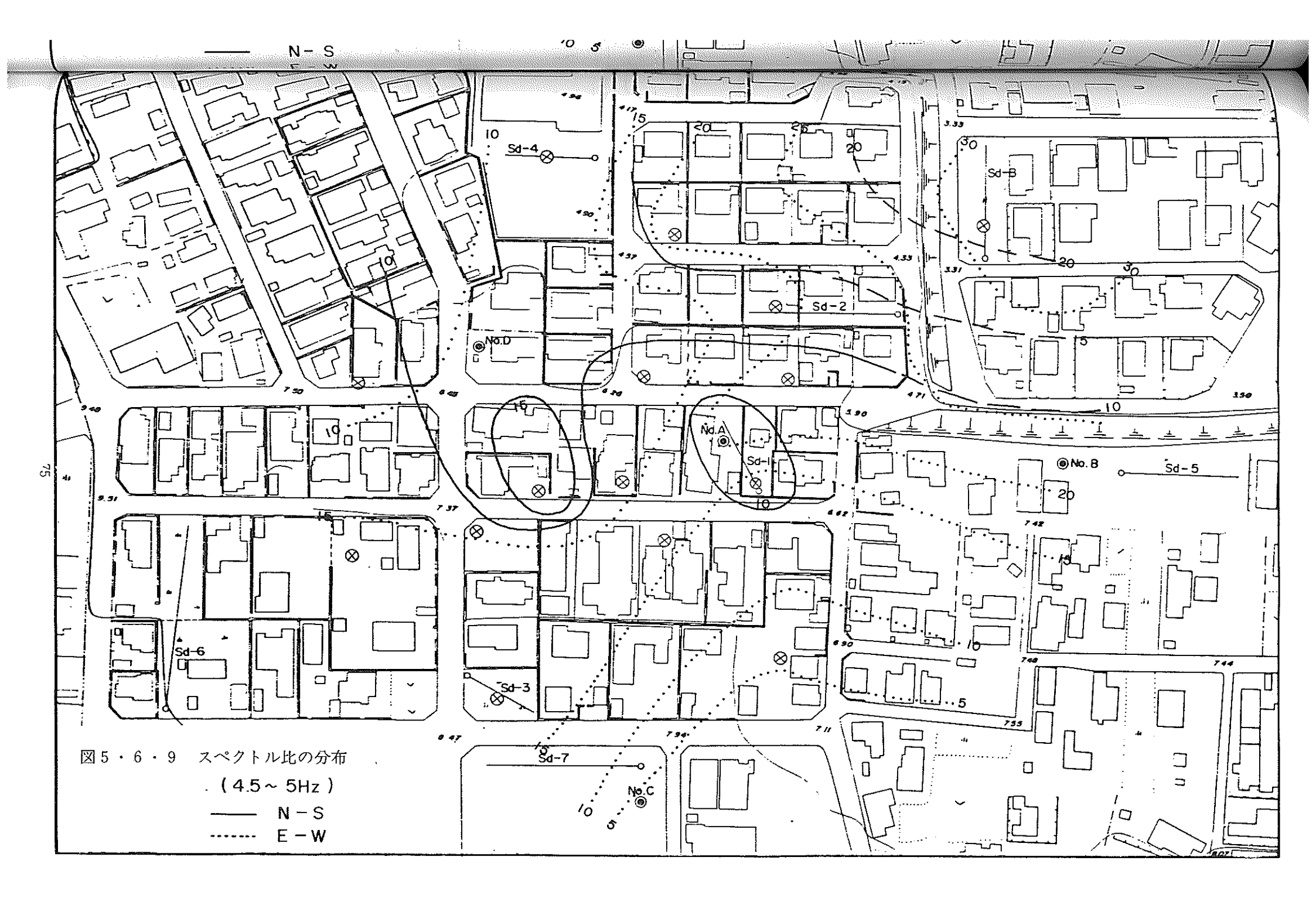


図5・6・6 パワースペクトルの比較

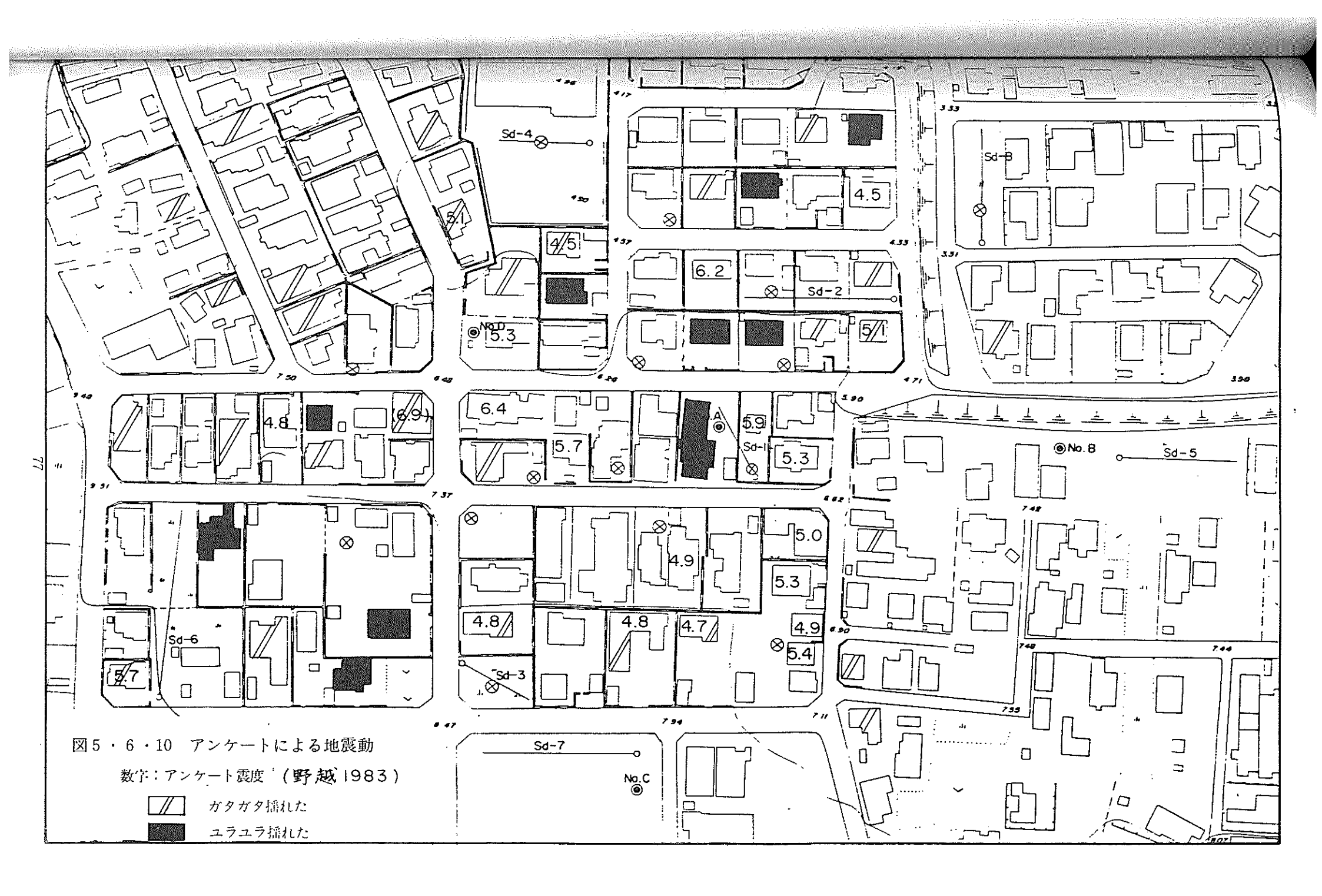


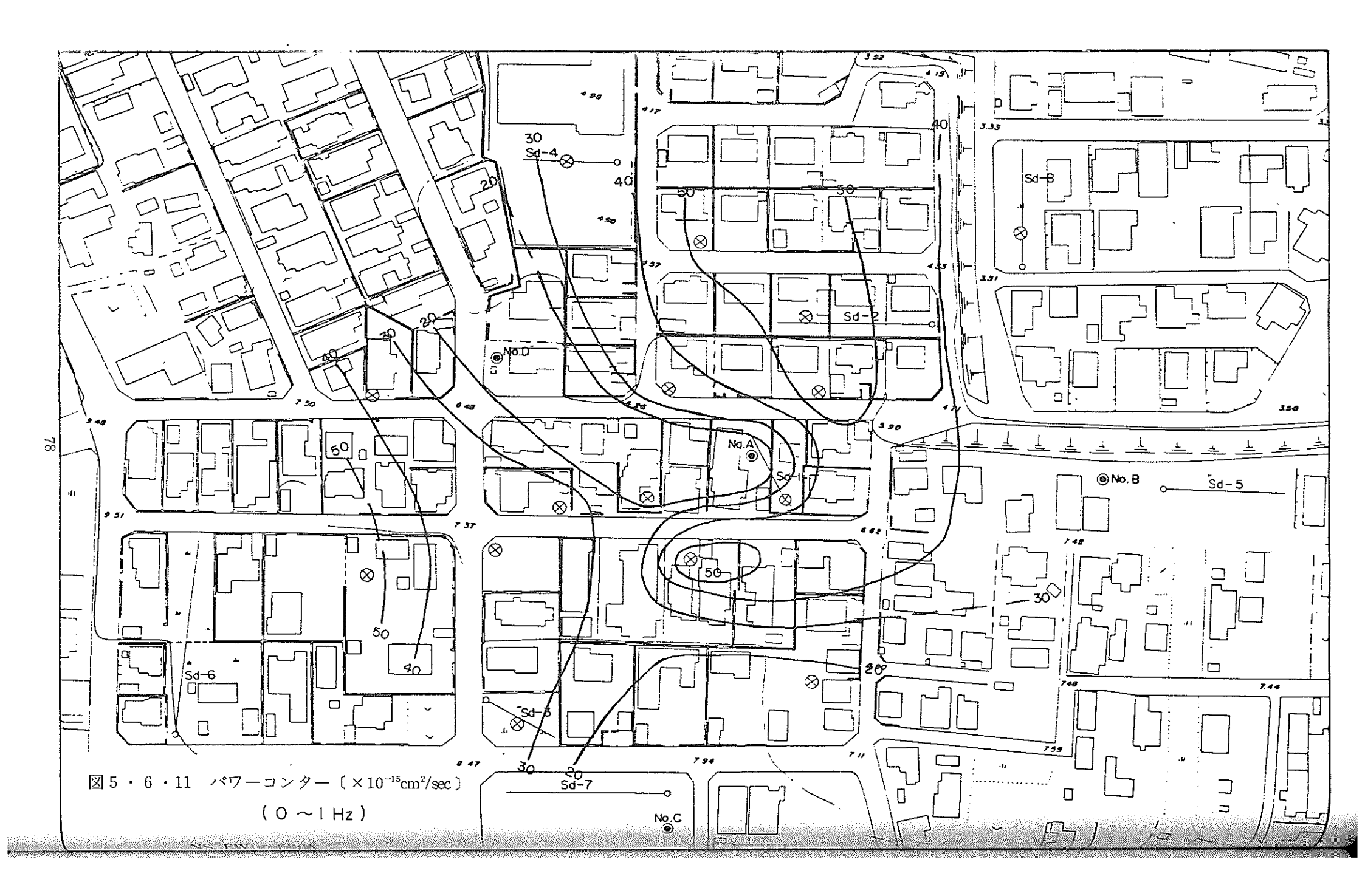




「ゆらゆら揺れた」の分布が北東のトレンドを示したのと関係があるかもしれない。 (図5・6・10)

最後に、より深い構造を反映すると思われる $0\sim 1~Hz~$ のパワーコンターを図 $5\cdot 6$ ・11~に示す。このスペクトル比のコンターも大局的に $4\sim 5~Hz~$ のコンターに似ており、 $0\sim 1~Hz~$ の成分が起因する構造境界までの平均Vs~を200~m/秒とするならば、その深度は大略50~m程度と推定されよう。





# 5 • 7 室内土質試験

## (1) 試験目的

物理試験は、試験結果と試料観察を総合して土を判別分類し、その一般的性質を知ることを目的とした。力学試験は、常時及び地震時の地盤のせん断力等を推定することを目的とした。また、これらの物理・力学特性を把握し、液状化及び安定解析の基礎資料とした。

# (2) 試験方法

各試験項目の基準は、以下のとおりである。なお、詳細については別冊資料その1 (F)1.室内土質試験の概要を参照のこと。

表5・7・1 試験項目と基準

|     | 試 | 験   | 項    | 目   |    | 基準                   |
|-----|---|-----|------|-----|----|----------------------|
|     | 土 | 粒 子 | の比   | 重試  | 験  | JIS A1202-1978       |
| 物   | 含 | 水   | 虚    | 試   | 験  | JIS A1203-1978       |
| 埋   | 密 | 度   | =    | 試   | 験  | 土質工学会 成形法            |
| - p | 粒 | 度   | Ē    | 試   | 験  | JIS A1204 T-1979     |
| 試   | 液 | 性   | 限界   | 試   | 験  | JIS A1205 T-1979     |
| 験   | 塑 | 性   | 限 界  | 試   | 験  | JIS A1206-1970       |
|     | 砂 | の最大 | • 最小 | 密度記 | 式験 | 砂の相対密度小委員会(案)        |
| ・カカ |   | 軸   | 圧 縮  | 試   | 験  | JIS A1216 T-1976(79) |
| 学試  | = | 軸圧縮 | 試験   | (CI | )  | 土質工学会基準-1975(79)     |
| 験   | 液 | 状化試 | 験 (振 | 動三軸 | 由) | 繰返し法                 |

## (3) 試験結果

各試験結果は、別冊資料その1(F)2.に示した。物理試験(砂の最大・最小密度試験を除く)は、今回調査全でのボーリング地点の5~7m程度まで実施した。力学試験は、地震被害の有無での地盤の強度を対比させる為に、被害の大きかったボーリングNo.A地点と、被害の無かったボーリングNo.D地点の2箇所で実施している。ただし、一軸圧縮試験は、ボーリングNo.Aのシルト層のみ実施した。

# a 物理試験結果

物理試験は、標準貫入試験試料及び不撹乱採取試料で実施した。

各試験値は,次項からの力学試験値も含め,図 5・7・1~図 5・7・4 に土性図として示した。

|       | 深度(加)                  |   | ンプ  | 統一分類                    | N  | 値        | 粒度組成<br>レキ 砂<br>2888<br>ジルト 粘<br>シルト 格 |     | 水 比  | w %  | 単位体 | 種重量(§ | gf/cm³ | ")  | 土粒子の<br>2.6<br>間 <u>隙</u><br>e min |       | 2.7 | - 袖圧縮    | 強さ qu | ı kgf/cm² | ・<br>破壊ひずみ<br>ε f (%) | 粘着力 c kgf/c | m² d | ん断抵抗角 | ø | 液状化矿 | 5力比Rℓ | <b>9</b> | 対密<br>Dr (%) |     |
|-------|------------------------|---|-----|-------------------------|----|----------|----------------------------------------|-----|------|------|-----|-------|--------|-----|------------------------------------|-------|-----|----------|-------|-----------|-----------------------|-------------|------|-------|---|------|-------|----------|--------------|-----|
|       |                        |   | グート | 753                     | 10 | 20 30 40 | 50                                     | t t | 20 4 | 0 60 | 1.6 | 1.8   | 2.0    | 0,6 | e min<br>6 0.8                     | 1.0 1 | 1,2 | 0.500.55 | 0.60  | 0.65 0.70 | 5                     |             |      | 20 40 |   | 0.1  | 0.2   |          | Dr*          | 100 |
| 1.466 | 6.30<br>11.15<br>12.20 | 5 |     | SPu<br>SPu<br>SPu<br>MH |    |          |                                        |     | :    | 106  |     |       |        |     | × ×                                | 1 ×   | 708 |          |       |           |                       |             |      |       |   |      |       | 35.2     | 2.0          |     |

図5・7・1 土性図(ボーリングNo.A)

| 深度(n)          | 柱状図    | ンプリング                                                                                                                                                                                                                                                                                                                                                                                                                                                                                                                                                                                                                                                                                                                                                                                                                                                                                                                                                                                                                                                                                                                                                                                                                                                                                                                                                                                                                                                                                                                                                                                                                                                                                                                                                                                                                                                                                                                                                                                                                                                                                                                          | "   | N<br>10 20 | 1位 30 40 | 粒度組成<br>レキ 砂<br>図 ご<br>シルト 粘土<br>50 | 含 水<br>20 | 1tw % | 単位体積重量(gf/km³) | 2.6 | の比重 Gs x<br>2.7<br>i 隊 比e | ・軸圧縮強さ qu kgf/cm² | ・<br>破壊ひずみ<br>e f(%) | 料 着 力c kgf/cm² | せん断抵抗角 φ | 液状化応力比R ℓ | 相 対 密 度<br>Dr (%) |
|----------------|--------|--------------------------------------------------------------------------------------------------------------------------------------------------------------------------------------------------------------------------------------------------------------------------------------------------------------------------------------------------------------------------------------------------------------------------------------------------------------------------------------------------------------------------------------------------------------------------------------------------------------------------------------------------------------------------------------------------------------------------------------------------------------------------------------------------------------------------------------------------------------------------------------------------------------------------------------------------------------------------------------------------------------------------------------------------------------------------------------------------------------------------------------------------------------------------------------------------------------------------------------------------------------------------------------------------------------------------------------------------------------------------------------------------------------------------------------------------------------------------------------------------------------------------------------------------------------------------------------------------------------------------------------------------------------------------------------------------------------------------------------------------------------------------------------------------------------------------------------------------------------------------------------------------------------------------------------------------------------------------------------------------------------------------------------------------------------------------------------------------------------------------------|-----|------------|----------|-------------------------------------|-----------|-------|----------------|-----|---------------------------|-------------------|----------------------|----------------|----------|-----------|-------------------|
| 4 6.70<br>7.80 | M. (T/ | The state of the s | S-M |            |          |                                     | •         |       |                |     | ***                       |                   |                      |                |          |           |                   |
| 6 10.00        | .00    | Hilliam                                                                                                                                                                                                                                                                                                                                                                                                                                                                                                                                                                                                                                                                                                                                                                                                                                                                                                                                                                                                                                                                                                                                                                                                                                                                                                                                                                                                                                                                                                                                                                                                                                                                                                                                                                                                                                                                                                                                                                                                                                                                                                                        |     |            |          |                                     |           |       |                |     |                           |                   |                      |                |          |           |                   |

図5・7・2 土性図(ボーリングNo.B)

| 原標          | 深                                                                                                                                                                                                                                                                                                                                                                                                                                                                                                                                                                                                                                                                                                                                                                                                                                                                                                                                                                                                                                                                                                                                                                                                                                                                                                                                                                                                                                                                                                                                                                                                                                                                                                                                                                                                                                                                                                                                                                                                                                                                                                                              | 柱        | +                                                                                                                                                                                                                                                                                                                                                                                                                                                                                                                                                                                                                                                                                                                                                                                                                                                                                                                                                                                                                                                                                                                                                                                                                                                                                                                                                                                                                                                                                                                                                                                                                                                                                                                                                                                                                                                                                                                                                                                                                                                                                                                              | 統                        |              |       |       | 粒度組成                                                                                                               |                                                                                                                                                                                                                                                                                                                                                                                                                                                                                                                                                                                                                                                                                                                                                                                                                                                                                                                                                                                                                                                                                                                                                                                                                                                                                                                                                                                                                                                                                                                                                                                                                                                                                                                                                                                                                                                                                                                                                                                                                                                                                                                                |                                                                                                                                                                                                                                                                                                                                                                                                                                                                                                                                                                                                                                                                                                                                                                                                                                                                                                                                                                                                                                                                                                                                                                                                                                                                                                                                                                                                                                                                                                                                                                                                                                                                                                                                                                                                                                                                                                                                                                                                                                                                                                                                |                | t:林子                                  | の比重 Gs                                  | at the state of th |                                                                                                                                                                                                                                                                                                                                                                                                                                                                                                                                                                                                                                                                                                                                                                                                                                                                                                                                                                                                                                                                                                                                                                                                                                                                                                                                                                                                                                                                                                                                                                                                                                                                                                                                                                                                                                                                                                                                                                                                                                                                                                                                |     |           |         |                                                                                                                                                                                                                                                                                                                                                                                                                                                                                                                                                                                                                                                                                                                                                                                                                                                                                                                                                                                                                                                                                                                                                                                                                                                                                                                                                                                                                                                                                                                                                                                                                                                                                                                                                                                                                                                                                                                                                                                                                                                                                                                                |                   |
|-------------|--------------------------------------------------------------------------------------------------------------------------------------------------------------------------------------------------------------------------------------------------------------------------------------------------------------------------------------------------------------------------------------------------------------------------------------------------------------------------------------------------------------------------------------------------------------------------------------------------------------------------------------------------------------------------------------------------------------------------------------------------------------------------------------------------------------------------------------------------------------------------------------------------------------------------------------------------------------------------------------------------------------------------------------------------------------------------------------------------------------------------------------------------------------------------------------------------------------------------------------------------------------------------------------------------------------------------------------------------------------------------------------------------------------------------------------------------------------------------------------------------------------------------------------------------------------------------------------------------------------------------------------------------------------------------------------------------------------------------------------------------------------------------------------------------------------------------------------------------------------------------------------------------------------------------------------------------------------------------------------------------------------------------------------------------------------------------------------------------------------------------------|----------|--------------------------------------------------------------------------------------------------------------------------------------------------------------------------------------------------------------------------------------------------------------------------------------------------------------------------------------------------------------------------------------------------------------------------------------------------------------------------------------------------------------------------------------------------------------------------------------------------------------------------------------------------------------------------------------------------------------------------------------------------------------------------------------------------------------------------------------------------------------------------------------------------------------------------------------------------------------------------------------------------------------------------------------------------------------------------------------------------------------------------------------------------------------------------------------------------------------------------------------------------------------------------------------------------------------------------------------------------------------------------------------------------------------------------------------------------------------------------------------------------------------------------------------------------------------------------------------------------------------------------------------------------------------------------------------------------------------------------------------------------------------------------------------------------------------------------------------------------------------------------------------------------------------------------------------------------------------------------------------------------------------------------------------------------------------------------------------------------------------------------------|--------------------------|--------------|-------|-------|--------------------------------------------------------------------------------------------------------------------|--------------------------------------------------------------------------------------------------------------------------------------------------------------------------------------------------------------------------------------------------------------------------------------------------------------------------------------------------------------------------------------------------------------------------------------------------------------------------------------------------------------------------------------------------------------------------------------------------------------------------------------------------------------------------------------------------------------------------------------------------------------------------------------------------------------------------------------------------------------------------------------------------------------------------------------------------------------------------------------------------------------------------------------------------------------------------------------------------------------------------------------------------------------------------------------------------------------------------------------------------------------------------------------------------------------------------------------------------------------------------------------------------------------------------------------------------------------------------------------------------------------------------------------------------------------------------------------------------------------------------------------------------------------------------------------------------------------------------------------------------------------------------------------------------------------------------------------------------------------------------------------------------------------------------------------------------------------------------------------------------------------------------------------------------------------------------------------------------------------------------------|--------------------------------------------------------------------------------------------------------------------------------------------------------------------------------------------------------------------------------------------------------------------------------------------------------------------------------------------------------------------------------------------------------------------------------------------------------------------------------------------------------------------------------------------------------------------------------------------------------------------------------------------------------------------------------------------------------------------------------------------------------------------------------------------------------------------------------------------------------------------------------------------------------------------------------------------------------------------------------------------------------------------------------------------------------------------------------------------------------------------------------------------------------------------------------------------------------------------------------------------------------------------------------------------------------------------------------------------------------------------------------------------------------------------------------------------------------------------------------------------------------------------------------------------------------------------------------------------------------------------------------------------------------------------------------------------------------------------------------------------------------------------------------------------------------------------------------------------------------------------------------------------------------------------------------------------------------------------------------------------------------------------------------------------------------------------------------------------------------------------------------|----------------|---------------------------------------|-----------------------------------------|--------------------------------------------------------------------------------------------------------------------------------------------------------------------------------------------------------------------------------------------------------------------------------------------------------------------------------------------------------------------------------------------------------------------------------------------------------------------------------------------------------------------------------------------------------------------------------------------------------------------------------------------------------------------------------------------------------------------------------------------------------------------------------------------------------------------------------------------------------------------------------------------------------------------------------------------------------------------------------------------------------------------------------------------------------------------------------------------------------------------------------------------------------------------------------------------------------------------------------------------------------------------------------------------------------------------------------------------------------------------------------------------------------------------------------------------------------------------------------------------------------------------------------------------------------------------------------------------------------------------------------------------------------------------------------------------------------------------------------------------------------------------------------------------------------------------------------------------------------------------------------------------------------------------------------------------------------------------------------------------------------------------------------------------------------------------------------------------------------------------------------|--------------------------------------------------------------------------------------------------------------------------------------------------------------------------------------------------------------------------------------------------------------------------------------------------------------------------------------------------------------------------------------------------------------------------------------------------------------------------------------------------------------------------------------------------------------------------------------------------------------------------------------------------------------------------------------------------------------------------------------------------------------------------------------------------------------------------------------------------------------------------------------------------------------------------------------------------------------------------------------------------------------------------------------------------------------------------------------------------------------------------------------------------------------------------------------------------------------------------------------------------------------------------------------------------------------------------------------------------------------------------------------------------------------------------------------------------------------------------------------------------------------------------------------------------------------------------------------------------------------------------------------------------------------------------------------------------------------------------------------------------------------------------------------------------------------------------------------------------------------------------------------------------------------------------------------------------------------------------------------------------------------------------------------------------------------------------------------------------------------------------------|-----|-----------|---------|--------------------------------------------------------------------------------------------------------------------------------------------------------------------------------------------------------------------------------------------------------------------------------------------------------------------------------------------------------------------------------------------------------------------------------------------------------------------------------------------------------------------------------------------------------------------------------------------------------------------------------------------------------------------------------------------------------------------------------------------------------------------------------------------------------------------------------------------------------------------------------------------------------------------------------------------------------------------------------------------------------------------------------------------------------------------------------------------------------------------------------------------------------------------------------------------------------------------------------------------------------------------------------------------------------------------------------------------------------------------------------------------------------------------------------------------------------------------------------------------------------------------------------------------------------------------------------------------------------------------------------------------------------------------------------------------------------------------------------------------------------------------------------------------------------------------------------------------------------------------------------------------------------------------------------------------------------------------------------------------------------------------------------------------------------------------------------------------------------------------------------|-------------------|
| 胡           | 度                                                                                                                                                                                                                                                                                                                                                                                                                                                                                                                                                                                                                                                                                                                                                                                                                                                                                                                                                                                                                                                                                                                                                                                                                                                                                                                                                                                                                                                                                                                                                                                                                                                                                                                                                                                                                                                                                                                                                                                                                                                                                                                              |          | プープー                                                                                                                                                                                                                                                                                                                                                                                                                                                                                                                                                                                                                                                                                                                                                                                                                                                                                                                                                                                                                                                                                                                                                                                                                                                                                                                                                                                                                                                                                                                                                                                                                                                                                                                                                                                                                                                                                                                                                                                                                                                                                                                           | 分                        | N            |       | filt. | レキ 砂<br>三<br>シルト 枯土<br>三<br>三<br>三<br>三<br>三<br>三<br>三<br>三<br>三<br>三<br>三<br>三<br>三<br>三<br>三<br>三<br>三<br>三<br>三 |                                                                                                                                                                                                                                                                                                                                                                                                                                                                                                                                                                                                                                                                                                                                                                                                                                                                                                                                                                                                                                                                                                                                                                                                                                                                                                                                                                                                                                                                                                                                                                                                                                                                                                                                                                                                                                                                                                                                                                                                                                                                                                                                | . It w%                                                                                                                                                                                                                                                                                                                                                                                                                                                                                                                                                                                                                                                                                                                                                                                                                                                                                                                                                                                                                                                                                                                                                                                                                                                                                                                                                                                                                                                                                                                                                                                                                                                                                                                                                                                                                                                                                                                                                                                                                                                                                                                        | 単位体積重量(gf/cm³) |                                       | 2.7<br>集 比 e                            | ・軸圧縮強さ qu kgf/cm²                                                                                                                                                                                                                                                                                                                                                                                                                                                                                                                                                                                                                                                                                                                                                                                                                                                                                                                                                                                                                                                                                                                                                                                                                                                                                                                                                                                                                                                                                                                                                                                                                                                                                                                                                                                                                                                                                                                                                                                                                                                                                                              | 破壊ひずみ<br>€ f (%)                                                                                                                                                                                                                                                                                                                                                                                                                                                                                                                                                                                                                                                                                                                                                                                                                                                                                                                                                                                                                                                                                                                                                                                                                                                                                                                                                                                                                                                                                                                                                                                                                                                                                                                                                                                                                                                                                                                                                                                                                                                                                                               | 粘着力 | c kgf/cm² | せん断抵抗角を | 液状化応力比Rℓ                                                                                                                                                                                                                                                                                                                                                                                                                                                                                                                                                                                                                                                                                                                                                                                                                                                                                                                                                                                                                                                                                                                                                                                                                                                                                                                                                                                                                                                                                                                                                                                                                                                                                                                                                                                                                                                                                                                                                                                                                                                                                                                       | 相 対 密 度<br>Dr (%) |
| n           | <i>m</i>                                                                                                                                                                                                                                                                                                                                                                                                                                                                                                                                                                                                                                                                                                                                                                                                                                                                                                                                                                                                                                                                                                                                                                                                                                                                                                                                                                                                                                                                                                                                                                                                                                                                                                                                                                                                                                                                                                                                                                                                                                                                                                                       | 図        | リング                                                                                                                                                                                                                                                                                                                                                                                                                                                                                                                                                                                                                                                                                                                                                                                                                                                                                                                                                                                                                                                                                                                                                                                                                                                                                                                                                                                                                                                                                                                                                                                                                                                                                                                                                                                                                                                                                                                                                                                                                                                                                                                            | 類                        | 10           | 20 30 | 0 40  | 50                                                                                                                 |                                                                                                                                                                                                                                                                                                                                                                                                                                                                                                                                                                                                                                                                                                                                                                                                                                                                                                                                                                                                                                                                                                                                                                                                                                                                                                                                                                                                                                                                                                                                                                                                                                                                                                                                                                                                                                                                                                                                                                                                                                                                                                                                | 40 (                                                                                                                                                                                                                                                                                                                                                                                                                                                                                                                                                                                                                                                                                                                                                                                                                                                                                                                                                                                                                                                                                                                                                                                                                                                                                                                                                                                                                                                                                                                                                                                                                                                                                                                                                                                                                                                                                                                                                                                                                                                                                                                           | 0              | , , , , , , , , , , , , , , , , , , , | ης IC E                                 |                                                                                                                                                                                                                                                                                                                                                                                                                                                                                                                                                                                                                                                                                                                                                                                                                                                                                                                                                                                                                                                                                                                                                                                                                                                                                                                                                                                                                                                                                                                                                                                                                                                                                                                                                                                                                                                                                                                                                                                                                                                                                                                                |                                                                                                                                                                                                                                                                                                                                                                                                                                                                                                                                                                                                                                                                                                                                                                                                                                                                                                                                                                                                                                                                                                                                                                                                                                                                                                                                                                                                                                                                                                                                                                                                                                                                                                                                                                                                                                                                                                                                                                                                                                                                                                                                |     |           |         |                                                                                                                                                                                                                                                                                                                                                                                                                                                                                                                                                                                                                                                                                                                                                                                                                                                                                                                                                                                                                                                                                                                                                                                                                                                                                                                                                                                                                                                                                                                                                                                                                                                                                                                                                                                                                                                                                                                                                                                                                                                                                                                                |                   |
| 7.8         | 42 0.55                                                                                                                                                                                                                                                                                                                                                                                                                                                                                                                                                                                                                                                                                                                                                                                                                                                                                                                                                                                                                                                                                                                                                                                                                                                                                                                                                                                                                                                                                                                                                                                                                                                                                                                                                                                                                                                                                                                                                                                                                                                                                                                        | 0        |                                                                                                                                                                                                                                                                                                                                                                                                                                                                                                                                                                                                                                                                                                                                                                                                                                                                                                                                                                                                                                                                                                                                                                                                                                                                                                                                                                                                                                                                                                                                                                                                                                                                                                                                                                                                                                                                                                                                                                                                                                                                                                                                |                          | <del>-</del> |       |       |                                                                                                                    |                                                                                                                                                                                                                                                                                                                                                                                                                                                                                                                                                                                                                                                                                                                                                                                                                                                                                                                                                                                                                                                                                                                                                                                                                                                                                                                                                                                                                                                                                                                                                                                                                                                                                                                                                                                                                                                                                                                                                                                                                                                                                                                                |                                                                                                                                                                                                                                                                                                                                                                                                                                                                                                                                                                                                                                                                                                                                                                                                                                                                                                                                                                                                                                                                                                                                                                                                                                                                                                                                                                                                                                                                                                                                                                                                                                                                                                                                                                                                                                                                                                                                                                                                                                                                                                                                |                |                                       |                                         |                                                                                                                                                                                                                                                                                                                                                                                                                                                                                                                                                                                                                                                                                                                                                                                                                                                                                                                                                                                                                                                                                                                                                                                                                                                                                                                                                                                                                                                                                                                                                                                                                                                                                                                                                                                                                                                                                                                                                                                                                                                                                                                                |                                                                                                                                                                                                                                                                                                                                                                                                                                                                                                                                                                                                                                                                                                                                                                                                                                                                                                                                                                                                                                                                                                                                                                                                                                                                                                                                                                                                                                                                                                                                                                                                                                                                                                                                                                                                                                                                                                                                                                                                                                                                                                                                |     |           |         |                                                                                                                                                                                                                                                                                                                                                                                                                                                                                                                                                                                                                                                                                                                                                                                                                                                                                                                                                                                                                                                                                                                                                                                                                                                                                                                                                                                                                                                                                                                                                                                                                                                                                                                                                                                                                                                                                                                                                                                                                                                                                                                                |                   |
| 6.6         | 92 1.70<br>42 1.95                                                                                                                                                                                                                                                                                                                                                                                                                                                                                                                                                                                                                                                                                                                                                                                                                                                                                                                                                                                                                                                                                                                                                                                                                                                                                                                                                                                                                                                                                                                                                                                                                                                                                                                                                                                                                                                                                                                                                                                                                                                                                                             | ) . jr   |                                                                                                                                                                                                                                                                                                                                                                                                                                                                                                                                                                                                                                                                                                                                                                                                                                                                                                                                                                                                                                                                                                                                                                                                                                                                                                                                                                                                                                                                                                                                                                                                                                                                                                                                                                                                                                                                                                                                                                                                                                                                                                                                | <u>-M</u> ₽              |              |       | -     |                                                                                                                    |                                                                                                                                                                                                                                                                                                                                                                                                                                                                                                                                                                                                                                                                                                                                                                                                                                                                                                                                                                                                                                                                                                                                                                                                                                                                                                                                                                                                                                                                                                                                                                                                                                                                                                                                                                                                                                                                                                                                                                                                                                                                                                                                | •                                                                                                                                                                                                                                                                                                                                                                                                                                                                                                                                                                                                                                                                                                                                                                                                                                                                                                                                                                                                                                                                                                                                                                                                                                                                                                                                                                                                                                                                                                                                                                                                                                                                                                                                                                                                                                                                                                                                                                                                                                                                                                                              |                |                                       |                                         |                                                                                                                                                                                                                                                                                                                                                                                                                                                                                                                                                                                                                                                                                                                                                                                                                                                                                                                                                                                                                                                                                                                                                                                                                                                                                                                                                                                                                                                                                                                                                                                                                                                                                                                                                                                                                                                                                                                                                                                                                                                                                                                                |                                                                                                                                                                                                                                                                                                                                                                                                                                                                                                                                                                                                                                                                                                                                                                                                                                                                                                                                                                                                                                                                                                                                                                                                                                                                                                                                                                                                                                                                                                                                                                                                                                                                                                                                                                                                                                                                                                                                                                                                                                                                                                                                |     |           |         |                                                                                                                                                                                                                                                                                                                                                                                                                                                                                                                                                                                                                                                                                                                                                                                                                                                                                                                                                                                                                                                                                                                                                                                                                                                                                                                                                                                                                                                                                                                                                                                                                                                                                                                                                                                                                                                                                                                                                                                                                                                                                                                                |                   |
| 6.4         | 42 1.95                                                                                                                                                                                                                                                                                                                                                                                                                                                                                                                                                                                                                                                                                                                                                                                                                                                                                                                                                                                                                                                                                                                                                                                                                                                                                                                                                                                                                                                                                                                                                                                                                                                                                                                                                                                                                                                                                                                                                                                                                                                                                                                        | γ.       |                                                                                                                                                                                                                                                                                                                                                                                                                                                                                                                                                                                                                                                                                                                                                                                                                                                                                                                                                                                                                                                                                                                                                                                                                                                                                                                                                                                                                                                                                                                                                                                                                                                                                                                                                                                                                                                                                                                                                                                                                                                                                                                                | SPu (                    |              |       |       |                                                                                                                    |                                                                                                                                                                                                                                                                                                                                                                                                                                                                                                                                                                                                                                                                                                                                                                                                                                                                                                                                                                                                                                                                                                                                                                                                                                                                                                                                                                                                                                                                                                                                                                                                                                                                                                                                                                                                                                                                                                                                                                                                                                                                                                                                |                                                                                                                                                                                                                                                                                                                                                                                                                                                                                                                                                                                                                                                                                                                                                                                                                                                                                                                                                                                                                                                                                                                                                                                                                                                                                                                                                                                                                                                                                                                                                                                                                                                                                                                                                                                                                                                                                                                                                                                                                                                                                                                                |                |                                       |                                         |                                                                                                                                                                                                                                                                                                                                                                                                                                                                                                                                                                                                                                                                                                                                                                                                                                                                                                                                                                                                                                                                                                                                                                                                                                                                                                                                                                                                                                                                                                                                                                                                                                                                                                                                                                                                                                                                                                                                                                                                                                                                                                                                |                                                                                                                                                                                                                                                                                                                                                                                                                                                                                                                                                                                                                                                                                                                                                                                                                                                                                                                                                                                                                                                                                                                                                                                                                                                                                                                                                                                                                                                                                                                                                                                                                                                                                                                                                                                                                                                                                                                                                                                                                                                                                                                                |     |           |         |                                                                                                                                                                                                                                                                                                                                                                                                                                                                                                                                                                                                                                                                                                                                                                                                                                                                                                                                                                                                                                                                                                                                                                                                                                                                                                                                                                                                                                                                                                                                                                                                                                                                                                                                                                                                                                                                                                                                                                                                                                                                                                                                |                   |
|             |                                                                                                                                                                                                                                                                                                                                                                                                                                                                                                                                                                                                                                                                                                                                                                                                                                                                                                                                                                                                                                                                                                                                                                                                                                                                                                                                                                                                                                                                                                                                                                                                                                                                                                                                                                                                                                                                                                                                                                                                                                                                                                                                |          | 000000000000000000000000000000000000000                                                                                                                                                                                                                                                                                                                                                                                                                                                                                                                                                                                                                                                                                                                                                                                                                                                                                                                                                                                                                                                                                                                                                                                                                                                                                                                                                                                                                                                                                                                                                                                                                                                                                                                                                                                                                                                                                                                                                                                                                                                                                        | - M                      | 9            |       |       |                                                                                                                    |                                                                                                                                                                                                                                                                                                                                                                                                                                                                                                                                                                                                                                                                                                                                                                                                                                                                                                                                                                                                                                                                                                                                                                                                                                                                                                                                                                                                                                                                                                                                                                                                                                                                                                                                                                                                                                                                                                                                                                                                                                                                                                                                | •                                                                                                                                                                                                                                                                                                                                                                                                                                                                                                                                                                                                                                                                                                                                                                                                                                                                                                                                                                                                                                                                                                                                                                                                                                                                                                                                                                                                                                                                                                                                                                                                                                                                                                                                                                                                                                                                                                                                                                                                                                                                                                                              |                |                                       |                                         |                                                                                                                                                                                                                                                                                                                                                                                                                                                                                                                                                                                                                                                                                                                                                                                                                                                                                                                                                                                                                                                                                                                                                                                                                                                                                                                                                                                                                                                                                                                                                                                                                                                                                                                                                                                                                                                                                                                                                                                                                                                                                                                                |                                                                                                                                                                                                                                                                                                                                                                                                                                                                                                                                                                                                                                                                                                                                                                                                                                                                                                                                                                                                                                                                                                                                                                                                                                                                                                                                                                                                                                                                                                                                                                                                                                                                                                                                                                                                                                                                                                                                                                                                                                                                                                                                |     |           |         |                                                                                                                                                                                                                                                                                                                                                                                                                                                                                                                                                                                                                                                                                                                                                                                                                                                                                                                                                                                                                                                                                                                                                                                                                                                                                                                                                                                                                                                                                                                                                                                                                                                                                                                                                                                                                                                                                                                                                                                                                                                                                                                                |                   |
|             |                                                                                                                                                                                                                                                                                                                                                                                                                                                                                                                                                                                                                                                                                                                                                                                                                                                                                                                                                                                                                                                                                                                                                                                                                                                                                                                                                                                                                                                                                                                                                                                                                                                                                                                                                                                                                                                                                                                                                                                                                                                                                                                                | <b>f</b> |                                                                                                                                                                                                                                                                                                                                                                                                                                                                                                                                                                                                                                                                                                                                                                                                                                                                                                                                                                                                                                                                                                                                                                                                                                                                                                                                                                                                                                                                                                                                                                                                                                                                                                                                                                                                                                                                                                                                                                                                                                                                                                                                |                          | 6            |       |       |                                                                                                                    |                                                                                                                                                                                                                                                                                                                                                                                                                                                                                                                                                                                                                                                                                                                                                                                                                                                                                                                                                                                                                                                                                                                                                                                                                                                                                                                                                                                                                                                                                                                                                                                                                                                                                                                                                                                                                                                                                                                                                                                                                                                                                                                                |                                                                                                                                                                                                                                                                                                                                                                                                                                                                                                                                                                                                                                                                                                                                                                                                                                                                                                                                                                                                                                                                                                                                                                                                                                                                                                                                                                                                                                                                                                                                                                                                                                                                                                                                                                                                                                                                                                                                                                                                                                                                                                                                |                |                                       |                                         |                                                                                                                                                                                                                                                                                                                                                                                                                                                                                                                                                                                                                                                                                                                                                                                                                                                                                                                                                                                                                                                                                                                                                                                                                                                                                                                                                                                                                                                                                                                                                                                                                                                                                                                                                                                                                                                                                                                                                                                                                                                                                                                                |                                                                                                                                                                                                                                                                                                                                                                                                                                                                                                                                                                                                                                                                                                                                                                                                                                                                                                                                                                                                                                                                                                                                                                                                                                                                                                                                                                                                                                                                                                                                                                                                                                                                                                                                                                                                                                                                                                                                                                                                                                                                                                                                |     |           |         |                                                                                                                                                                                                                                                                                                                                                                                                                                                                                                                                                                                                                                                                                                                                                                                                                                                                                                                                                                                                                                                                                                                                                                                                                                                                                                                                                                                                                                                                                                                                                                                                                                                                                                                                                                                                                                                                                                                                                                                                                                                                                                                                |                   |
|             | The state of the s |          | <u> </u>                                                                                                                                                                                                                                                                                                                                                                                                                                                                                                                                                                                                                                                                                                                                                                                                                                                                                                                                                                                                                                                                                                                                                                                                                                                                                                                                                                                                                                                                                                                                                                                                                                                                                                                                                                                                                                                                                                                                                                                                                                                                                                                       | Pu                       |              |       |       | <u> </u>                                                                                                           |                                                                                                                                                                                                                                                                                                                                                                                                                                                                                                                                                                                                                                                                                                                                                                                                                                                                                                                                                                                                                                                                                                                                                                                                                                                                                                                                                                                                                                                                                                                                                                                                                                                                                                                                                                                                                                                                                                                                                                                                                                                                                                                                |                                                                                                                                                                                                                                                                                                                                                                                                                                                                                                                                                                                                                                                                                                                                                                                                                                                                                                                                                                                                                                                                                                                                                                                                                                                                                                                                                                                                                                                                                                                                                                                                                                                                                                                                                                                                                                                                                                                                                                                                                                                                                                                                |                |                                       |                                         |                                                                                                                                                                                                                                                                                                                                                                                                                                                                                                                                                                                                                                                                                                                                                                                                                                                                                                                                                                                                                                                                                                                                                                                                                                                                                                                                                                                                                                                                                                                                                                                                                                                                                                                                                                                                                                                                                                                                                                                                                                                                                                                                |                                                                                                                                                                                                                                                                                                                                                                                                                                                                                                                                                                                                                                                                                                                                                                                                                                                                                                                                                                                                                                                                                                                                                                                                                                                                                                                                                                                                                                                                                                                                                                                                                                                                                                                                                                                                                                                                                                                                                                                                                                                                                                                                |     |           |         |                                                                                                                                                                                                                                                                                                                                                                                                                                                                                                                                                                                                                                                                                                                                                                                                                                                                                                                                                                                                                                                                                                                                                                                                                                                                                                                                                                                                                                                                                                                                                                                                                                                                                                                                                                                                                                                                                                                                                                                                                                                                                                                                |                   |
| 1.8         | 92 6.50                                                                                                                                                                                                                                                                                                                                                                                                                                                                                                                                                                                                                                                                                                                                                                                                                                                                                                                                                                                                                                                                                                                                                                                                                                                                                                                                                                                                                                                                                                                                                                                                                                                                                                                                                                                                                                                                                                                                                                                                                                                                                                                        | )        |                                                                                                                                                                                                                                                                                                                                                                                                                                                                                                                                                                                                                                                                                                                                                                                                                                                                                                                                                                                                                                                                                                                                                                                                                                                                                                                                                                                                                                                                                                                                                                                                                                                                                                                                                                                                                                                                                                                                                                                                                                                                                                                                |                          |              |       |       |                                                                                                                    | ***************************************                                                                                                                                                                                                                                                                                                                                                                                                                                                                                                                                                                                                                                                                                                                                                                                                                                                                                                                                                                                                                                                                                                                                                                                                                                                                                                                                                                                                                                                                                                                                                                                                                                                                                                                                                                                                                                                                                                                                                                                                                                                                                        |                                                                                                                                                                                                                                                                                                                                                                                                                                                                                                                                                                                                                                                                                                                                                                                                                                                                                                                                                                                                                                                                                                                                                                                                                                                                                                                                                                                                                                                                                                                                                                                                                                                                                                                                                                                                                                                                                                                                                                                                                                                                                                                                |                |                                       |                                         |                                                                                                                                                                                                                                                                                                                                                                                                                                                                                                                                                                                                                                                                                                                                                                                                                                                                                                                                                                                                                                                                                                                                                                                                                                                                                                                                                                                                                                                                                                                                                                                                                                                                                                                                                                                                                                                                                                                                                                                                                                                                                                                                |                                                                                                                                                                                                                                                                                                                                                                                                                                                                                                                                                                                                                                                                                                                                                                                                                                                                                                                                                                                                                                                                                                                                                                                                                                                                                                                                                                                                                                                                                                                                                                                                                                                                                                                                                                                                                                                                                                                                                                                                                                                                                                                                |     |           |         |                                                                                                                                                                                                                                                                                                                                                                                                                                                                                                                                                                                                                                                                                                                                                                                                                                                                                                                                                                                                                                                                                                                                                                                                                                                                                                                                                                                                                                                                                                                                                                                                                                                                                                                                                                                                                                                                                                                                                                                                                                                                                                                                |                   |
|             |                                                                                                                                                                                                                                                                                                                                                                                                                                                                                                                                                                                                                                                                                                                                                                                                                                                                                                                                                                                                                                                                                                                                                                                                                                                                                                                                                                                                                                                                                                                                                                                                                                                                                                                                                                                                                                                                                                                                                                                                                                                                                                                                | Y        | _                                                                                                                                                                                                                                                                                                                                                                                                                                                                                                                                                                                                                                                                                                                                                                                                                                                                                                                                                                                                                                                                                                                                                                                                                                                                                                                                                                                                                                                                                                                                                                                                                                                                                                                                                                                                                                                                                                                                                                                                                                                                                                                              | ÇI.                      | 6            |       |       | <u> </u>                                                                                                           |                                                                                                                                                                                                                                                                                                                                                                                                                                                                                                                                                                                                                                                                                                                                                                                                                                                                                                                                                                                                                                                                                                                                                                                                                                                                                                                                                                                                                                                                                                                                                                                                                                                                                                                                                                                                                                                                                                                                                                                                                                                                                                                                |                                                                                                                                                                                                                                                                                                                                                                                                                                                                                                                                                                                                                                                                                                                                                                                                                                                                                                                                                                                                                                                                                                                                                                                                                                                                                                                                                                                                                                                                                                                                                                                                                                                                                                                                                                                                                                                                                                                                                                                                                                                                                                                                |                |                                       | -×-××                                   |                                                                                                                                                                                                                                                                                                                                                                                                                                                                                                                                                                                                                                                                                                                                                                                                                                                                                                                                                                                                                                                                                                                                                                                                                                                                                                                                                                                                                                                                                                                                                                                                                                                                                                                                                                                                                                                                                                                                                                                                                                                                                                                                |                                                                                                                                                                                                                                                                                                                                                                                                                                                                                                                                                                                                                                                                                                                                                                                                                                                                                                                                                                                                                                                                                                                                                                                                                                                                                                                                                                                                                                                                                                                                                                                                                                                                                                                                                                                                                                                                                                                                                                                                                                                                                                                                |     |           |         |                                                                                                                                                                                                                                                                                                                                                                                                                                                                                                                                                                                                                                                                                                                                                                                                                                                                                                                                                                                                                                                                                                                                                                                                                                                                                                                                                                                                                                                                                                                                                                                                                                                                                                                                                                                                                                                                                                                                                                                                                                                                                                                                |                   |
|             |                                                                                                                                                                                                                                                                                                                                                                                                                                                                                                                                                                                                                                                                                                                                                                                                                                                                                                                                                                                                                                                                                                                                                                                                                                                                                                                                                                                                                                                                                                                                                                                                                                                                                                                                                                                                                                                                                                                                                                                                                                                                                                                                |          |                                                                                                                                                                                                                                                                                                                                                                                                                                                                                                                                                                                                                                                                                                                                                                                                                                                                                                                                                                                                                                                                                                                                                                                                                                                                                                                                                                                                                                                                                                                                                                                                                                                                                                                                                                                                                                                                                                                                                                                                                                                                                                                                |                          |              |       |       |                                                                                                                    | A CONTRACTOR OF THE PARTY OF TH |                                                                                                                                                                                                                                                                                                                                                                                                                                                                                                                                                                                                                                                                                                                                                                                                                                                                                                                                                                                                                                                                                                                                                                                                                                                                                                                                                                                                                                                                                                                                                                                                                                                                                                                                                                                                                                                                                                                                                                                                                                                                                                                                |                |                                       |                                         |                                                                                                                                                                                                                                                                                                                                                                                                                                                                                                                                                                                                                                                                                                                                                                                                                                                                                                                                                                                                                                                                                                                                                                                                                                                                                                                                                                                                                                                                                                                                                                                                                                                                                                                                                                                                                                                                                                                                                                                                                                                                                                                                |                                                                                                                                                                                                                                                                                                                                                                                                                                                                                                                                                                                                                                                                                                                                                                                                                                                                                                                                                                                                                                                                                                                                                                                                                                                                                                                                                                                                                                                                                                                                                                                                                                                                                                                                                                                                                                                                                                                                                                                                                                                                                                                                |     |           |         |                                                                                                                                                                                                                                                                                                                                                                                                                                                                                                                                                                                                                                                                                                                                                                                                                                                                                                                                                                                                                                                                                                                                                                                                                                                                                                                                                                                                                                                                                                                                                                                                                                                                                                                                                                                                                                                                                                                                                                                                                                                                                                                                |                   |
| -0.6        | 9.00                                                                                                                                                                                                                                                                                                                                                                                                                                                                                                                                                                                                                                                                                                                                                                                                                                                                                                                                                                                                                                                                                                                                                                                                                                                                                                                                                                                                                                                                                                                                                                                                                                                                                                                                                                                                                                                                                                                                                                                                                                                                                                                           |          |                                                                                                                                                                                                                                                                                                                                                                                                                                                                                                                                                                                                                                                                                                                                                                                                                                                                                                                                                                                                                                                                                                                                                                                                                                                                                                                                                                                                                                                                                                                                                                                                                                                                                                                                                                                                                                                                                                                                                                                                                                                                                                                                |                          |              |       |       |                                                                                                                    |                                                                                                                                                                                                                                                                                                                                                                                                                                                                                                                                                                                                                                                                                                                                                                                                                                                                                                                                                                                                                                                                                                                                                                                                                                                                                                                                                                                                                                                                                                                                                                                                                                                                                                                                                                                                                                                                                                                                                                                                                                                                                                                                |                                                                                                                                                                                                                                                                                                                                                                                                                                                                                                                                                                                                                                                                                                                                                                                                                                                                                                                                                                                                                                                                                                                                                                                                                                                                                                                                                                                                                                                                                                                                                                                                                                                                                                                                                                                                                                                                                                                                                                                                                                                                                                                                |                |                                       |                                         |                                                                                                                                                                                                                                                                                                                                                                                                                                                                                                                                                                                                                                                                                                                                                                                                                                                                                                                                                                                                                                                                                                                                                                                                                                                                                                                                                                                                                                                                                                                                                                                                                                                                                                                                                                                                                                                                                                                                                                                                                                                                                                                                |                                                                                                                                                                                                                                                                                                                                                                                                                                                                                                                                                                                                                                                                                                                                                                                                                                                                                                                                                                                                                                                                                                                                                                                                                                                                                                                                                                                                                                                                                                                                                                                                                                                                                                                                                                                                                                                                                                                                                                                                                                                                                                                                |     |           |         |                                                                                                                                                                                                                                                                                                                                                                                                                                                                                                                                                                                                                                                                                                                                                                                                                                                                                                                                                                                                                                                                                                                                                                                                                                                                                                                                                                                                                                                                                                                                                                                                                                                                                                                                                                                                                                                                                                                                                                                                                                                                                                                                |                   |
| <u>=2.1</u> | 08 10.50                                                                                                                                                                                                                                                                                                                                                                                                                                                                                                                                                                                                                                                                                                                                                                                                                                                                                                                                                                                                                                                                                                                                                                                                                                                                                                                                                                                                                                                                                                                                                                                                                                                                                                                                                                                                                                                                                                                                                                                                                                                                                                                       |          |                                                                                                                                                                                                                                                                                                                                                                                                                                                                                                                                                                                                                                                                                                                                                                                                                                                                                                                                                                                                                                                                                                                                                                                                                                                                                                                                                                                                                                                                                                                                                                                                                                                                                                                                                                                                                                                                                                                                                                                                                                                                                                                                |                          |              | 9     |       |                                                                                                                    |                                                                                                                                                                                                                                                                                                                                                                                                                                                                                                                                                                                                                                                                                                                                                                                                                                                                                                                                                                                                                                                                                                                                                                                                                                                                                                                                                                                                                                                                                                                                                                                                                                                                                                                                                                                                                                                                                                                                                                                                                                                                                                                                |                                                                                                                                                                                                                                                                                                                                                                                                                                                                                                                                                                                                                                                                                                                                                                                                                                                                                                                                                                                                                                                                                                                                                                                                                                                                                                                                                                                                                                                                                                                                                                                                                                                                                                                                                                                                                                                                                                                                                                                                                                                                                                                                |                |                                       |                                         |                                                                                                                                                                                                                                                                                                                                                                                                                                                                                                                                                                                                                                                                                                                                                                                                                                                                                                                                                                                                                                                                                                                                                                                                                                                                                                                                                                                                                                                                                                                                                                                                                                                                                                                                                                                                                                                                                                                                                                                                                                                                                                                                |                                                                                                                                                                                                                                                                                                                                                                                                                                                                                                                                                                                                                                                                                                                                                                                                                                                                                                                                                                                                                                                                                                                                                                                                                                                                                                                                                                                                                                                                                                                                                                                                                                                                                                                                                                                                                                                                                                                                                                                                                                                                                                                                |     |           |         |                                                                                                                                                                                                                                                                                                                                                                                                                                                                                                                                                                                                                                                                                                                                                                                                                                                                                                                                                                                                                                                                                                                                                                                                                                                                                                                                                                                                                                                                                                                                                                                                                                                                                                                                                                                                                                                                                                                                                                                                                                                                                                                                |                   |
|             |                                                                                                                                                                                                                                                                                                                                                                                                                                                                                                                                                                                                                                                                                                                                                                                                                                                                                                                                                                                                                                                                                                                                                                                                                                                                                                                                                                                                                                                                                                                                                                                                                                                                                                                                                                                                                                                                                                                                                                                                                                                                                                                                | )        |                                                                                                                                                                                                                                                                                                                                                                                                                                                                                                                                                                                                                                                                                                                                                                                                                                                                                                                                                                                                                                                                                                                                                                                                                                                                                                                                                                                                                                                                                                                                                                                                                                                                                                                                                                                                                                                                                                                                                                                                                                                                                                                                |                          | •            |       |       |                                                                                                                    |                                                                                                                                                                                                                                                                                                                                                                                                                                                                                                                                                                                                                                                                                                                                                                                                                                                                                                                                                                                                                                                                                                                                                                                                                                                                                                                                                                                                                                                                                                                                                                                                                                                                                                                                                                                                                                                                                                                                                                                                                                                                                                                                |                                                                                                                                                                                                                                                                                                                                                                                                                                                                                                                                                                                                                                                                                                                                                                                                                                                                                                                                                                                                                                                                                                                                                                                                                                                                                                                                                                                                                                                                                                                                                                                                                                                                                                                                                                                                                                                                                                                                                                                                                                                                                                                                |                |                                       |                                         |                                                                                                                                                                                                                                                                                                                                                                                                                                                                                                                                                                                                                                                                                                                                                                                                                                                                                                                                                                                                                                                                                                                                                                                                                                                                                                                                                                                                                                                                                                                                                                                                                                                                                                                                                                                                                                                                                                                                                                                                                                                                                                                                |                                                                                                                                                                                                                                                                                                                                                                                                                                                                                                                                                                                                                                                                                                                                                                                                                                                                                                                                                                                                                                                                                                                                                                                                                                                                                                                                                                                                                                                                                                                                                                                                                                                                                                                                                                                                                                                                                                                                                                                                                                                                                                                                |     |           |         | State of the state |                   |
| 3533.5      | 508 11.90                                                                                                                                                                                                                                                                                                                                                                                                                                                                                                                                                                                                                                                                                                                                                                                                                                                                                                                                                                                                                                                                                                                                                                                                                                                                                                                                                                                                                                                                                                                                                                                                                                                                                                                                                                                                                                                                                                                                                                                                                                                                                                                      | 0        |                                                                                                                                                                                                                                                                                                                                                                                                                                                                                                                                                                                                                                                                                                                                                                                                                                                                                                                                                                                                                                                                                                                                                                                                                                                                                                                                                                                                                                                                                                                                                                                                                                                                                                                                                                                                                                                                                                                                                                                                                                                                                                                                |                          |              |       | 1     |                                                                                                                    |                                                                                                                                                                                                                                                                                                                                                                                                                                                                                                                                                                                                                                                                                                                                                                                                                                                                                                                                                                                                                                                                                                                                                                                                                                                                                                                                                                                                                                                                                                                                                                                                                                                                                                                                                                                                                                                                                                                                                                                                                                                                                                                                | macri processori proce |                |                                       |                                         |                                                                                                                                                                                                                                                                                                                                                                                                                                                                                                                                                                                                                                                                                                                                                                                                                                                                                                                                                                                                                                                                                                                                                                                                                                                                                                                                                                                                                                                                                                                                                                                                                                                                                                                                                                                                                                                                                                                                                                                                                                                                                                                                |                                                                                                                                                                                                                                                                                                                                                                                                                                                                                                                                                                                                                                                                                                                                                                                                                                                                                                                                                                                                                                                                                                                                                                                                                                                                                                                                                                                                                                                                                                                                                                                                                                                                                                                                                                                                                                                                                                                                                                                                                                                                                                                                |     |           |         | d capty                                                                                                                                                                                                                                                                                                                                                                                                                                                                                                                                                                                                                                                                                                                                                                                                                                                                                                                                                                                                                                                                                                                                                                                                                                                                                                                                                                                                                                                                                                                                                                                                                                                                                                                                                                                                                                                                                                                                                                                                                                                                                                                        |                   |
| -4.6        | 13.00                                                                                                                                                                                                                                                                                                                                                                                                                                                                                                                                                                                                                                                                                                                                                                                                                                                                                                                                                                                                                                                                                                                                                                                                                                                                                                                                                                                                                                                                                                                                                                                                                                                                                                                                                                                                                                                                                                                                                                                                                                                                                                                          | 0.0      |                                                                                                                                                                                                                                                                                                                                                                                                                                                                                                                                                                                                                                                                                                                                                                                                                                                                                                                                                                                                                                                                                                                                                                                                                                                                                                                                                                                                                                                                                                                                                                                                                                                                                                                                                                                                                                                                                                                                                                                                                                                                                                                                |                          |              |       | P     |                                                                                                                    |                                                                                                                                                                                                                                                                                                                                                                                                                                                                                                                                                                                                                                                                                                                                                                                                                                                                                                                                                                                                                                                                                                                                                                                                                                                                                                                                                                                                                                                                                                                                                                                                                                                                                                                                                                                                                                                                                                                                                                                                                                                                                                                                |                                                                                                                                                                                                                                                                                                                                                                                                                                                                                                                                                                                                                                                                                                                                                                                                                                                                                                                                                                                                                                                                                                                                                                                                                                                                                                                                                                                                                                                                                                                                                                                                                                                                                                                                                                                                                                                                                                                                                                                                                                                                                                                                |                |                                       |                                         |                                                                                                                                                                                                                                                                                                                                                                                                                                                                                                                                                                                                                                                                                                                                                                                                                                                                                                                                                                                                                                                                                                                                                                                                                                                                                                                                                                                                                                                                                                                                                                                                                                                                                                                                                                                                                                                                                                                                                                                                                                                                                                                                |                                                                                                                                                                                                                                                                                                                                                                                                                                                                                                                                                                                                                                                                                                                                                                                                                                                                                                                                                                                                                                                                                                                                                                                                                                                                                                                                                                                                                                                                                                                                                                                                                                                                                                                                                                                                                                                                                                                                                                                                                                                                                                                                |     |           |         |                                                                                                                                                                                                                                                                                                                                                                                                                                                                                                                                                                                                                                                                                                                                                                                                                                                                                                                                                                                                                                                                                                                                                                                                                                                                                                                                                                                                                                                                                                                                                                                                                                                                                                                                                                                                                                                                                                                                                                                                                                                                                                                                |                   |
| Fe.         | 200 14 55                                                                                                                                                                                                                                                                                                                                                                                                                                                                                                                                                                                                                                                                                                                                                                                                                                                                                                                                                                                                                                                                                                                                                                                                                                                                                                                                                                                                                                                                                                                                                                                                                                                                                                                                                                                                                                                                                                                                                                                                                                                                                                                      | 7-2-     | No. of the Control of |                          |              |       |       |                                                                                                                    |                                                                                                                                                                                                                                                                                                                                                                                                                                                                                                                                                                                                                                                                                                                                                                                                                                                                                                                                                                                                                                                                                                                                                                                                                                                                                                                                                                                                                                                                                                                                                                                                                                                                                                                                                                                                                                                                                                                                                                                                                                                                                                                                |                                                                                                                                                                                                                                                                                                                                                                                                                                                                                                                                                                                                                                                                                                                                                                                                                                                                                                                                                                                                                                                                                                                                                                                                                                                                                                                                                                                                                                                                                                                                                                                                                                                                                                                                                                                                                                                                                                                                                                                                                                                                                                                                |                |                                       |                                         |                                                                                                                                                                                                                                                                                                                                                                                                                                                                                                                                                                                                                                                                                                                                                                                                                                                                                                                                                                                                                                                                                                                                                                                                                                                                                                                                                                                                                                                                                                                                                                                                                                                                                                                                                                                                                                                                                                                                                                                                                                                                                                                                |                                                                                                                                                                                                                                                                                                                                                                                                                                                                                                                                                                                                                                                                                                                                                                                                                                                                                                                                                                                                                                                                                                                                                                                                                                                                                                                                                                                                                                                                                                                                                                                                                                                                                                                                                                                                                                                                                                                                                                                                                                                                                                                                |     |           |         |                                                                                                                                                                                                                                                                                                                                                                                                                                                                                                                                                                                                                                                                                                                                                                                                                                                                                                                                                                                                                                                                                                                                                                                                                                                                                                                                                                                                                                                                                                                                                                                                                                                                                                                                                                                                                                                                                                                                                                                                                                                                                                                                |                   |
|             | 308 14.70<br>328 15.42                                                                                                                                                                                                                                                                                                                                                                                                                                                                                                                                                                                                                                                                                                                                                                                                                                                                                                                                                                                                                                                                                                                                                                                                                                                                                                                                                                                                                                                                                                                                                                                                                                                                                                                                                                                                                                                                                                                                                                                                                                                                                                         | . 0      |                                                                                                                                                                                                                                                                                                                                                                                                                                                                                                                                                                                                                                                                                                                                                                                                                                                                                                                                                                                                                                                                                                                                                                                                                                                                                                                                                                                                                                                                                                                                                                                                                                                                                                                                                                                                                                                                                                                                                                                                                                                                                                                                |                          |              |       |       |                                                                                                                    | marrier was track Asia de services                                                                                                                                                                                                                                                                                                                                                                                                                                                                                                                                                                                                                                                                                                                                                                                                                                                                                                                                                                                                                                                                                                                                                                                                                                                                                                                                                                                                                                                                                                                                                                                                                                                                                                                                                                                                                                                                                                                                                                                                                                                                                             |                                                                                                                                                                                                                                                                                                                                                                                                                                                                                                                                                                                                                                                                                                                                                                                                                                                                                                                                                                                                                                                                                                                                                                                                                                                                                                                                                                                                                                                                                                                                                                                                                                                                                                                                                                                                                                                                                                                                                                                                                                                                                                                                |                |                                       |                                         |                                                                                                                                                                                                                                                                                                                                                                                                                                                                                                                                                                                                                                                                                                                                                                                                                                                                                                                                                                                                                                                                                                                                                                                                                                                                                                                                                                                                                                                                                                                                                                                                                                                                                                                                                                                                                                                                                                                                                                                                                                                                                                                                | The state of the s |     |           |         |                                                                                                                                                                                                                                                                                                                                                                                                                                                                                                                                                                                                                                                                                                                                                                                                                                                                                                                                                                                                                                                                                                                                                                                                                                                                                                                                                                                                                                                                                                                                                                                                                                                                                                                                                                                                                                                                                                                                                                                                                                                                                                                                |                   |
|             |                                                                                                                                                                                                                                                                                                                                                                                                                                                                                                                                                                                                                                                                                                                                                                                                                                                                                                                                                                                                                                                                                                                                                                                                                                                                                                                                                                                                                                                                                                                                                                                                                                                                                                                                                                                                                                                                                                                                                                                                                                                                                                                                |          |                                                                                                                                                                                                                                                                                                                                                                                                                                                                                                                                                                                                                                                                                                                                                                                                                                                                                                                                                                                                                                                                                                                                                                                                                                                                                                                                                                                                                                                                                                                                                                                                                                                                                                                                                                                                                                                                                                                                                                                                                                                                                                                                | and the same of the same |              |       |       |                                                                                                                    |                                                                                                                                                                                                                                                                                                                                                                                                                                                                                                                                                                                                                                                                                                                                                                                                                                                                                                                                                                                                                                                                                                                                                                                                                                                                                                                                                                                                                                                                                                                                                                                                                                                                                                                                                                                                                                                                                                                                                                                                                                                                                                                                |                                                                                                                                                                                                                                                                                                                                                                                                                                                                                                                                                                                                                                                                                                                                                                                                                                                                                                                                                                                                                                                                                                                                                                                                                                                                                                                                                                                                                                                                                                                                                                                                                                                                                                                                                                                                                                                                                                                                                                                                                                                                                                                                |                |                                       | *************************************** |                                                                                                                                                                                                                                                                                                                                                                                                                                                                                                                                                                                                                                                                                                                                                                                                                                                                                                                                                                                                                                                                                                                                                                                                                                                                                                                                                                                                                                                                                                                                                                                                                                                                                                                                                                                                                                                                                                                                                                                                                                                                                                                                |                                                                                                                                                                                                                                                                                                                                                                                                                                                                                                                                                                                                                                                                                                                                                                                                                                                                                                                                                                                                                                                                                                                                                                                                                                                                                                                                                                                                                                                                                                                                                                                                                                                                                                                                                                                                                                                                                                                                                                                                                                                                                                                                |     |           |         |                                                                                                                                                                                                                                                                                                                                                                                                                                                                                                                                                                                                                                                                                                                                                                                                                                                                                                                                                                                                                                                                                                                                                                                                                                                                                                                                                                                                                                                                                                                                                                                                                                                                                                                                                                                                                                                                                                                                                                                                                                                                                                                                |                   |
|             |                                                                                                                                                                                                                                                                                                                                                                                                                                                                                                                                                                                                                                                                                                                                                                                                                                                                                                                                                                                                                                                                                                                                                                                                                                                                                                                                                                                                                                                                                                                                                                                                                                                                                                                                                                                                                                                                                                                                                                                                                                                                                                                                |          |                                                                                                                                                                                                                                                                                                                                                                                                                                                                                                                                                                                                                                                                                                                                                                                                                                                                                                                                                                                                                                                                                                                                                                                                                                                                                                                                                                                                                                                                                                                                                                                                                                                                                                                                                                                                                                                                                                                                                                                                                                                                                                                                |                          |              |       |       |                                                                                                                    |                                                                                                                                                                                                                                                                                                                                                                                                                                                                                                                                                                                                                                                                                                                                                                                                                                                                                                                                                                                                                                                                                                                                                                                                                                                                                                                                                                                                                                                                                                                                                                                                                                                                                                                                                                                                                                                                                                                                                                                                                                                                                                                                |                                                                                                                                                                                                                                                                                                                                                                                                                                                                                                                                                                                                                                                                                                                                                                                                                                                                                                                                                                                                                                                                                                                                                                                                                                                                                                                                                                                                                                                                                                                                                                                                                                                                                                                                                                                                                                                                                                                                                                                                                                                                                                                                | •              |                                       |                                         |                                                                                                                                                                                                                                                                                                                                                                                                                                                                                                                                                                                                                                                                                                                                                                                                                                                                                                                                                                                                                                                                                                                                                                                                                                                                                                                                                                                                                                                                                                                                                                                                                                                                                                                                                                                                                                                                                                                                                                                                                                                                                                                                |                                                                                                                                                                                                                                                                                                                                                                                                                                                                                                                                                                                                                                                                                                                                                                                                                                                                                                                                                                                                                                                                                                                                                                                                                                                                                                                                                                                                                                                                                                                                                                                                                                                                                                                                                                                                                                                                                                                                                                                                                                                                                                                                |     |           |         |                                                                                                                                                                                                                                                                                                                                                                                                                                                                                                                                                                                                                                                                                                                                                                                                                                                                                                                                                                                                                                                                                                                                                                                                                                                                                                                                                                                                                                                                                                                                                                                                                                                                                                                                                                                                                                                                                                                                                                                                                                                                                                                                |                   |

図5・7・3 土 性 図 (ボーリングNo.C)

| 村田田田田田田田田田田田田田田田田田田田田田田田田田田田田田田田田田田田田田田 | ^                                          | 状 | サンプリング | (d).<br>20 30 40 | シルト | 71. |  | 単位体和<br>1.6 |  | 2.6<br>     <br>    <br>e min | 際 比<br>一個 |      | 軸圧縮強さ qu kgf ∕cm² | 破壊ひずみ<br>ef (%) | 粘着力 | c <sup>†</sup> kgf <i>[</i> cm² | せん <br>20 | 断抵抗角 | 液状化応<br>0 <sub>:</sub> 1 | <b>8</b> | 対 領<br>Dr (9<br>Drc<br>Dr* | %) |
|-----------------------------------------|--------------------------------------------|---|--------|------------------|-----|-----|--|-------------|--|-------------------------------|-----------|------|-------------------|-----------------|-----|---------------------------------|-----------|------|--------------------------|----------|----------------------------|----|
| 0.2                                     | 39 5.50<br>39 6.30<br>261 6.80<br>911 10.4 | 5 |        |                  |     |     |  |             |  |                               | ×         | ×× × |                   |                 |     |                                 |           |      |                          |          | 0                          |    |

図5・7・4 土 性 図 (ボーリングNo.D)

## b 一軸圧縮試験結果

一軸圧縮試験は、ボーリングNo.Aのシルト層で1試料実施している。その結果を、表  $5 \cdot 7 \cdot 2$  に示す。

表 5 • 7 • 2 一軸圧縮試験結果

| 試験深度        | 日本統一<br>土質分類 | N 値<br>(回) | 含水比 w (%) | 比 重<br>Gs | 塑性指数<br>Ip | 一軸 圧縮 強 さ<br>q u(kgf / cnt) | 破壊ひずみ<br>εf (%) |
|-------------|--------------|------------|-----------|-----------|------------|-----------------------------|-----------------|
| 4.37 ~ 4.74 | МН           | 4          | 63.2      | 1.626     | 45         | 0.573 ~ 0.683               | 6.0~6.2         |

# c 三軸圧縮試験(CD)結果

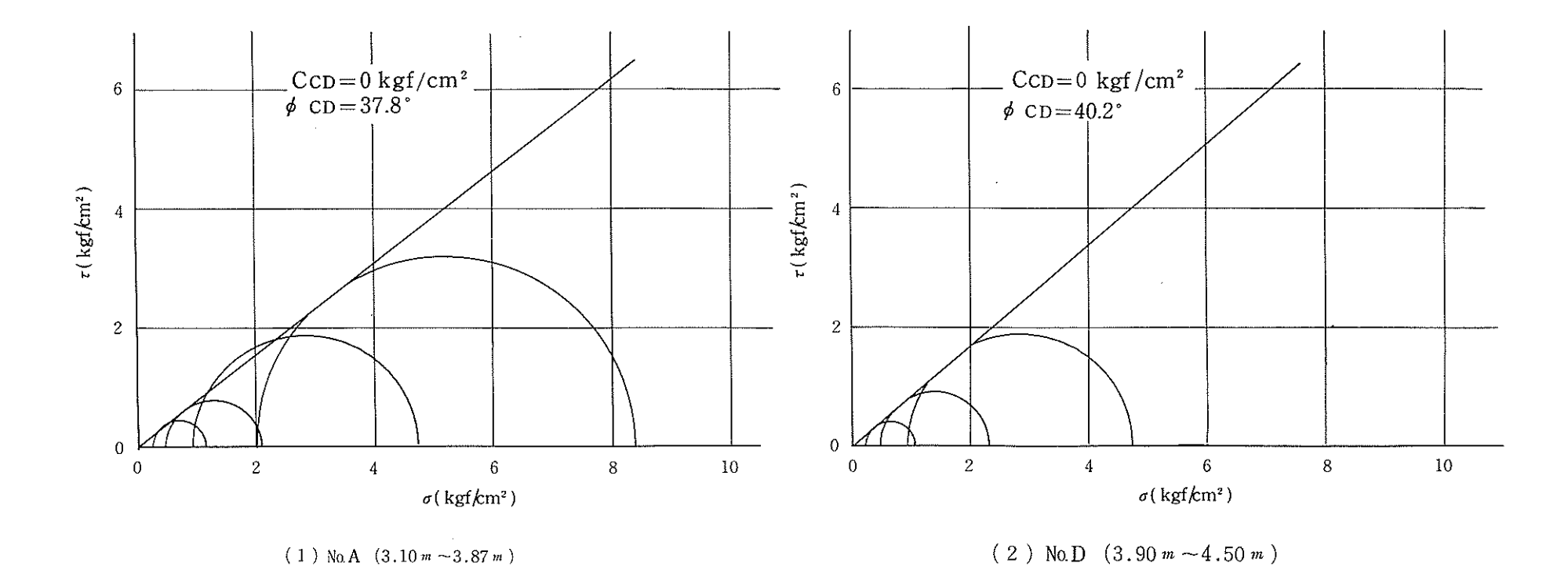
三軸圧縮試験(CD)は、ボーリングNa A 及びNa D で実施している。

その結果は、表5・7・3及び図5・7・5モールの円を示した。

表 5 • 7 • 3 三軸圧縮試験結果

| ボー<br>リン<br>クNo. | 試 験<br>深 度<br>· (m)    | 日本統一<br>土質分類 | N 値<br>(回) | 含水比<br>w (%) | 比 重<br>Gs | 単位体<br>積重量<br>rt(gf/cnl) | 和対密度<br>Dr (%) | 細粒分<br>含有率<br>F. C.(%) | 均等係数<br>U c | 内 部<br>摩擦角<br>∮ (度) | 粘着力<br>c(kgf/cfl) |
|------------------|------------------------|--------------|------------|--------------|-----------|--------------------------|----------------|------------------------|-------------|---------------------|-------------------|
| Α                | 3. 10<br>\$<br>3. 8 7  | SPu          | 2          | 24.9         | 2. 694    | 2.012                    | (69.1)         | 2. 8                   | 2.15        | 37.8                | 0. 0              |
| D                | 3. 9 0<br>\$<br>4. 5 0 | SPu          | 15         | 2 4. 6       | 2. 675    | 2.009                    | (65.3)         | 3. 4                   | 2. 11       | 40.2                | 0.0               |

\*相対密度の()内の数値は液状化試験試料により求めたものである。



#### d 液状化試驗結果

液状化試験(振動三軸試験)は、三軸圧縮試験同様、ボーリングNo.AとNo.Dの2 箇所で実施している。

### (a) 試験結果の整理方法

図5・7・6 に試験結果のまとめ方を示したが、試験の生データとしては②のような記録が得られる。このうち繰返しせん断力の振幅は一定のため、軸ひずみと過剰間隙水圧を⑥のように繰返し回数ごとに整理する。この際、軸ひずみは各サイクルの上・下限値を、また、過剰間隙水圧は各サイクルが終った時点の値をプロットする。

液状化時点の定義として過剰間隙水圧がほぼ有効拘束圧 σ<sub>0</sub>′に達して一定値になる時点と、軸ひずみ両振幅 DAが 2, 5, 10 %となる時点の 4 通りで整理を行う。 次に、 ①に示した応力比 R ~液状化回数 Nℓ の関係を描くが、応力 比 R は次式のように定義する。

本調査では、龍岡らによって提案されている液状化応力比のまとめに従って整理した。

龍岡らによると,液状化解析に用いる場合の液状化強度として, 20 回の繰返しで丁度軸ひずみ振幅(両振幅)DA = 5%となるような応力比R  $\ell$   $(N\ell=20, DA=5\%)$  をとればよいとされている。

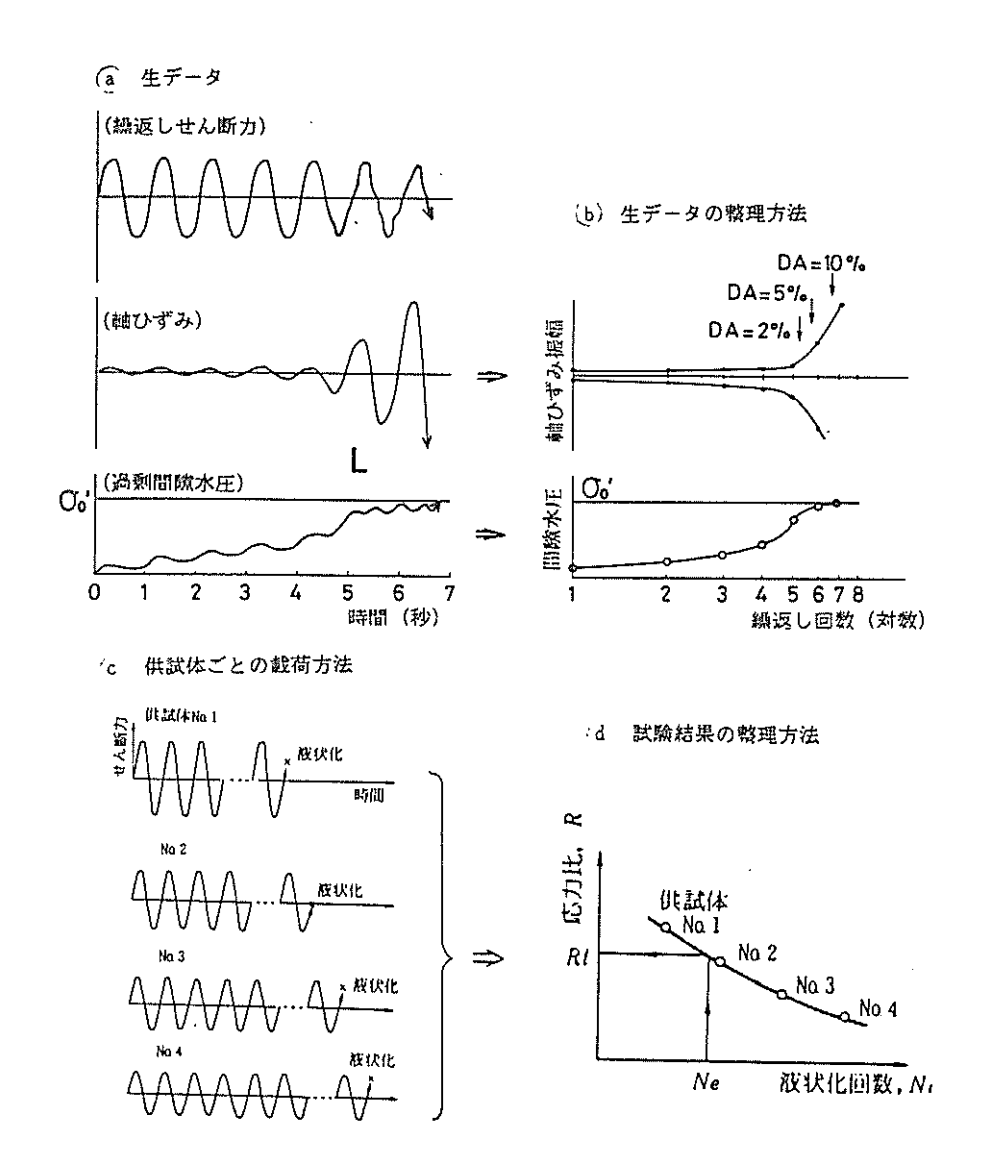


図 5・7・6 液状化試験結果のまとめ方

# (b) 液状化応力比のまとめ

液状化応力比 Rℓの値は、液状化試験結果応力比 R~液状化回数 Nℓ 関係図(図 5・7・7)から読み取った。結果の整理は、表 5・7・4 にまとめた。

得られた液状化応力比R $\ell$ は、表 5・7・5 に示すだいたいの目安から判断すると、A ランクの小さい液状化強度であると言え、N 値 3 ~ 7 と緩く、締りの緩い地盤であると思われる。

表 5・7・4 液状化応力比のまとめ

| 孔        | 番                           | 号                                                 | No. A       | No. D       |
|----------|-----------------------------|---------------------------------------------------|-------------|-------------|
| 深.       | 度                           | (m)                                               | 2.25 ~ 3.00 | 2.25 ~ 3.38 |
| 統一统      | } 類                         |                                                   | SPu         | S - O       |
| N        | 値                           | (回)                                               | 3           | 7           |
| 液状化応     | 力比                          | Rℓ                                                | 0.184       | 0.258       |
| 圧密後間     | 隙 比                         | ес                                                | 0.735       | 0.843       |
| 圧密後相対    | <b>才密度</b>                  | Drc (%)                                           | 7 5. 2      | 7 2. 8      |
| 平均粒      | <b>注</b> 径                  | D 50 (mm)                                         | 0.32        | 0.33        |
| 細粒分含     | 有率                          | F. C. %                                           | 1. 9        | 1 4. 4      |
| 試験時拘     | 束圧                          | $\sigma_0'(tf/ml)$                                | 5. 0 0      | 5. 0 0      |
|          |                             | $\sigma_{V}^{'}\left(\mathrm{t}f/m_{i}^{2} ight)$ | 3.70        | 3.89        |
| Dr *= 21 | $\sqrt{0.1  \sigma_{\nu}'}$ | N<br>+ 0.7                                        | 3 5. 2      | 5 3. 2      |
|          |                             | $\frac{N}{0.1 \sigma_{V}' + 0.7}$                 | 0.148       | 0. 2 2 4    |
| DR & *=  | R ℓ - 1                     | R ℓ *                                             | 0.036       | 0.034       |

表 5・7・5 R ℓ の評価

| ランク | 液状化強度 | Rℓのだいたいの目安<br>0.2 0.3 0.4 0.5 |
|-----|-------|-------------------------------|
| A   | 小さい   |                               |
| В   | 中 位   |                               |
| С   | 大きい   |                               |

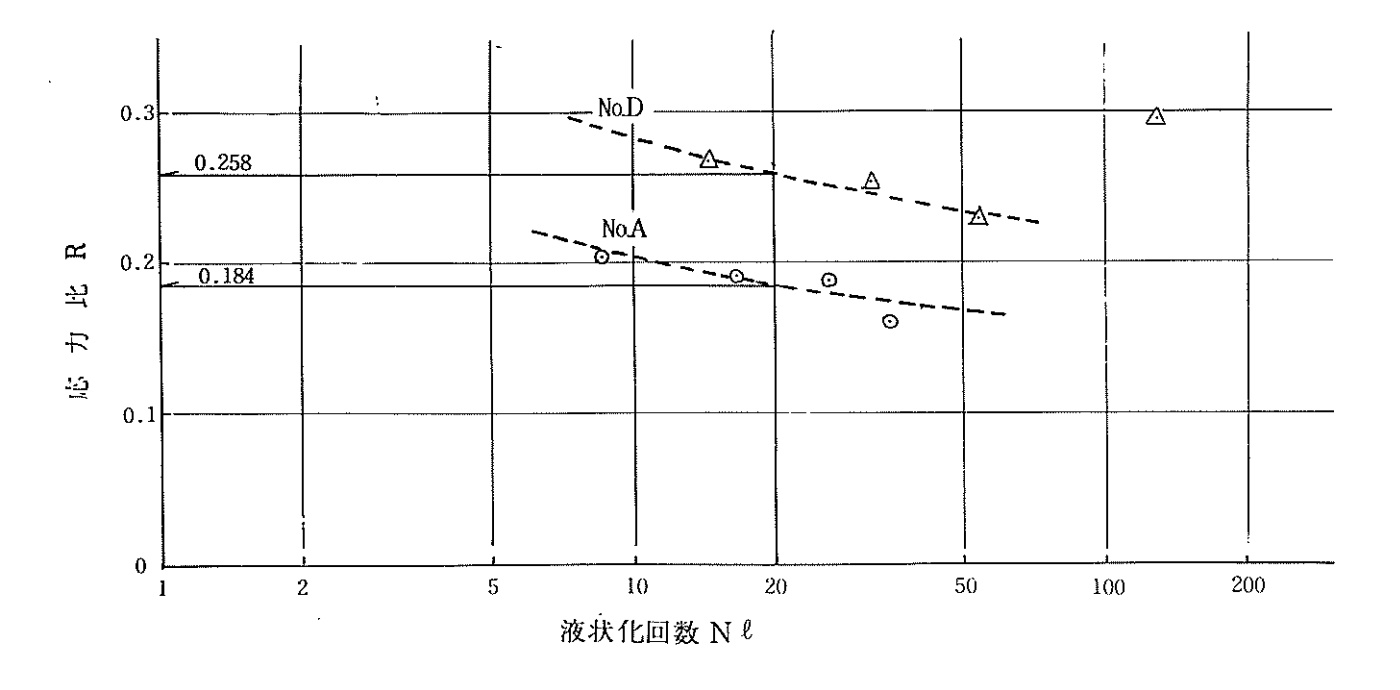


図5 · 7 · 7 R-Nℓ関係図

。 龍岡ら は、いくつかの沖積砂・埋立砂の液状化試験結果をまとめ、液状化応 力比 R ℓ と N 値・粒径(平均粒径 D<sub>50</sub>)の関係を提案した。

人工的に詰めたきれいな砂について、液状化応力比Rℓと相対密度Drの間には、 次式が成り立つと考えられた。

$$R \ell = 0.0042 \, Dr \qquad \cdots \qquad (5 \cdot 7 \cdot 2)$$

また、Meyerhof は、Gibbs and Horzの実験結果をまとめて、N値と相対密度を次式で関係づけている。

$$Dr \stackrel{*}{=} 21 \sqrt{\frac{N}{\sigma_{v'} + 0.7}} \qquad \cdots \qquad (5 \cdot 7 \cdot 3)$$

てこで、σv':有効上載圧 (kgf/cn)

龍岡らは,きれいな砂について式(5・7・2),式(5・7・3)の両者が成り立つとみなし、次式を提案した。

$$R \ell = 0.0882 \sqrt{\frac{N}{\sigma_{\nu'} + 0.7}}$$
 ..... (5 • 7 • 4)

細粒土の液状化応力比 R  $\ell$  は, R  $\ell$  = 0.0042 Dr より大きく,粗粒土で は小 さ \* くなる傾向を示しているので, 龍岡らはこのズレの量 DR  $\ell$  を

DR 
$$\ell = R \ell - 0.0882 \sqrt{\frac{N}{\sigma_{\nu'} + 0.7}}$$
 ..... (5 • 7 • 5)

とおいて、その差をとることを考えた。

この関係をまとめたところ、図 5・7・8 の破線の範囲のバラツキが得られた。 この図の平均曲線を若干修正したものが、現在道路橋示方書・同解説 V 耐震設計 編に掲載されている簡易式である。

そこで、今回試験結果を龍岡らの考え方に基づき整理した。

図 5・7・8 に示す如く,本調査地のデータはボーリングNa A とNa D の 2 試料しかないが,龍岡らのまとめた関係の平均曲線より若干大きめとなった。今回の液状化検討に用いる動的せん断強度比は,道路橋示方書に掲載されている簡易式を0.025 大きく修正して計算している。

$$R \ell = 0.0882 \sqrt{\frac{N}{\sigma_{v'} + 0.7}} + R_2 + 0.025 \cdots (5 \cdot 7 \cdot 6)$$

ここで R₂: 平均粒径 D₅o の関数で表わされる動的せん断強度比 の第 2 項

さて、このようにして求められた R  $\ell$  を用いて原位置での強度 R を求めるためには、次式のような補正が必要となる。

$$R = C_1 \cdot C_2 \cdot C_3 \cdot C_4 \cdot C_5 \cdot R \ell \qquad \cdots \qquad (5 \cdot 7 \cdot 7)$$

 $C_1$  は振動三軸試験と原位置とでの拘束圧の相違に関する補正係数で( $1+2K_0$ ) / 3 と表わされる。 $C_2$  は地震荷重波形のランダム性に関する補正係数で 1/0.55 ~ 1/0.7 (平均 1.62) と表わされる。 $C_3$  はサンプリングから試験までの過程中の撹乱に関する補正係数, $C_4$  は同過程中の密度化に関する補正係数であり,これらの値の評価は非常に困難であるが,一応 $C_3 \times C_4 = 1$  と考えられる。 $C_5$  は地震動の水平面での 2 次元性に関する補正係数であり, 0.9 程度と考えられている。このようにみてくると

K<sub>0</sub> = 0.5 の場合

 $R = 2/3 \times 1.62 \times 1.0 \times 0.9 \times R \ell = R \ell \qquad \cdots \qquad (5 \cdot 7 \cdot 8)$  \tau \tau\_0

従って、今回計算で得られた動的強度比はそのまま用いている。

液状化検討結果は、別冊資料その1(G)に一括示した。また、地震時の安定解析を行うのに必要な過剰間隙水圧の推定についても、別冊資料その1(G)4に示している。

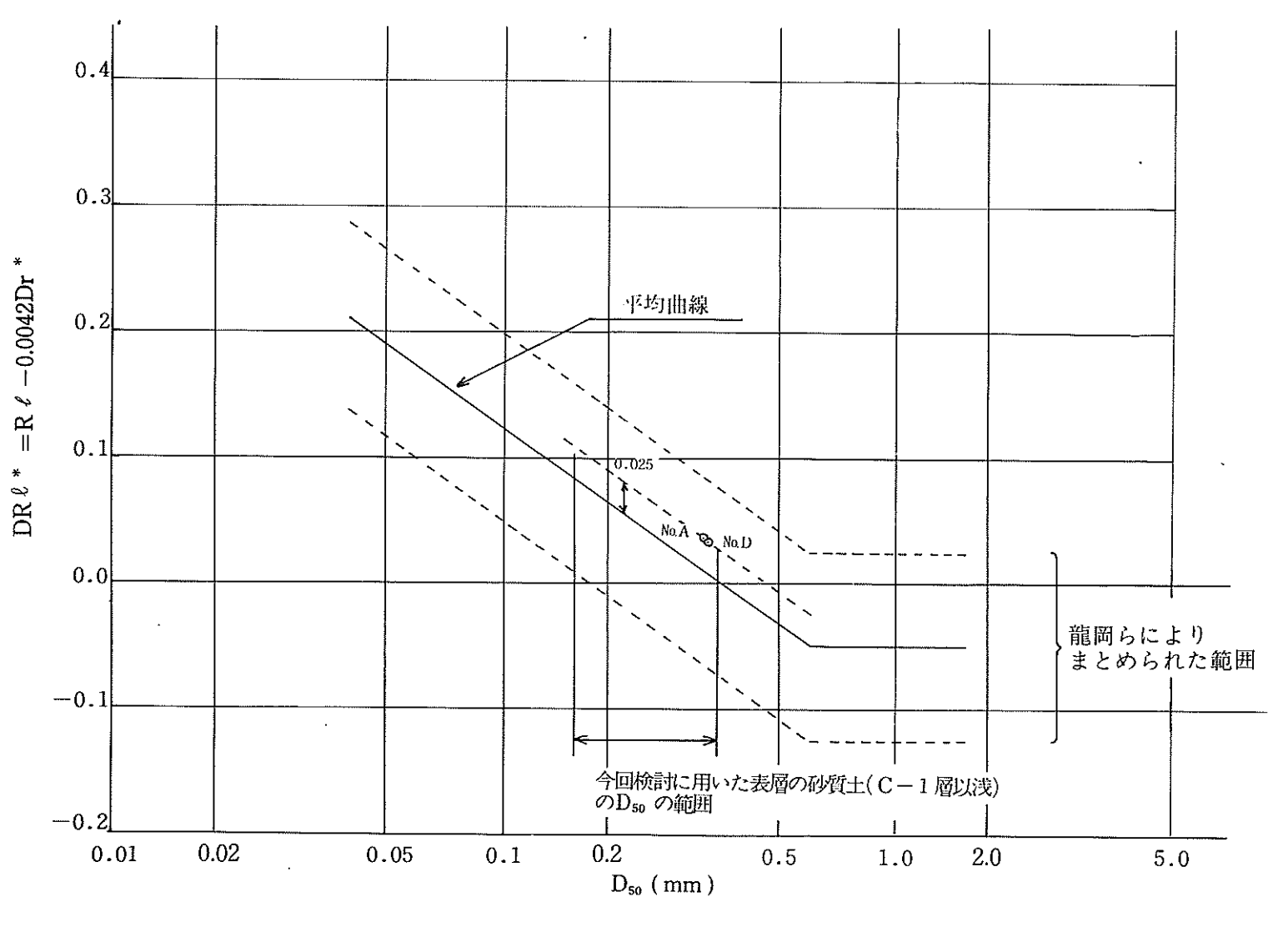


図5・7・8 DRℓ\*と平均粒径 D<sub>50</sub>の関係

## 第6章 検討結果

#### 6・1 地層構成および生成過程

#### (1) 調査地付近の地形の変遷

秋田県最大の河川である雄物川は、雄和町を通り秋田市西部にあたる新屋地区の砂丘地帯の東側を北流し、土崎地区で日本海に注ぐ。現在は新屋地区で放水路としてショートカットされ、日本海に通じている。雄物川は昔から氾濫が著しかった所で、このことはS=1/25,000 旧地形図(大正元年)空中写真判読で多くの旧河道が認められることからもうかがえる。またこの新屋地区周辺は砂丘地帯と雄物川の氾濫原の交錯し合った箇所でこのことが地質を複雑にしている。

## (2) 調査地の地形の変遷

調査地は標高  $5 \sim 8$  m でやや北に傾きその平均勾配は約 1° と非常に緩やかな斜面を形成しており、調査地のほとんどは自然地形を人工的に造成した所で宅地として利用されている。

この地形の変遷は次のようにさかのばることができる。

明治 22 年の羽後国川辺郡百三段新屋村地引画図によれば、図 6・1・1に示すような山林・畑地・水田・溜池に土地利用されていた。これが旧陸軍によって射撃場になり、 土塁・標的等が造られ、この状況も同図に示す。

昭和27年の地形図によれば、旧陸軍射撃場跡は地形のほとんどそのまま残して水田・畑地に利用された。これを図6・1・2に示す。ところが昭和38年になると旧陸軍射撃場跡地の面影はほとんどなく、北側の溜池の形状も変化してくる。わずかに土塁がそのまま残っている。そして昭和44年には図6・1・3に示される如く、土塁が消滅し現在の地形と大差なくなる。これら一連の造成は昭和39年建設省認可、昭和44年完成の松美ケ丘土地区画整理事業によるものである。

以上の地形の変還を断面図で表現すると図6・1・5のように示される。

<sup>\*)</sup> この図は、地形図に表現されていない所や、誤りと思われる所(図 6・1・2 参照)を推定によって補うことで編成されたものである。特に明治時代の地表高度は以後の地形とのつながりを考慮して、推定されている。

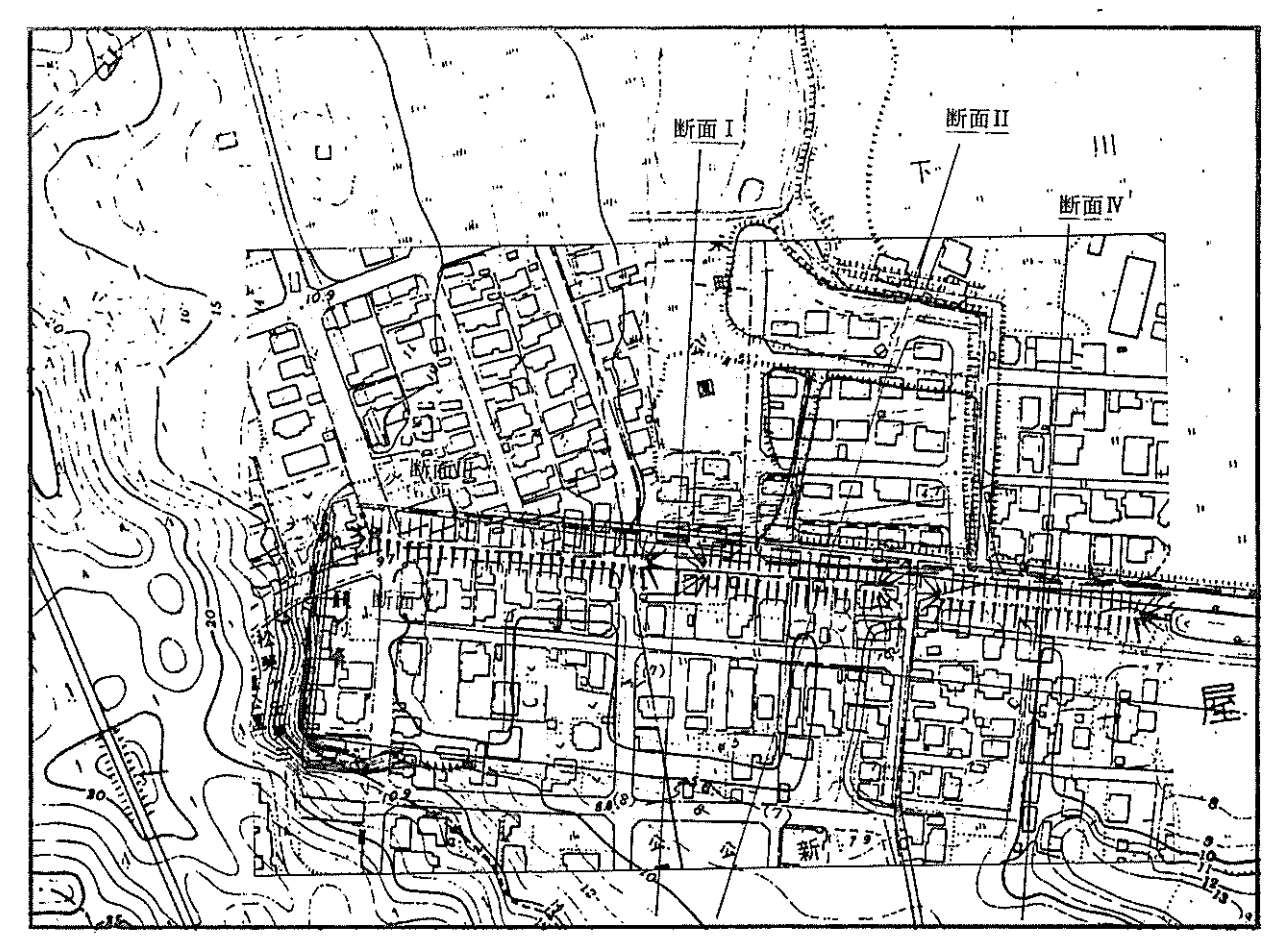


図 6 · 1 · 2 昭和22年地形図 (S=1:3000)

(原図の標高値が誤っているとみて、修正した標高値を特に ( )で示す。)



図 6 · 1 · 3 昭和44年地形図 (S=1:3000)

( A, B, C, Dの範囲は図 6, 1, 4 ( a )の範囲である。)

------土塁の北端

一次なな: 盛りこぼし

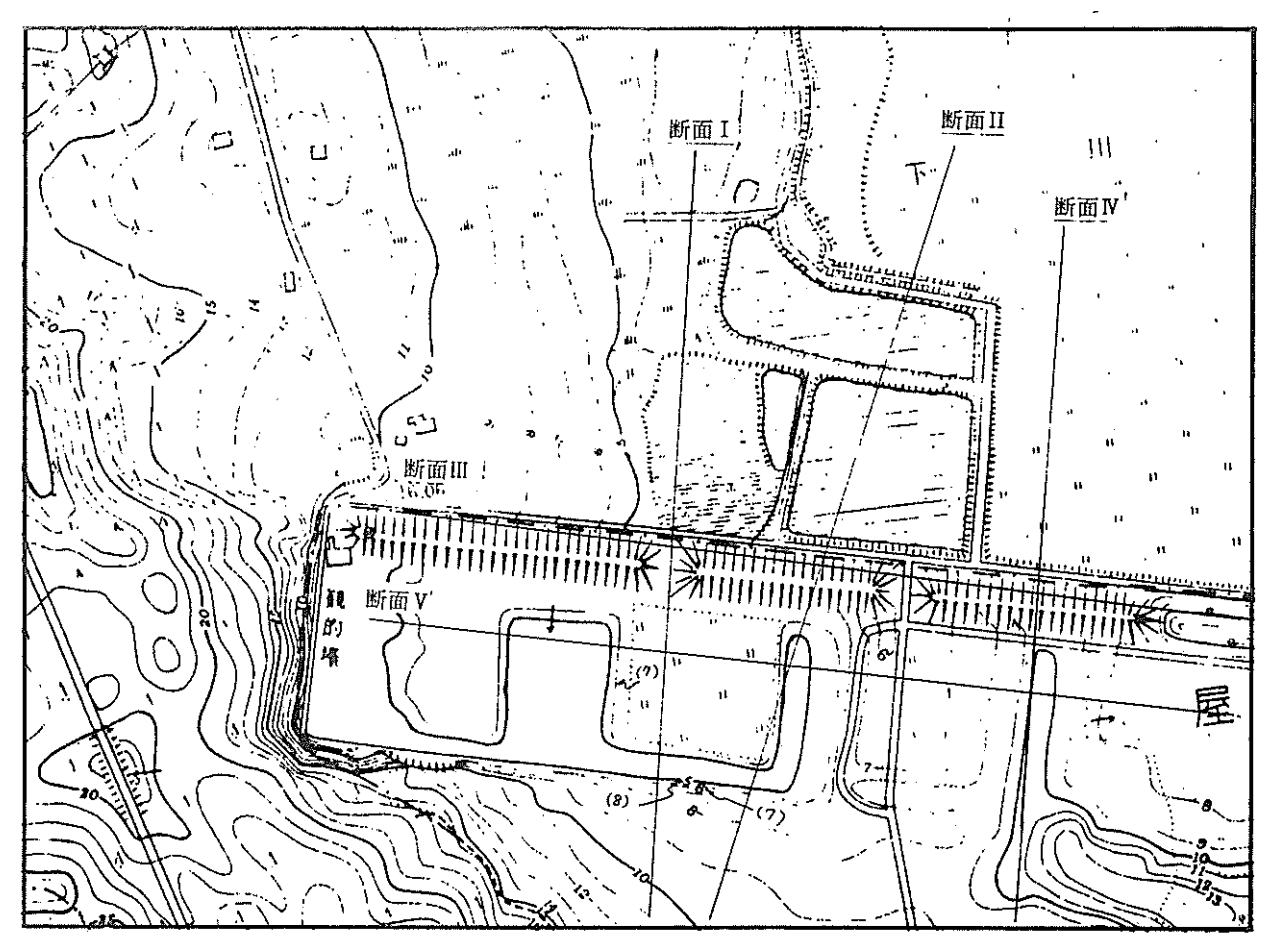


図 6 · 1 · 2 昭和22年地形図(S=1:3000)

(原図の標高値が誤っているとみて、修正した標高値を特に()で示す。)

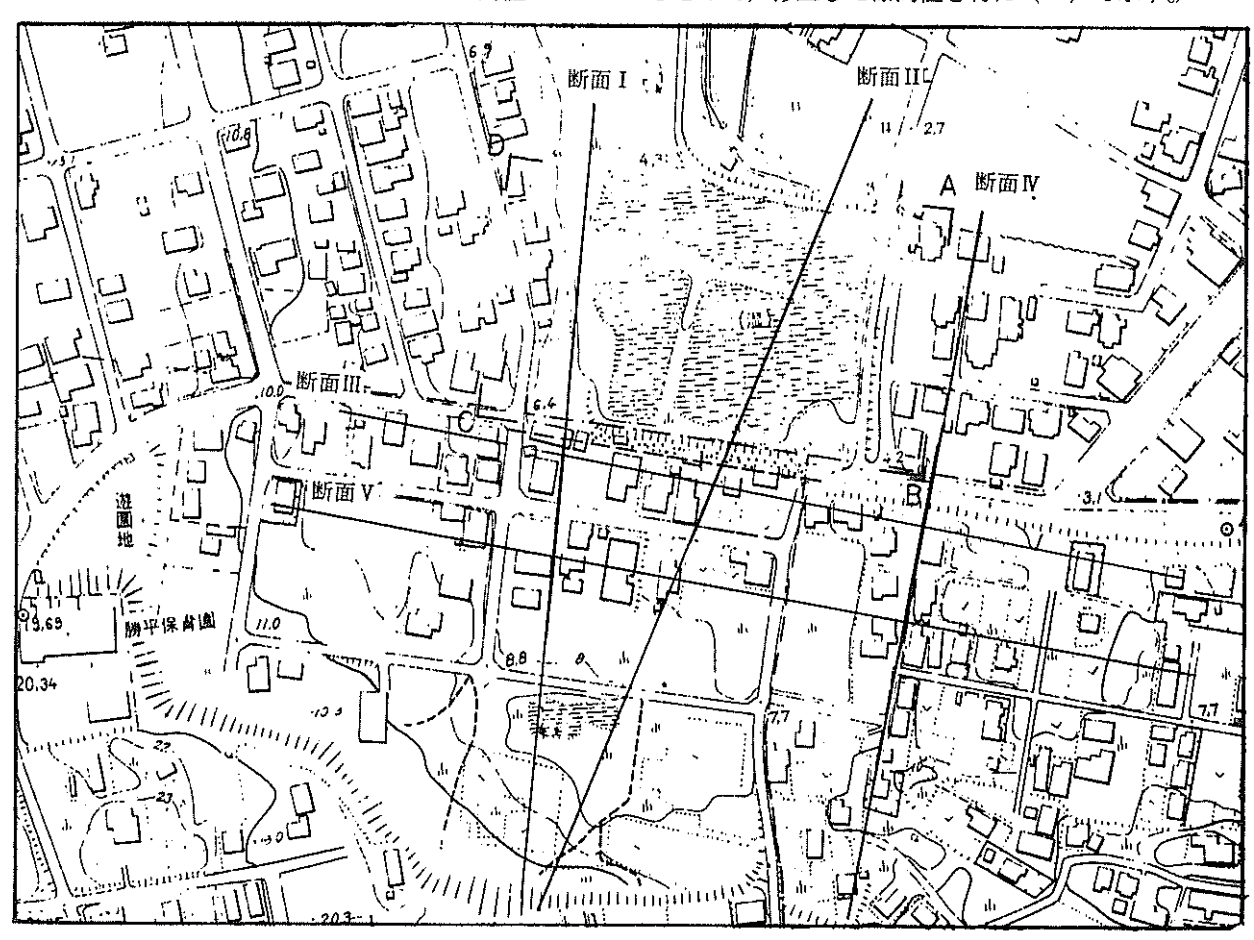


図 6 · 1 · 3 昭和44年地形図 (S=1:3000)

(A,B,C,Dの範囲は図6,1,4(a)の範囲である。)

------土塁の北端

さらご 盛りこぼし

昭和52年7月には北側の溜池の埋立が、秋田県住宅供給公社によって施工され昭和53年3月に完成した。この時の造成計画の図面は図6・1・4に示される。このような経過から、昭和54年には現在の地形とほぼ同じようになった。

## (3) ブロックでとの旧地形の変還

調査地域を図 5・2・6(b)の如くブロック分けし、各々の地形の変還を表 6・1・1 にまとめる。

97

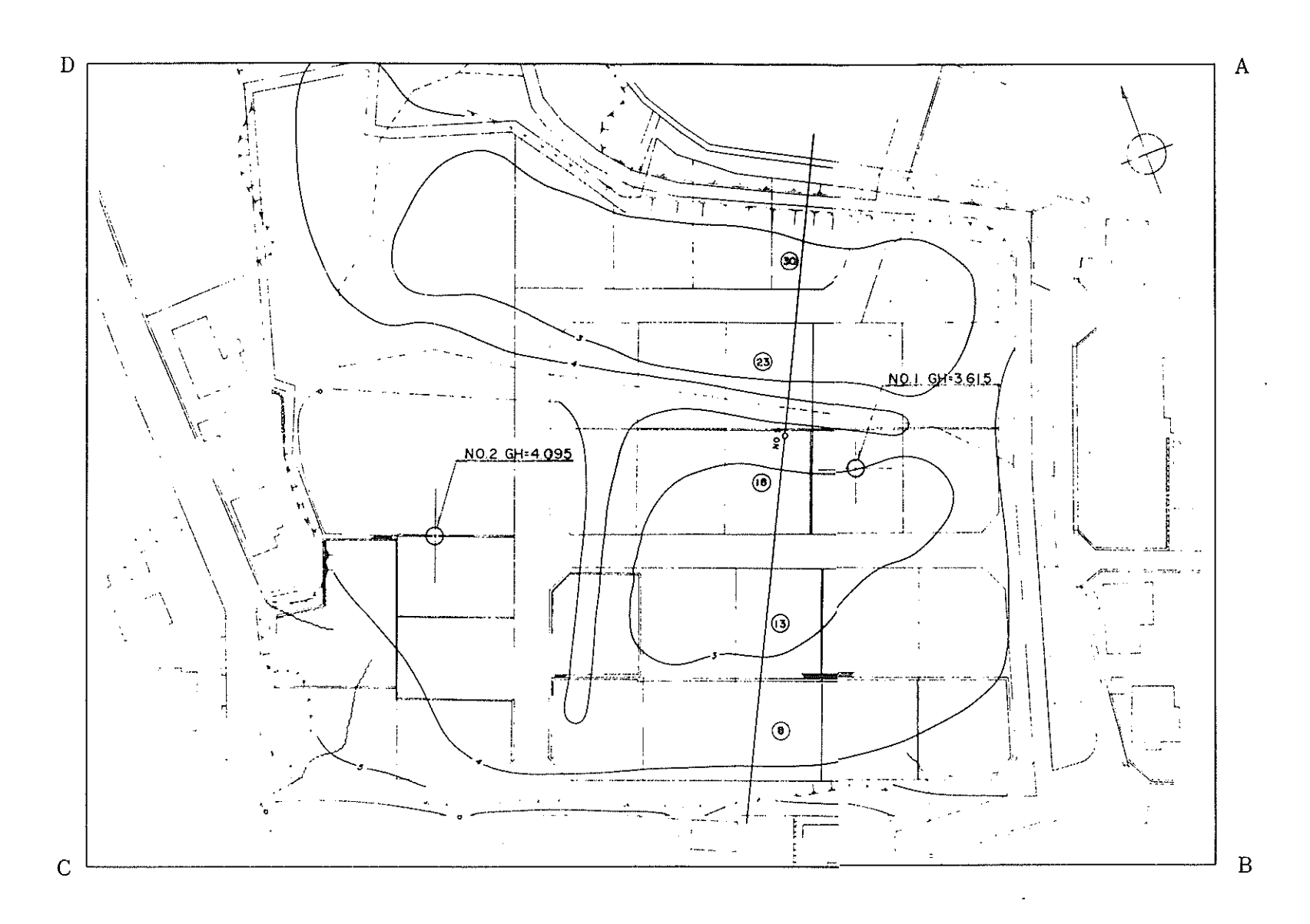


図6・1・4(a) 溜池の埋立計画平面図 (S=1:1000) (図6・1・3に区画の範囲がA,B,C,Dで示されている。)

## NO.5 F.H=4.60 G.H=3.23

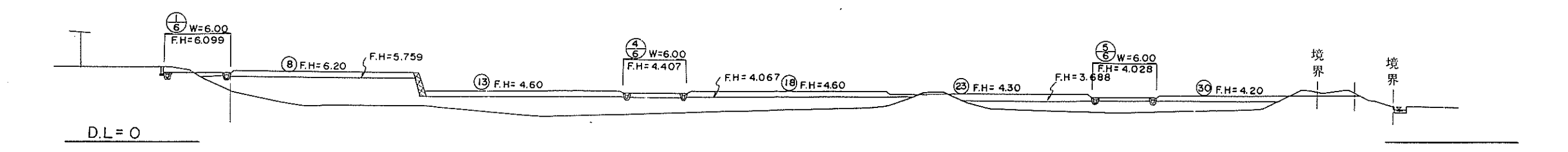
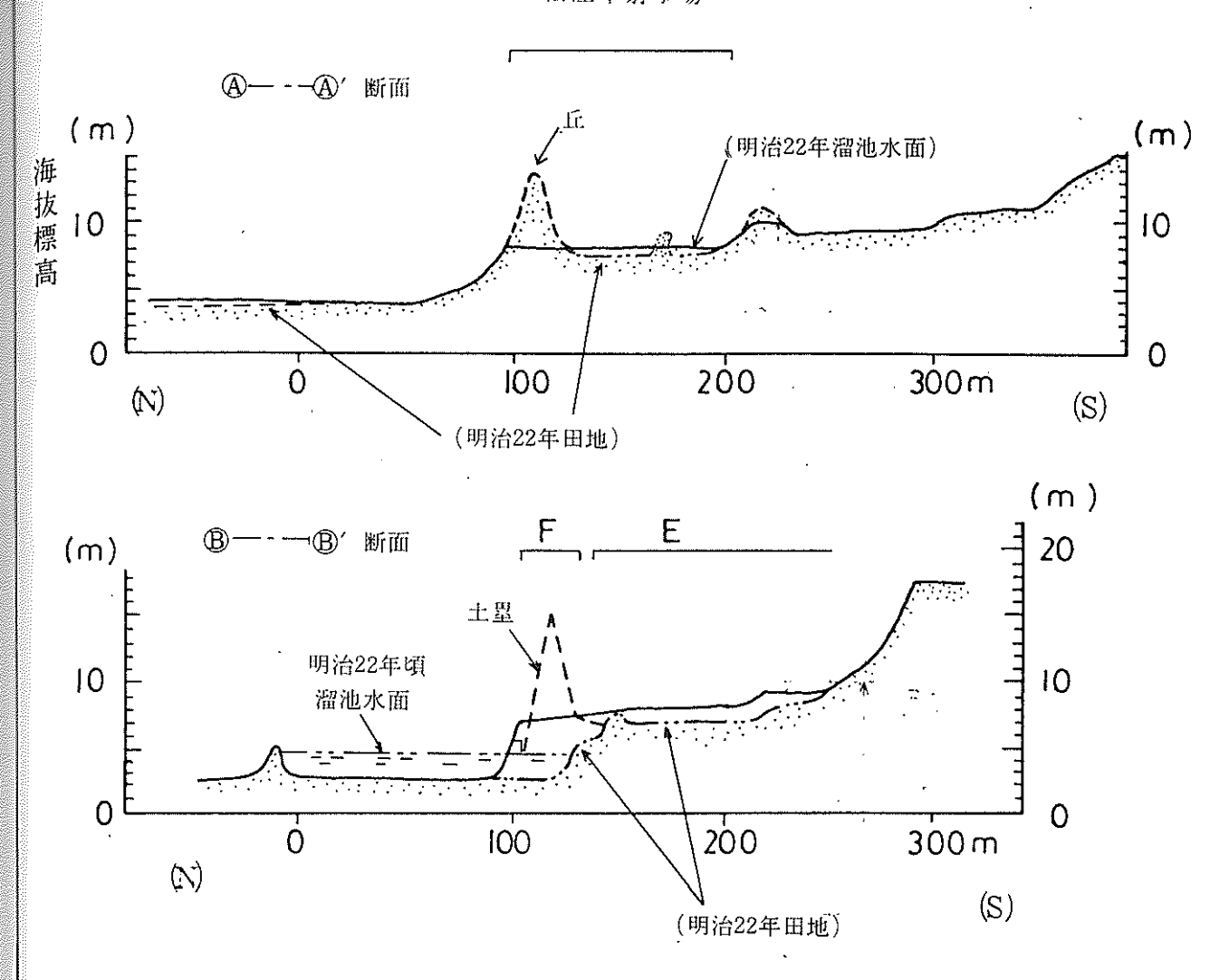


図 6 · 1 · 4 (b) 溜池の埋立計画断面図 No.5 (S=1:400) (その他縦横断図等詳細資料は別冊収集資料編を参照のこと。)



—— 昭和44年頃地表

--- 昭和27年頃地表

明治22年頃と昭和44年頃の地表(一致)

予点で 明治22年頃と昭和27年頃の地表(一致)

---- 明治22年頃の水面

・土塁標高は昭和27年図(1/3000)と明治45年射撃場内 図との対比による推定。

図 6.1.5 調査地断面 II 付近の昭和 4 4 年頃までの地形の変遷 (狐崎,被災地付近の土地状況の歴史,一新史料 の追加と総括,

別冊資料 その2に収録

1984.3.25)

表6・1・1 ブロップごとの旧地形のまとめ

|                                |                    |                        |                       |                     |                    | Ţ                    | ,                          |                   |
|--------------------------------|--------------------|------------------------|-----------------------|---------------------|--------------------|----------------------|----------------------------|-------------------|
| ブロック<br>No.                    | 明 治 期(画図)(1:600)   | 大正期~昭和初期<br>(1/25,000) | 昭和27年地形図<br>(1/3,000) | 昭和38年地形図(1/3,000)   | 昭和44年地形図 (1/2,500) | 昭和5 4年住宅地図 (1/1,500) | 今回調查地形図<br>(1/500,1/1,000) | *)<br>現地盤表層       |
| A                              | 山林・水田              | 射擊場 (一部凹地)             | 水田 (凹地) と畑地           | 荒地・湿地               | 宅 地                | 宅 地                  | 宅 地                        | 盛土                |
| В                              | 山林・荒地              | 土塁                     | 土塁                    | 土 塁                 | 宅 地                | 宅 地                  | 宅 地                        | 切土及び **)<br>土塁の下部 |
| С                              | 山林・荒地              | 山林・荒地                  | (山林・農地)               | ·<br>(宅地·農地)        | 宅 地                | <br>  宅 地<br>        | 宅地(標高約8m)                  | 主として切土            |
| D                              | 山林・荒地              | 山林・荒地                  | 山林・荒地                 | 山林・荒地               | 宅 地                | 宅地                   | 宅地<br>(標高6~8 m)            | 主として盛土            |
| E                              | 一部が水田と畑<br>でほとんど山林 | 射撃場内<br>(西側が凹地)        | 西側が水田<br>東側が荒地        | 西側が水田<br>東側が荒地      | 宅 地                | 宅地                   | 宅地<br>(標高7~8 m)            | 主として盛土            |
| Ft                             | 溜 池 (一部水田)         | 土塁                     | 土 塁<br>(一部通路)         | 土 塁 (一部通路)          | 宅 地                | 宅 地                  | 宅地(標高約7 m)                 | 主として<br>土塁の下部     |
| F <sub>2</sub>                 | 溜 池<br>(一部水田)      | 土 塁                    | 土 塁                   | 土塁の下部<br>(土塁上部の削除跡) | 宅 地                | 宅 地                  | 宅地(標高約7 m)                 | 土塁の下部             |
| G                              | 溜池                 | 溜 池 (一部湿地化)            | 溜池                    | 溜 池<br>(部分的に湿地化)    | 溜 池<br>(部分的に湿地)    | 宅 地                  | 宅 地                        | 盛土                |
| H <sub>1</sub> ,H <sub>2</sub> | 溜池                 | 溜池                     | 溜池                    | 溜池                  | 溜 池<br>(部分的に湿地)    | 宅 地                  | 宅 地                        | 盛土                |
| I                              | 溜池                 | 溜池                     | 溜池                    | 溜池                  | 溜池                 | 宅地                   | 宅 地                        | 盛土                |
| J                              | 溜池                 | 溜池                     | 溜池                    | 溜池                  | 溜池                 | 宅 地                  | 宅 地                        | 盛土                |
| Κι                             | 水田と山林              | 土塁                     | 土塁                    | 土 塁                 | 宅 地                | 宅 地                  | 宅地(標高約7m)                  | 主として<br>土塁の下部     |
| K <sub>2</sub>                 | 水田と山林              | 射擊場内<br>(西部凹地)         | 水田と荒地                 | 凸地が宅地<br>凹地が湿地      | 宅 地 (一部空地)         | 宅 地                  | 宅地(標髙約7m)                  | 主として盛土            |
| L                              | 水 田                | 水 田                    | 水田                    | 水 田                 | 宅 地                | 宅 地                  | 宅 地                        | 盛土                |

<sup>\*)</sup> 個人的造成によるごく表層を除く。 \*\*) 切土とは、地山から切り出した地盤をいう。

## (4) 地史と地層断面図

\*) 調査地付近の第四系堆積以前の新第三紀層侵食面を図 6・1・6 等深線図によって示す。また、断面図を図 6・1・7 に示す。これらの上位に砂・レキを主体とする堆積物が分布し、この上位に旧雄物川起源と推定される河成堆積物が広く分布する。

一方、調査地における地層構成については、標高 0 m以深に砂質土(S-4)が分布し、その上位に層厚約 1 m の軟弱な粘性土(C-1, C-2)が分布する。さらにその上位の標高約 1 m以浅に砂質土からなる砂丘堆積物及び氾濫原堆積物(S-3, S-2, S-1)が分布する。これらの上位に盛土や表層土が被覆する。

これらの地層を表  $6 \cdot 1 \cdot 2$  に示し、土質想定断面図は、前章図  $5 \cdot 4 \cdot 1 \sim 5 \cdot 4 \cdot 5$  に示している。

<sup>\*)</sup> ここでの地層名や地質時代区分は、やや便宜的なもので、未固結層を"第四紀層"、固結化傾向を示す層を"第三紀層"としている。重要なことは、後者でS波速度が約400m/s以上になり、前者の多くの層より格段と速いことである。

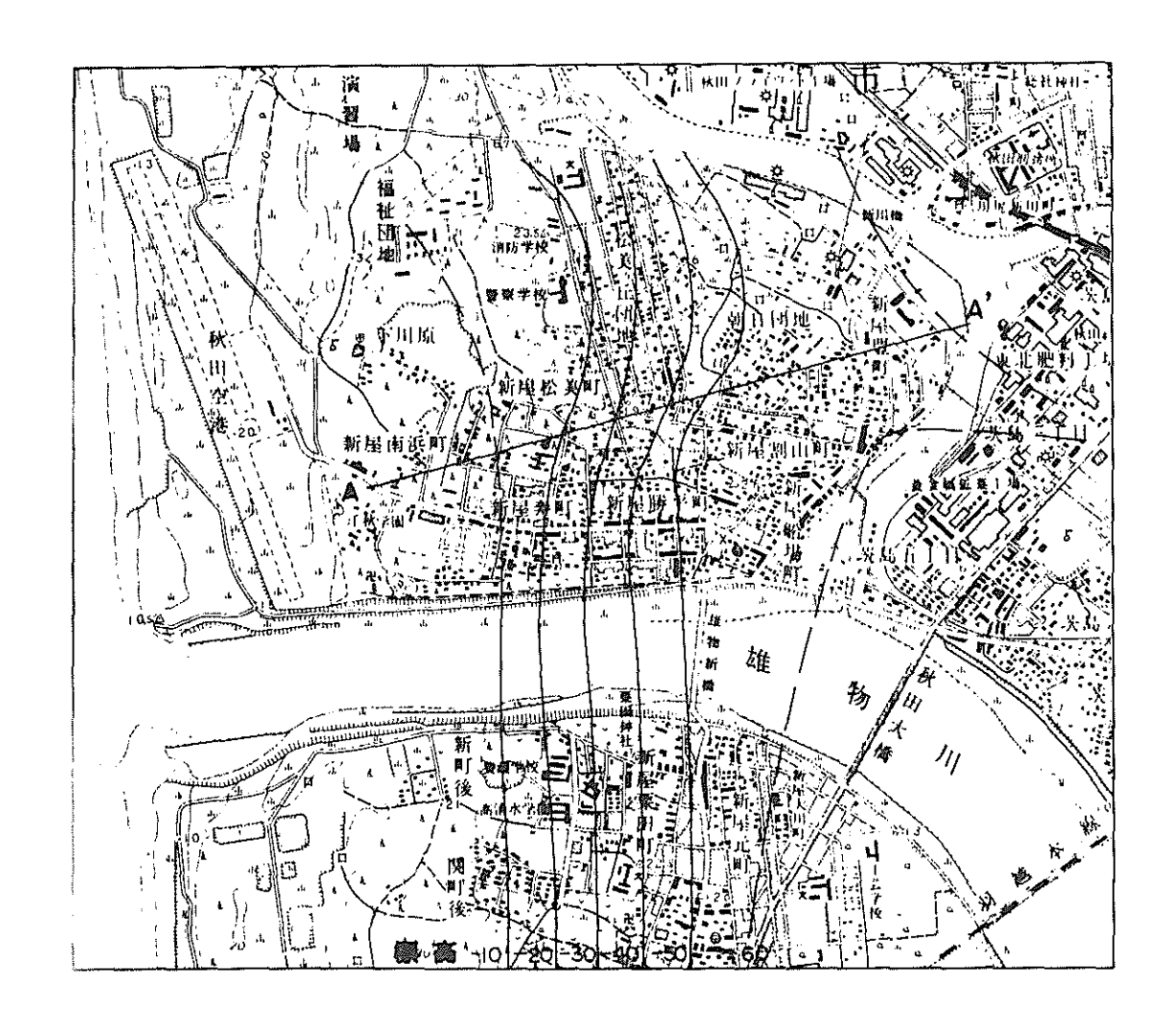


図 6.1.6 調査地付近の新第三紀層の侵食面等深線図(S=1:25,000) ( 岡村仁 秋田大学修士論文 1984 )

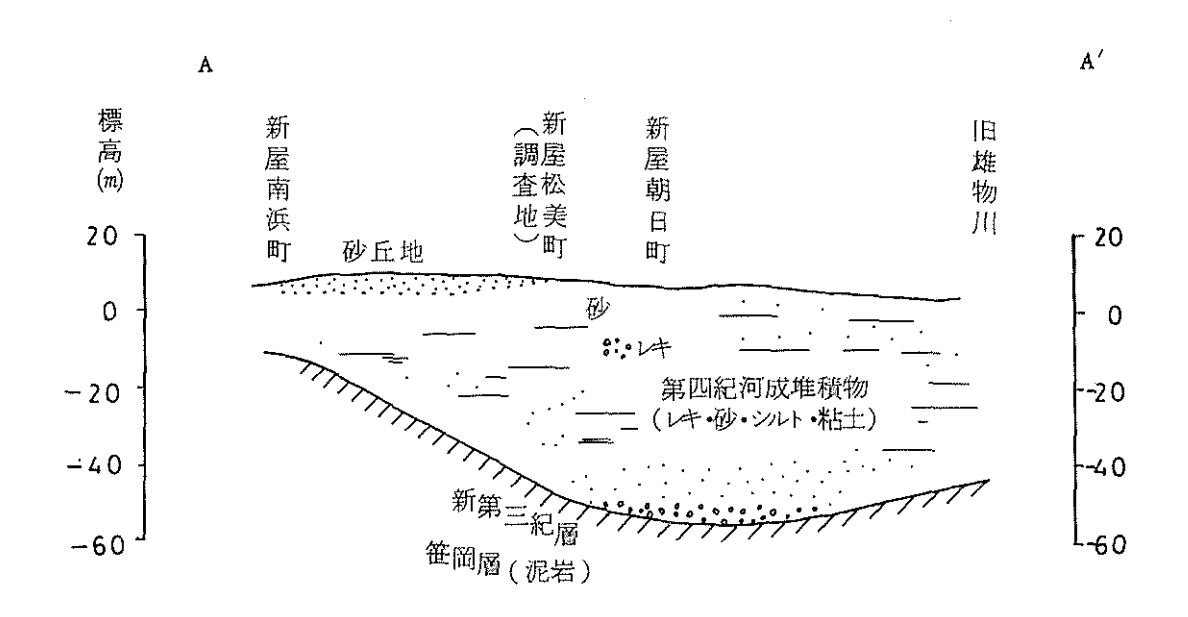


図 6.1.7 調査地付近の地質推定断面図 (図 6.1.6の平面図から推定した断面図)

表6・1・2 調査地の土質

| 記号    | 土 質 名                                        | N 値                                       | Nsw                                                                                                                                                                                                                                                                                                                                                                                                                                                                                                                                                                                                                                                                                                                                                                                                                                                                                                                                                                                                                                                                                                                                                                                                                                                                                                                                                                                                                                                                                                                                                                                                                                                                                                                                                                                                                                                                                                                                                                                                                                                                                                                                                                                                                                                                                                                                                                                                                                                                                                                                                                                                                                                                                                                                                                                                                                                                                                                                                                                                                                                                                                                                                                                                                                                                                                                                                                                                                                                                                                                                                                                                                                                                                                                                                                                                                                                                                                                                                                                                                                                                                                                                                                                                                                                                                                                                                                                                                                                                                                                                                                                                                                                                                                                                                                                                                                                                                                                                                                                                                                                                                                                                                                                                                                                                                                                                                                                                                                                                                                                                                                                                                                                                                                                                             | 記事                                                  | 推定される堆積環境    |
|-------|----------------------------------------------|-------------------------------------------|-------------------------------------------------------------------------------------------------------------------------------------------------------------------------------------------------------------------------------------------------------------------------------------------------------------------------------------------------------------------------------------------------------------------------------------------------------------------------------------------------------------------------------------------------------------------------------------------------------------------------------------------------------------------------------------------------------------------------------------------------------------------------------------------------------------------------------------------------------------------------------------------------------------------------------------------------------------------------------------------------------------------------------------------------------------------------------------------------------------------------------------------------------------------------------------------------------------------------------------------------------------------------------------------------------------------------------------------------------------------------------------------------------------------------------------------------------------------------------------------------------------------------------------------------------------------------------------------------------------------------------------------------------------------------------------------------------------------------------------------------------------------------------------------------------------------------------------------------------------------------------------------------------------------------------------------------------------------------------------------------------------------------------------------------------------------------------------------------------------------------------------------------------------------------------------------------------------------------------------------------------------------------------------------------------------------------------------------------------------------------------------------------------------------------------------------------------------------------------------------------------------------------------------------------------------------------------------------------------------------------------------------------------------------------------------------------------------------------------------------------------------------------------------------------------------------------------------------------------------------------------------------------------------------------------------------------------------------------------------------------------------------------------------------------------------------------------------------------------------------------------------------------------------------------------------------------------------------------------------------------------------------------------------------------------------------------------------------------------------------------------------------------------------------------------------------------------------------------------------------------------------------------------------------------------------------------------------------------------------------------------------------------------------------------------------------------------------------------------------------------------------------------------------------------------------------------------------------------------------------------------------------------------------------------------------------------------------------------------------------------------------------------------------------------------------------------------------------------------------------------------------------------------------------------------------------------------------------------------------------------------------------------------------------------------------------------------------------------------------------------------------------------------------------------------------------------------------------------------------------------------------------------------------------------------------------------------------------------------------------------------------------------------------------------------------------------------------------------------------------------------------------------------------------------------------------------------------------------------------------------------------------------------------------------------------------------------------------------------------------------------------------------------------------------------------------------------------------------------------------------------------------------------------------------------------------------------------------------------------------------------------------------------------------------------------------------------------------------------------------------------------------------------------------------------------------------------------------------------------------------------------------------------------------------------------------------------------------------------------------------------------------------------------------------------------------------------------------------------------------------|-----------------------------------------------------|--------------|
| Тs    | 砂質土・砕石等                                      | _                                         |                                                                                                                                                                                                                                                                                                                                                                                                                                                                                                                                                                                                                                                                                                                                                                                                                                                                                                                                                                                                                                                                                                                                                                                                                                                                                                                                                                                                                                                                                                                                                                                                                                                                                                                                                                                                                                                                                                                                                                                                                                                                                                                                                                                                                                                                                                                                                                                                                                                                                                                                                                                                                                                                                                                                                                                                                                                                                                                                                                                                                                                                                                                                                                                                                                                                                                                                                                                                                                                                                                                                                                                                                                                                                                                                                                                                                                                                                                                                                                                                                                                                                                                                                                                                                                                                                                                                                                                                                                                                                                                                                                                                                                                                                                                                                                                                                                                                                                                                                                                                                                                                                                                                                                                                                                                                                                                                                                                                                                                                                                                                                                                                                                                                                                                                                 | 表層部分。                                               | 表、土          |
| B - 1 | 細 砂                                          | 2 ~ 3                                     | $(S - 2 \overset{60}{\overset{\sim}{\overset{\sim}{\sim}}} \overset{60}{\overset{\sim}{\sim}} \overset{\circ}{\overset{\sim}{\sim}} \overset{\circ}{\sim}} \overset{\circ}{\overset{\sim}{\sim}} \overset{\circ}{\overset{\sim}{\sim}} \overset{\circ}{\overset{\sim}{\sim}} \overset{\circ}{\overset{\sim}{\sim}} \overset{\circ}{\sim} \overset{\circ}{\sim}} \overset{\circ}{\overset{\sim}{\sim}} \overset{\circ}{\overset{\sim}{\sim}} \overset{\circ}{\overset{\sim}{\sim}} \overset{\circ}{\overset{\sim}{\sim}} \overset{\circ}{\sim} \overset{\circ}{\sim}} \overset{\circ}{\overset{\sim}{\sim}} \overset{\circ}{\sim} \overset{\circ}{\sim}} \overset{\circ}{\overset{\sim}{\sim}} \overset{\circ}{\overset{\sim}{\sim}} \overset{\circ}{\sim} \overset{\circ}{\sim} \overset{\circ}{\sim}} \overset{\circ}{\overset{\sim}{\sim}} \overset{\overset{\sim}{\sim}} \overset{\sim}{\sim} \overset{\sim}{\sim}} \overset{\overset{\sim}{\sim}} \overset{\sim}{\sim} \overset{\sim}{\sim}} \overset{\sim}{\sim} \overset{\sim}$ | 旧陸軍による土塁盛土で射撃場堤盛土を含む。                               | 土塁廃土(戦前盛土含む) |
| B - 2 | 細 砂                                          | 2                                         | 50 ~ 200                                                                                                                                                                                                                                                                                                                                                                                                                                                                                                                                                                                                                                                                                                                                                                                                                                                                                                                                                                                                                                                                                                                                                                                                                                                                                                                                                                                                                                                                                                                                                                                                                                                                                                                                                                                                                                                                                                                                                                                                                                                                                                                                                                                                                                                                                                                                                                                                                                                                                                                                                                                                                                                                                                                                                                                                                                                                                                                                                                                                                                                                                                                                                                                                                                                                                                                                                                                                                                                                                                                                                                                                                                                                                                                                                                                                                                                                                                                                                                                                                                                                                                                                                                                                                                                                                                                                                                                                                                                                                                                                                                                                                                                                                                                                                                                                                                                                                                                                                                                                                                                                                                                                                                                                                                                                                                                                                                                                                                                                                                                                                                                                                                                                                                                                        | 岩城町ニュータウンの山砂を搬入し、住宅供給公社が盛土。                         | 松美ヶ丘盛土       |
| B - 3 | 細 砂                                          |                                           | 0 ~ 180                                                                                                                                                                                                                                                                                                                                                                                                                                                                                                                                                                                                                                                                                                                                                                                                                                                                                                                                                                                                                                                                                                                                                                                                                                                                                                                                                                                                                                                                                                                                                                                                                                                                                                                                                                                                                                                                                                                                                                                                                                                                                                                                                                                                                                                                                                                                                                                                                                                                                                                                                                                                                                                                                                                                                                                                                                                                                                                                                                                                                                                                                                                                                                                                                                                                                                                                                                                                                                                                                                                                                                                                                                                                                                                                                                                                                                                                                                                                                                                                                                                                                                                                                                                                                                                                                                                                                                                                                                                                                                                                                                                                                                                                                                                                                                                                                                                                                                                                                                                                                                                                                                                                                                                                                                                                                                                                                                                                                                                                                                                                                                                                                                                                                                                                         | 宅造のため昭和38年以降に盛土したもの。                                | 松美町盛土        |
| B - 4 | 砂質土                                          | _                                         | _                                                                                                                                                                                                                                                                                                                                                                                                                                                                                                                                                                                                                                                                                                                                                                                                                                                                                                                                                                                                                                                                                                                                                                                                                                                                                                                                                                                                                                                                                                                                                                                                                                                                                                                                                                                                                                                                                                                                                                                                                                                                                                                                                                                                                                                                                                                                                                                                                                                                                                                                                                                                                                                                                                                                                                                                                                                                                                                                                                                                                                                                                                                                                                                                                                                                                                                                                                                                                                                                                                                                                                                                                                                                                                                                                                                                                                                                                                                                                                                                                                                                                                                                                                                                                                                                                                                                                                                                                                                                                                                                                                                                                                                                                                                                                                                                                                                                                                                                                                                                                                                                                                                                                                                                                                                                                                                                                                                                                                                                                                                                                                                                                                                                                                                                               | 溜池の堤。                                               | 堰 堤 盛 土      |
| S - 1 | 細 砂                                          | 5                                         | 50 ~ 100                                                                                                                                                                                                                                                                                                                                                                                                                                                                                                                                                                                                                                                                                                                                                                                                                                                                                                                                                                                                                                                                                                                                                                                                                                                                                                                                                                                                                                                                                                                                                                                                                                                                                                                                                                                                                                                                                                                                                                                                                                                                                                                                                                                                                                                                                                                                                                                                                                                                                                                                                                                                                                                                                                                                                                                                                                                                                                                                                                                                                                                                                                                                                                                                                                                                                                                                                                                                                                                                                                                                                                                                                                                                                                                                                                                                                                                                                                                                                                                                                                                                                                                                                                                                                                                                                                                                                                                                                                                                                                                                                                                                                                                                                                                                                                                                                                                                                                                                                                                                                                                                                                                                                                                                                                                                                                                                                                                                                                                                                                                                                                                                                                                                                                                                        | 均一な粒子からなっている。一部盛土の場合も含む。                            | 砂丘堆積物        |
| S - 2 | 細 砂                                          | 0 ~ 2                                     | 0 ~ 20                                                                                                                                                                                                                                                                                                                                                                                                                                                                                                                                                                                                                                                                                                                                                                                                                                                                                                                                                                                                                                                                                                                                                                                                                                                                                                                                                                                                                                                                                                                                                                                                                                                                                                                                                                                                                                                                                                                                                                                                                                                                                                                                                                                                                                                                                                                                                                                                                                                                                                                                                                                                                                                                                                                                                                                                                                                                                                                                                                                                                                                                                                                                                                                                                                                                                                                                                                                                                                                                                                                                                                                                                                                                                                                                                                                                                                                                                                                                                                                                                                                                                                                                                                                                                                                                                                                                                                                                                                                                                                                                                                                                                                                                                                                                                                                                                                                                                                                                                                                                                                                                                                                                                                                                                                                                                                                                                                                                                                                                                                                                                                                                                                                                                                                                          | 砂丘の縁にあたり崩積土的になっている。                                 |              |
| C - 1 | シルト                                          | 0~2                                       | 0                                                                                                                                                                                                                                                                                                                                                                                                                                                                                                                                                                                                                                                                                                                                                                                                                                                                                                                                                                                                                                                                                                                                                                                                                                                                                                                                                                                                                                                                                                                                                                                                                                                                                                                                                                                                                                                                                                                                                                                                                                                                                                                                                                                                                                                                                                                                                                                                                                                                                                                                                                                                                                                                                                                                                                                                                                                                                                                                                                                                                                                                                                                                                                                                                                                                                                                                                                                                                                                                                                                                                                                                                                                                                                                                                                                                                                                                                                                                                                                                                                                                                                                                                                                                                                                                                                                                                                                                                                                                                                                                                                                                                                                                                                                                                                                                                                                                                                                                                                                                                                                                                                                                                                                                                                                                                                                                                                                                                                                                                                                                                                                                                                                                                                                                               | 木片や草根を混入する。軟弱なシルトからなる。                              | 一後背湿地性       |
| C - 2 | 砂 質 シ ル ト 8 20~40 木片や草根を混入する。細砂, シルト質砂を挟在する。 |                                           | 堆積物河                                                                                                                                                                                                                                                                                                                                                                                                                                                                                                                                                                                                                                                                                                                                                                                                                                                                                                                                                                                                                                                                                                                                                                                                                                                                                                                                                                                                                                                                                                                                                                                                                                                                                                                                                                                                                                                                                                                                                                                                                                                                                                                                                                                                                                                                                                                                                                                                                                                                                                                                                                                                                                                                                                                                                                                                                                                                                                                                                                                                                                                                                                                                                                                                                                                                                                                                                                                                                                                                                                                                                                                                                                                                                                                                                                                                                                                                                                                                                                                                                                                                                                                                                                                                                                                                                                                                                                                                                                                                                                                                                                                                                                                                                                                                                                                                                                                                                                                                                                                                                                                                                                                                                                                                                                                                                                                                                                                                                                                                                                                                                                                                                                                                                                                                            |                                                     |              |
| C - 3 | 砂質シルト                                        | 10 ~ 20                                   | _                                                                                                                                                                                                                                                                                                                                                                                                                                                                                                                                                                                                                                                                                                                                                                                                                                                                                                                                                                                                                                                                                                                                                                                                                                                                                                                                                                                                                                                                                                                                                                                                                                                                                                                                                                                                                                                                                                                                                                                                                                                                                                                                                                                                                                                                                                                                                                                                                                                                                                                                                                                                                                                                                                                                                                                                                                                                                                                                                                                                                                                                                                                                                                                                                                                                                                                                                                                                                                                                                                                                                                                                                                                                                                                                                                                                                                                                                                                                                                                                                                                                                                                                                                                                                                                                                                                                                                                                                                                                                                                                                                                                                                                                                                                                                                                                                                                                                                                                                                                                                                                                                                                                                                                                                                                                                                                                                                                                                                                                                                                                                                                                                                                                                                                                               | 木片,草根混入する。細砂,微砂を挟在する。                               | 成            |
| S - 3 | 細 砂                                          | 2 ~ 5                                     | 0 ~ 150<br>(500)                                                                                                                                                                                                                                                                                                                                                                                                                                                                                                                                                                                                                                                                                                                                                                                                                                                                                                                                                                                                                                                                                                                                                                                                                                                                                                                                                                                                                                                                                                                                                                                                                                                                                                                                                                                                                                                                                                                                                                                                                                                                                                                                                                                                                                                                                                                                                                                                                                                                                                                                                                                                                                                                                                                                                                                                                                                                                                                                                                                                                                                                                                                                                                                                                                                                                                                                                                                                                                                                                                                                                                                                                                                                                                                                                                                                                                                                                                                                                                                                                                                                                                                                                                                                                                                                                                                                                                                                                                                                                                                                                                                                                                                                                                                                                                                                                                                                                                                                                                                                                                                                                                                                                                                                                                                                                                                                                                                                                                                                                                                                                                                                                                                                                                                                | 粒子均一,草根混入し,シルト及び砂質シルトの薄層を挟在する。                      | - 堆          |
| S – 4 | 細 砂                                          | 10 ~ 20                                   | 50 ~ 400                                                                                                                                                                                                                                                                                                                                                                                                                                                                                                                                                                                                                                                                                                                                                                                                                                                                                                                                                                                                                                                                                                                                                                                                                                                                                                                                                                                                                                                                                                                                                                                                                                                                                                                                                                                                                                                                                                                                                                                                                                                                                                                                                                                                                                                                                                                                                                                                                                                                                                                                                                                                                                                                                                                                                                                                                                                                                                                                                                                                                                                                                                                                                                                                                                                                                                                                                                                                                                                                                                                                                                                                                                                                                                                                                                                                                                                                                                                                                                                                                                                                                                                                                                                                                                                                                                                                                                                                                                                                                                                                                                                                                                                                                                                                                                                                                                                                                                                                                                                                                                                                                                                                                                                                                                                                                                                                                                                                                                                                                                                                                                                                                                                                                                                                        | 中〜粗砂を主体とする。 φ 2~10 % 程度の亜円レキ混入する。                   | 氾濫原堆積物       |
| S - 5 | シルト質細砂                                       | 10 ~ 40                                   |                                                                                                                                                                                                                                                                                                                                                                                                                                                                                                                                                                                                                                                                                                                                                                                                                                                                                                                                                                                                                                                                                                                                                                                                                                                                                                                                                                                                                                                                                                                                                                                                                                                                                                                                                                                                                                                                                                                                                                                                                                                                                                                                                                                                                                                                                                                                                                                                                                                                                                                                                                                                                                                                                                                                                                                                                                                                                                                                                                                                                                                                                                                                                                                                                                                                                                                                                                                                                                                                                                                                                                                                                                                                                                                                                                                                                                                                                                                                                                                                                                                                                                                                                                                                                                                                                                                                                                                                                                                                                                                                                                                                                                                                                                                                                                                                                                                                                                                                                                                                                                                                                                                                                                                                                                                                                                                                                                                                                                                                                                                                                                                                                                                                                                                                                 | 3~5㎝程度の薄いシルトを挾在する。比較的締った砂。                          | 物            |
| G     | 砂レキ~<br>(レキ混り) 粗砂                            | 30 ~ 50                                   | 4441110                                                                                                                                                                                                                                                                                                                                                                                                                                                                                                                                                                                                                                                                                                                                                                                                                                                                                                                                                                                                                                                                                                                                                                                                                                                                                                                                                                                                                                                                                                                                                                                                                                                                                                                                                                                                                                                                                                                                                                                                                                                                                                                                                                                                                                                                                                                                                                                                                                                                                                                                                                                                                                                                                                                                                                                                                                                                                                                                                                                                                                                                                                                                                                                                                                                                                                                                                                                                                                                                                                                                                                                                                                                                                                                                                                                                                                                                                                                                                                                                                                                                                                                                                                                                                                                                                                                                                                                                                                                                                                                                                                                                                                                                                                                                                                                                                                                                                                                                                                                                                                                                                                                                                                                                                                                                                                                                                                                                                                                                                                                                                                                                                                                                                                                                         | マトリックスは粗砂を主体とする。<br>レキは φ 2 ~ 4 % , φ m ax 25 % 程度。 | 一自然堤防堆積物     |
| S - 6 | 細砂                                           | 砂 - 100~200 Nsw = 100~200 程度の比較的締った砂からなる。 |                                                                                                                                                                                                                                                                                                                                                                                                                                                                                                                                                                                                                                                                                                                                                                                                                                                                                                                                                                                                                                                                                                                                                                                                                                                                                                                                                                                                                                                                                                                                                                                                                                                                                                                                                                                                                                                                                                                                                                                                                                                                                                                                                                                                                                                                                                                                                                                                                                                                                                                                                                                                                                                                                                                                                                                                                                                                                                                                                                                                                                                                                                                                                                                                                                                                                                                                                                                                                                                                                                                                                                                                                                                                                                                                                                                                                                                                                                                                                                                                                                                                                                                                                                                                                                                                                                                                                                                                                                                                                                                                                                                                                                                                                                                                                                                                                                                                                                                                                                                                                                                                                                                                                                                                                                                                                                                                                                                                                                                                                                                                                                                                                                                                                                                                                 |                                                     | 日然死的在识别      |

## (5) ブロックごとの旧地形と地盤の締り具合

調査地の基礎の地盤は全て同じような砂からなっているものの、成り立ちはかなり 異なっており、従って締り具合が異なり工学的にも相違が見られる。

 $F_1$ ,  $F_2$  ブロックは大部分主塁の下部にあたっており、しかも図  $6 \cdot 1 \cdot 1$ に示されるように溜池の埋立によってできた地盤である。 $K_1$  ブロックは土塁の下部にあたり、明治の初期まで水田と山林であった。 $F_1$ ,  $F_2$  を挟んでEとG, H, I, J は同じ戦後の盛土である。A, Bの一部とCの大部分は地山にあたっている。

以上,各ブロックでとの地山の締り具合は地山の成因と深く係わっていると思われ, とくに $F_1$ , $F_2$  ブロックが他のブロックと比較して緩い理由は,これが素因と思われる。このことを図  $6 \cdot 1 \cdot 8$  に示す。

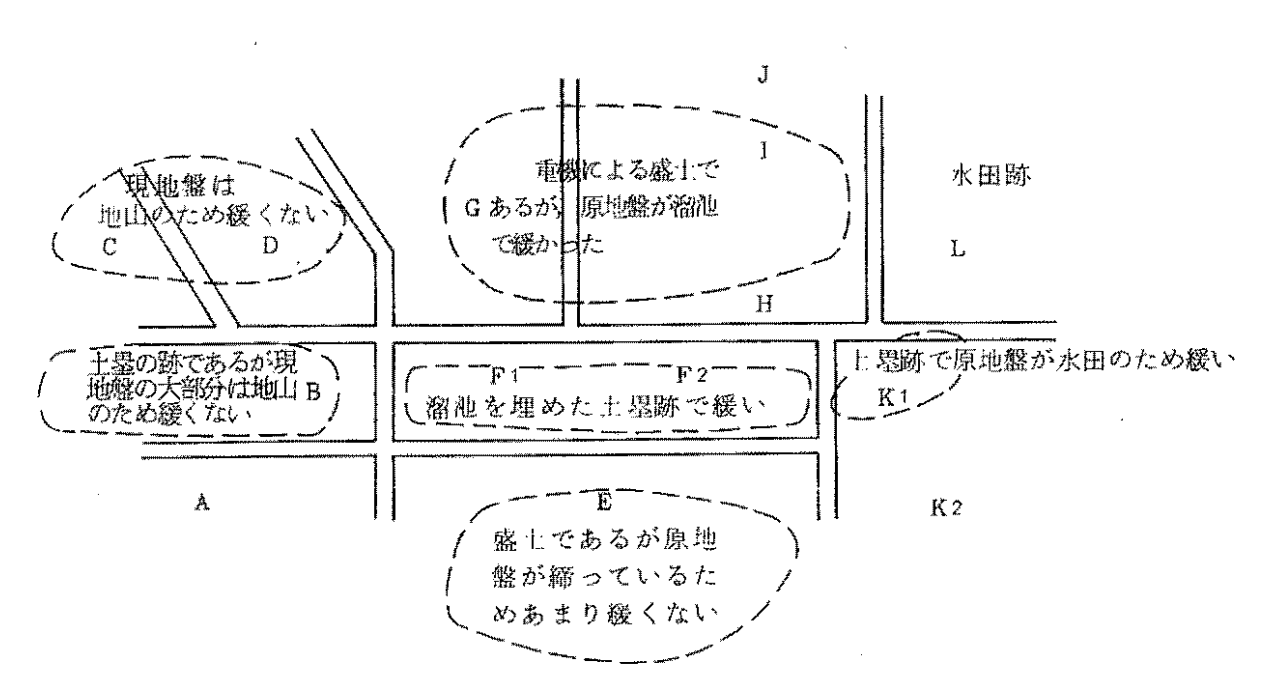


図6・1・8 原地盤の地盤の種類と盛土の締り具合の理由

#### 6・2 地下水位の変遷

### (1) 付近一帯の地下水の流れ

調査地一帯は集水地形であり、昔から地下水の多い所で湿地状の土地であった。土塁の南側(A, E, K₂ ブロック)の水田では水がどんどん湧いてくるので、土塁の一部をカットして水路を作って排水していた。

土塁の北側(G,  $H_1$ ,  $H_2$ , I, J ブロック)の溜池については, 昭和  $24\sim25$  年頃の区画整理の時に, 西側の砂丘(調査地北西部)の松林を伐採して道路を建設してから, しだいに集水量が減少したらしく溜池の面積も狭くなってきた。しかし, 住民の話によれば, 以前と同様に水が集まりやすかったようである。

### (2) 地下水位の測定結果とその考察

調査結果にもとづいて地下水位等高線図を図6・2・1 に示す。同図から次のことが 考察される。

## a 地下水位面の傾斜について

地下水面の傾斜は大局的には地表面の傾斜に従いA, B ブロックでは西から東に, E, F, K ブロックでは南から北に傾き,全体として北側の溜池の $H_1$ ,  $H_2$ , I, J ブロックに向かって傾斜している。

#### b 地下水の動水勾配について

## (3) 地下水位の歴史的変遷

地下水位の歴史的変遷と地形のそれとは密接な関係がある。液状化被害のひどかっ

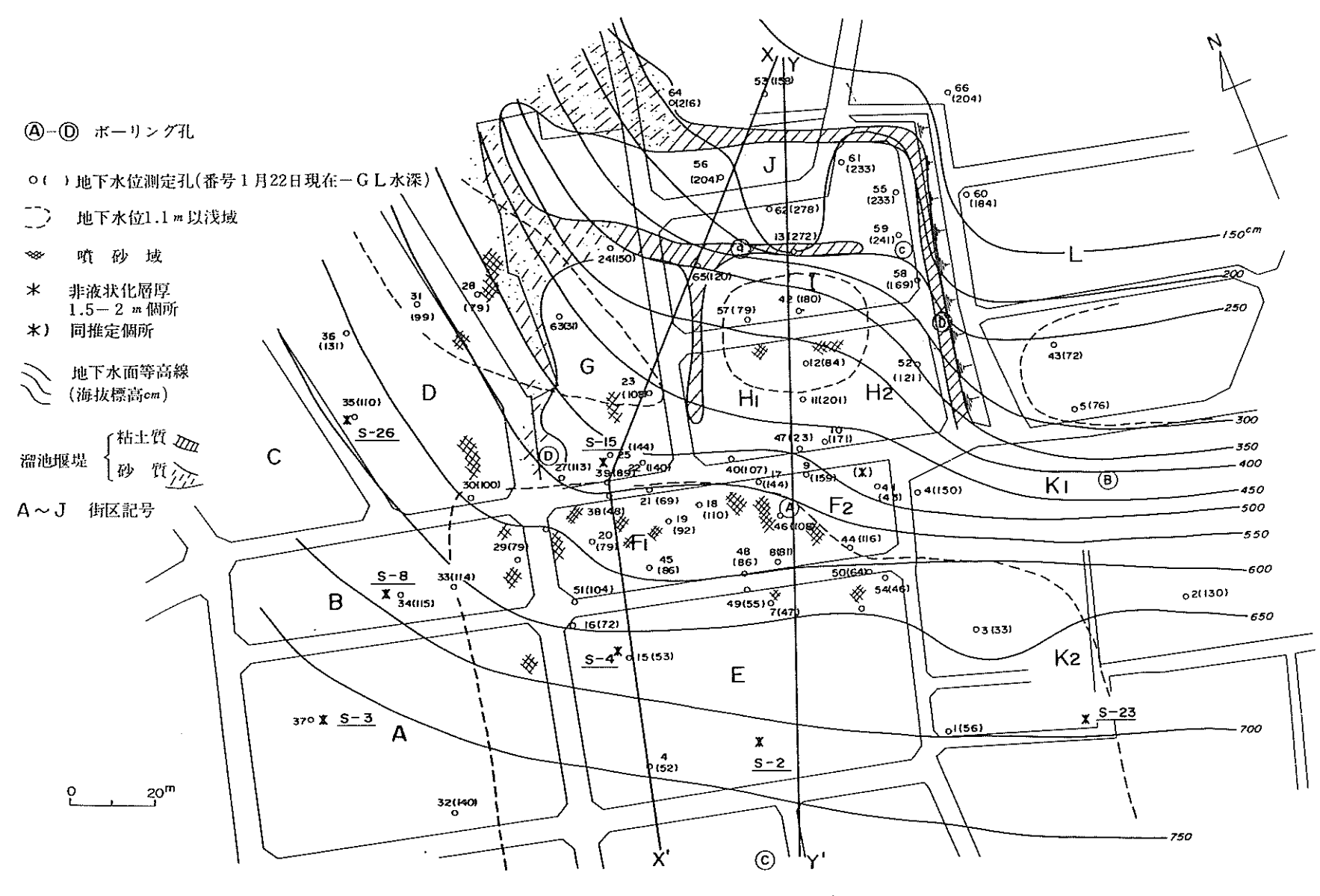
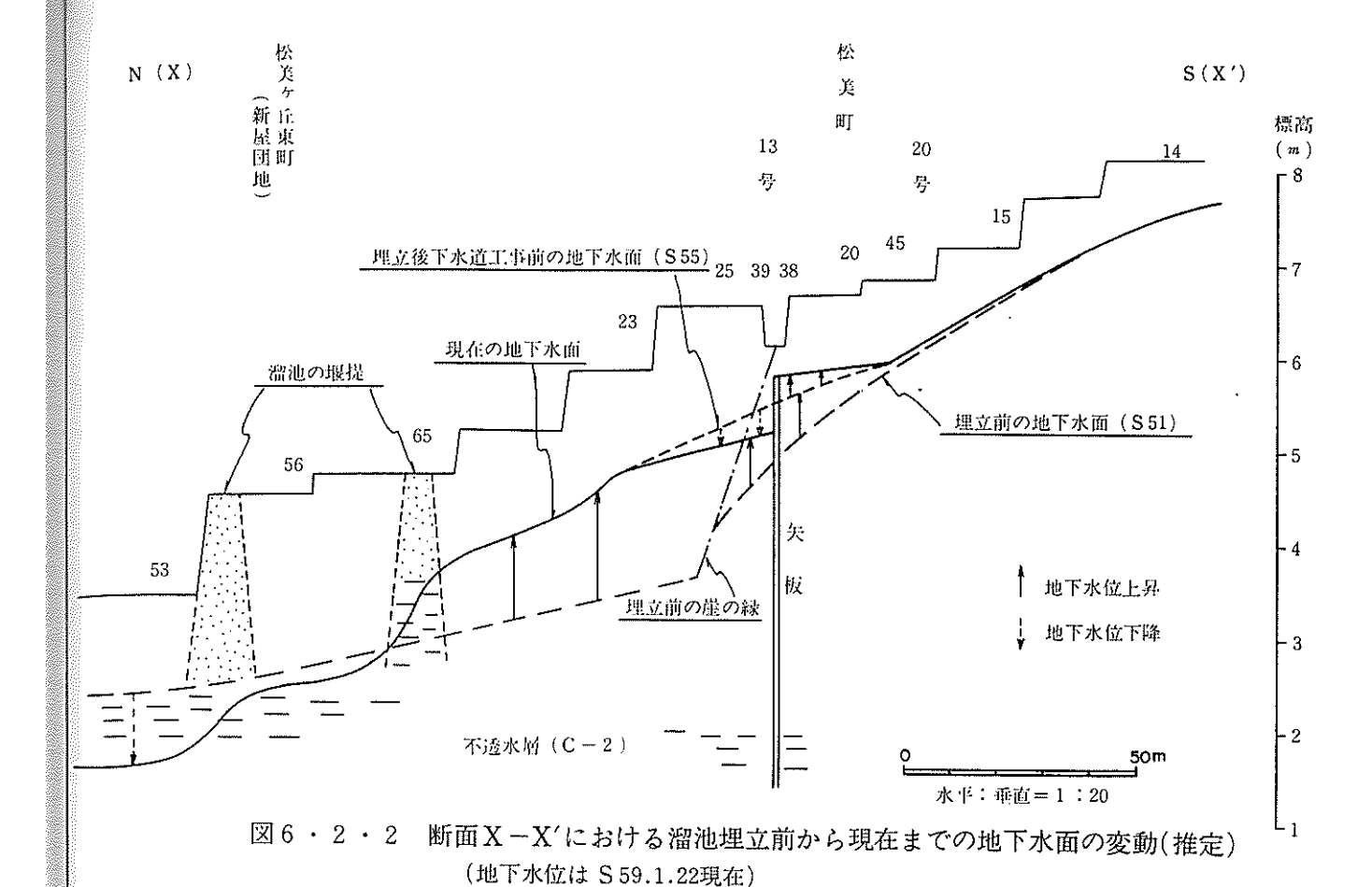


図6・2・1 地下水位等高線図



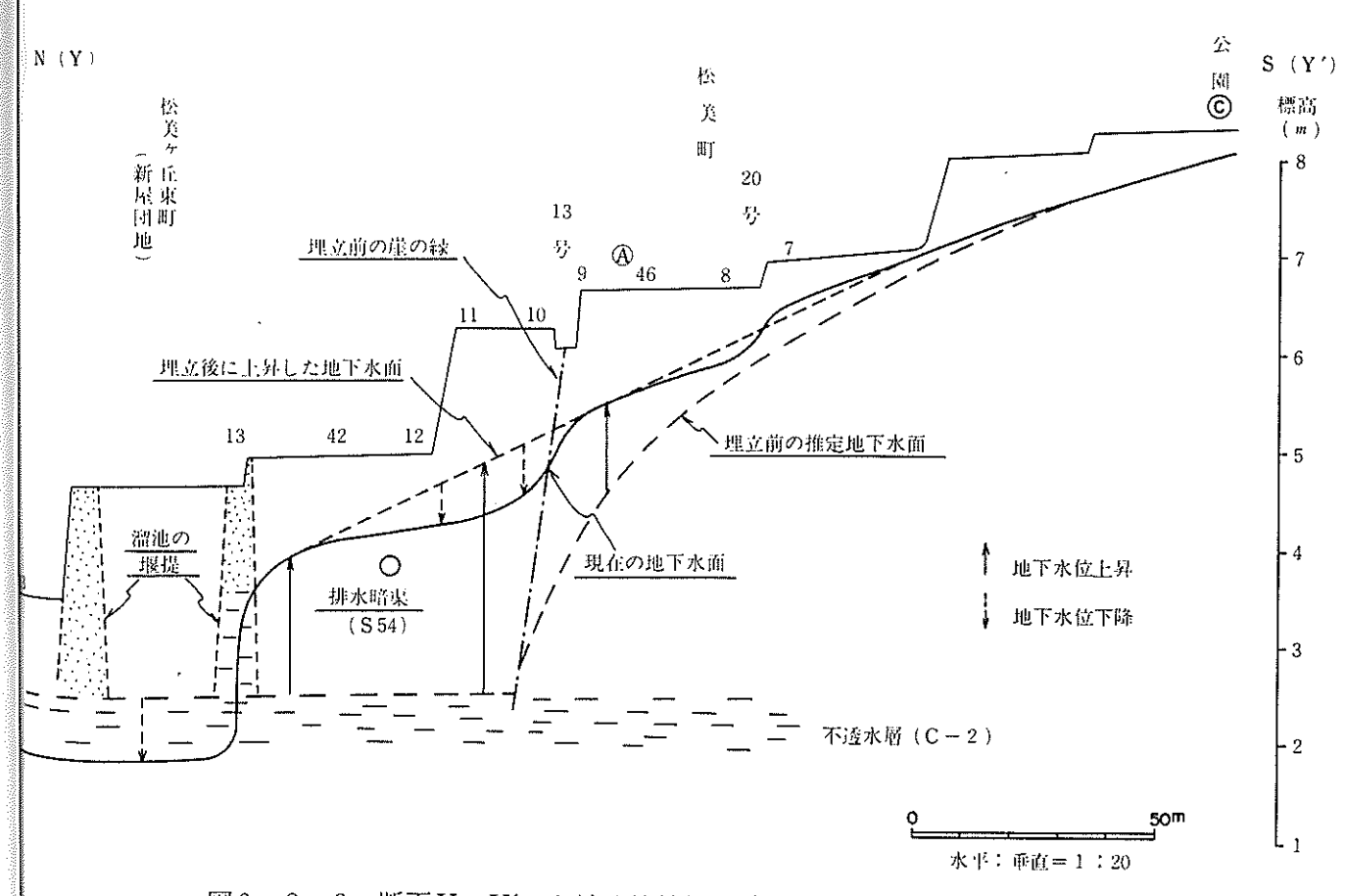


図 $6 \cdot 2 \cdot 3$  断面Y - Y'における溜池埋立前から現在までの地下水面の変動 (推定) (地下水位はS59.1.22現在)

た下、Hブロックでは、明治初期まで溜池であり当時から水の集まりやすい場所であった。大正期~昭和期には陸軍射撃場の土塁を作るために埋立られたが、当時は地下水位が比較的高かったと思われる。その後溜池の面積が狭くなっていることから昭和27年以降集水量が少なくなり、従って地下水位も下がったことが推定される。そして昭和52年住宅供給公社造成の直前には、溜池にはほとんど水がなくなった。その時の地下水位は少なくとも当時の溜池の底面(標高約3m)以下であった。図6・1・4(a)の溜池の埋立計画平面図は造成時の状況を示すものである。その際に、②りの土堰堤は遮水壁として働き、地下水の流れを塞き止め、②の付近からのみ水が流出していたようである。そのため、埋立造成地の中でも南半分は地下水が上昇したのに対して、北半分では上昇しなかったものと考えられる。このことが南側のFブロックにも影響を及ぼし、後で述べるように、F2ブロックの地下水位を0.5~1 m程度上昇させたと推定される。

その後昭和 56 年から昭和 57 年にかけて施工された 13 号道路の下水道工事の際に埋残した矢板がその近傍の地下水位に影響を与えたと考えられる。  $F_1$  ブロックでのそれのみによる最大上昇量は後で記述するように、  $0.25\sim0.3$  mと推定される。

従って、地下水位の上昇は、溜池埋立によるものにこの分だけ加わったことになる と考えられる。

#### 6・3 液状化およびすべり安定性

#### (1) 検討の目的

今回被害を受けた家屋の周辺では、噴砂、噴水が多く生じており、被害の直接の原因の多くは地盤の液状化によると推測される。また、 $F_2$  ブロックから $H_2$  ブロックにかけては、地盤全体がすべったような状況を呈しており、このことが家屋の被害を強めた可能性もある。そこで、本節では液状化やすべり現象が確かに発生したことや、その発生状況、被害との関係について、定量的に検討してみた。

## (2) 液状化の検討方法

液状化の検討にあたっては、次式によって液状化に対する抵抗率 FL を求め、FL < 1 なら液状化した可能性が大きいと判断することにした。

$$F_{L} = \frac{R}{L} \qquad (6 \cdot 3 \cdot 1)$$

$$R = 0.0882 \sqrt{\frac{N}{\sigma_{\nu}' + 0.7}} + 0.225 \log \frac{0.35}{D_{50}} + 0.025 - (6 \cdot 3 \cdot 2)$$

( 
$$0.05\,\mbox{mm} <$$
  $D_{\text{50}} \leq 0.6\,\mbox{mm}$  )

$$L = (1 - 0.015 Z) \frac{\alpha_{smax}}{g} \frac{\sigma_V}{\sigma_{V'}} \qquad (6 \cdot 3 \cdot 3)$$

ただし, R: 動的せん断強度比

L: 地震時せん断応力比

Z: 深さ(m)

σv': 有効上載圧 (kgf/cm)

σv : 全上載圧(kgf/cd)

N: N値

D50: 平均粒径(m)

α<sub>smax</sub>: 地表最大加速度 (gal)

g : 重力加速度 (= 980 gal)

FL は、サウンディング(標準貫入試験およびスウェーデン式サウンディング)を行ってある全地点の地下水位以下の砂層について計算された。

式 (6・3・2) は 5.7 節で前述したように、室内液状化試験結果をもとに今回作成

された簡易式であり、 $N値と平均粒径D_{50}$ が試験されている深度については、CO式から直接Rを計算した。 $スウェーデン式サウンディングしか行われていない地点では、式(<math>5\cdot 4\cdot 1$ )および( $5\cdot 4\cdot 2$ )でN値を推定し、また粒度試験が行われていない箇所については、周囲の試験値より $D_{50}$ を推測した。なお、室内液状化試験が行なってある2箇所については、直接その値からRを求めて計算に用いた。

式 (6・3・3) は岩崎・龍岡ら (1978) によって提案された簡易式であるが,道路橋示方書等に最近広く用いられているため,これを用いた。この式の中で,地表最大加速度 αsmax の値としては,全地点で一律に200galの値をとってみた。これは,運輸省秋田港工事事務所による強震記録としてEW成分205gal,NS成分190galの地表最大加速度が得られているため,本地域でも200gal程度が生じたと仮定してもよいと判断したことによる。なお,5・6節に前述したように,本地域内でも表層の増幅特性は異なっているようであるが,地表最大加速度の違いを定量的に評価するのが困難なことと,6・4節での被災原因の検討の際に増幅特性も考慮に入れるため,ここでは一律の値とした。ただし,200galが妥当とも言い切れないため,150galの地表最大加速度でも計算を行ってみた。

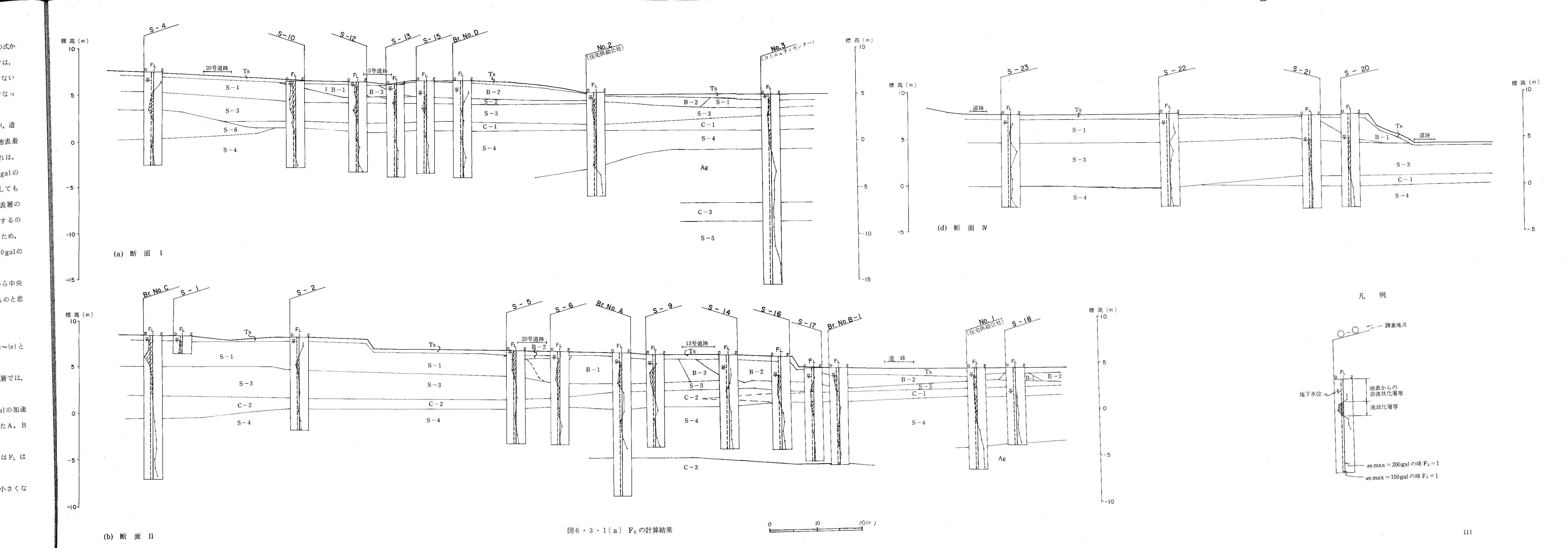
なお、式(6・3・3) は簡易式であり、rd の値もかなりバラッキのある中から中央 値をとって式が作られているため、検討結果にいくらか誤差は含まれているものと思 われる。

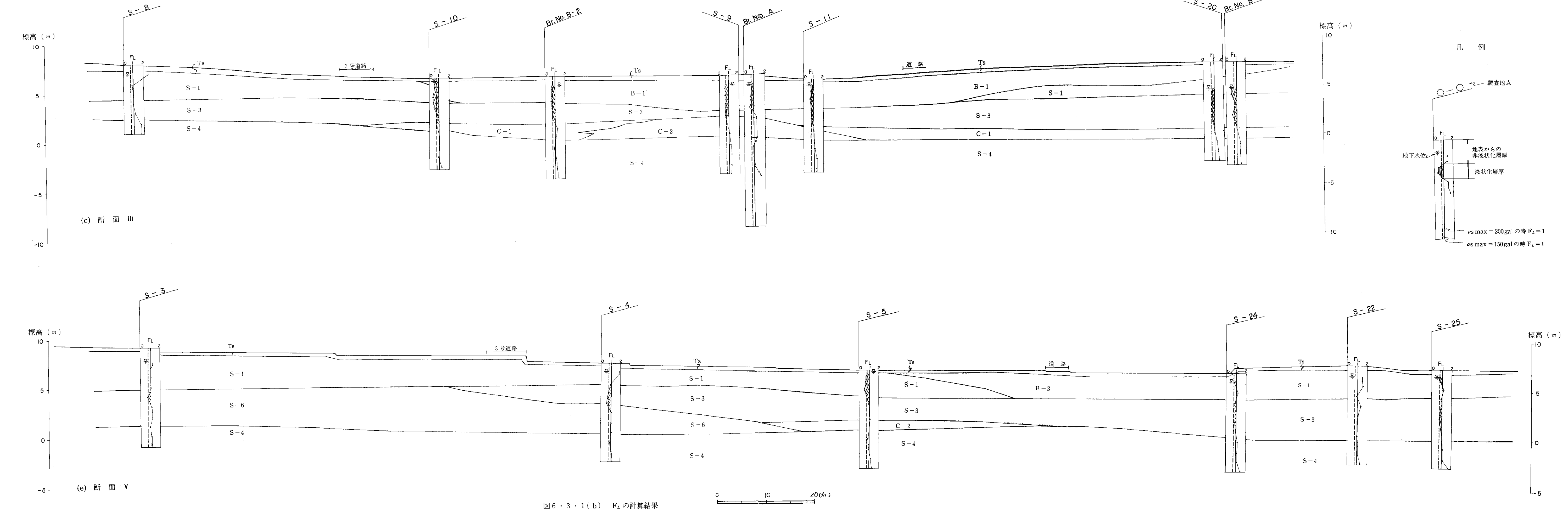
(3) 液状化の検討結果および被害との関係

土質想定断面図上に計算した $F_L$  の深度分布を重ねて示すと、図  $6 \cdot 3 \cdot 1(a) \sim (e)$  となる。この図から、まず次のようなことが考察される。

- i) 盛土層や上部砂層のうち、N値 $\leq$ 5とかNsw $\leq$ 50回といった緩い砂層では、 だいたいFL は1より下まわっている。
- ii )被害の大きかった $F_1 \cdot F_2$  ブロックなどでは特に $F_L$  が小さく, 200 galの加速度で  $0.5 \sim 0.6$  といった値となっている。これに対し,被害の小さかったA, B (西側のみ)ブロックなどでは, $F_L$  は 1 より大きくなっている。
- iii ) ただし、被害のなかった地区でも、例えばボーリングNo B 地点などでは FL は 1 よりかなり小さい。

これらの考察の結果、確かに被害が大きかった所では FL は 1 よりかなり小さくな





っており、被災の直接の原因は液状化にあることが窺えるものの、 $F_L$  が同様に小さくても逆に被害のない所があることも明らかになった。そこで、 $F_L$  と被害との関係をみてみるために、図  $6 \cdot 3 \cdot 2$  のように非液状化層厚を定義した。

(なお, 液状化指数 PLと被害の関係については, 別冊資料その 1(G) 3 節を参照されたい。)

図  $6 \cdot 3 \cdot 3(a)$ , (b)は、地表に存在している非液状化層の厚さ $Dn\ell$ と、液状化解析地点近傍(約 5m以内)家屋の被害や表層の地盤変状(FLを計算した地点付近の被害)の関係をまとめてみたものである。

ただし、非液状化層厚とは、家屋の基礎直下に液状化しない層がある程度存在すれば、下層が液状化しても支持可能で、また地表の地盤も破壊しないのではないかと考えて採用した指標である。これは、液状化層の上端から地表までの厚さを示し、図 6・3・2 のようにして求められる。なお、非液状化層厚を指標としたことの意義づけについては、別冊資料その 1(G) 3 を参照されたい。

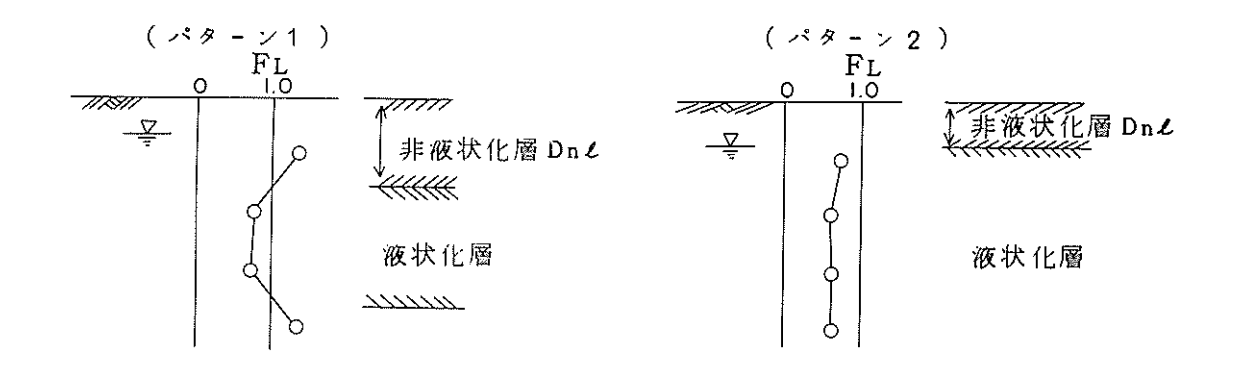


図 6・3・2 地表からの非液状化層厚の定義

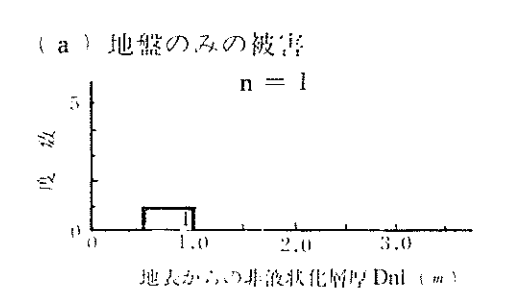
地表最大加速度を 200 gal と仮定した場合の図 6・3・3(a)より,次のことが考察される。

- i) バラツキが多いもののあえて境界を引くと、Dnℓが1.5 m程度より薄かった場合には家屋は被害を受け易く、それより厚いと被害を受けにくかったと言うことができよう。
- ⅱ)上述したように,ボーリングNa B 地点では FL は小さかったものの,そこでの

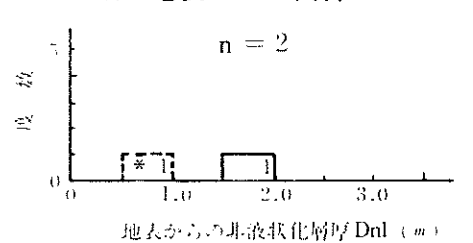
# 

地表からの非液状化層厚 Dul ( m )

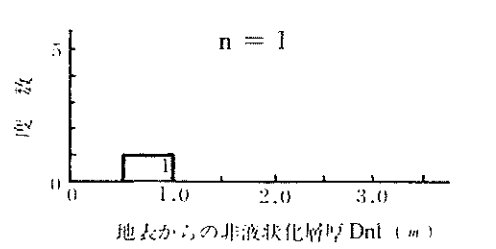
## 、家屋の被害。



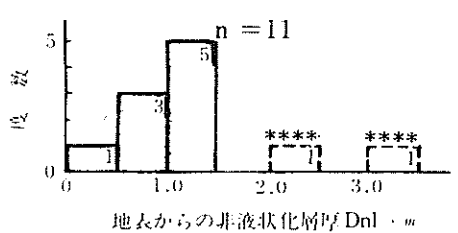
· b · 壁の亀裂のみの被害



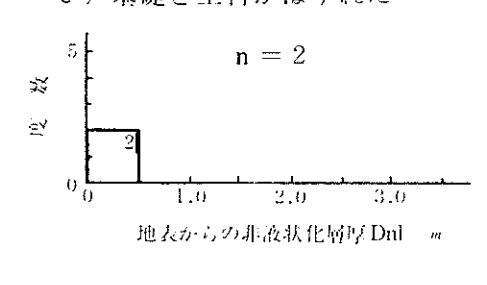
(c) 家屋の傾斜・沈下・降起等の被害



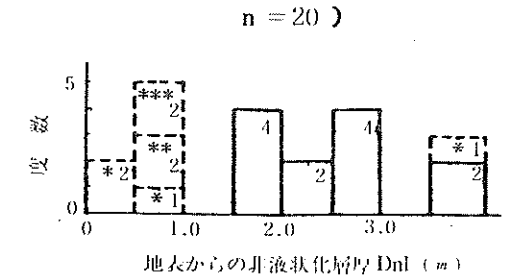
((d) 基礎の被害



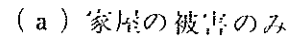
(e) 基礎と土台がはずれた

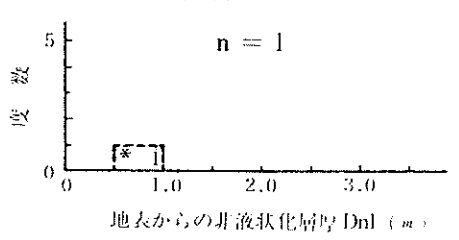


<無被害地点>

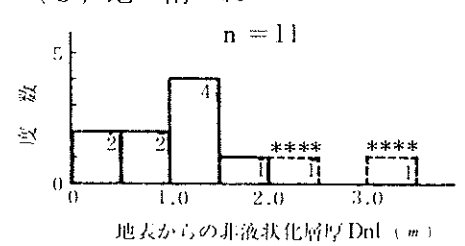


## <地盤の被害」

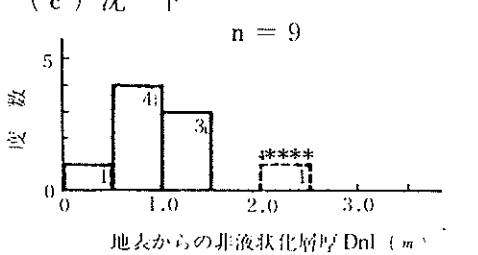




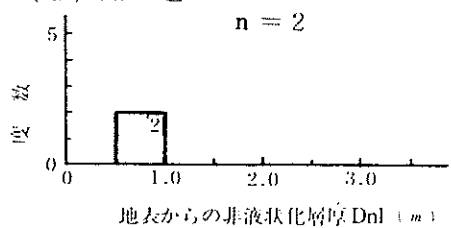
(b)地 割 れ



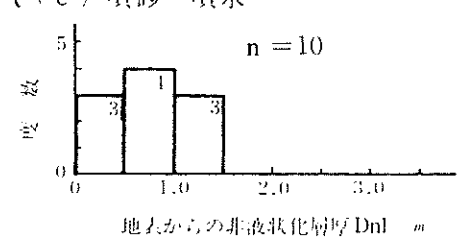
(c)沈 下



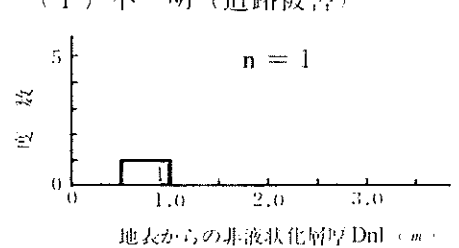
(d)隆 起



((e) 噴砂·噴水

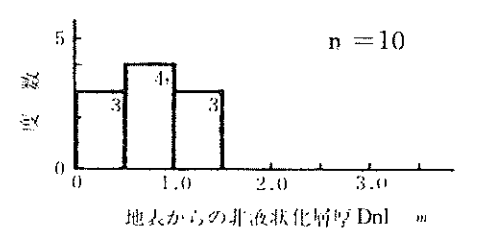


(f) 不 明(道路被害)

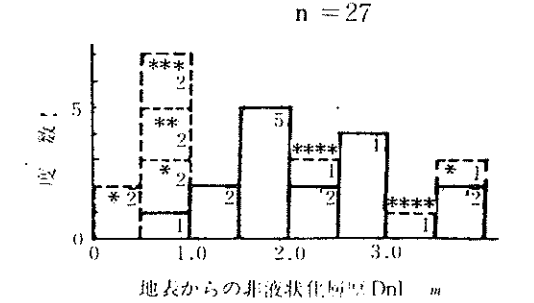


## <噴砂・噴水の発生>

(a) 地表に噴砂・噴水が生じた場合



## (b) 地表に噴砂・噴水が生じていない場合

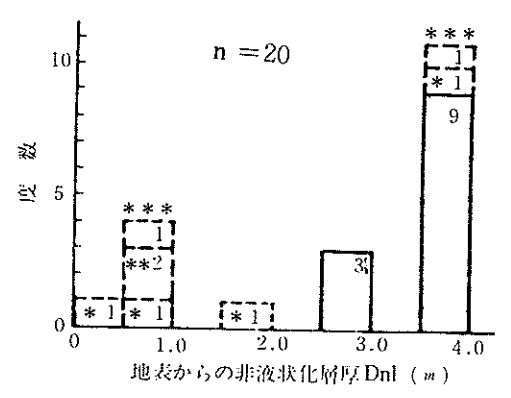


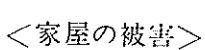
## (注)

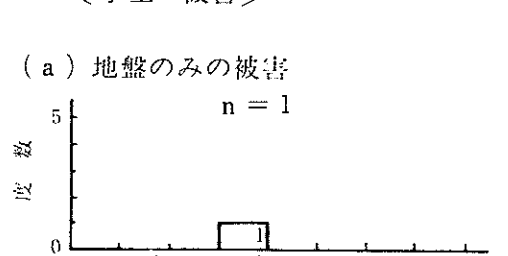
- i) 家屋の被害では、家屋の傾斜・沈下・隆起等の被害と基礎の被害とが同時に生じているものが多かったが、この場合は、基礎の被害の方にだけ度数を数えてある。
- ii) 地盤の被害では、計算地点近傍で、例えば地 割れと沈下が生じている場合には、両方に度数 を数えてある。

# 図6・3・3(a) 地表からの非液状化層厚ヒストグラム(200 gal)

- \* No.1, 2, 3 (コミニュティーセンター既往ボーリング) の標高は不明であり、適当に推定された。このため、データーの信頼性は少し抵い。
  - また、公社 No.1、2(住宅供給公社既往ボーリング)は、宅地造成前のボーリングのため、 盛土を考慮し、 地下水位を推定しているため、 データーの信頼性は少し抵い。
- \*\* No.C、S-1 では、平均粒径 $D_{50}$ の割には細粒分が多いため、R を過小評価している可能性があり、Dnlは実際にはもっと深いと考えられる。
- \*\*\* S-24, S-25では GL-10 m で FL<1 となるもののあまり小さくなく、またGL-20 m では FL>1 となり、この間の液状化層は非常に薄かったこともと考えられる。このため、無被害であったのではなかろうか。
- \*\*\*\* S-14, S-16では、被災原因は液状化というよりは、  $F_2$  ブロックからのスペリによると考えられるため、比較から外した方がよい と思われる。

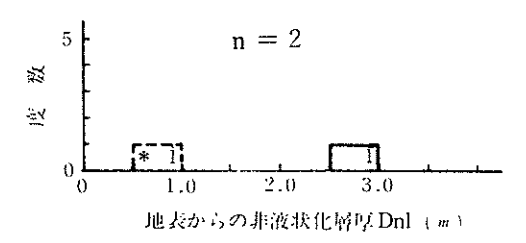




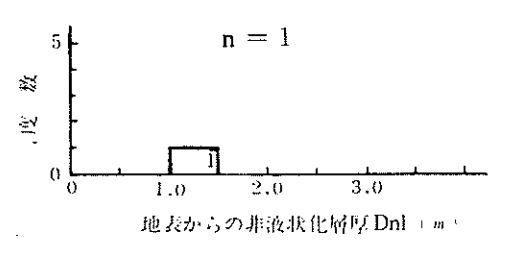


地表からの非液状化層厚 Dnl (m)

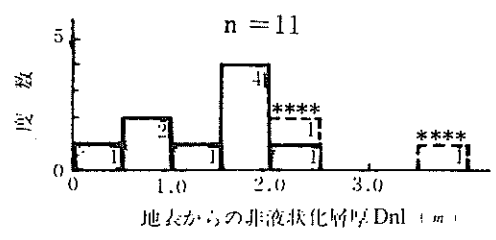
(b)壁の亀裂のみの被害



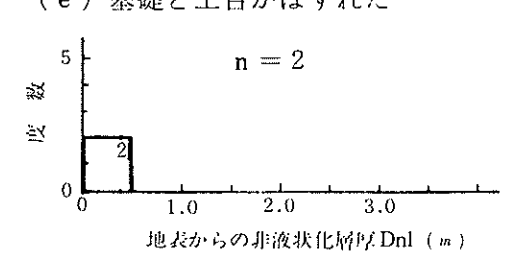
(c)家屋の傾斜・沈下・隆起等の被害



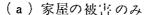
(d)基礎の被害

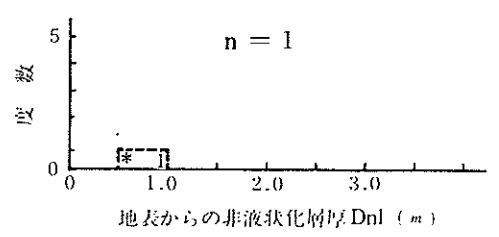


(e) 基礎と土台がはずれた

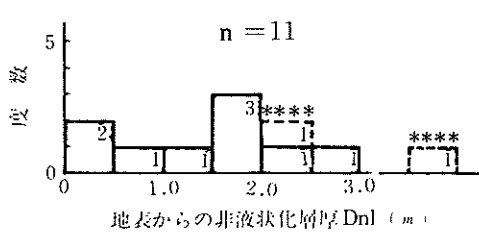


## <地盤の被害>

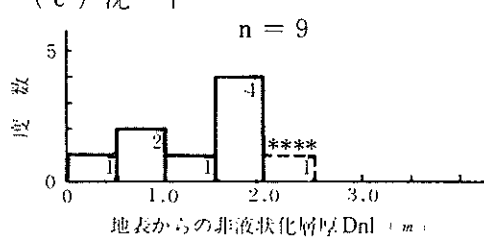




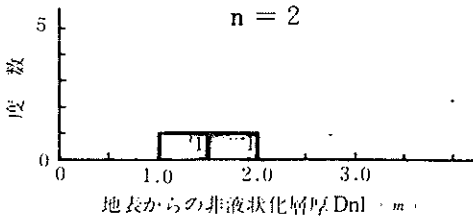
(b)地 割 れ



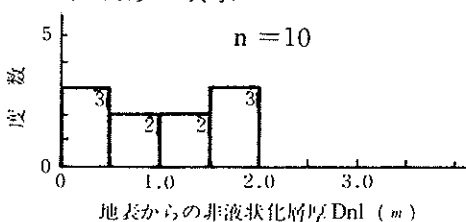
(c) 沈 下



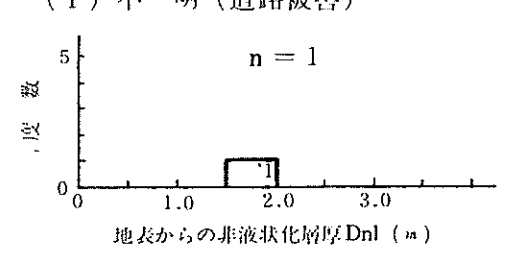
(d)隆 起



(e)噴砂·噴水

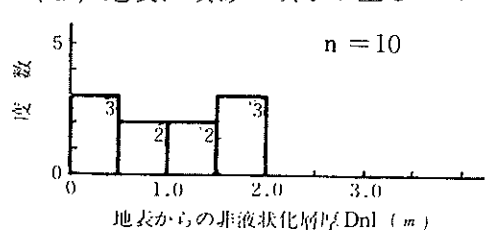


(f)不 明(道路被害)

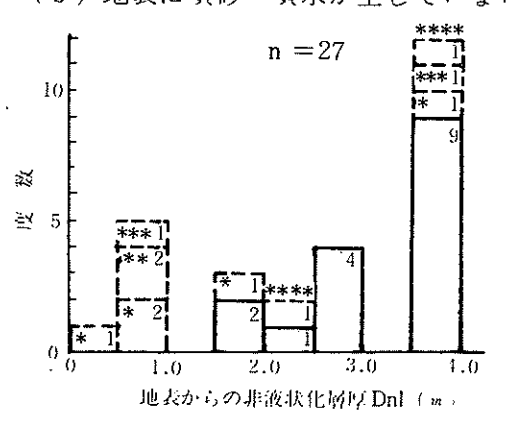


## 〈噴砂・噴水の発生〉

(a)地表に噴砂・噴水が生じた場合



## (b) 地表に噴砂・噴水が生じていない場合:



# (注)

- i) 家屋の被害では、家屋の傾斜・沈下・隆起等の被害と基礎の被害とが同時に生じているものが多かったが、この場合は、基礎の被害の方にだけ度数を数えてある。
- ii) 地盤の被害では、計算地点近傍で、例えば地割れと沈下が生じている場合には、両方に度数を数えてある。

## 図6・3・3(b) 地表からの非液状化層厚ヒストグラム (150 gal)

- \* No.1, 3,3 (コミニュティーセンター既往ボーリング)の標高は不明であり、適当に推定された。このため、データーの信頼性は少し抵い。
  - また、公社 No.1、2 (住宅供給公社既往ボーリング) は、 宅地造成前のボーリングのため、 盛土を考慮し、 地下水位を推定しているため、データーの信頼性は少し抵い。
- \*\* No.C, S-1 では、平均粒径  $D_{50}$  の割には細粒分が多いため、R を過小評価している可能性があり、Dnl は実際にはもっと深いと考えられる。
- \*\*\* S-24, S-25ではGL-10 m で FL<1 となるもののあまり小さくなく、またGL-20 m では FL>1 となり、この間の液状化層は非常に薄かったことも考えられる。このため、無被害であったのではなかろうか。
- \*\*\*\* S-14, S-16では、被災原因は液状化というよりは、  $F_2$  ブロックからのスペリによると考えられるため、比較から外した方がよいと思われる。

Dnℓは地下水位が深かったことが反映され、2.64 mと厚い。従って、ⅰ)での 考察にもとづくと、ここで被害が生じなかったことがうなづける。

iii ) 表層の地盤変状も同様にDnℓが1.5~2.0 m程度より浅かった場合に生じている。

次に、図 6・3・3(b)を見てみると、150 gal の地表最大加速度を仮定した場合には、 やはりバラツキは多いものの、2.5 m程度の非液状化層があると、家屋や地盤の被害 を受けていないと言うことができそうである。

この他,新潟地震 (1964年) での本地域の液状化の可能性について検討すると以下のように言える。

新潟地震の際に秋田港では地表最大加速度は得られていないが,秋田県庁の地下1階の地震計で,建物の短辺方向90.6gal (NS)が得られている。この加速度での液状化に対する抵抗率は,今回200galで計算された値の2倍以上となり,図6・3・1からわかるように全地点で $F_L>1$ となる。従って,液状化は発生しなかったとの解析結果となるが,住民からの話でも実際に新潟地震の際に,液状化は生じておらず解析結果と事実とがよく一致していると言えよう。

#### (4) すべり安定性の検討方法

今回のすべり安定性の検討にあたっては、地震動だけでなく、さらに液状化にともなう過剰間隙水圧を考慮する必要がある。そこで、図  $6 \cdot 3 \cdot 4$  に示したように、分割片に水平震度 Kh を加え、分割片底部に過剰間隙水圧 Ud を考慮する次式にて安全率 Fs を計算することとした。

$$F_{S} = \frac{\mathcal{E}\left\{c\ell + (W\cos\theta - KhW\sin\theta - u\ell)\tan\phi\right\}}{\mathcal{E}\left(W\sin\theta + KhW\right)}$$
(6 · 3 · 4)

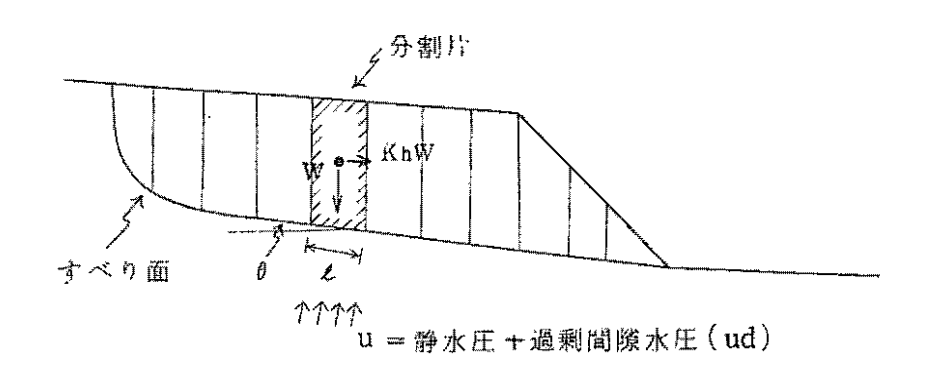


図 6 • 3 • 4 安定計算方法

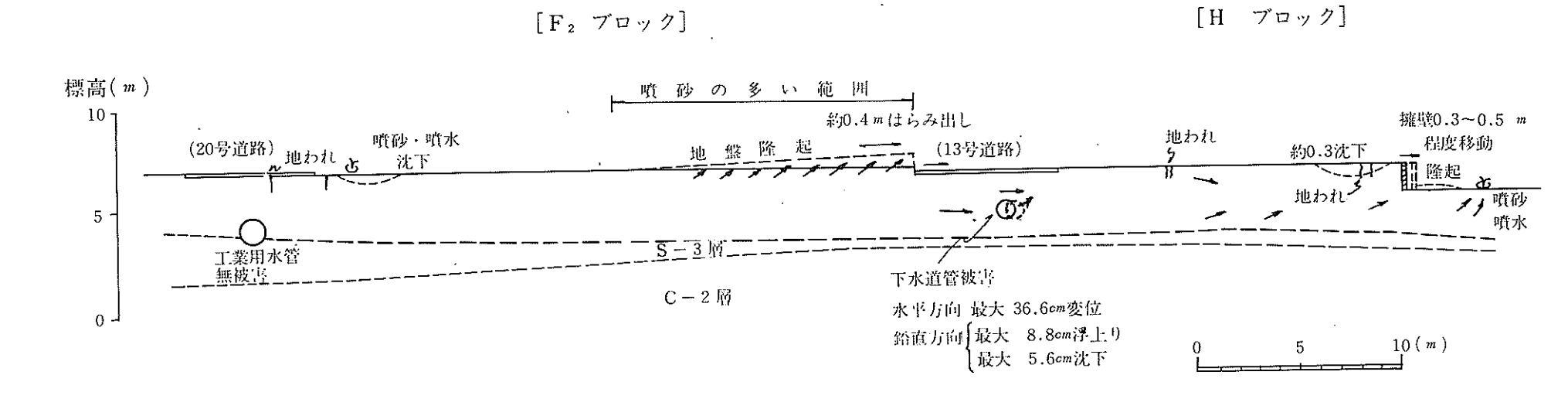
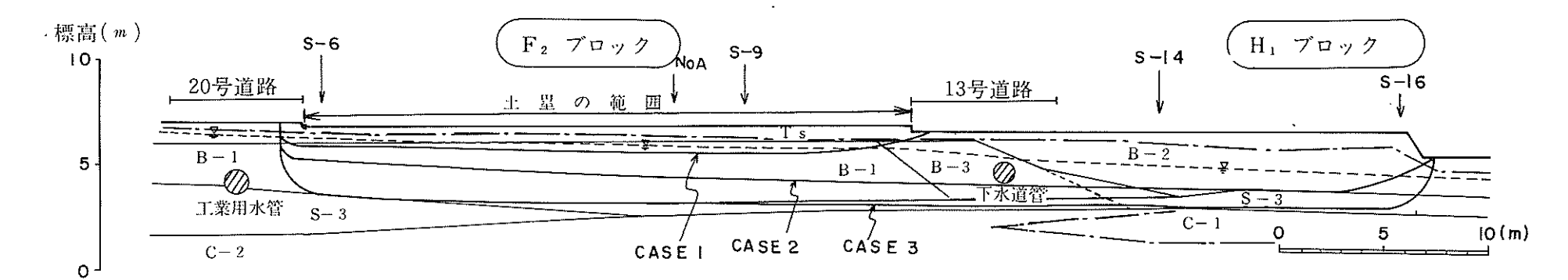
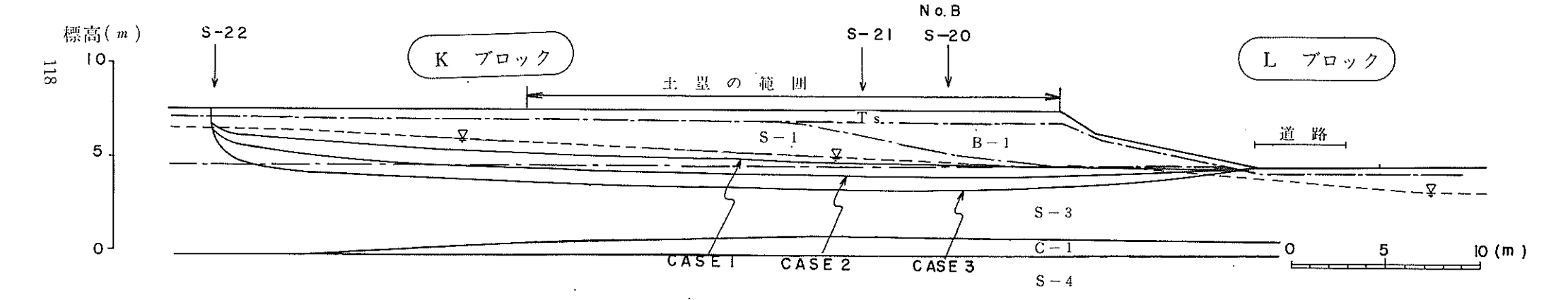


図6・3・5 スベリが発生したと考えられる地表面の被害概念図

## (a) 断面II



## (b) 断面IV



(断面IVではすべりが発達していないためにすべり面の) 位置は不明であるが、ここでは断面IIと同じ長さのす べり面を想定してみた。

図6・3・6 安定計算を行った断面

- C = 0 t/m², ø =37.8° とした
- ○過剰間隙水圧(液状化)の算出 200 gal の地表最大加速度に対して して行った。

液状化の検討に  $200\,\mathrm{gal}$  の地表最大加速度を用いる場合には,それに相当する水平 震度として, $\mathrm{Kh}=\alpha_{smax}/\mathrm{g}=0.204$  をとることがまず考えられる。しかし,図 6・3・7 に示した地震波荷重を加えた室内液状化実験によると,ピークのせん断力を受

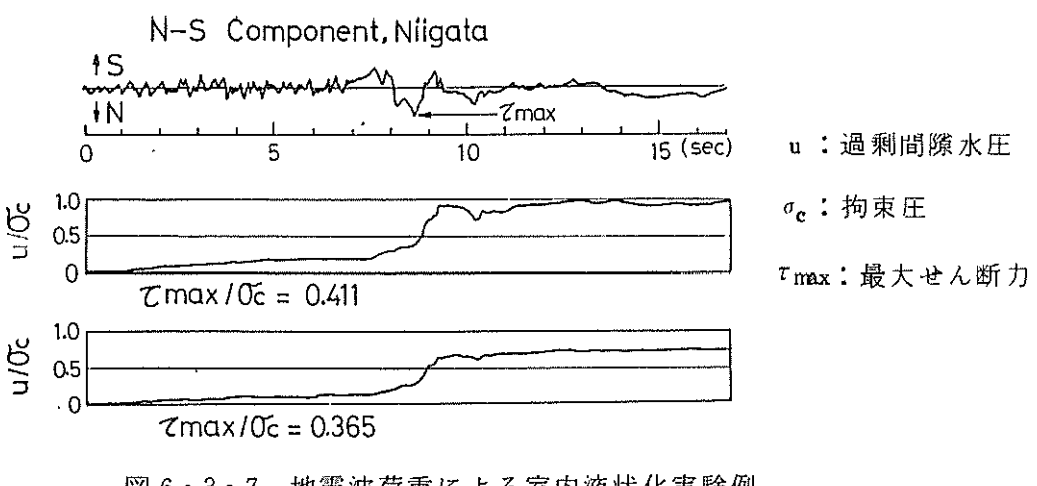


図 6・3・7 地震波荷重による室内液状化実験例 。 。 (石原・安田・1975)

けたところで過剰間隙水圧が多く発生し、その後あまり上昇しない。従って、過剰間隙水圧を考慮して安定計算を行う場合には、水平震度としてKh をとるのは、とりすぎるのではないかと最近考えられている。そこで  $\alpha_{max}/g$  の半分をとる場合についても計算を行ってみた。

その他,過剰間隙水圧は別冊資料その1の図 $G \cdot 4 \cdot 6$ に示した関係図をもとに、Fしの分布から推定した。また,強度常数C, $\phi$ はボーリングNaAでの試験結果を用いた。

## (5) すべり安定性の計算結果

安全率Fsの計算結果をまとめて示すと、表6・3・1となる。

表 6・3・1 安全率 Fs の計算結果

| 計算断面              | $F_2 \rightarrow H_2$                       | (断面Ⅱ) | (断面 IV )                                    |           |
|-------------------|---------------------------------------------|-------|---------------------------------------------|-----------|
| すべり面 震度<br>の位置 Kh | $\frac{1}{2} \cdot \frac{\alpha_{\max}}{g}$ | g g   | $\frac{1}{2} \cdot \frac{\alpha_{\max}}{g}$ | amax<br>g |
| CASE1 (浅)         | 1.499                                       | 0.759 | 3.5 1 3                                     | 2.060     |
| CASE2 (中)         | 0.984                                       | 0.532 | 2.171                                       | 1.248     |
| CASE3 (深)         | 1.530                                       | 0,830 | 1.0 4 8                                     | 0.589     |
| Fs min            | 0.984                                       | 0.532 | 1.048                                       | 0.589     |

計算結果をみると、断面 II では CASE 2、断面 IV では CASE 3 で最小の Fs となっている。  $5 \cdot 3$  節で述べたように、断面 II の途中にある下水道管は少し水平移動しており、確かに CASE 2 あたりの深さを通るすべり面で実際にすべったことがうなずける。

なお、すべり面の始点に相当する 20 号道路付近は、土塁建設前の溜池の縁付近に相当していたことは特徴の1つとしてあげられる。つまり、土塁建設のために溜池に盛った部分のみがすべった恰好となっている。

Fsmin を断面 II と断面 IV で比較してみると,断面 II の方が少し小さく,こちらの方がよりすべり易かったことが窺えよう。ただし, $Kh=\alpha max/g$  ととった場合には断面 IV でも Fsmin < 1.0 となっており,Kh としては(1/2)  $\alpha max/g$  あたりをとっておくと,事実とよく合っているようである。

この他,表6・3・2に示した3つの条件についても,安定計算を行ってみた。この 結果から次のことが考察される。

表 6・3・2 条件を変えた場合の安定計算結果

| 計算     | 条件                                               | 土層断面 Ⅱ で過剰<br>間隙水圧を考慮し<br>ない | 土層断面 IVで土塁<br>の範囲にすべり面<br>を限った            | 土層断面 II で溜池<br>埋立て前の断面                     |
|--------|--------------------------------------------------|------------------------------|-------------------------------------------|--------------------------------------------|
| 計算った   | を行理由                                             | 液状化が発生しなかった場合でもすべるか否かの判断のため  | 土塁建設のための<br>盛土のみがすべり<br>易かったか否かの<br>検討のため | 溜池を埋立てなけ<br>ればすべりは発生<br>しなかったか否か<br>の検討のため |
| 計算     | Kh = 0                                           | 計算せず                         | 5. 6 5 3                                  | 1. 4 4 3                                   |
| 結果     | $Kh = \frac{1}{2} \frac{\alpha_{\text{max}}}{g}$ | 計算せず                         | 1. 3 2 5                                  | 0. 4 2 5                                   |
| Fs min | K h =<br>αmax<br>g                               | 2, 2 4 0                     | 0. 8 0 8                                  | 0. 2 4 3                                   |

- ② 過剰間隙水圧を考慮せず、 $Kh = \alpha_{max}/g$  のみ加えて計算を行ってみると断面 II でも Fsmin = 2.240 となり、液状化しなければすべりを生じなかったのではないかと考えられる。
- ⑤ 断面  $\mathbb{N}$ については、 $6 \cdot 1$ 節で述べたように土塁が設けられていた地盤のみが緩く、すべり面はこの範囲にはいっていることも考えられたため、この範囲内での計算も行ってみたが、 $\mathrm{Kh} = (1/2)$   $\alpha_{max}/\mathrm{g}$  ととり過剰間隙水圧を考慮した場合に、 $\mathrm{Fs\,min} = 1.325$  となり、やはり断面  $\mathbb{N}$  ではすべりにくかったと言えよう。
- © 土層断面 II で,もし溜池を埋立てて造成が行われなかった場合,  $F_2$  ブロックに すべりが発生する可能性があったか否かを計算したところ,  $Kh=(1/2)\alpha_{max}$  /g でも Fsmin=0. 425 となり,すべった可能性はあったと言えよう。

## 6・4 被災の直接的な原因

これまでの調査で、地盤状況、表層の増幅特性、液状化状態、すべりの発生状況等の様子が明らかにされてきた。次節では本委員会の主目的である埋設工事等が被災に与えた影響について検討を行うが、その前にこれまで明らかにされたことをもとに、図5・2・2に示されたブロックごとに、地震時における被災の直接的な原因を考察してみた。このために、ブロックごとに、

- i )被災状況
- ii )表層の増幅特性(主として常時微動の増幅度に基づく)
- iii )表層数mの地盤の締り具合(サウンディング結果, Vs)
- iv ) 地下水位
- v)液状化特性
  - vi ) すべり安定性

をとりあげ、これらを総合して被災原因を推測した。結果を表にまとめると表 6・4・ 1 群となる。

| ブロック<br>No.    | 被災                                                     | 概況                                                                  | 表層の増幅特性                   | 表層数πの地盤の<br>*)                                                                                                            | 地 下 水 位 (12月)                                                                                                                | 被害を強めたと考えら<br>れる条件                                                   | 被災・無被災の裏付け                                                                                                                                                                                                              |
|----------------|--------------------------------------------------------|---------------------------------------------------------------------|---------------------------|---------------------------------------------------------------------------------------------------------------------------|------------------------------------------------------------------------------------------------------------------------------|----------------------------------------------------------------------|-------------------------------------------------------------------------------------------------------------------------------------------------------------------------------------------------------------------------|
| A              | 地盤変状 北東角に一部噴砂があるもののほとんど変状なし。                           | 家屋の被災状況<br>キレツ発生が2戸あるが,<br>ほぼ被害なし。                                  |                           | - 2, - 5 m付近ではNsw<br>= 20 程度と緩いが、全体<br>にNsw = 50~200と締っている。                                                               | 1~1.5 mと深い。                                                                                                                  | 400 XIT                                                              | 地盤は緩くなく, 地下水位も特に浅くないため, 液<br>状化が生じにくかったのであろう。                                                                                                                                                                           |
| В              | 東端の一部で噴砂・クラックあり。他では変状なし。                               | 東端の4戸は被災しているが、他は無被災。                                                |                           | S - 8ではNsw = 50~<br>100と緩くはない。                                                                                            | 東端では約0.7 m と浅いが<br>他では1 m 前後とやや深く<br>なっている。                                                                                  |                                                                      | 東端ではF <sub>1</sub> 地区と同様に緩く,また水位も浅かったため,液状化し易かったのであろう。他ではA地区と同様に液状化しにくかったのであろう。                                                                                                                                         |
| С              | ts U                                                   | なし                                                                  |                           | 調査していないため不明。                                                                                                              | 調査していないため不明。                                                                                                                 |                                                                      | 地形的にはB地区の西側と同様であり、液状化しにくかったのであろう。                                                                                                                                                                                       |
| D              | 南端の〔D-16〕・<br>**)<br>〔D-17〕宅のみ噴砂・<br>キレツ発生。他は変状な<br>し。 | 南半分は被害あり。<br>特に南東部では基礎の破<br>損等の大きな被害あり。                             |                           | 西側のS-26では表層が<br>Nsw = 50~100と緩く<br>はない。他の区域は不明。                                                                           | Ag-30では約0.9 mとやや深いが、他では1 m余りでや深くなっている。ただし南東端の[D-17] 宅は一段と低くなっているため、水位はかなり浅いものと考えられる。                                         | 南端の (D-16)・(D-17) 宅間では約70 cmの段差があり、液状化に加えてすべりも生じて家屋の被害を大きくしたのかもしれない。 | 南端の2戸付近ではB地区東端と同様に液状化し易かったのではないか。また、その北側の数戸でも多少液状化し易い地盤だったことも考えられる。これに対しさらに北側ではBブロック西側と同様に液状化しにくかったのではなかろうか。                                                                                                            |
| E              | 北東部では噴砂あり,また北西部では一部クラックあり。                             | 北東部の2戸では基礎の<br>破壊等のかなり大きな被<br>害あり。南東及び北西部<br>では多少被害があり、他<br>では被害なし。 | 北東部では他地区に比べて表層の増幅度が大きかった。 | 北東部のS-5ではWsw=100kg前後と緩い。その他のS-2, S-4では表層2mほどはNsw=50~100と締っているものの,その下ではNsw=10~30の緩い層が2m位存在する。またSd-3では表層5mほどVs=110m/sとやや遅い。 | 北東部のAg - 7,44-B,54では0.2~0.3 m と非常に浅い。その他でも0.4~0.5 m と浅い。<br>北東部で20号道路をはさんだAg-54とAg 44-Aとでは水位差が1 m 近くあり、何らかの作用でこれが生じているのであろう。 |                                                                      | 北東部は $F_2$ 地区と同様に地盤も緩く,水位も浅くて,さらに表層の増幅度も大きくて液状化し易かった。噴砂があり,また $F_L$ も $0.5$ 前後と小さく,液状化したことが被災の原因であろう。北東部以外では $-2 \sim -4$ mで $F_L$ が $0.5 \sim 0.7$ と小さいが,表層 $2$ mは $F_L>1$ であり,この表層が液状化しなかったために,大した被害を受けなかったものと考えられよう。 |
| F <sub>1</sub> | 噴砂はあり、またクラックや地盤沈下もあって、<br>非常に大きな地盤変状を示している。            | 傾斜や基礎の破壊等の非<br>常に大きな被害を受けて<br>いる。                                   |                           | N値は5前後,<br>Wsw <u>≤</u> 100kgと非常に<br>緩い。                                                                                  | 北側のAg-30では0.3 m<br>位,その他でも0.5~0.6<br>mと非常に浅い。                                                                                |                                                                      | 地盤は非常に緩く、また地下水位も大変浅く液状化し易かったのであろう。<br>事実噴砂も生じ、FLも0.5以下と非常に小さく、<br>液状化したことが直接の原因と言えよう。                                                                                                                                   |

<sup>\*) (</sup>例) - 5m とは, 地表下 5 mの意, 本文中 G L - 5 m もこれと同義。

<sup>\*\*)</sup>家屋の位置と番号の対応については図5・2・1参照。

表 6 · 4 · 1(b) 地盤の締りや地下水位等からみた被災状況の裏付け(その2)

| ブロック<br>Na<br>F <sub>2</sub> | 被 災地 盤 変 状 地 盤 変 状 噴砂,クラック,沈下があり,さらに北端の擁壁は北側に向ってはらみ出している。                                      | 概 況<br>家屋の被災状況<br>傾斜・沈下や基礎の破壊<br>も生じ、非常に大きな被<br>害を受けている。 | 表層の増幅特性表層の増幅度が他地区に比べて大きい。 | 表層数mの地盤の<br>締 り 具 合<br>N=2~4, Wsw=100kg<br>前後と非常に緩い。<br>Vs も-4m位まで<br>100m/s 程度と非常に<br>遅い。                                                     | 地 下 水 位 (12月) 西側は0.6~0.8 m とやや 浅いが、東側は1.2 m 前後 で、少し深くなっている。      | 被害を強めたと考えられる条件 ・・・・・・・・・・・・・・・・・・・・・・・・・・・・・・・・・・・・                     | 被災・無被災の裏付け 地盤は非常に緩く、水位は浅く、増幅度も大きく、 液状化し易かったと考えられる。 噴砂もありF L も 0.5~0.7程度と小さく液状化し たことが被災の原因であろう。すべりを生じた形跡 があり、Fs も 0.5~0.7程度と考えられ、液状化 に伴って生じたすべりにより被害を大きくしたと考 えられる。                                                                                                                               |
|------------------------------|------------------------------------------------------------------------------------------------|----------------------------------------------------------|---------------------------|------------------------------------------------------------------------------------------------------------------------------------------------|------------------------------------------------------------------|-------------------------------------------------------------------------|-------------------------------------------------------------------------------------------------------------------------------------------------------------------------------------------------------------------------------------------------------------------------------------------------|
| G                            | 南東部、および西部の<br>[G-4], [G-5]<br>宅では部分的に噴砂やク<br>ラックが生じている。<br>その他では変状なし。                          | 南側2戸および西側2戸では基礎の破壊等の被害があるが、その他では被害なし。                    |                           | 南部では表層2 mほどNsw = 50~200とやや締っているが、その下部にNsw < 30 の緩い層が1~1.5 m 存在する。少し北側のNo.D 地点ではN=10 前後と比較的締っている。さらに北東部になるとN=5 前後と緩くなる。ただし、この緩い砂層の厚さは、2 m程度と薄い。 | 1.5 m とやや深い。西部で                                                  | 西部の〔G-4〕,〔G-5〕<br>宅は一段高くなっており,<br>液状化に伴ってすべりが生<br>じ,被害を大きくしたと考<br>えられる。 | 南部では噴砂は一部しか生じていないものの、地下水位以下で $F_L = 0.6 \sim 0.9$ と小さく、液状化した可能性はあろう。この液状化によって〔 $G-10$ 〕、〔 $G-11$ 〕宅は被害を受けたのではなかろうか。西側の〔 $G-4$ 〕、〔 $G-5$ 〕宅では噴砂が生じていることと、一段高くなっているため、液状化とそれに伴うすべりによって被害を受けたのであろう。北東部のコミュニティセンターでは地盤は緩く、 $F_L$ も $0.8$ とやや小さく、地下水位以下では液状化した可能性があるものの、深度はやや深く、クイ基礎のため無被害であったのであろう。 |
| H <sub>1</sub>               | 北東の [H-2], [H-3]<br>宅は噴砂あり。その他の<br>宅地では、クラックが生<br>じ、 [H-7], [H-8]<br>宅では北側の擁壁が北方<br>へはらみ出している。 | や基礎の破壊等の大きな<br>被害を受けている。                                 |                           | 北東部の [H-2], [H-3]<br>宅では表層 2.5 m まで<br>Nsw=20~50, N=1<br>~3と緩い。<br>南部ではNsw=50~100<br>のやや締った砂層が3 m位<br>存在する。                                    | 深いが、北東部の2戸では<br>0.7~0.8 m とやや浅い。<br>西部は一段高くなっている<br>ため、北東部より少し深い | F2 地区から続くすべりにより南部の2戸は被害を大きく受けたのではなかろうか。                                 | 北東の $\{H-2\}$ , $\{H-3\}$ 宅では噴砂もあり、 $F_L$ も $0.5\sim0.7$ と低く、液状化により被害を受けたと考えられる。南側の $\{H-7\}$ , $\{H-8\}$ 宅では液状化した深度は深いものの、 $F_2$ 地区から続くすべりにより被害を受けたのではなかろうか。西部の $2$ 戸では噴砂が生じていないものの、 $2$ ラックはひどく、地盤内で液状化は生じたのかもしれない。                                                                           |

| ブロック<br>Na     | 被 災 地 盤 変 状               | 概 況<br>家屋の被災状況                                | 表層の増幅特性        | 表層数 m の地盤の<br>締 り 具 合                                                                                                                                       | 地 下 水 位 (12月)                                                       | 被害を強めたと考え<br>られる条件 | 被災・無被災の裏付け                                                                                                                                                        |
|----------------|---------------------------|-----------------------------------------------|----------------|-------------------------------------------------------------------------------------------------------------------------------------------------------------|---------------------------------------------------------------------|--------------------|-------------------------------------------------------------------------------------------------------------------------------------------------------------------|
| H <sub>2</sub> | 変状なし。                     | 被害なし。                                         | 表層の増幅度は比較的人きい。 | サウンディングは行ってないが、H, と同様と見られる。                                                                                                                                 | 北部のAg - 52では 1.4 m<br>前後とやや深い。南部は一<br>段と高くなっているので、<br>それより深いと考えられる。 |                    | 西側のH <sub>1</sub> 地区と同様に溜池を埋立てられて造成され、また東西に擁壁も同様にあるが、無被害である。この理由として考えられることは、地盤はやや緩いものの、②(図6・2・1)による排水効果と、暗渠排水工(図6・2・3)の影響で、H <sub>1</sub> 地区よりは水位が下がっていたことがあげられる。 |
| I              | 変状なし。                     | 家屋のキレツ程度の被害が半数の家で発生。<br>どちらかと言うと南側の<br>み被害あり。 | 表層の増幅度は大きい。    | S-18 は元の堰堤にあたり<br>そこではNsw=50~100<br>と締っている。<br>他では緩い砂層が存在する<br>と考えられるが層厚は2m<br>前後と厚くないであろう。                                                                 |                                                                     |                    | 噴砂はなく液状化の痕跡はないが、堰堤より南側では地盤も緩く水位もやや浅いため水位以下の層で液状化したことは十分考えられる。ただし、液状化したとしてもその層厚は2m以内と薄く、大被害とはならなかったのであろう。なお、表層の増幅度は大きいため、振動は他地区に比べて大きかったことも被害を生じた原因の1つと考えられよう。     |
| J              | 変状なし。                     | 被害なし。                                         | 表層の増幅度は大きい。    | 不明                                                                                                                                                          | 1.5~2 m 前後と浅くはない。                                                   |                    | 水位が深かったのが無被災の1つの原因かもしれな<br>い。                                                                                                                                     |
| K              | 南西端で一部沈下があるものの、それ以外は変状なし。 | 西側の一部では塀の被害があるものの, それ以外なし。                    |                | ボーリングNo.BではN=1<br>~5程度の非常に緩い層が<br>約6mも存在する。南側の<br>K2では極く表層でNsw <<br>50の緩い層があるものの,そ<br>の下ではNsw=100~200<br>と締っている。ただし,S-<br>23では表層3m位はNsw<br><100の緩い層が雑積している。 |                                                                     |                    | 北側のボーリングNo.B付近では表層に緩い層があり<br>液状化した可能性はあるが、水位が低いため家屋に<br>被害を与えなかったのであろう。<br>その南側は砂丘を切った所のようであり、水位は高<br>くても表層は締っており、液状化は生じにくかったの<br>ではなかろうか。                        |
| L              | 変状なし。                     | 被害なし。                                         | 表層の増幅度は大きい。    | サウンディングは行なっていないが、北側のSd - 8ではVs = 87m/s と非常に遅い。                                                                                                              | 0.7~1.3 mである。                                                       |                    | 旧地形は湿田であり、標高から考えると表土の下に<br>粘性土 (C-1) が堆積していると考えられ、液状<br>化する砂はなかったと考えられよう。                                                                                         |

## 6・5 被災に与えた埋設工事および溜池埋立による宅地造成工事の影響

#### (1) 検 討 方 法

前節までにみてきたように、日本海中部地震による松美町および松美ケ丘東町の家 屋被災の直接の原因は、主に表層地盤の液状化にあると言うことができよう。

液状化の発生に影響を与える要因としては、一般に、①密度(締まり具合)、②地下水位、③粒度組成、④地震動の大きさ、等かあげられる。これらのうち、埋設工事や溜池埋立工事の施工によって変化する条件としては、主に①、②があげられる。

そこで、本節では、工事の種類ごとに、①および②に着目して、工事を施工したことによってこれらがどう変化し、それが液状化や、さらに家屋の被害の発生条件をどのように変えたかを検討してゆく。

#### (2) 下水道管等の地下埋設工事の影響

- a 検討のポイント
  - 5・3節で述べたように、 $F_1$ 、 $F_2$  ブロックの北側にある 13 号道路に、下水道管を埋設する工事の際に、振動などが大きく、 $F_1$ 、 $F_2$  ブロックの家屋に被害を与えている。この工事によって地盤を緩めたため、 $F_1$ 、 $F_2$  ブロックで特に液状化が生じ易くなった可能性がまず考えられる。

また、 $F_1$ ブロックでは矢板が埋残しになっており、これによって地下水の流れをくい止め、 $F_1$ ブロックの地下水位を上昇させて液状化による被害を生じ易くさせた可能性も考えられる。さらに、矢板が埋残しになっていない $F_2$ ブロックでも、埋設管や埋戻し土が水の流れを悪くし、地下水位を上昇させて液状化し易くしたことも考えられる。

このような可能性について,以下に検討を行ってみた。

- b 地盤の締り具合に与えた工事の影響
  - 5 · 2 節で述べたように、13 号道路に下水道管を埋設する際、付近の家屋や地盤に亀裂や沈下等の被害が生じた。工事の過程を追ってみると、
  - ② 矢板打設時の振動やそれによる地盤沈下による被害
  - ⑤ 掘削工事中の矢板のはらみ出しによる被害
  - © 掘削工事中の水の汲み出しによる地盤沈下にともなう被害
  - (d) 矢板引抜き時の地盤沈下による被害

が生じたことが考えられる。ところが、5・3節で前述したように、当時の工事担当者の話によると、被害は、②と②の段階で生じ、⑤②の段階では生じていないようである。②では、水の汲み出し量も比較的少なかったようである。

そこで、②や④が地盤の緩み具合に与えた影響を、①土木工学的な経験や解析による評価と、②現場試験的評価の2面から考察してみた。

まず、①の面から②について考えてみると、矢板の打設時の諸振動によっては、 その効果がかなり広く及ぶこともあると推察される。

ただし、この場合は、地盤を緩めるというよりは、むしろ締固めるように働くと考える方が自然である。特に、対象としている盛土層や上部砂質土層は、細粒分の少ない"きれいな砂"であり、振動によって締固まり易い性質を有している。 ①では、地盤を緩めるようにも、また締固めるようにも作用することもあり得るが、その影響範囲は、工事の近傍に限られていると考えられる。

次に、②の面の調査として、標準貫入試験とスウェーデン式サウンディング結果から考察してみた。

これまでは、13 号道路における下水道管工事の影響のみをとりあげてきたが、この他、同様の規模の工事が行われたものとして、 $F_1$ 、 $F_2$  地区の南側を走る20 号道路の工業用水管工事がある。この場合も、管の周辺地盤の締り具合を比べてみても、下水道管と同様に特徴は見受けられない(例えば、管に近接しているS-5 の締り具合も、 $F_1$ 、 $F_2$  ブロック内のそれと同程度)ようである。その他の水道管、

ガス管はさらに浅い所に埋設されており、この工事により、特に地盤を緩めたとは考えにくいであろう。

ところで、 $F_1$ 、 $F_2$  ブロックでは、数 10 cm の表土層(Ts 層)の下に、 $2\sim 4$  m の厚さでN 値  $= 2\sim 5$  、Wsw=100 kg と非常に緩い盛土層(土塁跡)が堆積している。この盛土層が液状化して家屋に被害を与えたと推測されるが、同様に、緩い盛土層は、 $K_1$  ブロック(ボーリングNo B付近)まで続いている。この区域は、溜池や水田上に、丁度陸軍による土塁が造られていたところである。ボーリングNo B付近では下水道工事は行われていないことと、 $6 \cdot 1$  節で前述したように、土塁は緩い状態で施工されたと考えられるため、 $F_1$ 、 $F_2$  ブロックの地盤は、もともと緩い状態にあったのではないかと判断されよう。

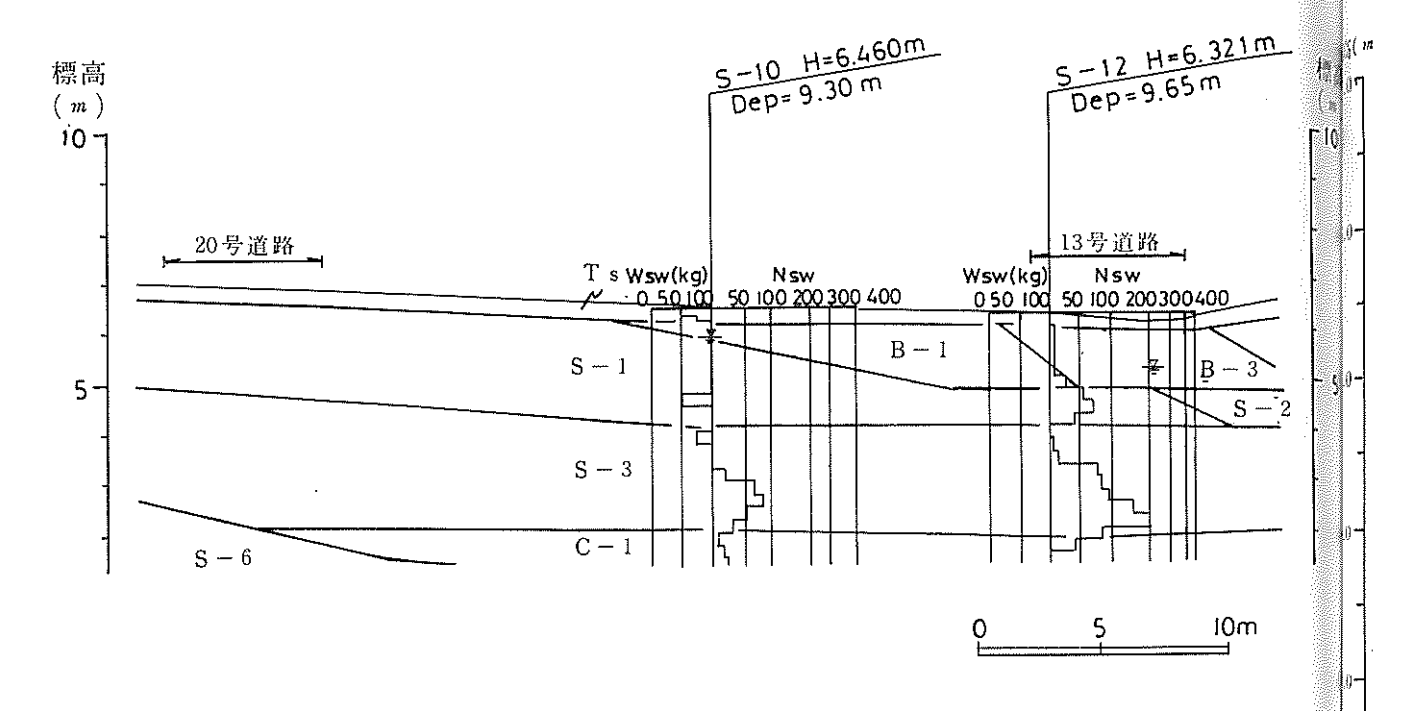
ただし、これらの判断は、地震後の地盤調査にもとづいたものであることを頭に入れておかねばならない。今回の地震で液状化した秋田港や、宮城県沖地震(1978)で液状化した石巻港では、地震前後でN値が変わっていないという報告があるが、新潟地震(1964)の際には、新潟市でN値が多少変化したという報告もある。従って、ブロック内の地盤の締り具合が、地震前は多少異なっていたこともありうるであろう。

## c 地下水流および地下水位に与えた工事の影響

地下水の流れに与えた工事の影響として,まず,埋残しになっている矢板の影響が最も大きいと予想される。図  $6 \cdot 5 \cdot 2$ (a)は,埋残しになっている所の南北方向の断面を示したものである。矢板より南側のAg - 38 と北側のAg - 39 では約  $50 \sim 60$  cm の水位差があり,埋戻し土内のR - 1 とも約 30 cm の水位差がある。地震当時の水位は明らかではないが,この程度の水位差はあったものと推察されよう。この付近では, $6 \cdot 2$  節に示したように,南西→北東への地下水の流れが卓越していると考えられ,埋残しの矢板のために,水位差が生じたことは十分考えられる。

ところで、一般に、この種の障壁によっては、上流側の水位の上昇と下流側の下降とがほぼ同程度生じるので、矢板工事前の地下水位面からの、矢板を埋残したことによる地下水位の上昇量は、図 6・5・3 のように、両側の水位差の実測値の半分程度と考えられる。従って、矢板の埋残しによって地下水位が 25~30 cm 程度上昇した可能性があると判断される。

## (a) 断面 I (F<sub>1</sub> ブロック)



# (b) 断面II (F<sub>2</sub> ブロック)

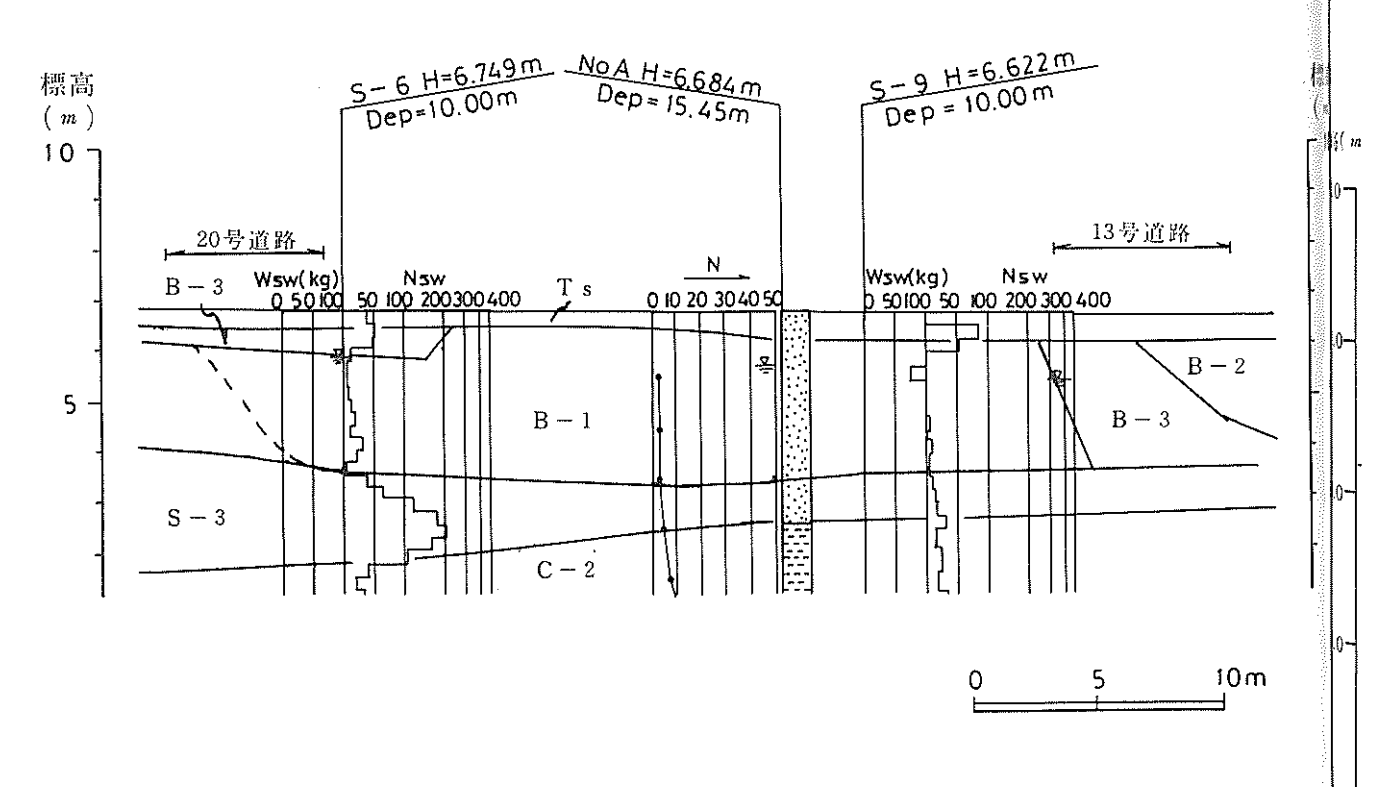
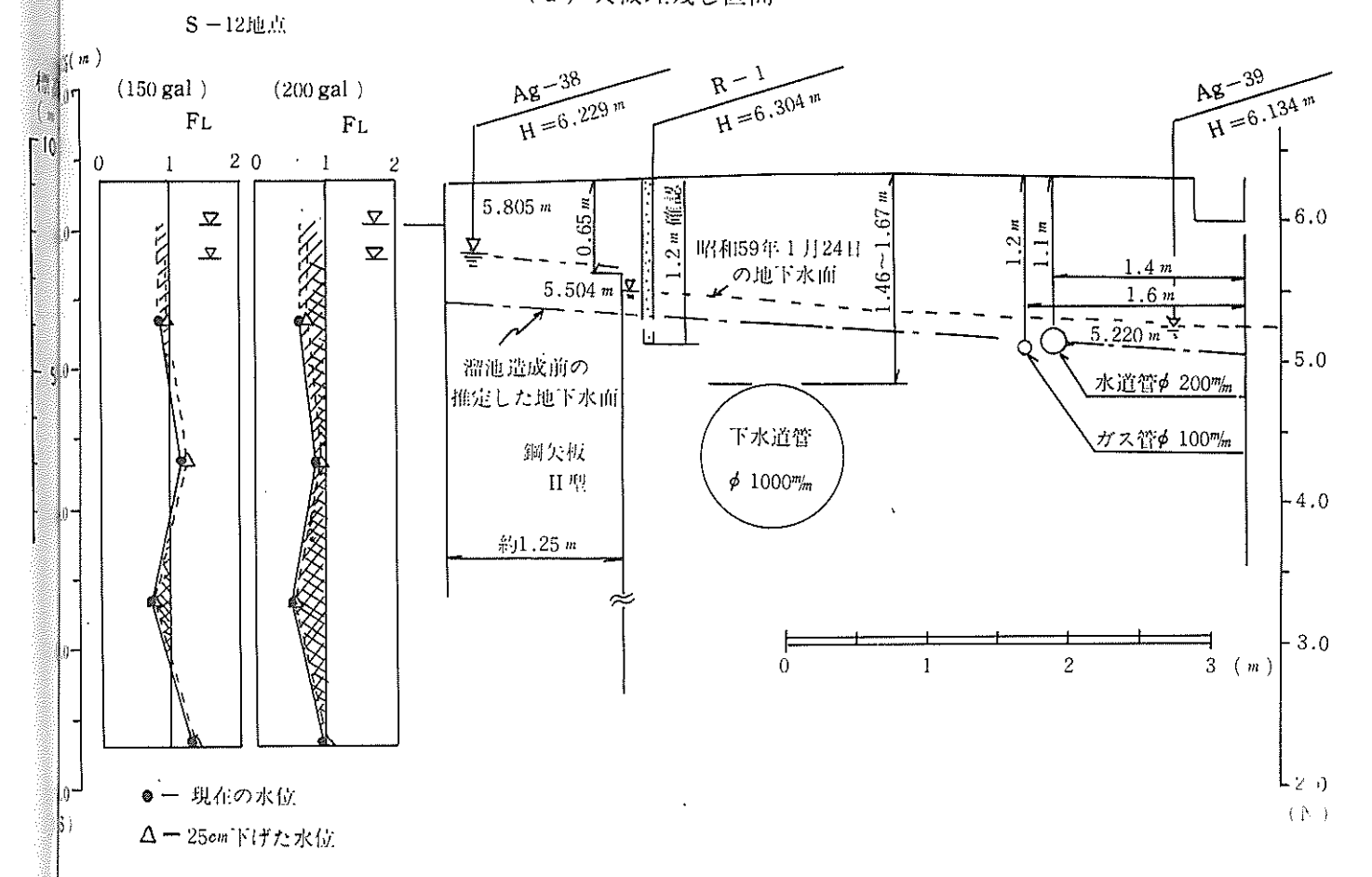
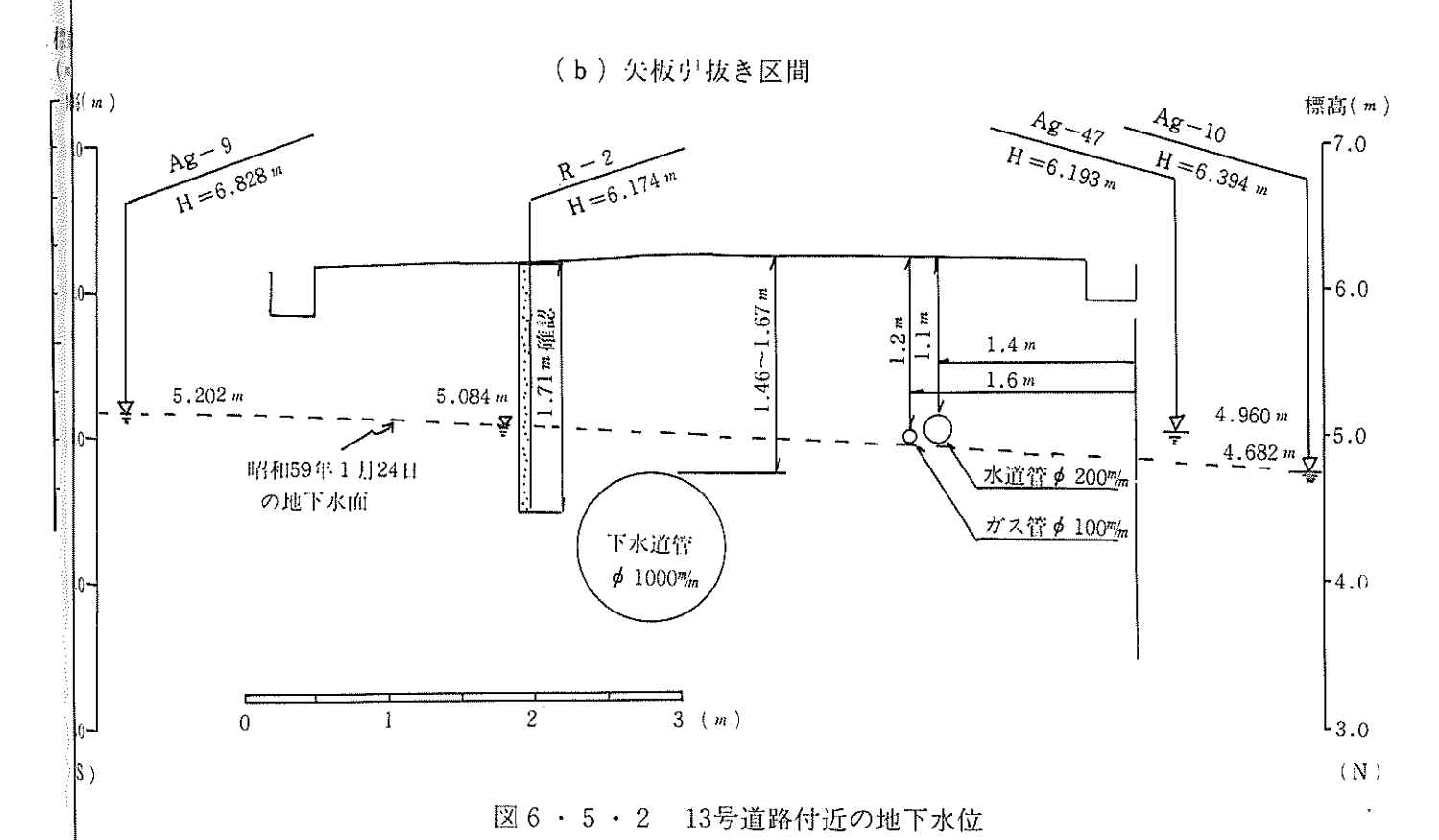


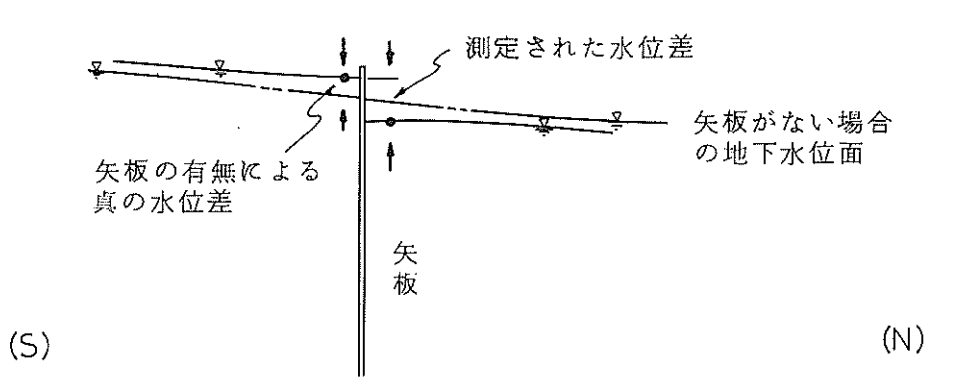
図 $6 \cdot 5 \cdot 1$   $F_1$ ,  $F_2$  ブロック内の地盤の締り具合の比較

## (a) 欠板埋残し区間





## (a) 遮水している場合



## (b) 矢板上を越流している場合

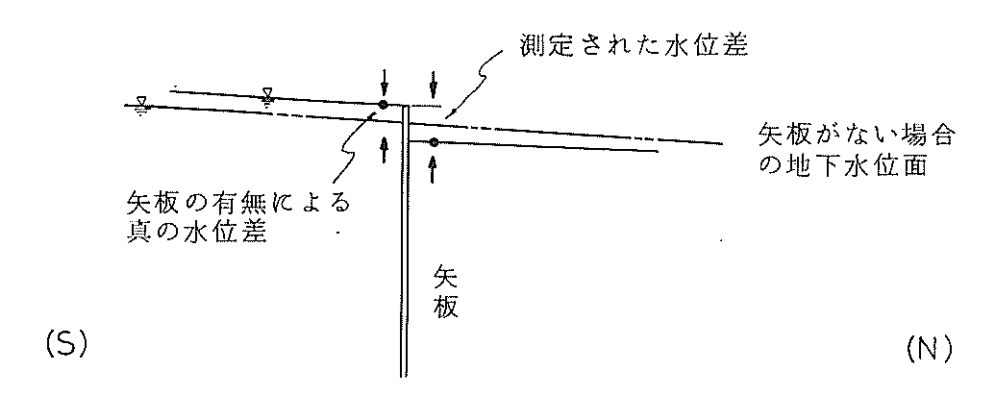


図 6.5.3 矢板上流・下流側での水位差の考え方

図  $6 \cdot 5 \cdot 2$ (a)には,矢板のすぐ南側に位置している S-12 地点での  $F_L$  の計算結果も示している。 12 月 15 日の水位での  $F_L$  が・印であり,上述の考察により, もし矢板が抜かれていたら,水位は 25 cm 程度下であったと仮定して試算してみた  $F_L$  が $\Delta$ 印である。

水位が  $25 \, \mathrm{cm}$  低いと  $\mathrm{F_L}$  は大きくはなるものの、地下水位以下で  $\mathrm{F_L}$  < 1となっており、液状化する可能性はあったと考えられる。

また、地表からの非液状化層厚も 200 gal の地表最大加速度を仮定した場合に 0.6 m、 150 gal の地表最大加速度で 1.1 m となり、やはり家屋や地盤の被害は 生じる可能性はあったと言えよう。

次に、埋残し以外の区間で、埋設管および埋戻し土の施工が地下水位に与えた影響についてみてみる。図  $6 \cdot 5 \cdot 2$  (b) は、 13 号道路での下水道管付近の地下水位を示している。南側の Ag - 9 から北側の Ag - 10, Ag - 47 にかけて  $20 \sim 50$  cm の水位差となっており、矢板区間での約 50 cm の水位差より多少小さくなっている。 両区間で埋戻し土の透水性および管径は同じとみなしてよく、矢板区間ではさらに矢板による遮水効果があるため、矢板のある区間の方が、上流側の水位を工事によってあげた量は大きいとみなしてよいであろう。従って、 $F_2$  ブロックでは埋設工事によって水位が多少あがったとしても $F_1$  ブロックほどではなく、その影響はより小さかったものと考えられよう。図  $6 \cdot 5 \cdot 2$  (b) および 20 号道路での同様の水位 観測結果をよく見ると、埋戻し土部分では多少水位が一旦下がるような傾向も示しており、逆に、埋設管および埋戻し土部分が排水路のようになっている可能性も考えられる。つまり、図  $6 \cdot 5 \cdot 2$  (b) の図に垂直な東西方向に道路はかなりの勾配をなしているため、埋設管周辺の透水性が良いと、ここが排水路の役目を果たして、東の方向に地下水が流れ出していることもあるのかもしれない。

5・3節で述べたように、埋戻し土の透水係数は周囲の地盤と同程度か多少小さめと推測されるので、このようなことが生じていたら、埋設管の周囲に少し水みちができているのであろう。

以上のことを総合してみると、地下埋設工事のみが地震による家屋、地盤の被害 に与えた影響は少ないと判断される。ただし、次節で述べる溜池埋立工事による水 位の上昇と、地下埋設工事のそれとは合わせて考える必要があり、それについては、

次に述べることとする。

この他,埋戻し土部におけるFLを計算してみたところ,R-1地点ではFL>1となり,また,R-2地点では $GL-2\sim3$  mでFL<1となるものの, $0.8\sim0.9$ とさほど小さくなく,周囲の地盤に比べて液状化はし難かったと考えられる。事実,地震の際に,道路自体は大した被害を受けていなかったのも,このことを物語っているのであろう。

なお、これまでは 地震後約半年たった12月3日~1月25日の間に測った地下水位をもとに検討を進めてきた。この期間内にも、<math>Ag-38 (矢板のすぐ上流側)で 21 cm, Ag-20 ( $F_1$  ブロックの中央)で 20 cm の水位変動があり、地震当時では、また異なった水位であったことも考えられよう。

### (3) 溜池埋立による宅地造成工事の影響

#### a 検討のポイント

G,  $H_1$ ,  $H_2$ , I, J ブロックは溜池を埋立てて造成されたが,この造成工事によって,地下水位を変えた可能性がある。特に $F_2$  ブロックは地下水の上流側にあたり,下流側の流れを止められて地下水位が上昇し,そのために液状化し易くなったことが考えられる。そこで,このことについて,以下に検討を行ってみた。

#### b 溜池埋立が地下水位に与えた影響

 $F_2$  ブロックから $H_1$  ブロックにかけての断面 I のうち、 13 号道路付近の部分を示すと、図  $6 \cdot 5 \cdot 4$  となる。図に太実線で示した面が溜池を埋立てる前の想定地表面である。溜池の縁の①、②は折れ曲った面となっているが、一応、

a)①または②の単一勾配をもつ面の縁が造成前に存在していた。

6)

- b)砂質シルト(C-1)層は不透水層となっている。
- c) Na C (公園) まで測ると、もはや埋立工事に影響されなく、地下水位は一定である。

との仮定を設けて、Iterson の式にて溜池埋立前の自由水面を推定してみると、図  $6 \cdot 5 \cdot 4$ (b)、(d)の破線となる。また、図  $6 \cdot 5 \cdot 4$  は、 $F_2$ 、 $H_1$ の範囲 のみの推定地下水位を示しているが、断面 II 全体で示すと、図  $6 \cdot 5 \cdot 5$  となる。溜池のうち、Y 付近では造成前に水があまりなかったことや、S-9 付近で "造成前に 1.5 m 以上 堀っても水が出なかった" との住民の話とも、この地下水面は矛盾していなく、こ

の推定値は、かなり妥当なものと考えられる。

造成前の想定水面によると、No.AやS-9地点付近で地下水位は地表面下  $1.5\sim 2.0$  m位となっており、造成工事により、 $F_2$  ブロックの地下水位を  $0.5\sim 1.0$  m位上昇させた可能性はあると考えられる。この上昇水位量には埋設工事の影響も含まれているが、その値は、前節に述べたように小さいと考えられる。

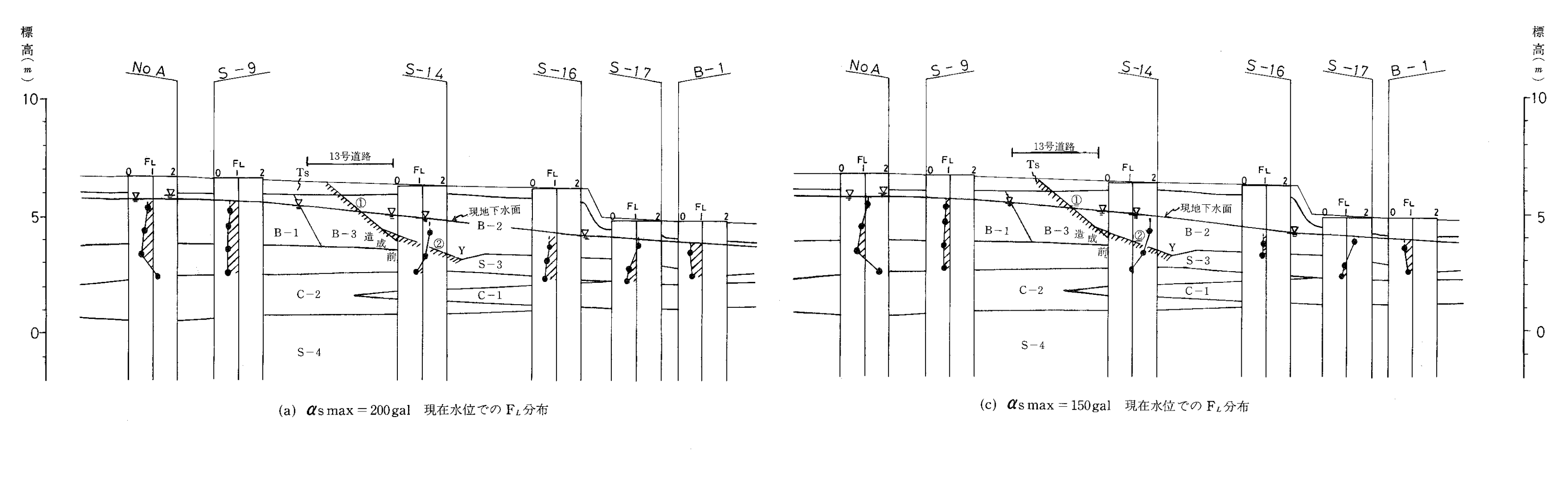
これだけ水位変動があったと考えた場合に、被害に与えた影響をみてみるために、造成前推定水位で液状化の検討を行ってみた。図  $6 \cdot 5 \cdot 4(b)$ , (d) にその結果を示したが、ボーリングNo A や S - 9 地点では、200 gal の地表最大加速度を仮定した場合に地下水位以下で、また、150 gal の地表最大加速度を仮定した場合には地表面下  $2.0 \sim 2.5$  m より下層で、液状化する可能性があると計算された。

従って、非液状化層は、それぞれ 1.5~2.0 m, 2.0~2.5 m となる。この値は、6・3 節で前述したように、液状化により家屋や地盤が被害を受ける限界値あたりに相当しており、仮に溜池埋立が行われなかった場合に被害を受けなかったか否かは、判断し難い。

次に、 $F_1$  ブロックについてみてみると、 $F_1$  → G にかけての断面 I を見てわかるように、溜池の深さは 2 m 程度と推定される。これは、 $F_2$  →  $H_1$  ブロックでの断面 I での深さの約半分であり、造成による水位変動があったとしても、断面 I のそれより小さいと考えられる。ただし、前節で述べたように、 $F_1$  ブロックでは、矢板埋残しによる水位上昇が  $25\sim30$  cm 程度あると考えられるので、結局、両者をあわせて考えると、 $F_1$  ブロックの埋設および埋立工事による水位の上昇も、 $F_2$  ブロックのそれに近い値ではなかったかと推察される。ただし、溜池埋立による $F_1$  ブロックの水位上昇量は $F_2$  ブロックのそれほどは明確でない。

なお、溜池埋立工事および埋設工事が行われなかった場合、被害が軽かったか否 かということに関しては、次のような事実について考察を要する。

i)図6・3・3のうち、壁のみの被害は液状化に直接起因していないことも考えられ、これを除いてみると、被害の種類と非液状化層厚に明確な傾向があるとは言い切れない。例えば"基礎と土台のはずれ"の場合は非液状化層厚が薄くなっているが、近くにサウンディングを行っている箇所についてみると、これに該当するものは、F<sub>1</sub>ブロックの1軒のみである。一方、サウンディングは行っていない



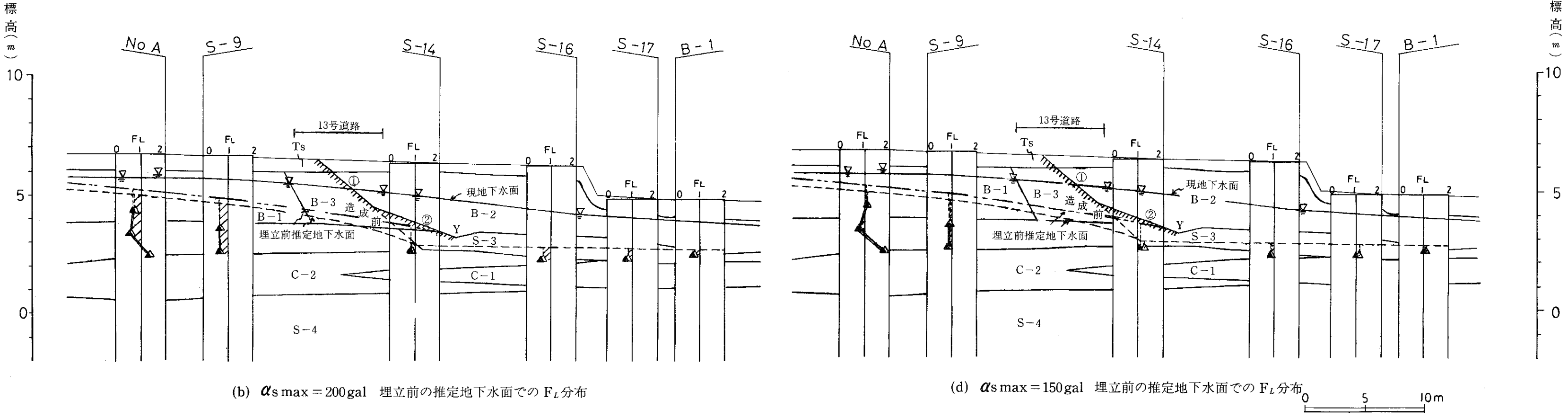
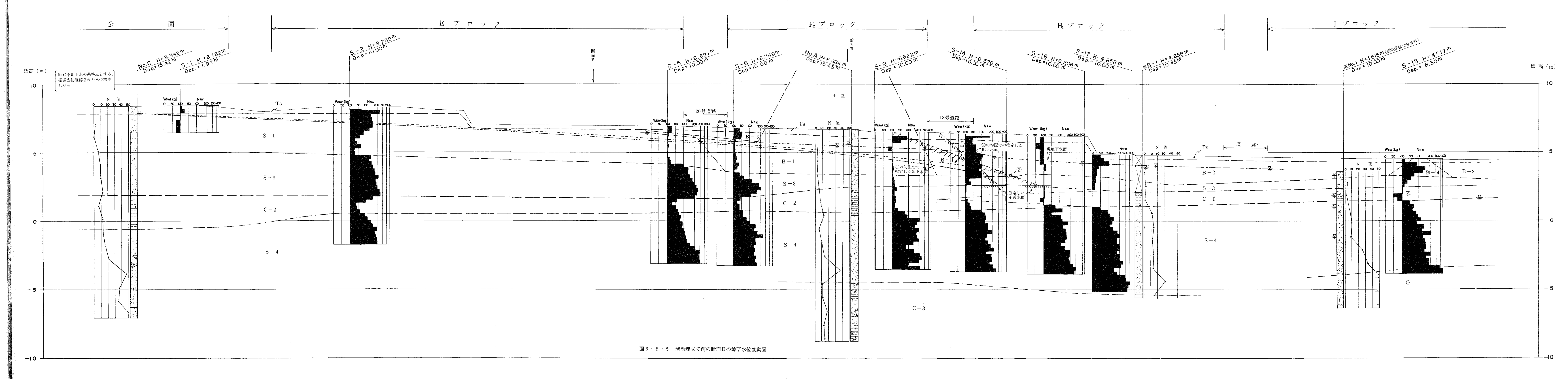


図 $6 \cdot 5 \cdot 4$  溜池を埋立てたことによる地下水位, $F_L$ の変動



ものの、やはり基礎と土台がはずれた家屋で非液状化層厚が 1.5 m 程度あると考えられるものもある。

- ii )別冊資料その 1 (G) 3 で述べているように、基礎の沈下が支持地盤のパンチせん断や局所せん断によって生じている場合には、非液状化層厚に"ある限界"があり、その限界を超えるか否かで被害を受けるか否かが決定されるような被害機構であることも考えられる。
- iii ) F ブロックにおける埋立前推定非液状化層厚〔200 gal の場合 1.5~2.0 m;
   150 gal の場合 2.0~2.5 m〕と同程度または近い値を示す個所の現時点(地震時)での分布範囲をみると、①200 gal の場合は、7 ケ所ある(図 6・5・6、図 6・2・1)。

\*3) その内訳は、S-2 (1.90 m) 、S-3 (1.90 m) 、S-8 (2 m) 、S-26 (1.90 m) 、S-2 (1.90 m) 、S-8 (2 m) 、S-26 (1.90 m) 、S-23 (1.60 m) 、S-4 (1.90 m) 、S-15 (1.47 m) で これらの個所は、Fブロック周辺地区の"無被害"個所(S-2、S-3、S-23 S-26、S-8)であるか、近くの家屋の壁に亀裂が出来た程度(S-4)、あるいは、基礎に"小さなひびわれ"を生じた程度(S-15)の"被害"個所である。従って非液状化層厚が1.5~2.0 mの範囲は"被害"か"無被害"かの極めて限界的な状況範囲ということができる。

しかし、②  $150 \, \mathrm{gal}$  の場合(図  $6 \cdot 5 \cdot 7$ )には、 $200 \, \mathrm{gal}$  の場合とはやや異なり、非液状化層厚が限界的な状況の範囲内( $2.0 \sim 2.5 \, \mathrm{m}$ )に入るのは、1 個所

<sup>\*1)</sup> 図6・3・3(a)(前出, P 114)のヒストグラムの資料の中で, アスタリクス印(\*~\*\*\*\*)の付いた個所は, ここでは除外した。

<sup>\*2)</sup> これらの個所では、地下水位は割合浅く、とくに、S-2、S-4、S-23では1.1 m以 内である。つまり、地下水面下でも地盤が比較的しまっているために、液状化しにくい層があ るのである。

<sup>\*3) &</sup>quot;無被害"個所に分類されているものの,「10 m離れた所に地盤沈下家屋の壁に亀裂」の程度の被害がある。

<sup>\*4)</sup> 壁のみの被害は、液状化には直接起因していない、という考え方もある。〔前出, i )〕

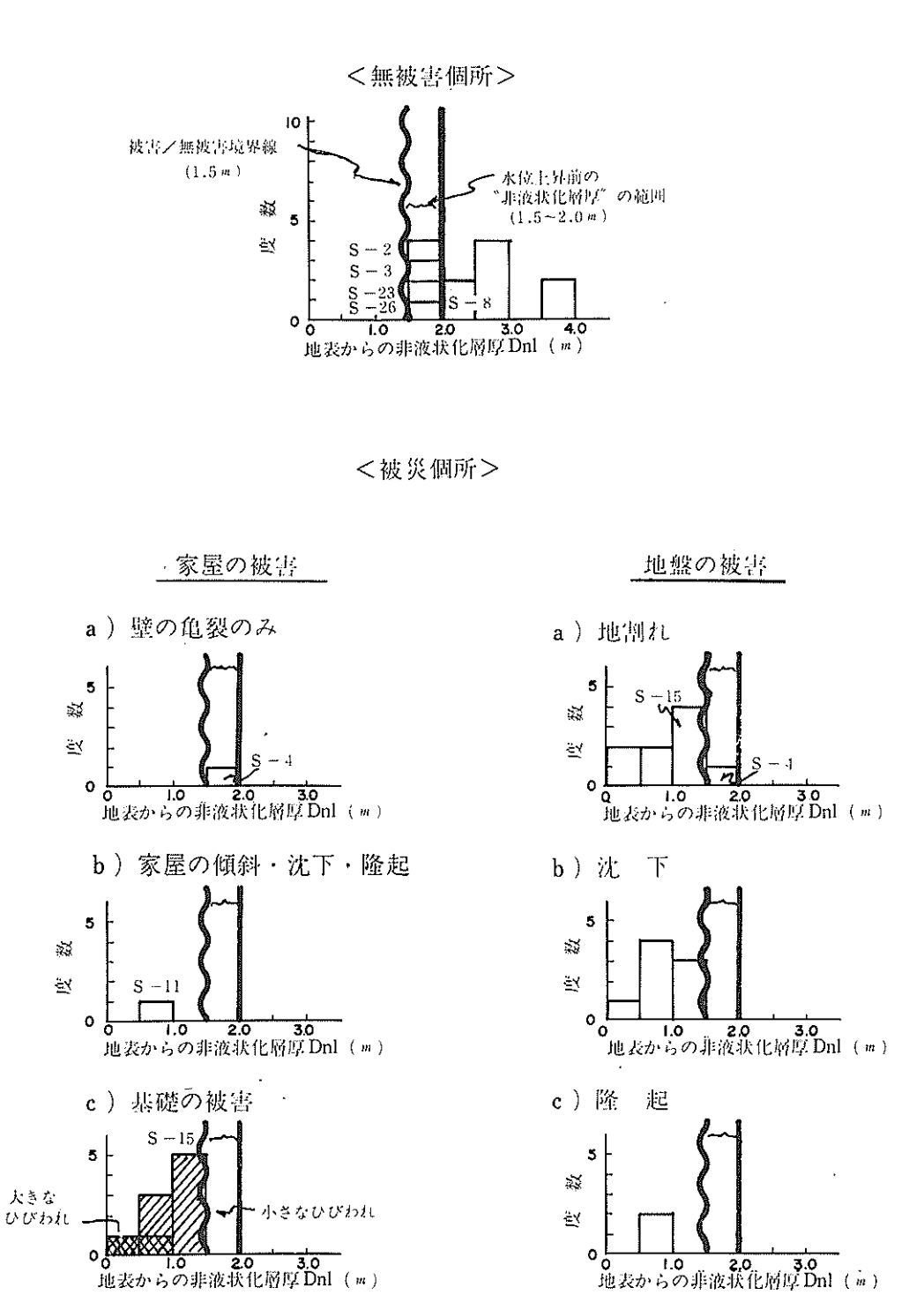


図6・5・6 地表からの"非液状化層厚"と被害・無被害の関係(200 gal)

(d) 噴砂・噴水

, 0 1.0 2.0 3.0 地表からの非液状化層厚 Dnl ( m )

**5** 첧

Ξ¥

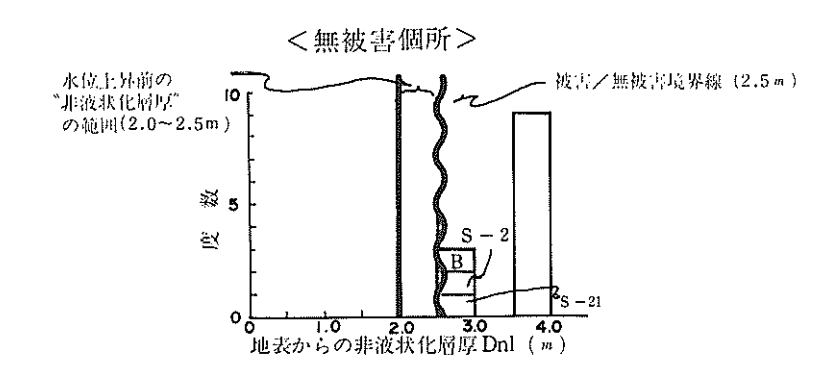
d) 基礎と土台がはずれた

0 I.O 2,O 3.O 地表からの非液状化層厚 Dnl (m)

5

24

≝ 0



## <被害個所>

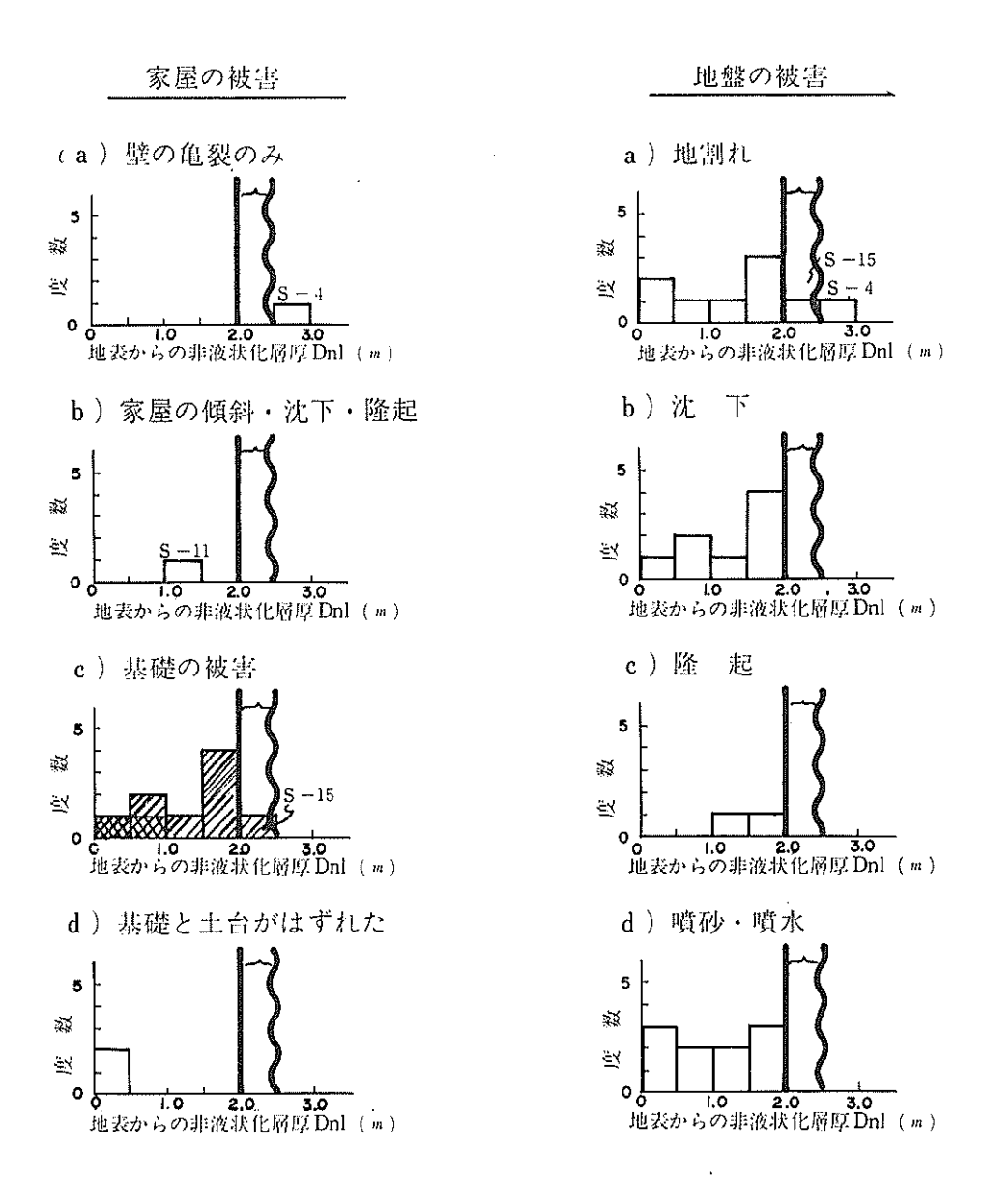


図6・5・7 地表からの"非液状化学厚"と被害・無被害の関係(150gal)

(S-15) で、200 gal の場合に限界的状況範囲内にあったS-2 のほかの"無被害"個所は、被害/無被害境界線の2.5 mより厚い側に移行する。また、被害個所のS-4 も限界線以上となる(2.80 m)。

なお、①の場合は、限界的状況範囲( $1.5 \sim 2 m$ )は、被害/無被害境界線の 1.5 mより無被害側にあるが、②の場合の限界的状況範囲( $2.0 \sim 2.5 m$ )は、被害/無被害境界線の 2.5 mより、被害側にあることが注目される。

- iv)家屋の基礎の被害(破壊)の程度を図 6・5・6 でみると、非液状化層厚が 1.0 ~ 1.5 mの 5 ケ所は、すべて"小さなひびわれ"であるが、0.5~1.0 mでは 3 ケ所の中1 ケ所が"大きなひびわれ"となり、0.5 m以下の 1 ケ所も"大きなひびわれ"である。このことに関する限りでは、被害の程度と非液状化層厚との間には、ある程度の相関があるようにも思われるが、なおデータ数は十分ではない。 v)いっぽう、家屋の被害がひどかった個所、とくにボルトの有無にかかわらず"土台と基礎がはずれた"程度の被害家屋が 9 戸あるが、その中の 1 戸 [F-1宅]では、非液状化層厚は、0.31 mと非常に薄い。その他の 7 戸も、サウンディング資料はないが、地下水位はいずれも浅い(0.4~0.8 m)ので、非液状化層厚も当然その程度に薄いものと考えられる。
  - 従って、上述 iv)の場合を考え合せれば、被害の程度(大小)と非液状化層厚の間には、どちらかといえば、漸移関係があるようにもおもわれる。このことは、前記 i )に述べた所とは一見矛盾するが、 $F_2$  ブロック東北隅の [F-10] 宅の場合のように、地下水位( $1.4\sim1.5$  m程度)から推定される非液状化層厚が被害/無被害境界線すれずれの値(図  $6\cdot2\cdot1$ )であっても、基礎と土台がはずれ、噴砂・沈下・隆起を生ずるような大被害を蒙むった個所もあり〔前出 i )〕被害を受けた機構は、やはり複雑である。
- vi)被害を強めた要因としては、液状化に伴なって地盤全体に起きたすべりを考える必要がある。 $F_2$  ブロックには明らかにすべりが認められるが、 $F_1$  ブロックにもある程度のすべりの存在がうかがわれる。 $F_1$  ブロックのすべりについては埋残

<sup>\*5)</sup> 被害調査アンケートでは、基礎の壊れ方の程度が4段階(小さなひびわれ・大きなひび われ・段差ができた・ブロック状)に分けられている。

し矢板が多少阻止効果として働いた可能性もある。

- / J,溜池造成工事が行われる前の安定解析結果(表  $6 \cdot 3 \cdot 1$ )によると $F_2$ ブロックにおける安全率は低い値を示しており,工事が行われなくても,もともと地盤全体がすべり易かったと言える。

また、この場合のすべりの影響範囲については一概に言い難いが、F<sub>1</sub>ブロックもこのすべりに影響されていたことも考えられる。従ってこのようなすべり発生の可能性から推察すると、地下水位の上昇がなくてもFブロックの家屋は被害を受けていたことも考えられる。

vii)今间の液状化の検討では液状化に対する抵抗率 FL を用いている。この計算に用いた定数は地震後の測定データに基づくものであるほかいくつかの仮定のもとに決定されている。また計算式自体も簡易式を用いているためいくらかの誤差が含まれている。vi)まではかなり細かい見方をしてきたが、このような誤差が含まれており、絶対的な評価とは言いきれない。

以上、溜池埋立工事とさらに埋設工事が、 $F_1$ 、 $F_2$  ブロックの地下水位の変化およびそれにより地震被害に与えた影響について検討してきたが、まとめてみると次のように結論づけられる。

 $F_1$ ,  $F_2$ ブロックにおけるこのような各種工事にともなう水位上昇がなかったとしたら、今回の地震でこれらのブロックに液状化被害が生じなかったかどうかは、非液状化層厚からみて、限界的な状況にあり、いずれとも判定し難かった。仮に被害があったとした時、被害程度が軽減されたか否かについて被害機構を踏まえて検討したが、このことに関しては、地盤に固有な不均質性、繰り返し実験のできない地震という現象、現状の関連学問の到達段階等から、解析におけるある程度の誤差は避けられず、遺憾なから明確な結論は出し得なかった。

更に、地震現象は、その源、伝播経路、それを受ける側の立地条件により、複雑に変化するもので、仮りに震度が同じでも被害の生じ方は、条件により多様に変化するものであることも注意しなければならない。

## 第7章 あとがき

日本海中部地震によって家屋が集中的被害を受けた秋田市新屋松美町および新屋松美 ケ丘東町について、被災原因の科学的調査を行った結果を以上に報告した。

おわりにこの調査を通じて感じたことを若干述べて、結びとしたい。

- (1) この種の問題の究明は学問的にも研究途上にある段階であり、本調査によって問われた問題の全容が解明しつくせたとは言いがたいが、このように詳細な調査は他に類例がない。この結果を後世への貴重な遺産として、長く記録に止め、今後の防災行政、および災害科学の研究に役立たせていただければ幸いである。
- (2) 将来起るかもしれない地震に対する危険度予測(マイクロゾーニング)などの長期 的な研究体制を確立するとともに、地震発生の際には迅速な調査活動にはいれるよう にすることが望ましい。

なお、この種の調査は官民学が一体となって、初めて効果が発揮できるものであろう。 おわりに、本調査を通じて種々御協力をたまわった関係各位、とくに被災者の方々 に、厚く御礼を申し上げる。

## 参 考 文 献

- 1) Creager: クレーガー (Creager) による d<sub>20</sub> と透水係数, 土質工学会土質工学ハンドブック, pp. 69~70, 1982
- 2) Slichter: Theoretical, investigations of the motion of ground waters.

  USGS 19th Ann. Rept pt. II C.

  山本莊毅, 古今書院 新版 地下水調査法 P. 193, 1983.
- 3) Taylor: Fundamentals of Soil Mechanics, Modern Asia Edition,P. 115, 1948.土質工学会,土質工学ハンドブック、P68, 1982.
- 4) 稲田倍穂:スウェーデン式サウンディング試験結果の使用について, 土と基礎, Vo 1.8, No.1, pp. 13~18, 1960.
- Tatsuoka, F., Iwasaki, T., Tokida, K., Yasuda, S., Hirose, M., Imai, T. and M. Kon-no (1978): Amathod for estimating undrained cyclics strength of sandy soils using standard penetration N-values, Soils and Foundations, Vol. 18, No. 3, pp. 43~58.
- 6) Iterson の式:日本道路公団 設計要領 第一集,昭和 45年1月
- 7) 岩崎敏男・龍岡文夫・常田賢一・安田進: 砂質地盤の地震時流動化の簡易判定法と 適用例,第5回日本地震工学シンポジウム講演集,pp.641~648,1978.
- 8) 石原研而·安田進: Sand Liquefaction in Hollow Cylinder Torsion under Irregular Excitation, 土質工学会論文報告集, Vol. 15, Nal, pp. 45~59, 1975.

382

(1)70

- 借り出したときは
  ・笨は笑敬に保管しましょう。
  ・窓ず頬旨を等りましょう。
  ・よごさないようにしましょう。
  ・折首をつけないようにしましょう。
  ・また貸しをやめましょう。